



دانشکده مهندسی معدن، نفت و ژئوفیزیک

گروه مهندسی معدن - گرایش اکتشاف

مطالعات زیست محیطی و مدل سازی ریاضی اکسایش پیریت و تولید آلدگی در باطله های

حاصل از کارخانه ذغال شویی انجیر تنگه، البرز مرکزی

دانشجو: مجید شاه حسینی

اساتید راهنما:

دکتر فرامرز دولتی اردله جانی

دکتر سید ضیا الدین شفائی تنکابنی

پایان نامه ارشد جهت اخذ درجه کارشناسی ارشد

تیرماه ۱۳۹۰

دانشگاه صنعتی شهرود

دانشکده مهندسی معدن، نفت و ژئوفیزیک

گروه مهندسی اکتشاف معدن

پایان نامه کارشناسی ارشد آقای مجید شاهحسینی

تحت عنوان:

مطالعات زیست محیطی و مدل سازی ریاضی اکسایش پیریت و تولید آلودگی در باطله های حاصل از

کارخانه ذغال شویی انجیر تنگه، البرز مرکزی

در تاریخ ۱۳۹۰/۴/۲۸ توسط کمیته تخصصی زیر جهت اخذ مدرک کارشناسی ارشد مورد ارزیابی و با درجه عالی مورد پذیرش قرار گرفت.

امضاء	اساتید مشاور	امضاء	اساتید راهنما
	نام و نام خانوادگی :		نام و نام خانوادگی : دکتر فرامرز دولتی ارد hegani
	نام و نام خانوادگی :		نام و نام خانوادگی : دکتر سید ضیا الدین شفائی

امضاء	نماینده تحصیلات تکمیلی	امضاء	اساتید داور
	نام و نام خانوادگی : دکتر علیرضا عرب امیری		نام و نام خانوادگی : دکتر کرمی
			نام و نام خانوادگی : دکتر عابدی
			نام و نام خانوادگی :
			نام و نام خانوادگی :

تعدیم به:

پر و مادر هر بانم

که در تمام مراحل زندگی تنها پشتیان من بودند. در برابر وجودشان زانوی ادب بر زمین نشاده و با دلی ملواز عشق و خصوع بر دستشان بوسه می‌زنم.

و تعدیم می‌کنم به:

خواهر عزیزم، با پاس قلب هر بان و زحمت‌های بی‌دینش که همیشه یار و همراه من بوده است.

تئیر و شکر:

سپاس خداوندی را که روشنی عقل و آگاهی را برزشتی جمل برتری داد. یکگ که بایاری خزانه کارش پایان نامه خود را به پایان رسانده ام برخود لازم می دانم از زحات بزرگوارانی که باره‌نمایی های خود سهم غنیمتی دند وین این پایان نامه داشته اند صیمانه شکر و قدردانی نمایم.

اینجانب مرتب شکر و سپاس فراوان خود را از اساتید محترم آقای دکتر فرامرز دولتی ارده جانی و آقای دکتر سید ضیاء الدین شخانی تنهایی که قبول زحمت فرموده و راهنمایی این پایان نامه را پذیرفته ابراز می دارم. از مساحت و رسمخواهی ارزشمند آقای دکتر اسماعیل سیمانی در جریان این تحقیق تئیر و شکر می نمایم.

بهینین از آقای دکتر کرمی و خانم دکتر جابدی که زحمت داوری این پایان نامه را به عده کر فتد کمال شکر را دارم. از آقای حسین شاه حسینی و مهندس کبیریان که با همراهی ویاریشان سیر تحقیق را برایم گذاشتند و قدردانی می کنم. از همکاری شرکت ذغال سک البرز مرکزی نیز سپاسگزارم.

بهینین از کمیه دوستانی که به نحوی اینجنب را در سیر این پایان نامه بیاری داده اند به خصوص آقایان مهندس محمدی مرزبان، مهندس علی امیرخانی، مهندس عباس شمس آبادی، مهندس ابوالفضل قریب بلوک، تیمور گنگی، مجتبی امیدیان، غلامحسین ثوابی و خانم مهندس طبی شکر می نمایم.

از خداوند متعال، آرزوی موفقیت و سر بلندی روز افزون را برای همه این عزیزان خواستدم.

مجید شاه حسینی

تیراه - ۱۳۹۰

دانشجو تائید می‌نماید که مطالب مندرج در این پایان‌نامه (رساله) نتیجه تحقیقات خودش می‌باشد و در صورت استفاده از نتایج دیگران مرجع آن را ذکر نموده است.

کلیه حقوق مادی مترتب از نتایج مطالعات، آزمایشات و نوآوری ناشی از تحقیق موضوع این پایان‌نامه (رساله) متعلق به دانشگاه صنعتی شاهروд می‌باشد.

تیرماه - ۱۳۹۰

چکیده

ناحیه ذغال خیز البرز مرکزی یکی از قدیمی‌ترین و عمده‌ترین تولیدکنندگان ذغال در ایران است. ذغال در ناحیه زیرآب-کارمزد توسط شرکت البرز مرکزی استخراج می‌شود. ذغال استخراج شده از این ناحیه در کارخانه ذغال‌شویی انجیرتنگه شسته می‌شود. کارخانه ذغال‌شویی انجیرتنگه در ۴۵ کیلومتری جنوب قائم‌شهر و در فاصله ۳ کیلومتری از جاده تهران-قائم‌شهر در نزدیک شهر زیرآب واقع است. جدایش ثقلی (جیگ) و فلوتاسیون دو روش ذغال‌شویی در کارخانه انجیرتنگه می‌باشد. اکسایش پیریت و تولید زهاب اسیدی معدن از فرآیندهای مهمی است که ممکن است در این دپوی باطله رخ دهد. دپوی باطله ذغال‌شویی در مجاورت رودخانه دلیل که از کنار کارخانه جریان دارد، قرار دارد.

مقادیر بالای ریزش‌های جوی و مکان دپوی باطله ریسک تولید زهاب اسیدی و انتقال محصولات اکسایش را افزایش می‌دهد. برای تعیین اثرات زیست محیطی کارخانه ذغال‌شویی انجیرتنگه بر منطقه، کیفیت آب، تحرک و توزیع فلزات در آبها و رسوبات اطراف کارخانه مورد بررسی قرار گرفت. همچنین در باطله‌های ذغال‌شویی ۲۲ ساله اکسایش پیریت به صورت ریاضی پیش‌بینی و برآورد شد. ۲۱ نمونه آب از، حوضچه‌های سد باطله (۲)، حوضچه‌های جمع‌آوری آب فرآیندی (۳)، حوضچه تهشیینی (۱)، زهاب‌های ورودی به رودخانه (۴)، آب رودخانه مجاور کارخانه (۱۱) و یک نمونه آب چشمی. مقادیر pH, Ca^{+2} , Mg^{+2} , SO_4^{-2} , HCO_3^- , Al^{+3} , Fe^{+2} , Cu^{+2} , Co^{+2} , Ni^{+2} , Mn^{+2} , Pb^{+2} و Zn به ترتیب در نمونه‌های رودخانه، زهاب‌ها و حوضچه‌ها در محدوده ۷/۱۶-۸/۱۸، ۵۶-۵۴۰، ۲۲/۸-۲۷۶، ۱۴۹/۷۶-۲۳۶۶/۴ تعیین شد. ۵۱/۸۵-۴۳۳/۱ میکروزیمنس بر سانتیمتر، ۱-۲۲۸، ۰/۱۷-۷/۵، ۰/۱۸-۱۱۸/۲، ۰/۸-۰/۱۰۰-۴۴۲۰۰ آهن، ۲۷۱۰۰-۴۴۲۰۰، جیوه ۰/۰۶۵-۰/۰۱۶، منگنز ۶۳۳-۹۲۷، نیکل ۳۲/۳-۵۲/۲، سرب ۱۷/۴۱-۱۲/۳۲، سلنیم ۲۰/۲۳-۳۲/۳۹، کروم ۳۰/۵-۵۳، مس ۰/۰۹-۱۰/۰، کادمیم ۱۵/۰-۱۰/۶، آرسنیک ۷۸۰۰-۱۴۵۰۰ کیلوگرم): آلمینیم ۱۰-۷۶۳، ۱۰۵۳-۱۳۵۳، ۴۸/۶۶-۱۳۵۳ و ۰/۲-۵/۷، ۰/۳-۷۴/۲ میکروگرم بر لیتر تغییر می‌نماید. رسوبات سطحی در طول رودخانه و در ۱۰ ایستگاه برداشت شد. غلظت عناصر در رسوبات منطقه به ترتیب در محدوده (در واحد میلی‌گرم بر کیلوگرم): آلمینیم ۱۰/۰-۹۱/۶ و روی ۰/۱-۱۰/۴. غلظت عناصر در نمونه‌های آب و رسوب به روش ICP-MS تعیین شد. همچنین ۰/۱-۱۰/۴ نمونه به فواصل تقریبی ۵/۰ متر از سه ترانشه (D, E و F) در دپوی باطله ذغال‌شویی یرداشت و نمونه‌ها برای مقادیر پیریت غیرآلی آنالیز شدند. دپوی باطله ذغال‌شویی حاوی ۰/۵-۲/۰ درصد وزنی پیریت است. غلظت‌های سولفات، آهن و منگنز در نمونه‌های آبی منطقه بیشتر از استاندارد آب آشامیدنی ایران است. بر اساس نمودارهای پایپر و استیف اکثر نمونه‌های رودخانه دلیل تیپ Ca-HCO₃ دارند. نمونه‌های آبی حوضچه‌ها تیپ Ca-SO₄ و زهاب‌های دپوی باطله ذغال‌شویی، هر دو تیپ Ca-HCO₃ و Ca-SO₄، انشان دادند. بر اساس نمودار، فیکلین همه نمونه‌های آب منطقه به

لحاظ میزان فلزات محلول و pH در محدوده نزدیک خنثی - کم فلز قرار می‌گیرند. زهاب‌های دپوی باطله ذغال‌شویی احتمالاً از نوع زهاب خنثی-قلیایی معدن (NAMD) می‌باشد. شاخصهای ارزیابی کیفیت آب مانند شاخص آلودگی فلز سنگین (HPI)، شاخص سنجش فلز سنگین (HEI) و درجه آلودگی (C_d) محاسبه شدند. نمونه شیرابه دپو (Leach) بیشترین مقدار HPI با مقدار ۵۵/۹۴ را داشت که کمتر از مقدار ۱۰۰ به عنوان حد آلودگی این شاخص بود. در نتیجه هیچ نمونه آب سطحی منطقه به فلزات سنگین آلوده نمی‌باشد. بر اساس مدل‌سازی ژئوشیمیایی با نرم‌افزار PHREEQC، گوئیت در همه نمونه‌های آب منطقه فوق اشباع است. برای ارزیابی شدت و تاثیر کارخانه ذغال‌شویی بر رسوبات رودخانه از شاخص‌های عامل آلودگی (CF)، عامل غنی‌شدگی (EF)، شاخص زمین‌انباست (I_{geo})، درجه آلودگی (C_d) و شاخص بار آلودگی (PLI) استفاده شد. در بین ۱۰ نمونه رسوب و بر اساس عامل غنی‌شدگی عناصر آرسنیک در نمونه S8، کادمیم در نمونه S5، کروم در نمونه‌های S9 و S8، مس در نمونه S8، جیوه در نمونه S8، سلنیم در نمونه‌های S8 و S5، نیکل در نمونه S8 و روی در نمونه S8 غنی شده‌اند. بیشترین میزان آلودگی فلزی در رسوبات رودخانه در نقطه S8، محل برخورد شیرابه دمپ و رودخانه مشاهده شد. نتایج مدل‌سازی و داده‌های صحرائی نشان داد که در اعماق بیشتر از ۳ متر، اکسایش پیریت کاملاً متوقف می‌شود. نتایج این تحقیق می‌تواند برای برنامه‌های بازسازی و کنترل آلودگی مورد استفاده قرار گیرد.

کلمات کلیدی: دپوی باطله ذغال‌شویی، زهاب اسیدی معدن، کیفیت آب، آلودگی فلزی، مدل‌سازی ژئوشیمیایی، مدل‌سازی عددی.

مقالات‌های مستخرج از پایان‌نامه:

شاهحسینی، م. شفائی‌تنکابنی، ض. دولتی‌اردگانی، ف. (بهمن، ۱۳۸۹) بررسی آلودگی فلزات سنگین در رسوبات کارخانه ذغال‌شویی انجیر تنگه با استفاده از شاخص‌های ژئوشیمیایی. بیست و نهمین گردهمایی علوم زمین، سازمان زمین‌شناسی و اکتشافات معدنی ایران، تهران، (ارائه).

شاهحسینی، م. دولتی‌اردگانی، ف. شفائی‌تنکابنی، ض. (اردیبهشت، ۱۳۹۰) بررسی کیفیت آب در کارخانه ذغال‌شویی انجیر تنگه با استفاده از شاخص‌های آلودگی فلزات سنگین. چهارمین کنفرانس مدیریت منابع آب ایران، دانشگاه صنعتی امیرکبیر، تهران، (ارائه).

شاهحسینی، م. دولتی‌اردگانی، ف. شفائی‌تنکابنی، ض. (شهریور، ۱۳۹۰) اثرات زیست محیطی دپوی باطله کارخانه ذغال‌شویی انجیر تنگه-زیرآب در استان مازندران. هفتمین کنفرانس زمین‌شناسی مهندسی و محیط‌زیست ایران، دانشگاه صنعتی شاهرود، (پذیرش شده).

Shahhoseiny, M. Doulati Ardejani, F. Shafaei, S. Z. Singh, R. Jodieri Shokri, B. Geochemical characterization of a pyrite containing coal washing refuse pile produced by the Anjir Tanghe coal washing plant in Zirab, Mazandaran province, north of Iran. **11th International Mine Water Association Congress (IMWA), Aachen, Germany, September 4th-11th 2011, (Accepted).**

Doulati Ardejani, F. Shafaei, S. Z. Shahhoseiny, M. Singh, R. Water quality investigations in the vicinity of an active coal washing plant in Zirab, Mazandaran province, north of Iran. **11th International Mine Water Association Congress (IMWA), Aachen, Germany, September 4th-11th 2011, (Accepted).**

فهرست مطالب

عنوان

صفحه

فصل اول: کلیات

۲ ۱-۱- مقدمه
۳ ۱-۲- مروری بر کارهای انجام شده در جهان و ایران
۳ ۱-۲-۱- تغییرات هیدروشیمیایی و مدل سازی ژئوشیمیایی بر اساس موازنۀ ترمودینامیکی
۵ ۱-۲-۲- ارزیابی حضور عناصر سمی در رسوبات و سیستم‌های آبی
۱۰ ۱-۳-۲- مدل سازی اکسایش سولفیدها
۱۳ ۱-۳-۱- اهداف پایان نامه و ضرورت انجام آن
۱۵ ۱-۴- سازماندهی پایان نامه

فصل دوم: ذغال و مشکلات زیست محیطی مرتبط با آن

۱۸ ۲-۱- مقدمه
۱۸ ۲-۲- منابع ذغال سنگ در جهان
۱۹ ۲-۳- ذخائر ذغال سنگ در ایران
۱۹ ۲-۴- ذخایر ذغال سنگ البرز مرکزی
۱۹ ۲-۵- ترکیب ذغال
۲۰ ۲-۶- سولفور
۲۰ ۲-۶-۱- انواع سولفور در ذغال
۲۱ ۲-۶-۲- منشاء سولفور
۲۱ ۲-۶-۳- چرخه‌های ژئوشیمیایی و جهانی سولفور
۲۳ ۲-۷- تاریخچه زهاب اسیدی
۲۵ ۲-۸- تعریف زهاب اسیدی
۲۶ ۲-۹- آثار مخرب زیست محیطی و اکولوژیکی زهاب اسیدی
۲۷ ۲-۱۰- منابع، مسیرهای انتقال و محیط میزبان زهاب اسیدی
۲۸ ۲-۱۱- منابع زهاب اسیدی
۲۹ ۲-۱۲- فرآیندهای اکسایش پیریت
۳۱ ۲-۱۳- واکنش‌های خنثی‌کننده اسید
۳۴ ۲-۱۴- عوامل موثر در نرخ اکسایش سولفیدها
۳۴ ۲-۱۴-۱- عوامل بیولوژیکی
۳۶ ۲-۱۴-۲- عوامل فیزیکی و شیمیایی

فصل سوم: موقعیت جغرافیایی و زمین شناسی منطقه، نمونهبرداری و تجزیه‌های آزمایشگاهی

۳۹	۱-۳ - مقدمه
۳۹	۲-۳ - معادن ذغال سنگ البرز مرکزی
۳۹	۳-۳ - معادن ذغال سنگ زیرآب- کارمزد
۴۱	۴-۳ - زمین شناسی ناحیه زیرآب- کارمزد
۴۱	۱-۴-۳ - تشکیلات دوران دوم.
۴۳	۲-۴-۳ - تشکیلات دوران سوم
۴۳	۳-۴-۳ - تشکیلات دوران چهارم.
۴۳	۵-۳ - تکتونیک و ماقماتیزم
۴۴	۶-۳ - هیدرولوگرافی منطقه
۴۶	۷-۳ - اقلیم منطقه
۴۶	۸-۳ - کارخانه ذغال شویی انجیر تنگه
۴۹	۱-۸-۳ - باطله‌ها در کارخانه ذغال شویی انجیر تنگه
۵۱	۲-۸-۳ - روش انباشت باطله‌ها
۵۲	۹-۳ - مشاهدات صحرایی
۵۵	۱۰-۳ - محیط‌های نمونه‌برداری
۵۵	۱-۱۰-۳ - محیط‌های آبی
۵۵	۱-۱۰-۳ - الف - روش نمونه‌برداری
۵۵	۱-۱۰-۳ - ب - مکان نمونه‌برداری
۵۷	۲-۱۰-۳ - رسوبات رودخانه
۵۷	۲-۱۰-۳ - الف - روش نمونه‌برداری
۵۷	۲-۱۰-۳ - ب - مکان نمونه‌برداری
۵۹	۳-۱۰-۳ - دپوی باطله
۵۹	۳-۱۰-۳ - الف - روش نمونه‌برداری
۵۹	۳-۱۰-۳ - ب - مکان نمونه‌برداری
۶۱	۱۱-۳ - تعیین میزان پیریت باقی‌مانده با استفاده از روش جذب اتمی
۶۲	۱-۱۱-۳ - روش آزمایش
۶۴	۲-۱۱-۳ - تهییه محلول‌های استاندارد با غلظت‌های معین آهن
۶۴	۳-۱۱-۳ - تجزیه جذب اتمی
۶۴	۱۲-۳ - تعیین pH گل اشباع در نمونه‌های عمقی دپو
۶۷	۱۳-۳ - مقاطع صیقلی

فصل چهارم: اثرات زیست محیطی کارخانه انجیر تنگه زیرآب بر محیط‌های آبی منطقه

۶۹ ۴-۱- مقدمه
۷۰ ۴-۲- مقایسه کاتیون‌ها و آنیون‌های عمدۀ در نمونه‌های آب
۷۰ ۴-۲-۱- رودخانه
۷۱ ۴-۲-۲- زهاب‌ها
۷۲ ۴-۲-۳- حوضچه‌ها
۷۴ ۴-۲-۴- چشم
۷۵ ۴-۳- مقایسه پارامترهای فیزیکی- شیمیایی در نمونه‌های آب منطقه
۷۶ ۴-۴- تیپ آب‌ها در محدوده کارخانه
۷۶ ۴-۴-۱- نمودار پایپر
۷۸ ۴-۴-۲- نمودار استیف
۸۰ ۴-۴-۳- نمودار شولر
۸۴ ۴-۴-۴- نمودار چادها
۸۶ ۴-۴-۵- نمودار گیبس
۸۸ ۴-۵- اثرات یون‌های عمدۀ و پارامترهای فیزیکی- شیمیایی بر محیط زیست
۸۸ ۴-۵-۱- تاثیر بر سلامت انسان
۸۹ ۴-۵-۲- تاثیر بر تاسیسات بتنی
۹۰ ۴-۶- تعیین خاصیت اسیدی و قلیایی نمونه‌های آب منطقه
۹۱ ۴-۶-۱- محاسبه خاصیت اسیدی
۹۲ ۴-۶-۲- محاسبه خاصیت قلیایی
۹۴ ۴-۷- میزان فلزات محلول در نمونه‌های منطقه
۹۴ ۴-۷-۱- مقایسه میزان فلزات محلول در محیط‌های آبی کارخانه
۹۸ ۴-۷-۲- نمودار فیکلین
۱۰۲ ۴-۸- اثرات فلزات سنگین بر کیفیت آب آشامیدنی
۱۰۳ ۴-۸-۱- شاخص آلودگی فلز سنگین
۱۰۶ ۴-۸-۲- شاخص سنجش فلز سنگین
۱۰۷ ۴-۸-۳- درجه آلودگی
۱۱۱ ۴-۹- تحلیل‌های آماری نمونه‌های آب در محدوده کارخانه ذغال‌شویی
۱۱۱ ۴-۹-۱- بررسی توزیع داده‌ها
۱۱۲ ۴-۹-۲- همبستگی بین داده‌ها
۱۱۵ ۴-۱۰- مدل موازنۀ ژئوشیمیایی

۱۱۸۴-۱-۱- فعالیت یونی
۱۱۸۴-۱-۰- قدرت یونی
۱۱۸۴-۱-۰- ۳- ضرایب فعالیت
۱۲۰۴-۱-۰- ۴- شاخص اشباع
۱۲۲۴-۱-۰- ۵- محاسبه شاخص اشباع با استفاده از نرم افزار PHREEQC

فصل پنجم: اثرات زیست محیطی کارخانه انجیر تنگه زیرآب بر رسوبات منطقه

۱۲۶۵-۱- مقدمه
۱۲۷۵-۲- غلظت عناصر در رسوبات رودخانه‌ای منطقه
۱۳۰۵-۳- عامل آلودگی و درجه آلودگی
۱۳۴۵-۴- شاخص بارآلودگی
۱۳۶۵-۵- عامل غنی شدگی
۱۳۷۵-۱- غنی شدگی عناصر نسبت به زمینه جهانی
۱۴۰۵-۲- غنی شدگی عناصر نسبت به زمینه محلی
۱۴۰۵-۲-الف- عامل غنی شدگی بر اساس زمینه محلی
۱۴۵۵-۲-ب- درصد غنی شدگی
۱۴۵۵-۲-ج- عامل غنی شدگی بر اساس رگرسیون خطی
۱۵۲۵-۶- شاخص زمین‌انباست

فصل ششم: بررسی ژئوشیمیایی دپوی باطله و مدل‌سازی اکسایش پیریت

۱۵۹۶-۱- مقدمه
۱۵۹۶-۲- عناصر جزئی در ذغال
۱۶۲۶-۳- عناصر اصلی و جزئی دپوی باطله کارخانه ذغال‌شویی البرز مرکزی
۱۶۶۶-۴- گروه اول (عناصر اصلی خطرناک برای محیط زیست)
۱۶۸۶-۵- گروه دوم (عناصر فرعی خطرناک برای محیط زیست)
۱۶۹۶-۶- گروه سوم (عناصر با حداقل خطر برای محیط زیست)
۱۷۰۶-۷- شناسایی زون اکسید شده روی دپوی باطله
۱۷۴۶-۸- انواع مدل‌ها
۱۷۴۶-۹- ۱-۵- مدل‌های مفهومی
۱۷۴۶-۱۰- مدل فیزیکی
۱۷۴۶-۱۱- ۳-۵- مدل ریاضی
۱۷۵۶-۱۲- ۴-۵- روش‌های عددی
۱۷۵۶-۱۳- ۶-۵- مدل‌های مفهومی انتقال اکسیژن در باطله‌ها

۱۷۷ ۶-۷- مدل‌های ریاضی نفوذ اکسیژن در باطله‌ها
۱۸۰ ۶-۸- شرایط مرزی برای حل مدل انتقال اکسیژن
۱۸۰ ۶-۸-۱- شرط مرزی غلظت ثابت
۱۸۱ ۶-۸-۲- شرط اولیه
۱۸۱ ۶-۸-۳- شرط مرزی گرادیان غلظت صفر
۱۸۱ ۶-۹- حل تحلیلی مدل‌های ریاضی نفوذ اکسیژن
۱۸۲ ۶-۱۰- مدل مفهومی اکسایش پیریت
۱۸۳ ۶-۱۱- مدل ریاضی اکسایش پیریت
۱۸۶ ۶-۱۲- شرایط مرزی برای حل مدل اکسایش پیریت
۱۸۶ ۶-۱۳- مدل‌سازی نفوذ اکسیژن و اکسایش پیریت در دپوی باطله‌های کارخانه
۱۸۶ ۶-۱۳-۱- ابزار مدل‌سازی
۱۸۸ ۶-۱۳-۲- نتایج مدل‌سازی
۱۸۹ ۶-۱۳-۳- واسنجی مدل نفوذ اکسیژن
۱۹۰ ۶-۱۳-۴- پیش‌بینی‌های مدل

فصل هفتم: نتیجه‌گیری و پیشنهادها

۱۹۴ ۷-۱- مقدمه
۱۹۶ ۷-۲- اثر کارخانه ذغال‌شویی انجيرتنگه زیرآب بر محیط‌های آبی منطقه
۱۹۹ ۷-۳- اثر کارخانه ذغال‌شویی انجيرتنگه زیرآب بر رسوبات منطقه
۱۹۹ ۷-۴- اکسایش پیریت در دپوی باطله کارخانه ذغال‌شویی انجيرتنگه زیرآب
۱۹۹ ۷-۵- پیشنهادها
۱۹۹ ۷-۱-۵- راهکارهای پیش از دپوی باطله‌ها
۲۰۰ ۷-۲-۵- انتخاب محل مناسب برای انباست باطله‌ها
۲۰۰ ۷-۳-۵- راهکارهای بازدارنده تولید آلودگی بر روی دپوی باطله‌های حاضر
۲۰۰ ۷-۴-۵- تصفیه پساب‌های کارخانه ذغال‌شویی
۲۰۱ ۷-۵-۵- مطالعات بیشتر در محل دپوی باطله
۲۰۳ ۷- مراجع

فهرست اشکال

صفحه	
۲۲ شکل ۱-۲- چرخه جهانی گوگرد
۲۳ شکل ۲-۲- چرخه بیوژئوشیمیایی گوگرد
۲۴ شکل ۲-۳- دروازه رومی به همراه زهاب اسیدی سنگی- شبه جزیره ایبریا در جنوب شرقی اسپانیا
۲۶ شکل ۲-۴- تصاویری از آلودگی آب‌های سطحی و مرگ و میر آبزیان در اثر زهاب اسیدی معدن
۲۷ شکل ۲-۵- مدل مفهومی جامع از منابع، ورودی‌ها و محیط‌زیست میزبان زهاب‌های معدنی
۲۹ شکل ۲-۶- مدل اکسیداسیون پیریت
۳۳ شکل ۲-۷- مراحل تشکیل زهاب اسیدی سنگ (ARD)
۳۵ شکل ۲-۸- نرخ‌های اکسایش نرمال با و بدون حضور واسطه باکتری و تابعی از pH
۳۷ شکل ۲-۹- اثر درجه حرارت بر نرخ‌های اکسایش سولفید نرمال شده
۳۷ شکل ۲-۱۰- مقایسه نرخ واکنش‌ها به عنوان تابعی از pH
۴۰ شکل ۳-۱- نقشه موقعیت منطقه ذغالی زیرآب- کارمزد
۴۲ شکل ۳-۲- نقشه زمین‌شناسی ۱:۱۰۰۰۰۰ ناحیه زیرآب- کارمزد
۴۵ شکل ۳-۳- تصویر ماهواره‌ای TM و هیدروگرافی منطقه مورد مطالعه
۴۸ شکل ۳-۴- کارخانه ذغال‌شویی انجیرتنگه
۵۰ شکل ۳-۵- نقشه موقعیت منطقه مورد مطالعه که در آن جاده دستری، کارخانه ذغال‌شوئی، و رودخانه دلیل مشخص شده است
۵۱ شکل ۳-۶- احداث دیوار بتونی جهت جلوگیری از ورود مواد شیمیایی محلول و زهاب تولیدی به رودخانه دلیل
۵۲ شکل ۳-۷- نمایی از محل انباشت باطله‌های ذغال‌شوئی در کارخانه ذغال‌شوئی انجیرتنگه، البرز مرکزی
۵۳ شکل ۳-۸- نمایی از رویش گیاهان در داخل سدهای باطله کارخانه ذغال‌شوئی انجیر تنگه
۵۴ شکل ۳-۹- شواهدی مبنی بر اکسایش پیریت و تولید زهاب در پائین‌دست باطله‌های حاصل از فرآیند شستشوی ذغال در کارخانه ذغال‌شوئی انجیرتنگه
۵۶ شکل ۳-۱۰- نقشه موقعیت نقاط نمونه‌برداری از آب و رسوب رودخانه دلیل
۵۸ شکل ۳-۱۱- نقشه موقعیت نقاط نمونه‌برداری از حوضچه‌های آب فرآیندی و دپوی باطله

۶۳ شکل ۱۲-۳ - فلوچارت آماده‌سازی نمونه‌ها برای تعیین میزان پیریت باقی‌مانده.
۶۴ شکل ۱۳-۳ - نمودار بین غلظت آهن محلول‌های استاندارد در مقابل مقدار جذب اندازه‌گیری شده توسط دستگاه جذب اتمی.
۶۵ شکل ۱-۴ - نمودارهای مقایسه‌ای کاتیون‌ها و آنیون‌های عمدۀ محلول در نمونه‌های آبی منطقه مورد مطالعه.
۷۳ شکل ۲-۴ - نمودار باکس پلات جهت مقایسه پارامترهای فیزیکی-شیمیایی نمونه‌های آب رودخانه، زهاب‌ها و حوضچه‌ها.
۷۶ شکل ۳-۴ - تقسیم‌بندی فازهای هیدروژئوشیمیایی با استفاده از نمودار پایپر.
۷۷ شکل ۴-۴ - نمودار پایپر ترسیم شده برای نمونه‌های آب در محدوده مورد مطالعه.
۷۸ شکل ۴-۵ - نمودارهای استیف رسم‌شده برای کلیه نمونه‌های آب منطقه مورد مطالعه.
۷۹ شکل ۴-۶ - نمودار شولر برای تمام نمونه‌های آبی منطقه مورد مطالعه.
۸۱ شکل ۴-۷ - نمودار شولر مربوط به نمونه‌های آبی رودخانه و زهاب‌ها در منطقه مورد مطالعه.
۸۲ شکل ۴-۸ - نمودار شولر حوضچه‌های جمع آوری آب فرآیندی و سد باطله در منطقه.
۸۳ شکل ۴-۹ - نمودار چادها برای نمونه‌های آبی منطقه مورد مطالعه.
۸۵ شکل ۴-۱۰ - نمودار گیبس برای نمونه‌های آب منطقه مورد مطالعه.
۸۷ شکل ۴-۱۱ - مقایسه نسبت‌های مولی کاتیون‌ها و آنیون‌های عمدۀ محلول در نمونه‌های آبی منطقه مورد مطالعه.
۸۸ شکل ۴-۱۳ - نمودار باکس پلات مربوط به غلظت فلزات محلول در محیط‌های آبی در محدوده کارخانه ذغال‌شویی.
۹۶ شکل ۴-۱۴ - جذب کاتیون‌های فلزی به عنوان تابعی از pH.
۹۹ شکل ۴-۱۵ - تغییرات pH در مقابل غلظت فلزات و عناصر محلول در نمونه‌های آب منطقه.
۱۰۰ شکل ۴-۱۶ - عوامل اصلی کنترل‌کننده کیفیت آب معادن بر اساس نمودار فیکلین.
۱۰۱ شکل ۴-۱۷ - تغییرات غلظت فلزات پایه در آب‌های محدوده کارخانه ذغال‌شویی.
۱۰۲ شکل ۴-۱۸ - مقایسه شاخص‌های آلودگی فلز سنگین (HPI)، سنجش فلز سنگین (HEI) و درجه آلودگی (C_d) محاسبه شده برای نمونه‌های آب منطقه.
۱۱۰ شکل ۴-۱۹ - بررسی توزیع TDS، pH، EC و آنیون‌های اصلی HCO_3^- ، SO_4^{2-} و CO_3^{2-} در آب‌های منطقه مورد مطالعه.
۱۱۳ شکل ۴-۲۰ - بررسی توزیع یون‌های اصلی Cl^- ، Ca^{+2} ، Mg^{+2} ، Na^+ و K^+ در آب‌های منطقه.
۱۱۴ شکل ۴-۲۱ - رابطه بین پارامترهای فیزیکی-شیمیایی، Fe و SO_4^{2-} در نمونه‌های آبی منطقه مورد مطالعه.
۱۱۷

۱۲۳ شکل ۴-۲۲- شاخص اشیاع محاسبه شده در نمونه‌های آب منطقه در مقابل pH
۱۲۹ شکل ۵-۱- تغییرات غلظت عناصر نمونه‌های رسوب بر حسب فواصل نمونه‌برداری در طول رودخانه دلیل از بالادست تا پایین دست کارخانه
۱۳۰ شکل ۵-۲- تغییرات غلظت عناصر نمونه‌های آب بر حسب فواصل نمونه‌برداری در طول رودخانه دلیل از بالادست تا پایین دست کارخانه
۱۳۵ شکل ۵-۳- مقادیر عامل آلودگی عناصر As, Cd, Co, Hg, Cu, Mo, Pb, Se, Mn, Fe, Al, Ni و Sn در رسوبات رودخانه دلیل از مجاورت کارخانه
۱۴۱ شکل ۵-۴- بررسی توزیع عناصر Al, Cd, Co, As و Cu در رسوبات رودخانه دلیل از مجاورت کارخانه ذغال‌شوی
۱۴۲ شکل ۵-۵- بررسی توزیع عناصر Fe, Hg, Mo, Mn و Pb در رسوبات رودخانه دلیل از مجاورت کارخانه ذغال‌شوی
۱۴۳ شکل ۵-۶- بررسی توزیع عناصر Sc, Zn و Se در رسوبات رودخانه دلیل از مجاورت کارخانه ذغال‌شوی
۱۴۸ شکل ۵-۷- مقایسه تحلیل رگرسیون خطی برای غنی‌شدگی عناصر As, Cd و Cr نسبت به دو عنصر مرجع Sc و Al در رسوبات رودخانه دلیل از مجاورت کارخانه ذغال‌شوی
۱۵۰ شکل ۵-۸- مقایسه تحلیل رگرسیون خطی برای غنی‌شدگی عناصر Cu, Hg و Ni نسبت به دو عنصر مرجع Sc و Al در رسوبات رودخانه دلیل از مجاورت کارخانه ذغال‌شوی
۱۵۱ شکل ۵-۹- مقایسه تحلیل رگرسیون خطی برای غنی‌شدگی عناصر Pb, Zn و Se نسبت به دو عنصر مرجع Sc و Al در رسوبات رودخانه دلیل از مجاورت کارخانه ذغال‌شوی
۱۵۶ شکل ۵-۱۰- شاخص زمین‌انباست برای عناصر As, Cd, Se و Hg در رسوبات رودخانه دلیل از مجاورت کارخانه
۱۵۷ شکل ۵-۱۱- شاخص زمین‌انباست برای عناصر Pb, Cr, Zn, Cu و Ni در رسوبات رودخانه دلیل از مجاورت کارخانه
۱۶۵ شکل ۶-۱- مقایسه عناصر جزئی نمونه‌های دپوی باطله با غلظت عناصر شیل سیاه و میانگین ذغال‌های جهان
۱۷۱ شکل ۶-۲- بررسی روند تغییرات عمقی پیریت باقی‌مانده، سولفات، pH و آهن در پروفیل‌های D, E و F در دپوی باطله
۱۷۳ شکل ۶-۳- تصاویر میکروسکوپ نوری از حضور پیریت در پروفیل عمقی E و F، دپوی باطله کارخانه
۱۷۶ شکل ۶-۴- مدل مفهومی انتقال اکسیژن در دپو باطله‌های معدنی

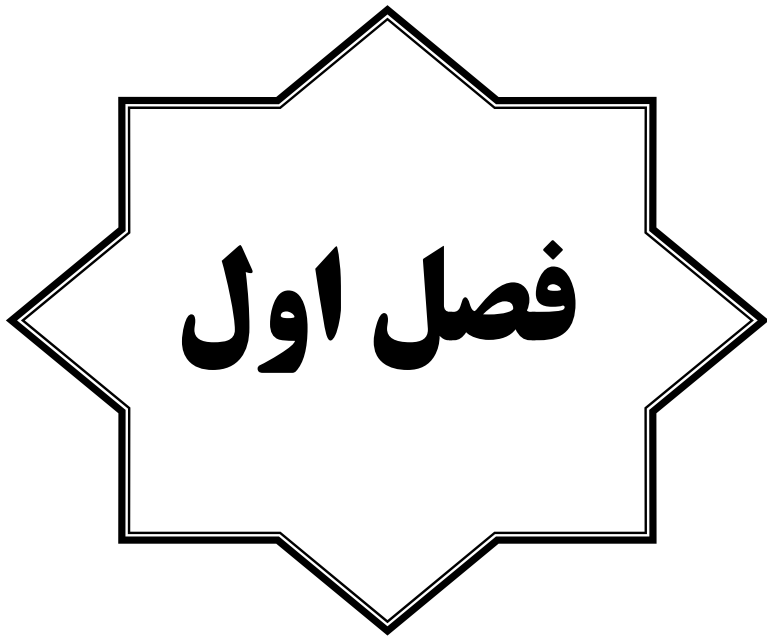
۱۸۳ شکل ۵-۶- مدل مفهومی فرآیند نفوذ و مدل مغزه انقباضی اکسیداسیون پیریت در باطله‌های آبگیری شده
۱۸۷ شکل ۶-۶- فلوچارت انجام مراحل اصلی در آنالیزهای دینامیک سیالات محاسباتی
۱۸۸ شکل ۷-۶- مدل یکبعدی پروفیل باطله‌ها
۱۹۰ شکل ۸-۶- مقایسه نتایج مدل‌سازی عددی (خطوط) و تحلیلی (نقاط) برای بررسی تغییرات غلظت اکسیژن نسبت به عمق دمپ و تابعی از ضریب نفوذ موثر، به ازای زمان یک سال
۱۹۱ شکل ۹-۶- تغییرات غلظت اکسیژن نسبت به عمق دمپ برای مدت زمان شبیه‌سازی، ۲۲ سال و ضریب نفوذ موثر برابر با $10^{-9} \times 2/3$ متر مربع بر ثانیه
۱۹۲ شکل ۱۰-۶- پیش‌بینی مدل برای مقدار پیریت باقی‌مانده در ذرات باطله نسبت به عمق دمپ در سه نقطه متفاوت D، E و F روی آن

فهرست جداول

صفحه

جدول ۱-۲- ذخیره قطعی، تولید و مصرف ذغال سنگ در جهان.....	۱۸
جدول ۲-۲- مناطق ذغال دار در ناحیه ذغالی البرز مرکزی.....	۲۰
جدول ۳-۲- سولفیدهای شناخته شده یا حدس زده شده که قابلیت تولید زهاب اسیدی را دارند.....	۲۸
جدول ۴-۲- مقادیر قابلیت خنثی کنندگی (NP) شاخص و pH محلول بافر برای برخی از کانی های معمول.....	۳۲
جدول ۱-۳- میزان بارندگی سالیانه و برخی دیگر از مشخصات هواشناسی در پل سفید و مناطق اطراف.....	۴۷
جدول ۲-۳- فواصل نقاط نمونه برداری در طول رودخانه دلیل در مجاورت کارخانه ذغال شویی.....	۵۹
جدول ۳-۳- مختصات طول و عرض جغرافیایی محله های نمونه برداری از محیط های آب و رسوب در محدوده کارخانه.....	۶۰
جدول ۳-۴- مشخصات نمونه های عمقی برداشت شده روی دمپ باطله ها.....	۶۱
جدول ۳-۵- غلظت آهن بر حسب میلی گرم و درصد پیریت باقی مانده در نمونه های عمقی پروفیل D.....	۶۶
جدول ۳-۶- غلظت آهن بر حسب میلی گرم و درصد پیریت باقی مانده در نمونه های عمقی پروفیل E.....	۶۶
جدول ۳-۷- غلظت آهن بر حسب میلی گرم و درصد پیریت باقی مانده در نمونه های عمقی پروفیل F.....	۶۶
جدول ۳-۸- مقادیر pH و غلظت های سولفات برای همه نمونه های عمقی سه پروفیل D، E و F روی دپوی باطله ذغال شویی.....	۶۷
جدول ۴-۱- طبقه بندی تیپ های آب منطقه بر اساس نمودارهای استیف.....	۸۰
جدول ۴-۲- مقایسه نمونه های آبی منطقه با استانداردهای آب آشامیدنی ملی و جهانی برای مقادیر یون های اصلی و فاکتورهای فیزیکی - شیمیایی آب.....	۸۹
جدول ۴-۳- مقادیر قلیائیت و اسیدیته محاسبه شده و قلیائیت خالص در نمونه های آبی منطقه مورد مطالعه.....	۹۵
جدول ۴-۴- مقایسه غلظت نمونه های آب منطقه با استانداردهای آب آشامیدنی ملی و جهان برای عناصر سمی و غیر سمی.....	۱۰۵
جدول ۴-۵- مقادیر شاخص های آلودگی برای نمونه های آبی منطقه.....	۱۰۹

جدول ۴-۶- همبستگی پیرسون بین یون‌های اصلی، پارامترهای فیزیکی-شیمیایی و	
فلزات محلول در نمونه‌های آب منطقه مورد مطالعه.....	۱۱۶
جدول ۴-۷- شاخص اشباع محاسبه شده برخی از کانی‌ها در نمونه‌های آب رودخانه،	
زهاب‌ها و حوضچه‌های منطقه.....	۱۲۴
جدول ۵-۱- غلظت عناصر موجود در رسوبات رودخانه دلیل در مجاورت کارخانه	
ذغال‌شویی انجیرتنگه و مقایسه با غلظت زمینه محلی و جهانی عناصر.....	۱۲۸
جدول ۵-۲- عامل آلودگی، درجه آلودگی و شاخص بار آلودگی رسوبات رودخانه دلیل	
در مجاورت کارخانه ذغال‌شویی.....	۱۳۳
جدول ۵-۳- طبقه‌بندی کیفیت رسوب بر اساس مقادیر محاسبه شده عامل غنی‌شدگی.....	۱۳۸
جدول ۵-۴- مقایسه مقادیر عوامل غنی‌شدگی عناصر موجود در رسوبات رودخانه دلیل	
نسبت به غلظت زمینه جهانی متفاوت عناصر.....	۱۳۹
جدول ۵-۵- مقادیر محاسبه شده عامل غنی‌شدگی عناصر بر اساس زمینه محلی و	
درصد غنی‌شدگی عناصر برای نمونه‌های رسوب منطقه.....	۱۴۴
جدول ۵-۶- همبستگی بین عناصر موجود در رسوبات رودخانه دلیل از بالادست تا	
پایین‌دست کارخانه ذغال‌شویی.....	۱۴۷
جدول ۵-۷- مقادیر عامل غنی‌شدگی رسوبات رودخانه دلیل براساس تحلیل رگرسیون	
خطی.....	۱۵۳
جدول ۵-۸- طبقه‌بندی کیفیت رسوب بر اساس شاخص زمین انباشت.....	۱۵۴
جدول ۵-۹- شاخص زمین‌انباشت محاسبه شده برای رسوبات رودخانه دلیل در	
مجاورت کارخانه ذغال‌شویی.....	۱۵۵
جدول ۶-۱- بیشترین، کمترین و میانگین غلظت عناصر اصلی و جزئی، پیریت باقی‌مانده،	
سولفات و pH در دپوی باطله کارخانه ذغال‌شویی انجیرتنگه زیرآب.....	۱۶۳
جدول ۶-۲- مقادیر همبستگی محاسبه شده برای ۲۵ عنصر جزئی و اصلی حاصل از	
آنالیز ICP-MS در ۲۵ نمونه برداشت شده از سه پروفیل D، E و F در دپوی باطله	
کارخانه ذغال‌شویی انجیرتنگه.....	۱۶۷
جدول ۶-۳- پارامترهای ورودی مدل.....	۱۸۹



کلیات

۱-۱- مقدمه

نیاز روز افزون بشر به انرژی سبب پیدایش دانش‌های مرتبط با دستیابی به منابع، از قبیل معدن کاری شده است. سوخت‌های فسیلی به عنوان مهم‌ترین منابع تأمین کننده انرژی جهان شناخته شده‌اند. ذغال‌سنگ به عنوان یکی از سوخت‌های فسیلی در برخی از صنایع زیرساختی کشور از قبیل کارخانجات تولید فولاد و ذوب آهن حائز اهمیت می‌باشد. ایران با داشتن ذخائر و معادن ذغال‌سنگ زیاد از قبیل معادن البرز شرقی، البرز مرکزی، زرند کرمان و طبس می‌تواند سوخت لازم صنعت فولاد به عنوان یکی از صنایع پایه و استراتژیک کشور را به راحتی تأمین نماید. برای دستیابی به انرژی بیشتر نیاز به ذغالی مرغوب‌تر است که همین امر ضرورت انجام مرحله‌ای تحت عنوان فرآوری و شستشوی آن را ایجاب می‌نماید. کارخانجات شستشوی ذغال از طریق آلودگی هوا، آب، خاک و نیز آلودگی‌های صوتی و بصری می‌توانند اثرات مخرب زیست محیطی بر زیست‌بوم‌های^۱ محلی داشته باشند. انتقال ذرات ریز و معلق ذغال و گرد و خاک تا فواصل نسبتاً دور از کارخانه، توسط عوامل مختلف بویژه توسط باد موجب آلودگی هوا، خاک‌های سطحی، گیاهان و آبهای منطقه اطراف کارخانه تا شعاع دوردست می‌گردد. چشم انداز طبیعی مناطق اطراف کارخانه متأثر از این فعالیت‌ها از بین می‌روند که نباید آن را نادیده گرفت. همچنین آلودگی صوتی ناشی از فعالیت کارخانه از دیگر مشکلات همراه با کارخانجات ذغال‌شویی می‌باشد. با این حال مهم‌ترین آلودگی زیست محیطی مرتبط با فعالیت‌های معدنی، تشکیل زهاب اسیدی معدن^۲ است. زهاب اسیدی در اثر اکسایش برخی از کانی‌های سولفیدی از جمله کانی پیریت در مجاورت هوا و رطوبت تولید می‌شود، از آنجا که پیریت همراه با ذغال یافت می‌شود، زهاب اسیدی در طول فعالیت‌های استخراج و فرآوری ذغال تشکیل می‌شود. مشخصات عمده زهاب اسیدی عبارت است از (اریکسون^۳ و همکاران، ۱۹۸۲؛ دینلی و همکاران^۴، ۲۰۰۱؛ کیم^۱ و چون، ۲۰۰۱؛ لی^۲ و چون، ۲۰۰۶؛ ژائو^۳ و همکاران، ۲۰۰۷؛ هاکو^۴ و

¹ Ecological system² Acid mine drainage³ Erickson⁴ Dinelli

همکاران، ۲۰۰۸؛ هیکینن^۵ و همکاران، ۲۰۰۹؛ آکبزا^۶ و همکاران، ۲۰۰۹؛ اخیالدین^۷ و همکاران، ۲۰۱۰).

- پایین بودن میزان pH،

- بالا بودن میزان آهن،

- بالا بودن میزان سولفات،

- بالا بودن غلظت یون‌های فلزی،

- ایجاد لجن غیر طبیعی.

زهاب‌های اسیدی می‌توانند از طریق پساب‌های خروجی کارخانجات شستشوی ذغال به آب‌های سطحی و زیزمنی وارد شده و غلظت‌های بالایی از سولفات و فلزات سنگین را به این محیط‌ها وارد کرده و موجب تغییرات pH آن‌ها شود. تغییرات pH اثرات مخربی بر حیات موجودات زنده در آب‌های سطحی خواهد داشت. افزایش غلظت سولفات و جامدات محلول کیفیت آب برای مصارف شرب و کشاورزی را کاهش می‌دهد. به منظور بررسی اثرات ناشی از فعالیت‌های صنعتی و معدنی بر کیفیت آب‌های سطحی و زیزمنی و نیز رسوبات موجود در محیط‌های آبی مطالعات گسترده‌ای شکل گرفته است که در ادامه به آن‌ها اشاره می‌شود.

۱-۲-۱- مروری بر کارهای انجام شده در جهان و ایران

۱-۲-۱- تغییرات هیدروشیمیایی و مدل سازی ژئوشیمیایی بر اساس موازنۀ ترمودینامیکی ورود غلظت‌های بالای سولفات در نتیجه اکسایش پیریت و تولید زهاب اسیدی (AMD) یا زهاب خنثی (NAMD) موجب تغییر تیپ آب‌های سطحی و زیزمنی و تشکیل کانی‌های ثانویه مانند سولفات‌ها و هیدروکسیدها در جریان‌های آب سطحی در محدوده فعالیت‌های معدن‌کاری و

¹ Kim

² Lee

³ Zhao

⁴ Hakkou

⁵ Heikkinen

⁶ Akabzaa

⁷ Equeenuddin

کارخانجات فرآوری شده است که در مطالعات بسیاری به آن اشاره شده است (داینلی و همکاران، ۲۰۰۶؛ لی و چون، ۲۰۰۹؛ آکابزا و همکاران، ۲۰۱۰؛ اخیالدین و همکاران، ۲۰۱۰؛ دولتی اردهجانی و همکاران، ۲۰۱۰)

داینلی و همکاران (۲۰۰۱) زهاب اسیدی تولیدی در معدن اسفالریت-کالکوپیریت-پیریت لیبیولا^۱ در کشور ایتالیا را موجب تغییر آنیون‌های غالب در آب‌های سطحی آلوده، از بی‌کربنات به سولفات می‌دانند. کلسیم و منیزیم کاتیون‌های غالب در آب رودخانه گرومولو^۲ در مجاورت این معدن بوده که سنگ‌شناسی حوضه آبریز رودخانه را منعکس می‌نمایند و در نمونه‌های آلوده به زهاب اسیدی غلظت بالاتر منیزیم نسبت به کلسیم، در نتیجه شسته شدن کانی‌های منیزیم‌دار در باطله‌ها مانند سرپانتین، تالک و کلریت توسط زهاب اسیدی و واردشدن به رودخانه است. همچنین هیدروکسیدهای آهن را به عنوان کانی ثانویه تولید شده در منطقه معرفی نمود.

لی و چون (۲۰۰۶) مشخصات زهاب اسیدی تولیدی توسط معدن متروکه فلزی دادوک^۳ در کره را بررسی نمودند. نتایج مدل‌سازی ژئوشیمیایی با استفاده از نرم افزار PHREEQC نشان داد که احتمالاً کانی‌های گوئتیت^۴ (FeOOH) و شورتمنایت^۵ ($\text{Fe}_8\text{O}_8(\text{OH})_{4.5}(\text{SO}_4)_{1.75}$) در برکه‌های متاثر از AMD و در مقادیر pH پایین (۳/۳) در حالت فوق اشباع قرار داشته و تشکیل می‌شوند. همچنین رنگ زرد-نارنجی در برکه‌ها ناشی از حضور این کانی‌ها می‌باشد.

اخیالدین و همکاران (۲۰۱۰) آب‌های سطحی و زیرزمینی در محدوده معادن ذغال نواری و گالری‌های زیرزمینی در ناحیه ذغالی ماکوم^۶ در هندوستان را با استفاده نمودار پایپر^۷ (۱۹۴۴) به سه نوع، کلسیم-منیزیم-سولفات، سدیم-پتاسیم-سولفات و کلسیم-منیزیم-بی‌کربنات طبقه‌بندی نمودند که دو نوع اول تحت تاثیر زهاب اسیدی (AMD) قرار گرفته‌اند. از نرم افزار PHREEQC برای

^۱ Libiola

^۲ Gromolo

^۳ Daduk

^۴ Goethite

^۵ Schwertmannite

^۶ Makum

^۷ Piper

مدل‌سازی ژئوشیمیایی زهاب اسیدی استفاده نموده و نتایج مدل‌سازی موازنۀ ترمودینامیکی احتمال حضور کانی‌های ژاروستی^۱ در pH‌های پایین‌تر از ۲/۵، شورتمنایت در pH‌های کمتر از ۴/۵ فری‌هیدریت^۲ در مقدار pH بالاتر از ۵/۸ و گوتئیت در محدوده وسیع pH از فوق العاده اسیدی تا قلیایی را بیان نمود. رنگ زرد مایل به نارنجی (پرتقالی) آب‌های متاثر از AMD دلیلی بر درستی نتایج و پیش‌بینی‌های مدل موازنۀ ترمودینامیکی مبنی بر حضور و اشباع بودن کانی‌های آهن‌دار می‌باشد. در ایران و در محدوده کارخانه ذغال‌شویی انجیر تنگه-زیرآب و معادن ذغال‌سنگ کارمزد در ناحیه ذغالی البرز مرکزی در استان مازندران، تغییرات تیپ آب‌ها و احتمال تشکیل کانی‌های ثانویه در محیط‌های آبی متاثر از زهاب اسیدی با استفاده از مدل‌سازی ژئوشیمیایی مورد بررسی قرار گرفته است (قلی‌پور و همکاران، ۱۳۸۸ و ۱۳۸۹).

۱-۲-۲-۱ ارزیابی حضور عناصر سمی در رسوبات و سیستم‌های آبی

آب سرمایه ملی است و با توجه به رشد روزافزون جمعیت دسترسی به آب سالم آشامیدنی از مهم‌ترین نیازهای بشر به شمار می‌آید. فلزات سنگین به دلیل پایداری و سمیت از آلاینده‌های مهم و خطرناک محیط زیست به شمار می‌آیند که همراه با پساب کارخانجات به رودخانه‌ها و سپس سایر محیط‌های آبی وارد می‌شوند. بعضی از فلزات سنگین موجود در سامانه‌های آبی مانند مس و روی برای حیات موجودات زنده ضروری‌اند ولی اگر از حداکثر غلظت مجاز تجاوز نمایند، خاصیت سمی خواهند داشت. در مقابل غلظت‌های پایین فلزات سنگینی مانند سرب و کادمیم در محیط‌های آبی برای موجودات زنده سمی‌اند. از این رو حساس بودن به آلودگی منابع آب و شناسایی^۳ صنایع و معادن آلوده کننده آب منجر به ایجاد مجموعه‌ای از شاخص‌ها برای کمی کردن کیفیت آب و مقایسه آن با استاندارهای ملی و جهانی شده است.

بکمن و همکاران (۱۹۹۸) شاخص درجه آلودگی^۴ برای ارزیابی و به نقشه درآوردن میزان آلودگی در

¹ Jarosite

² Ferrihydrite

³ Monitoring

⁴ Degree of Contamination index

آب‌های زیرزمینی دو منطقه در جنوب فنلاند و مرکز اسلواکی را ارائه نمودند. شاخص بر اساس مقایسه غلظت فلزات نسبت به حد مجاز در محیط‌های آبی محاسبه شد. پارامترهای کیفیت آب تاثیر متضاد عوامل زیست محیطی با منشا انسانی^۱ و طبیعی بر کیفیت آب زیرزمینی را منعکس نمود. در هر دو کشور مناطق متمرکز زراعی به عنوان مهم‌ترین عامل انسانی آلودکننده آب زیرزمینی شناسایی شد.

موهان^۲ و همکاران (۱۹۹۶) شاخص آلودگی فلز سنگین^۳ (HPI) را برای ارزیابی آلودگی آب‌های آشامیدنی نسبت به حداکثر غلظت مجاز فلزات سنگین در آب آشامیدنی ارائه نمودند. ادت^۴ و افیونگ^۵ (۲۰۰۲) کارایی شاخص‌های آلودگی فلز سنگین (HPI) و درجه آلودگی (C_d) در شناسایی آلودگی رودخانه‌ای در جنوب نیجریه را بررسی نموده و شاخص سنجش فلز سنگین^۶ (HEI) را نیز به منظور ارزیابی بهتر منابع آلوده کننده فلز سنگین رودخانه پیشنهاد نمودند.

گیری^۷ و همکاران (۲۰۱۰) با برداشت ۱۸ نمونه آب سطحی و زیرزمینی از منطقه معدنی اورانیوم BaGjata^۸ در هندوستان، شاخص آلودگی فلز سنگین را نسبت به فلزات Fe, Zn, Mn, Pb, Cu و محاسبه و هیچ نمونه‌ای با آلودگی قابل توجه مشاهده نکردند. بويان^۹ و همکاران (۲۰۱۰) از شاخص‌های درجه آلودگی، شاخص سنجش آلودگی فلز سنگین و درجه آلودگی برای بررسی شدت و منبع آلودگی در سیستم‌های آب آشامیدنی و آبیاری در شمال غربی بنگلادش در مجاورت معدن ذغال استفاده نمودند. آب‌های زیرزمینی در مجاورت معدن به شدت آلوده به فلزات سنگین بوده و نگرانی‌های عمده‌ای در ارتباط با سیستم‌های آب آشامیدنی و آبیاری منطقه حاصل شد.

در مطالعات بسیاری از شاخص‌های آلودگی فلزی برای ارزیابی آلودگی آب به فلزات در سیستم‌های

^۱ Anthropogenic

^۲ Mohan

^۳ Heavy metal Pollution Index

^۴ Edet

^۵ Offiong

^۶ Heavy metal Evaluation index

^۷ Giri

^۸ Bagjata

^۹ Bhuiyan

آبی استفاده شده است (پراساد^۱ و بوس^۲، ۲۰۰۱؛ پراساد و سانگیتا، ۲۰۰۸؛ حاجی زاده و همکاران، ۲۰۱۰).

فلزات سنگین در سامانه‌های آبی بر اساس مجموعه‌ای از فرآیندهای هیدرودینامیکی، بیوژئوشیمیایی^۳ و شرایط محیطی (پتانسیل اکسایش-کاهش، pH، شوری و دما)، در رسوبات انباشته می‌شوند ولی با

تغییر شرایط محیطی فلزات سنگین و سایر آلاینده‌ها، متحرک و به آبهای روی رسوبات منتقل و رسوبات به عنوان منبع آلودگی عمل می‌نمایند. همچنین فلزات سنگین باقی‌مانده در رسوبات می‌توانند توسط موجودات زنده در محیط‌های آبی^۴ و یا گیاهان جذب و وارد چرخه غذایی انسان شوند. از این رو ارزیابی کیفیت زیست محیطی رسوبات برای تعیین غلظت فلزات سنگین ضروری است.

هاکانسون^۵ (۱۹۷۹) میانگین غلظت عناصر Zn، Cu، Cr، As، Pb، Cd، Hg در ۵ نمونه از رسوبات سطحی (۰-۱ cm) کف دریاچه را تعیین و نسبت به مقادیر مرجع تحت عنوان شاخص درجه آلودگی محاسبه نمود. وی شاخص آلودگی را برای برآورد مخاطرات اکولوژیکی^۶ رسوبات دریاچه‌ای ارائه داد. تاملینسن^۷ و همکاران (۱۹۸۰) تحقیقاتی در ساحل شرقی جمهوری ایرلند به منظور بررسی حضور و انباشت فلزات سنگین ناشی از فعالیت‌های صنعتی در محیط‌های دلتایی انجام دادند و در نهایت دو اندیس کیفیت بیولوژیکی^۸ و اندیس بار آلودگی^۹ را برای شناخت مناطق آلوده از غیر آلوده و میزان آلودگی به فلز سنگین ارائه کردند.

¹ Prasad

² Bose

³ Biogeochemical

⁴ Biota

⁵ Häkanson

⁶ Ecological risk assessment

⁷ Tomlinson

⁸ Biological quality index

⁹ Pollution load index

گونگالوس^۱ و همکاران (۱۹۹۴) غلظت فلزات Cd, Cr, Cu, Ni و Pb در رسوبات سطحی و خزه‌های آبیز رودخانه کاودو^۲ در پرتقال را به منظور شناسایی آلودگی کلی فلزی و منابع عمدۀ آلودگی فلزات جزئی^۴ تعیین نمودند. غلظت زمینه محلی فلزات در رسوبات منطقه تعیین شد و درجه آلودگی رسوبات از نسبت بین غلظت فلزات آنالیز شده در رسوبات به غلظت زمینه محلی محاسبه شد. آلودگی رسوبات از نسبت بین غلظت فلزات آنالیز شده در رسوبات به غلظت زمینه محلی محاسبه شد. میزان آلودگی فلزی کلی نیز با استفاده از شاخص آلودگی فلزی^۵ در رسوبات منطقه ارزیابی شد. در نهایت پسابهای صنعتی و زهابهای مناطق معدنی به عنوان عامل تغییرات غلظت فلزات در رسوبات شناخته شد.

سالمونز^۶ و فرستنر^۷ (۱۹۸۴) مطالعاتی در زمینه غنی‌شدگی فلزات در محیط‌های آبی انجام داده و عامل غنی‌شدگی^۸ را برای مقایسه غلظت فلزات در رسوبات نسبت به غلظت زمینه ارائه نمودند. مولر^۹ (۱۹۷۹) با ارزیابی میزان انباشت^{۱۰} فلزات سنگین در رسوبات سطحی محیط‌های آبی، برای اولین بار شاخص زمین انباشت را که به ضریب مولر نیز معروف است معرفی نمود. داینلی و همکاران (۲۰۰۱) افزایش غلظت فلزات در رسوبات رودخانه گرومولو^{۱۱} در نزدیکی جنوا را ناشی از تشکیل زهاب اسیدی معدن اسفالریت-کالکوپیریت-پیریت لیبیولا^{۱۲} می‌دانند. مواد باطله انباشت شده در محدوده‌ای به مساحت $2/5 \text{ km}^2$ ، زهاب اسیدی با مقادیر pH کمتر از $2/5$ و با غلظت‌های بالایی از فلزات محلول Fe, Al, Mn, Zn, Cu و Ni تولید می‌نماید. در برخورد زهاب اسیدی با آب رودخانه با pH نرمال ($\text{pH}=8$) رسوبات قرمز رنگ ناشی از ترکیبات آهن‌دار به خصوص فری‌هیدریت_۳ Fe(OH)_3 تهذیف شد که جاذب بسیاری از عناصر محلول در زهاب می‌باشد.

¹ Gongalves

² Mosses

³ Cavado

⁴ Trace metal

⁵ Metal pollution index

⁶ Salomons

⁷ Förstner

⁸ Enrichment Factor

⁹ Müller

¹⁰ Accumulation

¹¹ Gromolo

¹² Libiola

لخته شدن^۱ و تجمع فوری فلزات باعث ایجاد آنومالی فلزات Fe، Cu، Al، Sc، Co، Zn، La، Y و Ce می‌شوند. غلظت‌های کمتر Cr و Ni در رسوبات پایین دست محل ورود زهاب به رودخانه شد. فلزاتی مانند مس ۱۰۰۰ برابر غلظت زمینه (۵۰ ppm) و روی، ۲۰ برابر غلظت زمینه (۵۰ ppm) در رسوبات رودخانه غنی شده‌اند. آلودگی رسوبات و آب رودخانه سابین^۲ در غنا با استفاده از شاخص‌های فاکتور آلودگی و شاخص بار آلودگی مورد تحقیق قرار گرفت تا تاثیر فعالیت‌های صنعتی بر این رودخانه بررسی شود (آدماكو^۳ و همکاران، ۲۰۰۸). همچنین آلودگی فلزات سنگین در رسوبات ورودی رودخانه یانگتزر به دریا^۴ که از نواحی مهم صنعتی چین به شمار می‌آید با استفاده از شاخص زمین انباشت و ضریب غنی شدگی و آنالیزهای آماری مورد ارزیابی قرار گرفته است (ژنگ^۵ و همکاران، ۲۰۰۹).

در دهه اخیر و در مناطق مختلف جهان، مطالعات گستردگی‌های در زمینه بررسی حضور فلزات سنگین در رسوبات محیط‌های آبی انجام شده است (موریو^۶ و همکاران، ۲۰۰۲؛ پکی^۷ و همکاران، ۲۰۰۴؛ کرستوفریدیس^۸ و همکاران، ۲۰۰۹؛ هنگی^۹ و همکاران، ۲۰۰۹؛ بدرا^{۱۰} و همکاران، ۲۰۰۹؛ سوتھار^{۱۱} و همکاران، ۲۰۰۹؛ سرکار^{۱۲} و همکاران، ۲۰۱۰؛ گارسیا^{۱۳} و همکاران، ۲۰۱۰؛ ژو^{۱۴} و همکاران، ۲۰۱۰).

در ایران نیز تحقیقاتی در زمینه برآورد آلودگی فلزات سنگین در محیط‌های آبی و خاک انجام گرفته است. در ناحیه افیولیتی فیروزآباد در شرق شهرکرد، نمونه‌های خاک نسبت به عناصر Fe، Mn، Cr، Ni غنی شده بودند و در نمونه‌های آب غلظت عناصر Cr و Ni بالاتر از حد مجاز بودند که در نتیجه فعالیت‌های طبیعی زمین شناسی گزارش شده است (حاجی زاده و همکاران، ۲۰۱۰).

¹ Flocculation² Subin³ Adomako⁴ Yangtze inertidal zone⁵ Zhang⁶ Morillo⁷ Pekey⁸ Christophoridis⁹ Hongyi¹⁰ Badr¹¹ Suthar¹² Sarkar¹³ Garcia¹⁴ Zhu

رسوبات رودخانه‌های سونگون چای، پخیرچای، ایلگینه چای و زرنکاب چای در استان آذربایجان شرقی نسبت به فلزات سنگین Cu, Pb, Mo و Ni غنی‌شدگی و آلودگی نشان دادند که ناشی از فعالیت‌های معدنکاری مس پورفیری سونگون است (مر و همکاران، ۱۳۸۸).

۳-۲-۱- مدل سازی اکسایش سولفیدها

اغلب، در دسترس بودن سولفیدها در ذرات باطله دپو شده و در دسترس بودن اکسیژن در سطح دانه کانی دو عامل کنترل کننده اکسایش سولفیدی می‌باشند. اکسیژن از سطح دپوی باطله به دو صورت نفوذ مولکولی و پهنه‌رفت حرارتی یا جابجایی هوا به درون دپو منتقل می‌شود (لفبور^۱ و همکاران، ۲۰۰۱b؛ ریچی^۲، ۲۰۰۳؛ کیم^۳ و بنسن، ۲۰۰۴). در دپوهای شدیداً لایه‌ای و یا با نفوذپذیری پایین، انتقال در نتیجه نفوذ پدیده غالب است و انتقال اکسیژن توسط نرخ نفوذ رطوبت به داخل باطله‌ها کنترل می‌شود. همان‌گونه که نرخ نفوذ اکسیژن در آب چندین برابر کمتر از نفوذ در هوا می‌باشد (فردلوند^۴ و راهرجو، ۱۹۹۳؛ کولین^۵ و راسموسن، ۱۹۸۸)، نرخ نفوذ اکسیژن در درون دپو به آب محتوى محلی دپو وابسته است (مونیمپا^۶ و همکاران، ۲۰۰۳).

مطالعات زیادی نیز در زمینه مدل‌سازی اکسایش پیریت و تولید آلودگی صورت گرفته است (کاتلس^۷ و آپس، ۱۹۷۵؛ جینز^۸ و همکاران، ۱۹۸۴؛ دیویس^۹ و ریچی، ۱۹۸۶؛ دیویس و همکاران ۱۹۸۶؛ البرلینگ^{۱۰} و همکاران، ۱۹۹۴؛ والتر^{۱۱} و همکاران، ۱۹۹۴a,b؛ لفبور و گلیناس^{۱۲}، ۱۹۹۵؛

^۱ Lefebvre

^۲ Ritchie

^۳ Kim

^۴ Fredlund

^۵ Collin

^۶ Mbonimpa

^۷ Cathles

^۸ Jaynes

^۹ Davis

^{۱۰} Elberling

^{۱۱} Walter

^{۱۲} Gelinas

واندرلی^۱ و همکاران، ۱۹۹۶؛ گرک^۲ و همکاران، ۲۰۰۱؛ دولتی اردنه‌جانی و همکاران، ۲۰۰۴؛ سینگ^۳ و دولتی اردنه‌جانی^۴.

کاتلس و آپس (۱۹۷۵) مدل یک بعدی برای فرآیندهای اکسایش و لیچینگ ارائه نموده و در آن وابستگی مدل به درجه حرارت، تعادل اکسیژن و اثر پهنه رفت هوا را مورد توجه قرار دادند. در این مدل فرض شده است که پهنه رفت هوا مهمترین مکانیسم انتقال اکسیژن به درون دمپ و اکسایش یون Fe^{+2} در حضور باکتری‌های اکسید کننده آهن می‌باشد. فرآیند لیچینگ در نتیجه فرآیندهای شیمیایی و نفوذ کنترل می‌شود و در ابتدا سولفیدها به وسیله یون Fe^{+3} اکسید شدنند. فرضیات ارائه شده توسط این مدل برای مکانیسم‌های موجود در باطله‌های درشت دانه مس می‌تواند منطقی باشد.

جینز و همکاران (۱۹۸۴) یک مدل یک بعدی تفاوت‌های محدود^۴ به نام POLS در معادن روباز نواری ارائه دادند. اکسایش پیریت توسط عوامل اکسید کننده اکسیژن و یون Fe^{+3} در مدل لحاظ شده و فرض شد که اکسایش پیریت توسط ثابت واکنش مرتبه اول و نرخ نفوذ ماده اکسید کننده به درون ذره واکنش‌دهنده کنترل می‌شود. علاوه بر این در مدل فرض شد که محصولات اکسایش در نتیجه جریان آب‌های سطحی منتقل شده و از نقش آب‌های زیرزمینی در این انتقال چشم پوشی شد. برهمنش بین فاز جامد و گونه‌های محلول در نظر گرفته نشد. این مدل بعدها توسط تکنیک‌های تحلیلی و در نظر گرفتن عوامل فیزیکی، شیمیایی و بیولوژیکی در گیر در زهاب اسیدی توسعه داده شد. هدف از توسعه مدل، شبیه‌سازی برهمنش بین فاز جامد و گونه‌های محلول بود (دولتی اردنه‌جانی و همکاران، ۲۰۰۴؛ سینگ و دولتی اردنه‌جانی ۲۰۰۴).

البرلینگ و همکاران (۱۹۹۴) به منظور شبیه‌سازی اکسایش پیریت در باطله‌های فراوری مدلی عددی ارائه نمودند که با ترکیب اثر نفوذ اکسیژن به عمق و اکسایش با ثابت سینتیکی مرتبه اول فرموله شد. نرخ اکسایش پیریت در مدل بر اساس پیوستگی انتقال اکسیژن درون باطله‌ها و مصرف

¹ Wunderly

² Gerke

³ Singh

⁴ Finite difference

اکسیژن در سطح دانه‌های سولفیدی بنا شده است. یکی از شاخص‌های مهم مدل، حساسیت آن به عوامل فیزیکی مرتبط با دپوی باطله مانند درصد پیریت، اندازه ذره و ضریب نفوذ موثر اکسیژن می‌باشد که به وسیله شبیه‌سازی چندباره با مقادیر متفاوت ضریب نفوذ موثر اکسیژن تاثیر این عوامل فیزیکی بر نتایج مدل کاملاً قابل مشاهده است.

والتر و همکاران (۱۹۹۴ a,b) از مدل MINTRAN که چندین عامل واکنشی در طی انتقال را درنظر می‌گیرد، استفاده نمودند تا تحرک فلزات بالقوه سمی از دپوی باطله به عنوان منبع به سفره آب زیرزمینی را شبیه‌سازی نماید. اکسایش کانی‌های سولفیدی فلزاتی مانند Pb, Cu, Zn, As و Ni را وارد آب منفذی دپوی باطله می‌نماید. غلظت‌های اولیه برای شبیه‌سازی توسط مدل MINTRAN از برقراری تعادل بین فاز کانی‌های آزمایش شده با شیمی آب مشاهده شده با استفاده از مدل موازنه ژئوشیمیایی MINTEQA2 حاصل می‌شود. فرآیندهای درگیر در مدل عبارتند از پهن‌رفت، هم‌رفت، عامل بازدارندگی H^+ ، واکنش‌های انحلال و تهنشینی کانی. نتایج نشان داد که واکنش‌های خنثی کنندگی مواد کربناته سفره، غلظت فلزات محلول را چندین برابر کاهش می‌دهد. در طول مدت شبیه‌سازی (۱۲ سال)، واکنش تهنشینی اکثر فلزات را بی‌تحرک نمود. این مدل برای پیش‌بینی اکسایش کانی‌های سولفیدی، تولید زهاب اسیدی و انتقال محصولات اکسایش در باطله‌های فراوری معادن فلزی مناسب است.

دیویس و ریچی (۱۹۸۶) و دیویس و همکاران (۱۹۸۶) یک مدل ریاضی برای اکسیداسیون پیریت در دپوی باطله‌ها در استرالیا ارائه دادند که در آن نفوذ اکسیژن عامل کنترل کننده نرخ واکنش بود. این مدل از دو مرحله تشکیل شده بود: مرحله اول، نفوذ اکسیژن به درون فضاهای بین دانه‌ای دمپ و مرحله دوم شامل نفوذ اکسیژن به درون ذرات حاوی پیریت بر اساس مدل مغزه انقباضی^۱ بود. این مدل، مدلی بسیار کارا و قابل قبول در دپوهای با حجم زیاد باطله می‌باشد ولی نقش باکتری‌ها در اکسایش پیریت و انتقال محصولات پس از اکسایش در نظر گرفته نشده است.

^۱ Shrinking core model

لغبور و گلیناس (۱۹۹۵) مدل عددی برای شبیه‌سازی تولید زهاب اسیدی در دپوی باطله‌های معدنی ارائه کردند. فرآیندهای عمدۀ حاکم بر مدل شامل هیدرولوژی، انتقال گرمایی و گاز، ژئوشیمی و انتقال جرم می‌باشد. چند فاکتوری، چند فازی و غیرایزوترمال بودن مدل از مهم‌ترین شاخصه‌های آن می‌باشد. نرخ اکسایش پیریت در دپو باطله بر اساس مدل مغزه انقباضی کنترل می‌شود. مدل تاثیر واکنش سینتیک سطحی و نرخ نفوذ اکسیژن را مورد توجه قرار می‌دهد. نقش باکتری‌ها به دلیل درجه حرارت بالا در نظر گرفته نشد و فرض شد که اکسیژن تنها عامل اکسید کننده پیریت است. در این مطالعه نتیجه گرفته شد که فرآیند انتقال هوا در نتیجه هم‌رفت نرخ تولید آلودگی را کنترل می‌کند.

واندرلی و همکاران (۱۹۹۶) مدلی عددی به نام PYROX را برای نفوذ یک بعدی اکسیژن و اکسایش کانی سولفیدی ارائه نمودند تا اکسایش پیریت در زون هوازده را شبیه‌سازی نمایند. مدل مغزه انقباضی و روش عددی اجزاء محدود برای شبیه‌سازی اکسایش پیریت و نفوذ اکسیژن استفاده شد. مدل PYROX با مدل دو بعدی اجزاء محدود MINTRAN، برای انتقال آلودگی و مدل MINTEQA2 برای حل تعادل ژئوشیمیایی ترکیب شد. واکنش‌های شیمیایی در مدل با فرض موازن شیمیایی به صورت محلی مورد توجه قرار گرفت. مدل نهایی، MINTOX نامیده می‌شود.

۱-۳-۳- اهداف پایان نامه و ضرورت انجام آن

زهاب اسیدی معدن مهم‌ترین آلودگی زیست محیطی مرتبط با معدن‌کاری و یا فرآوری ذغال می‌باشد. احتمال تشکیل زهاب اسیدی در مکان‌های انباست باطله‌های معدن‌کاری و کارخانه‌های ذغال‌شویی زیاد می‌باشد زیرا این مکان‌ها در معرض مستقیم عوامل جوی مانند بارندگی و باد قرار دارند. عوامل جوی، پتانسیل تولید و انتقال زهاب اسیدی را افزایش می‌دهند. زهاب اسیدی اثرات مخربی بر منابع آب‌های سطحی، زیرزمینی، خاک و زیست بوم‌های مرتبط با این منابع دارد. کارخانه ذغال‌شویی زیرآب از سال ۱۳۶۸ با تکنولوژی روسی شروع به کار کرد. از همان زمان، مواد باطله همراه ذغال‌سنگ در محلی در محوطه کارخانه انبار شده است. به نظر می‌رسد که دپو کردن باطله‌های

ذغالشویی سبب آلودگی آب‌های زیرزمینی و سطحی شده و بهخصوص رودخانه مجاور کارخانه را نیز متأثر ساخته است. در مطالعه حاضر در نظر است با گرفتن نمونه‌های لازم از آب فرآیندی، آب سد باطله، حوضچه‌های جمع آوری آب، آب‌های سطحی، آب زیرزمینی، خاک، رسوبات آبراهه‌ای و نمونه‌برداری‌های عمقی از باطله‌های حاصل از ذغالشویی در محل انباشت باطله‌ها و آنالیز نمونه‌ها و انجام مدل سازی ریاضی، اکسایش پیریت و تولید آلودگی مورد ارزیابی قرار گیرند. در مطالعه حاضر هدف اصلی بررسی تاثیر کارخانه ذغالشویی و باطله‌های حاصل از شستشوی زغال‌سنگ بر محیط زیست اطراف کارخانه و بویژه در پائین دست کارخانه می‌باشد. سایر اهداف عبارتند از:

- ارائه یک مدل ریاضی که قادر به پیش‌بینی فرآیندهای طولانی مدت اکسایش پیریت و تولید آلودگی در منطقه باشد.

- ارائه راهکارها، پیشنهادات و توصیه‌های مناسب جهت تصفیه پساب کارخانه، کنترل و کاهش آلودگی بر محیط زیست منطقه.

تحقیقات مشابهی در زمینه بررسی کانی‌شناسی دپوی باطله کارخانه ذغالشویی زیرآب، تشکیل و تاثیر زهاب اسیدی کارخانه و نیز حوزه ذغالی کارمزد انجام شده است (قلی پور و همکاران، ۱۳۸۸ و ۱۳۸۹). بر اساس نتایج بررسی‌های ژئوشیمی و کانی‌شناسی، کاهش شدید اکسیدهای Fe_2O_3 و SO_3 و فلزات سنگین در دپوی باطله در مقایسه با ذغال‌سنگ ورودی کارخانه بیانگر فرآیندهای اکسایش پیریت و تشکیل اسید است. بر اساس نتایج هیدروژئوشیمی، آب‌های زهکشی و تراوش شده از دپوی باطله از نوع $(Na-Ca-Mg)-SO_4$ است. همچنین بر پایه مدل‌سازی هیدروژئوشیمیابی ورود این زهاب‌ها به رودخانه سبب تهنشینی گوتئیت، هیدروکسیدهای آمورف آهن و کلسیت می‌شود (قلی پور و همکاران، ۱۳۸۸). استفاده از مدل‌سازی ریاضی برای پیش‌بینی اکسایش پیریت به صورت پراکنده در ایران، به ویژه در محدوده کارخانه ذغالشویی البرز شرقی و دنیا کم و بیش انجام شده ولی سابقه چنین مطالعاتی در کشورمان زیاد نمی‌باشد (جدیری، ۱۳۸۵؛ زارع، ۱۳۸۷). بخش‌های مهمی از این تحقیق شامل بررسی میزان انباشت و غنی‌شدگی فلزات سنگین در دپوی باطله، خاک کارخانه و

رسوب رودخانه دلیلمن در مجاورت کارخانه و بویژه بخش مدل‌سازی ریاضی ممکن است برای اولین بار در منطقه مورد مطالعه انجام شود. اگر بتوان رابطه معنی‌دار بین تولید و انتشار آلاینده‌های موجود در باطله‌های حاصل از شستشوی ذغال پیدا نمود قطعاً کمک بزرگی برای مدیریت کارخانه در جهت به اجرا در آوردن طرح‌های لازم برای کنترل آلودگی‌ها و تصفیه پساب‌های تولیدی خواهد بود. علاوه بر آن، نتایج به دست آمده و شیوه انجام مطالعه می‌تواند برای موارد مشابه نیز مفید واقع شود.

۱-۴- سازماندهی تحقیق

این تحقیق شامل هفت فصل می‌باشد که:

- فصل اول شامل مقدمه، مروری بر مطالعات پیشین مرتبط با موضوع تحقیق در سطح جهان و منطقه، اهداف و ضرورت انجام تحقیق می‌باشد.
- فصل دوم مطالبی درخصوص ذغال و جایگاه آن در ایران و جهان، تشکیل ذغال، ذخائر ذغالی ایران به ویژه ناحیه البرز مرکزی و نیز کلیاتی در مورد ترکیب ذغال با تمرکز ویژه روی مشکلات زیست محیطی آن ارائه شده است.
- فصل سوم معادن ذغال سنگ البرز مرکزی و زمین شناسی آن‌ها، ویژگی رودخانه‌ها و وضعیت آب و هوا در منطقه سوادکوه، موقعیت جغرافیایی کارخانه ذغال‌شویی انجیر تنگه، کلیاتی درخصوص کارخانه ذغال‌شویی شامل فرآیند ذغال‌شویی و باطله‌های ناشی از آن، روش و نحوه انباست باطله‌ها بیان خواهد شد. همچنین مشاهدات صحرایی به منظور بررسی آثار زیست محیطی کارخانه ذغال‌شویی بر وضعیت اکولوژیکی منطقه در این فصل بیان می‌شود.
- در فصل چهارم نمونه‌برداری از مناطق با احتمال آلودگی زیاد ناشی از فرآیند ذغال‌شویی آمده است. محیط‌های نمونه‌برداری شامل نمونه‌برداری‌های عمقی روی دمپ باطله، نمونه برداری از محیط‌های آبی در محدوده کارخانه و رودخانه دلیلمن در مجاورت کارخانه، رسوب مسیر رودخانه مذکور، آب یک چشم در خارج از کارخانه می‌باشند. همچنین روش‌های

آزمایشگاهی برای تعیین میزان پیریت باقیمانده، تهیه مقاطع مینرالوگرافی، روش‌های آنالیز

نمونه‌های آب و دپوی باطله برای عناصر و کاتیون، آنیون‌های عمدۀ بیان شده است.

■ فصل پنجم اثرات زیست محیطی کارخانه ذغالشویی برکیفیت آب‌ها در محدوده کارخانه،

تولید زهاب اسیدی معدن و نوع زهاب، میزان فلزات سنگین در آب‌ها و مقایسه با

استانداردهای آب آشامیدنی، مدل‌سازی تشکیل کانی‌های احتمالی در محیط‌های آبی با

توجه به شرایط pH و پتانسیل خنثی‌کنندگی آب‌ها و نقش زهاب اسیدی معدن در آلودگی

خاک و رسوبات رودخانه‌ای مورد مطالعه قرار گرفته است.

■ فصل ششم بررسی ژئوشیمیایی دپوی باطله شامل غنی‌شدگی، تهی‌شدگی و تغییرات غلظت

عناصر جزئی دپو نسبت به غلظت این عناصر در میانگین ذغال‌های جهان و شیل سیاه،

ارتباط بین عناصر جزئی موجود در دپو با محتوی پیریت دپو و فاز سولفیدی از طریق

محاسبه همبستگی عناصر جزئی آنالیز شده در تمام نمونه‌های دپو نسبت به گوگرد کل

بررسی شد، تغییرات غلظت سولفات، پیریت باقیمانده و pH نسبت به عمق برای شناسایی

زون اکسیده و در نهایت مدل‌سازی ریاضی نفوذ اکسیژن و اکسایش پیریت در دپوی باطله

انجام خواهد شد.

■ فصل هفتم جمع بندی و نتیجه‌گیری از مطالب مورد بحث در راستای مطالعه اثرات زیست

محیطی کارخانه ذغالشویی انجیرتنگه، بررسی مناطق با آلودگی بیشتر و پیشنهاداتی به

منظور کنترل پساب کارخانه انجیرتنگه ارائه شده است.

فصل دوم

ذغال و مشکلات زیست محیطی

مرتبط با آن

۱-۲- مقدمه

در فصل حاضر به بررسی منابع ذغال سنگ در جهان، ایران و ذخایر ذغال سنگ البرز مرکزی پرداخته، سپس منشا سولفور در ذغال بررسی می‌شود. تعریف و تاریخچه‌ای از زهاب اسیدی به همراه آثار مخرب زیست محیطی و اکولوژیکی زهاب اسیدی بیان می‌شود. چرخه ژئوشیمیایی و بیوشیمیایی سولفور، منابع زهاب اسیدی و واکنش‌های اکسایش پیریت و خنثی‌سازی اسید و عوامل فیزیکی، شیمیایی و بیولوژیکی که مستقیماً در نرخ اکسایش سولفید نقش دارند سایر بخش‌های فصل حاضر را تشکیل می‌دهند.

۲-۱- منابع ذغال سنگ در جهان

ذغال $\frac{2}{3}/3$ درصد از انرژی اولیه مورد نیاز جهان را تامین می‌کند و 60 درصد ذغال مصرفی صرف تولید انرژی الکتریکی می‌شود. کل منابع ذغال سنگ در جهان $10\,13$ بیلیون تن تخمین زده شده است که بر اساس مطالعات انجام شده در سال 1997 مقدار ذخائر قطعی ذغال سنگ $10\,3/611$ بیلیون تن می‌باشد که این مقدار 10 درصد کل منابع جهان را تشکیل می‌دهد (اصانلو، 1378). در جدول $1-2$ میزان ذخیره قطعی، تولید و مصرف ذغال سنگ در جهان تا پایان سال 1996 آمده است.

جدول ۱-۲. ذخیره قطعی، تولید و مصرف ذغال سنگ در جهان (اصانلو، 1378)

مناطق	ذخیره قطعی ذغال سنگ (میلیون تن)	تولید (میلیون تن)	صرف (میلیون تن)	سهم در کل ذخیره (درصد)
آمریکای مرکزی و جنوبی	$10\,197$	$39/1$	261	1
آمریکای شمالی	$25\,392$	$10\,48/5$	1143	$24/2$
اروپا	$15\,667$	$849/6$	184	$15/2$
شوری سابق	$24\,000$	$40\,5/1$	595	$23/4$
خاورمیانه	193	$1,7$	$113/5$	$0/0\,18$
آفریقا	$60\,938$	$214/7$	$284/3$	$5/9$
آسیا و اقیانوسیه	$311\,490$	$20\,48/7$	152	$30/2$
جمع	$10\,31611$	$460\,7/4$	224	100

۳-۲- ذخایر ذغال سنگ در ایران

طبق مطالعات و آمار منتشره از سوی کارشناسان شرکت ملی فولاد در سال ۱۳۷۴، میزان ذخایر اکتشافی ذغال سنگ در ایران بالغ بر ۱/۸ میلیارد تن تخمین زده می‌شود که از این مقدار ۵۱۰/۲۱۴ میلیون تن ذخیره قطعی، ۱۱۸۳/۵۴ میلیون تن ذخیره احتمالی و حدود ۱۲۴ میلیون تن ذخیره ممکن اعلام شده است. بر اساس مطالعات انجام شده در حوضه‌های ذغالی، مناطق ذغال خیز ایران شامل پنج منطقه و به ترتیب اهمیت از نظر کمیت عبارتند از منطقه طبس، البرز مرکزی، کرمان، البرز شرقی و البرز غربی. کل ذخیره ذغال سنگ این مناطق ۱۶۹۳/۵۲۶۹ میلیون تن تخمین زده شده است (اصانلو، ۱۳۷۸).

۴-۲- ذخایر ذغال سنگ البرز مرکزی

ناحیه ذغالی البرز مرکزی یکی از نواحی با پتانسیل بالا برای تامین ذغال مورد نیاز کارخانه ذوب آهن اصفهان می‌باشد. مناطق ذغال دار در ناحیه البرز مرکزی به ترتیب از شرق به غرب شامل حوضه ذغال دار چهاردشت (معدن کیاسر)، حوضه بزرگ ذغال دار آلاشت، حوضه بزرگ ذغال دار گلندرود و حوضه ذغالی نورود است (جدول ۲-۲).

۵-۲- ترکیب ذغال

با توجه به اینکه منشاء اصلی آلودگی معادن ذغال از مواد همراه ذغال ناشی می‌گردد بنابر این، شناخت ترکیب ذغال سنگ از دیدگاه زیست محیطی از اهمیت ویژه‌ای برخوردار می‌باشد. کربن (C)، هیدروژن (H)، نیتروژن (N)، اکسیژن (O) و سولفور (S) عناصر اصلی تشکیل دهنده ذغال می‌باشند. نیتروژن، ۵/۰ تا حداقل ۲ درصد وزن کل ذغال را تشکیل می‌دهد. میزان اکسیژن در ذغال سنگ ها بر حسب درجه تکامل ذغال می‌تواند تا ۳۰ درصد وزن آنها را به خود اختصاص دهد. با افزایش درجه ذغال شدگی، درصد کربن افزایش و درصد هیدروژن، نیتروژن و اکسیژن کاهش می‌یابد، در نتیجه از نظر اقتصادی نوع ذغال مرغوب‌تر می‌گردد (رضایی، ۱۳۸۱).

جدول ۲-۲. مناطق ذغال دار در ناحیه ذغالی البرز مرکزی (دفتر فنی اکتشاف شرکت ذغال سنگ البرز مرکزی، ۱۳۷۲).

ناحیه	نام معدن یا منطقه اکتشافی	میزان ذخیره (میلیون تن)
آلاشت	کارمزد ۱، کارمزد ۲، انجیرتنگه، کارسنگ، نوار رودبار، آبندان، اندبار، گلیران، سفیدریز و کرد آباد	۵۷۶
گلندرود	گلندرود و کجور	۱۰۳
شمشك و دماؤند	گاجره، شمشک، الیکا، آزاد دار و چشمہ گل	۱۵۶
تنگه سرخ آباد	-	۱۱۵
چهاردهشت	کیاسر ۱، کیاسر ۲، دشت کیاسر، قادیکلا، باوکلا، کلخه کوه، شیلک، فولاد محله، پرور، گردنه، بالاده، کوه داراب، گانو، کوه وزام، کوه میانتن و کوه کافرسر	۸۳

۶-۲- سولفور

سولفور یا گوگرد همواره به عنوان عنصری مزاحم در ذغال شناخته شده است. مقدار گوگرد موجود در ذغال مانند سایر عناصر بستگی به درجه تکامل ذغال دارد. کاهش ارزش حرارتی ذغال سنگ و تاثیر منفی بر کیفیت ذغال مهم‌ترین مشکلات سولفور موجود در ذغال است.

۶-۱- انواع سولفور در ذغال

سولفور در ذغال به سه شکل می‌تواند وجود داشته باشد:

■ سولفور آلی^۱ که به صورت ترکیب با کربن و یا ترکیب با کربن و هیدروژن است.

■ به صورت پیریت با بلورهای مکعبی و یا مارکاسیت (FeS_2) با بلورهای ارتورمبیک،

■ به صورت سولفات مانند سولفات کلسیم، سولفات آهن و سولفات آلومینیوم.

سولفورهای آلی ۳۰ تا ۶۰ درصد سولفورهای ذغال را تشکیل می‌دهند. از نظر کمی غالباً مقدارشان از ۳ درصد وزن ذغال تجاوز نمی‌کند. پیریت و مارکاسیت دو کانی مختلف از (FeS_2) هستند با این

¹ Organic

تفاوت که کانی‌های پیریت مکعبی شکل و مارکاسیت به صورت ارتورومبیک^۱ است. معمولاً تشخیص و تفکیک این دو از یکدیگر مشکل می‌باشد و غالباً هر دو را به عنوان پیریت می‌شناسند.

۲-۶-۲- منشاء سولفور

منشاء سولفور در ذغال، گیاهانی هستند که ترکیب اولیه ذغال را تشکیل می‌دهند و معمولاً ۰/۲٪ تا ۵٪ درصد سولفور دارند. بعدها در اثر فعالیت میکرووارگانیسم‌ها خصوصاً باکتری‌ها در گیاهان بر مقدار سولفور افزوده می‌گردد. در اثر بالا آمدن سطح دریا و پیشروی، این مواد به قعر دریا منتقل می‌شوند. در قعر دریا و اقیانوس‌ها مقدار کمی سولفور به صورت سولفات کلسیم ($CaSO_4$) وجود دارد که میکروارگانیسم‌هایی همچون باکتری‌های احیا کننده سولفات^۲ از اکسیژن موجود در ترکیب سولفات (SO_4^{2-}) به عنوان منبع اکسیژن خود استفاده می‌کنند (هونسلو^۳، ۱۹۹۵). با توجه به حضور سولفور و آهن در دریاها و فعالیت موجودات تک سلولی به تدریج شرایط برای تشکیل پیریت (FeS_2) و سولفورهای آلی فراهم می‌شود به طوری که مقدار سولفور تا ۹ درصد افزایش می‌یابد (اصانلو، ۱۳۷۸).

۲-۶-۳- چرخه‌های ژئوشیمیایی و جهانی سولفور

گوگرد نقش مهمی در تشکیل زهاب اسیدی، خنثی و شور دارد. گوگرد به دلیل حالت‌های مختلف اکسایش، عنصر بسیار متحرکی است و ترکیب‌های شیمیایی مختلفی دارد. ترکیب‌های شیمیایی بسیار مهم‌تر گوگرد مربوط به زهاب‌های معدن به همراه حالت‌های اکسایش گوگرد عبارتند از: گوگرد عنصری (S)، سولفات به شکل کانی‌های آبدار (S^{+6})، سولفید همراه کانی‌ها (S^2). در بسیاری از موارد اکسیداسیون باعث خودسوزی و احتراق شده که استفاده از اقدامات احتیاطی در اداره کردن مواد باطله را ضروری می‌نماید. خودسوزی باطله‌های ناحیه ذغالی دوره^۴ در پرتوال باعث آتش سوزی در جنگلهای منطقه اطراف دپو، در تابستان ۲۰۰۵ شده است (ریبیرو^۵ و همکاران، ۲۰۰۹). سولفور به

¹ Orthorhombic

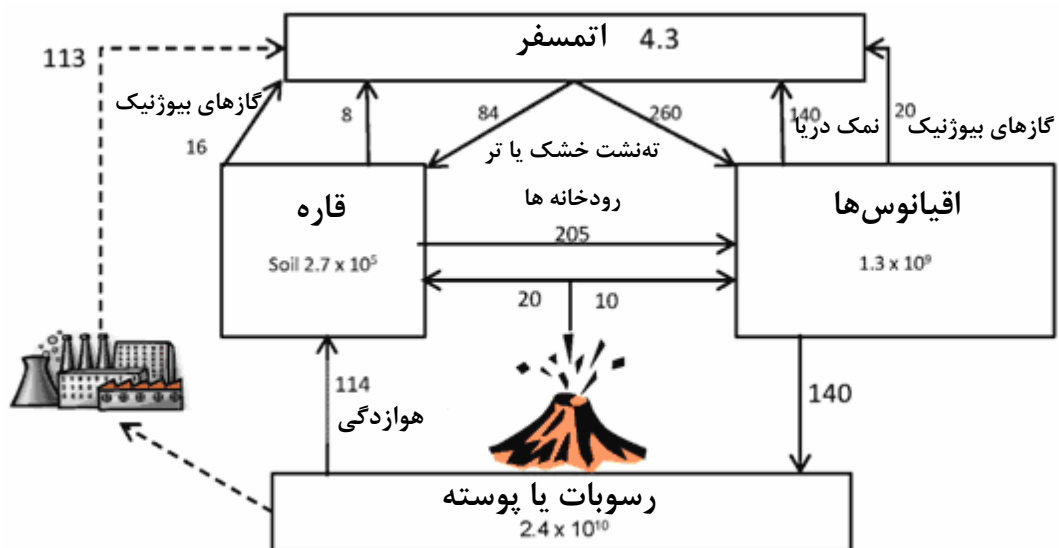
² Sulphate reduction bacteria

³ Hounslow

⁴ Douro coalfield

⁵ Ribeiro

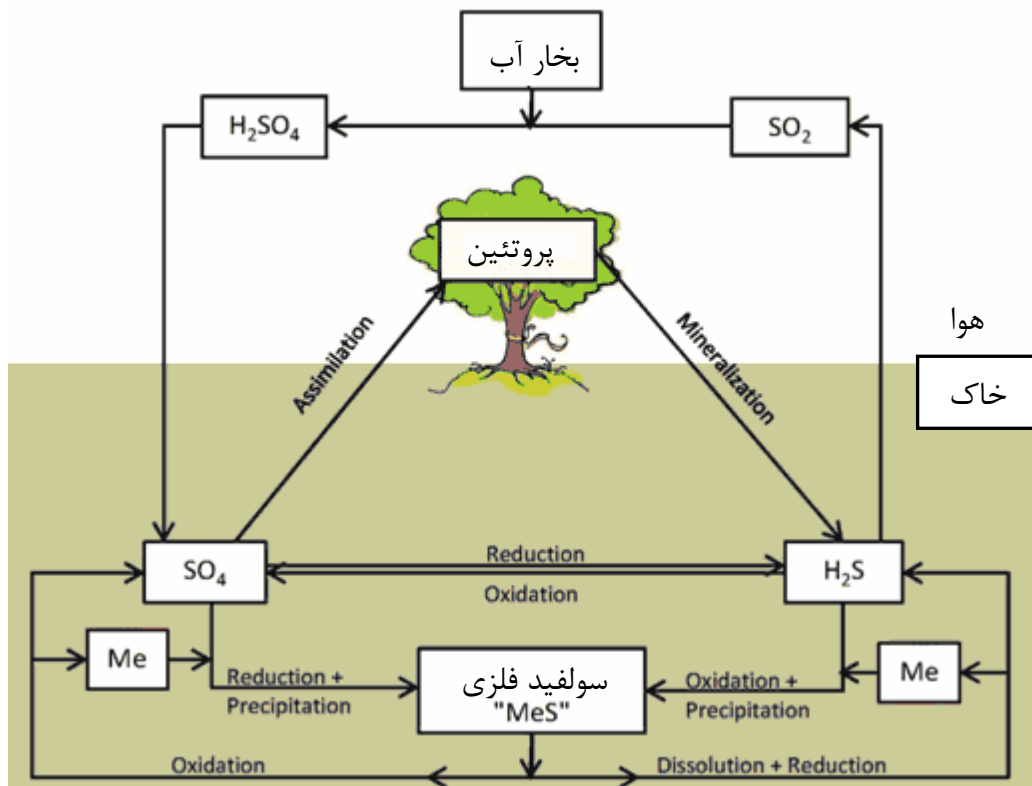
فرم کاهشی در کانی‌های سولفیدی حضور دارد که نسبتاً بی‌تحرک است. سولفور بعد از استخراج به وسیله معدن کاری و به دنبال آن اکسیداسیون، اثر مشخصی از طریق تولید زهاب‌ها بر محیط زیست میزبان دارد. ذخایر عمده‌ای از سولفات به شکل محلول به همراه رسوبات و در اقیانوس‌های دنیا وجود دارد. چرخه جهانی سولفور به شکل ساده در شکل ۱-۲ مشاهده می‌شود، مقادیر ارائه شده در شکل در بهترین حالت تقریب زده است (استام^۱ و مورگان^۲، ۱۹۹۶). در این شکل هوازدگی کانی‌های حاوی سولفور (ژپیس و سولفیدها)، انتشار در اثر آتش‌شان و گازهای تولیدی موجودات زنده بخش‌های مهم چرخه سولفور می‌باشد. چرخه جهانی سولفور به شدت تحت تاثیر سولفور ورودی ناشی از فعالیت‌های انسانی است. چرخه بیوژئوشیمیایی سولفور مفهوم نسبتاً ساده‌ای دارد و همان طور که در شکل ۲-۲ مشاهده می‌شود همه عوامل چرخه به صورت شدیدی تحت تاثیر میکروارگانیسم‌ها قرار دارند. اکثر سولفورها در رسوبات و پوسته زمین به شکل سولفور عنصری و کانی‌های سولفیدی وجود دارند که به سولفات از طریق فرآیندهای زیستی و غیرزیستی اکسید



شکل ۲-۱. چرخه جهانی گوگرد. جریان سولفور بر حسب میلیون تن سولفور در سال و موجودی‌ها بر اساس میلیون تن سولفور می‌باشد (استام و مورگان، ۱۹۹۶).

¹ Stumm
² Morgan

می‌شوند. سولفات موجود در خاک‌ها به وسیله گیاهان جذب و به پروتئین‌ها تبدیل می‌شوند. وقتی گیاهان می‌میرند و فاسد می‌شوند میکروارگانیسم‌ها سولفور موجود در پروتئین‌ها را به صورت سولفید هیدروژن یا سولفات کانی‌سازی می‌کنند. سولفید هیدروژن سپس می‌تواند با فلزات ترکیب شده و سولفید فلزی را تشکیل دهد و یا می‌تواند به سولفور عنصری یا دی‌اکسید سولفور اکسید شود که بستگی به شرایط کاهش یا موجودات زیستی درگیر در واکنش دارد.



. شکل ۲-۲. چرخه بیوژئوشیمیایی گوگرد (www.gardguide.com)

۲-۷- تاریخچه زهاب اسیدی

سابقه معدن‌کاری به ۶۰۰۰ سال قبل از میلاد مسیح بر می‌گردد (استخراج طلا از رسوبات کفرودخانه و سنگ آتش‌زن). شواهد قابل توجهی از هزاره سوم قبل از میلاد مسیح (دوران برنز پیشین)

وجود دارد که آلودگی ناشی از معدن کاری و ذوب مس در کمربند پیریت ایبری^۱ را نشان می‌دهد (شکل ۲-۳). کشف واکنش پذیری سولفیدها و تجزیه شدن به اسید و نمک‌ها به زمان قبل از دوران



شکل ۲-۳. دروازه رومی به همراه زهاب اسیدی سنگی، شبه جزیره ایبریا در جنوب شرقی اسپانیا.

روم بر می‌گردد اما زهاب اسیدی سنگ برای اولین بار (ARD) زمانی شناخته شد که جرجیوس آگریکولا^۲ (۱۵۵۶) مطالعات ابتدایی خود در زمینه معدن کاری و متالورژی را در اواسط قرن شانزدهم ارائه نمود (هوور و هوور^۳، ۱۹۵۰). معدن کاری مدرن درجه بازیابی از منابع را افزایش داده است (در نتیجه پتانسیل تولید زهاب اسیدی نیز افزایش یافته است) با این وجود دانش تکنیکی و علمی مدیریت زهاب اسیدی معدن نیز افزایش قابل توجهی یافته است.

¹ Iberian Pyrite Belt

² Georgius Agricola

³ Hoover

۸-۲- تعریف زهاب اسیدی

در نتیجه فرآیندهای زمینزاد^۱ (طبیعی) و یا فعالیتهای انسانزاد^۲ (حفاری و معدن کاری) پیریت در معرض شرایط جوی سطح زمین قرار گرفته و هوازدگی یا اکسیداسیون پیریت رخ می‌دهد. از این رو عبارت زهاب اسیدی معدن^۳ بیشتر در مواردی که زهاب اسیدی در نتیجه معدن کاری تولید شده استفاده می‌شود ولی با توجه به اینکه زهاب اسیدی به صورت طبیعی و نیز در نتیجه سایر فعالیتهای انسانی (مانند جاده‌سازی و حفاری‌ها) نیز ایجاد می‌شود (شاهحسینی، ۱۳۸۶)، عبارت زهاب اسیدی سنگ^۴ به تولید زهاب اسیدی در بسیاری از موقعیت‌ها اشاره می‌کند. زهاب اسیدی معدن در بسیاری از مواقع به جای زهاب اسیدی سنگ استفاده می‌شود. مشخصات عمدۀ زهاب اسیدی عبارت است از (اریکسون^۵ و همکاران، ۱۹۸۲؛ کیم^۶ و چون، ۲۰۰۱؛ لی^۷ و چون، ۲۰۰۶؛ Zhao^۸ و همکاران، ۲۰۰۷؛ هاکو^۹ و همکاران، ۲۰۰۸؛ هیکینن^{۱۰} و همکاران، ۲۰۰۹؛ آکابزا^{۱۱} و همکاران، ۲۰۰۹؛ اخی‌الدین و همکاران، ۲۰۱۰).

- پایین بودن میزان pH

- بالا بودن میزان آهن،

- بالا بودن میزان سولفات،

- بالا بودن غلظت یون‌های فلزی،

- ایجاد لجن غیر طبیعی.

با توجه به عوامل فوق، پی‌آمدهای زیست‌محیطی ناشی از زهاب اسیدی خطرناک و گسترده می‌باشد.

¹ Geogenic

² Anthropogenic

³ Acid Mine Drainage (AMD)

⁴ Acid Rock Drainage (ARD)

⁵ Erickson

⁶ Kim

⁷ Lee

⁸ Zhao

⁹ Hakkou

¹⁰ Heikkinen

¹¹ Akabzaa

۹-۲- آثار مخرب زیست محیطی و اکولوژیکی زهاب اسیدی

زهاب اسیدی دارای اجزای مختلفی است که اثرات متفاوتی بر زندگی آبزیان می‌گذارد و تفکیک جداگانه این اثرات مشکل می‌باشد. میزان سمّی بودن زهاب اسیدی به نرخ جریان، pH، خاصیت اسیدی و تمرکز عناصر غیر محلول بستگی دارد. مهم‌ترین عامل مؤثر pH می‌باشد. هرچه pH کمتر باشد، تاثیرات خطرناک‌تری در زندگی آبزیان دارد. هرچه میزان یون‌های کربنات و بی‌کربنات در رودخانه دریافت کننده بیشتر باشد، ظرفیت خنثی‌سازی رودخانه بیشتر بوده و محافظت بیشتری از زندگی آبزیان در مقابل اثرات مخرب زهاب اسیدی به عمل می‌آید. بیشتر آبزیان در محدوده‌ای خاص از pH زنده هستند. pH کم باعث اختلال در موازنۀ یون‌های کلر و سدیم در خون موجودات آبزی می‌گردد. در pH های کم یون‌های هیدروژن درون سلول قرار می‌گیرند و یون‌های سدیم به خارج سلول رانده می‌شوند و باعث مرگ آبزیان می‌شوند (شکل، ۴-۲). فلزات سنگین خاصیت سمی زهاب اسیدی را افزایش می‌دهند و به عنوان سم متابولیک عمل می‌کنند. برخی از کاتیون‌های فلزی مهم که از نظر زیست محیطی حائز اهمیت هستند عبارتند از (دولتی اردۀ جانی و همکاران، ۱۳۸۴) :



(ب)



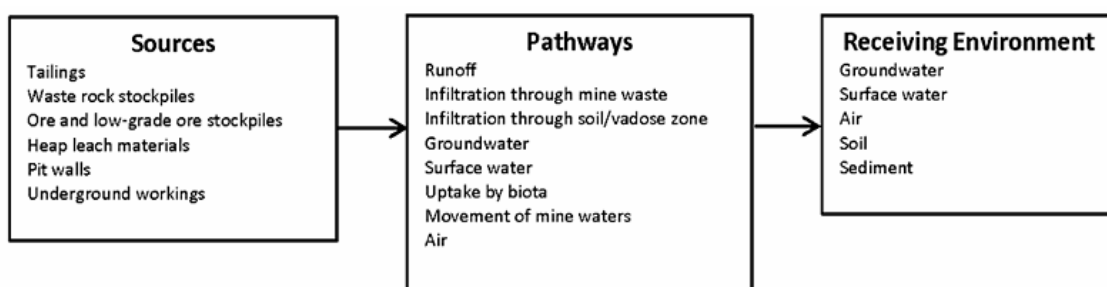
(الف)

شکل ۴-۲. تصاویری از آلودگی آب‌های سطحی و مرگ آبزیان در اثر زهاب اسیدی معدن. الف- آلودگی رودخانه ریو تییتو در اسپانیا توسط زهاب اسیدی (www.en.wikipedia.org) ، ب- مرگ ماهیان بر اثر تخلیۀ زهاب اسیدی معدن حاصل از معادن رومانی در رودخانه دانوب (www.yubanet.com) .

- آرسنیک، کادمیوم، جیوه، سرب، نیکل، منگنز، مولیبدنیوم و سلنیوم از کاتیون‌هایی هستند که برای انسان و حیات وحش خطرناک می‌باشند.
- کاتیون‌های مس، کروم، آرسنیک، کادمیوم، جیوه، سرب، نیکل، منگنز، مولیبدنیوم و سلنیوم برای حیات آبزیان خطرناک می‌باشد.
- کاتیون‌های آهن، آلومینیوم و روی سبب مسمومیت گیاهی می‌گردد.

۲-۱۰- منابع، مسیرهای انتقال و محیط میزبان زهاب اسیدی

نوع زهاب معدنی ورودی به محیط زیست به طور عمدی به خصوصیات منابع تولید کننده زهاب، راههای ورود زهاب و محیط‌های در برگیرنده و میزبان زهاب‌ها وابسته است. مدل مفهومی جامعی از منابع، مسیرهای ورود و میزبان‌های زهاب در محیط زیست در شکل ۲-۵ نشان داده شده است. منابع، راههای ورود و محیط زیست میزبان زهاب‌ها بر اساس ماده اولیه، آب و هوا، تاسیسات معدن و فاز معدن کاری (سطحی یا زیرزمینی) متغیر است. منابع شامل معدن و باطله‌های معدنی و فراوری که شامل سولفیدهای واکنش پذیر و کانی‌های با قابلیت خنثی‌کنندگی اسیدیته می‌باشند. راههای ورود و مکانیسم انتقال زهاب‌ها به آب و هوا و اثرات فصلی بستگی دارد. محیط میزبان ممکن است خصوصیات ذاتی زهاب را از طریق اختلاط فیزیکی، شیمیایی و واکنش‌های بیولوژیکی تغییر دهد. آب‌های سطحی، زیرزمینی و رسوبات از جمله محیط‌های زیست میزبان می‌باشند (شکل ۲-۵).



شکل ۲-۵. مدل مفهومی جامع از منابع، ورودی‌ها و محیط‌زیست میزبان زهاب‌های معدنی (www.gardguide.com)

۱۱-۲- منابع زهاب اسیدی

منابع تولید کننده زهاب اسیدی کانی‌های سولفیدی واکنش پذیر و محصولات اکسیداسیون آنها می‌باشند. پیریت (FeS_2) مهم‌ترین کانی دارای قابلیت تولید زهاب اسیدی می‌باشد. غلظت، اندازه دانه و توزیع کانی پیریت مهم‌ترین فاکتورهای تاثیرگذار بر قابلیت تولید زهاب اسیدی می‌باشد (نورداستروم^۱ و الپرس^۲، ۱۹۹۹). در جدول ۲-۳ سایر کانی‌های سولفیدی که قابلیت تولید زهاب اسیدی را دارند ارائه شده است.

جدول ۲-۳. سولفیدهای شناخته شده یا حدس زده که قابلیت تولید اسید را دارند، اکسیژن به عنوان اکسید کننده.

کانی	ترکیب شیمیایی
پیریت، مارکاسیت	FeS_2
پیروتیت	Fe_{1-x}S
برنیت	Cu_5FeS_4
آرسنوبیریت	FeAsS
فاماتینیت ^۴ / آنارژیت	$\text{Cu}_3\text{AsS}_4/\text{Cu}_3\text{SbS}_4$
تنانتیت ^۵ / تراهدریت	$(\text{Cu},\text{Fe},\text{Zn})_{12}\text{As}_4\text{S}_{13}/(\text{Cu},\text{Fe},\text{Zn})_{12}\text{Sb}_4\text{S}_{13}$
رئالگار	AsS
اسفالریت	سولفیدهای معمول که قابلیت تولید اسید را دارند، Fe^{+3} به عنوان اکسید کننده.
گالن	ZnS
کالکوبیریت	PbS
کوولیت	CuFeS_2
سیناپر	CuS
میلریت	HgS
پنتلاندیت	NiS
	$(\text{Fe},\text{Ni})_9\text{S}_8$

^۱ Nordstrom

^۲ Alpers

^۳ Plumlee

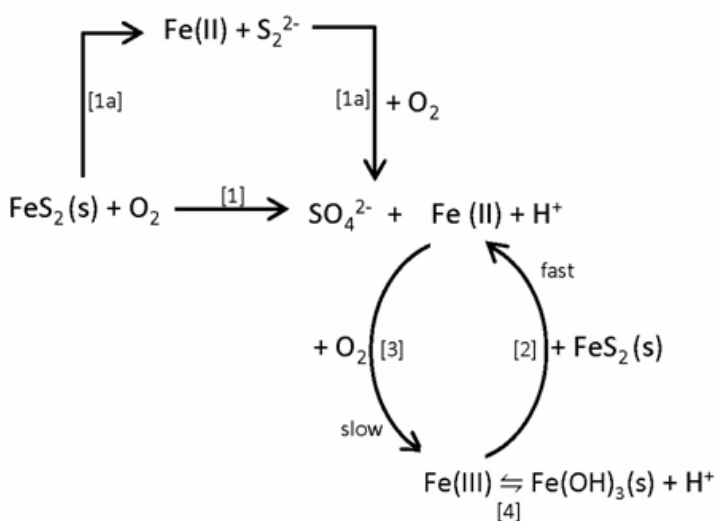
^۴ Famatinite

^۵ Tennantite

میزان سولفید آهن موجود در ذخیره یا باطله معدن نقش بسیار تعیین کننده‌ای در خصوصیات زهاب معدن دارد. کانی‌های سولفیدی آهن به‌ویژه پیریت و کمتر مارکاسیت، اصلی‌ترین کانی‌های سولفیدی در ذغال‌های بیتومینه می‌باشند (دیویس، ۱۹۸۱). سایر کانی‌های سولفیدی اشاره شده در جدول ۲-۳ قابلیت تولید زهاب اسیدی را داشته ولی حضور آن‌ها در لایه‌های ذغالی معمول نیست.

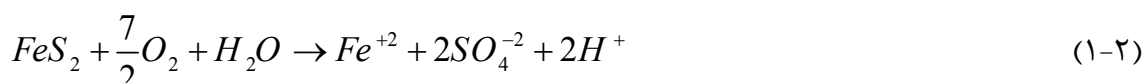
۱۲-۲- فرآیندهای اکسایش پیریت

فرآیندهای اکسیداسیون سولفیدی و تشکیل زهاب اسیدی در مراجع بسیاری مورد بحث قرار گرفته است (سینگر^۱ و استام، ۱۹۷۰؛ کلینمان^۲ و همکاران، ۱۹۸۱؛ نورداستروم، ۱۹۸۲؛ بلوز^۳ و جامبر، ۱۹۹۴؛ استام و مورگان، ۱۹۹۶؛ نورداستروم و آلپرس، ۱۹۹۹). در این قسمت خلاصه‌ای از این مطالعات بیان می‌شود. شکل ۲-۶ مدلی برای اکسیداسیون پیریت را شرح می‌دهد.



شکل ۲-۶. مدل اکسیداسیون پیریت (استام و مرگان، ۱۹۸۱).

واکنش اکسایش پیریت نیاز به سه جز اصلی دارد: پیریت، اکسیژن و آب.

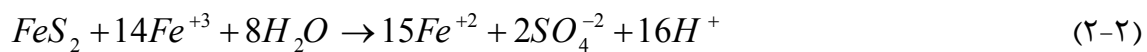


¹ Singer

² Kleinmann

³ Blowes

واکنش (۱-۲) به هر دو صورت زیستی (با واسطه میکروارگانیسم‌ها) و غیرزیستی انجام می‌شود علاوه بر اکسایش مستقیم، پیریت می‌تواند ابتدا حل شده و سپس اکسید شود (واکنش [۱a]، شکل ۲-۷). به علت اینکه اکسیژن محلول در آب محدود است این واکنش اهمیت کمتری در اکسیداسیون پیریت دارد و در اکثر شرایط اکسیژن جو عامل اکسایش پیریت است. بر اساس واکنش (۲-۲) یون آهن سه‌ظرفیتی نیز توانایی اکسید کردن پیریت را دارد (واکنش [۲]، شکل ۲-۷).



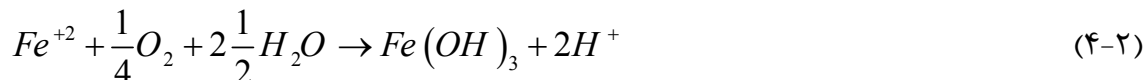
واکنش (۲-۲) به طور قابل ملاحظه‌ای (دو تا سه برابر) نسبت به واکنش پیریت با اکسیژن (واکنش ۱-۲) سریعتر انجام می‌شود و در ازای اکسایش هر مول پیریت، ۱۶ مول اسید تولید می‌کند. اکسایش پیریت از طریق واکنش (۲-۲) محدود به شرایط اسیدی و غلظت بالای یون Fe^{+3} محلول می‌باشد، بنابراین در شرایط قلیایی یا pH بالا اکسایش پیریت عموماً از طریق واکنش (۱-۲) شروع می‌شود. وقتی که شرایط به میزان کافی اسیدی باشد (pH=۴/۵ یا کمتر) اکسیداسیون پیریت از واکنش (۲-۲) پیروی می‌کند. واکنش سومی مورد نیاز است تا از طریق اکسایش یون آهن دوظرفیتی (۳-۲) به وسیله اکسیژن، یون آهن سه‌ظرفیتی (Fe^{3+}) را تولید نماید که در زیر آمده است:



گاهاً به اشتباه تصور می‌شود که یون Fe^{3+} به طور نامحدود توانایی اکسایش پیریت در غیاب اکسیژن را دارد. بر اساس واکنش (۳-۲) برای تولید یون Fe^{3+} اکسیژن لازم است. همچنین باکتری که نقش کاتالیزور را برای این واکنش دارد (اعضای اولیه از گروه تیوباسیلوس اسیدی) ضرورتاً در حضور اکسیژن زنده‌اند. پس مقدار جزئی اکسیژن برای حضور باکتری‌ها نیاز است که در مقایسه با میزان اکسیژن مصرفی برای واکنش اکسایش پیریت بدون حضور باکتری‌ها ناچیز است. اهمیت فرآیندهای زیستمحیطی مرتبط با پیریت به سرنوشت یون Fe^{2+} تولیدی در واکنش (۱-۲) مربوط می‌شود. یون Fe^{2+} در شرایط قلیایی تا اسیدی ضعیف، در طی اکسیداسیون و به دنبال آن هیدرولیز و تشکیل

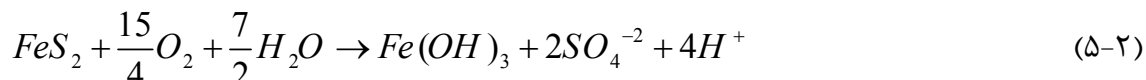
هیدروکسید آهن نامحلول می‌تواند از محلول خارج شود. هیدروکسید آهن آمورف بوده و به رنگ زرد،

نارنجی و قرمز می‌باشد که به پسرززد^۱ معروف می‌باشد. واکنش به شکل زیر خلاصه می‌شود:



واکنشهای (۱-۲) و (۴-۲) معمولاً در شرایط غیر اسیدی ($pH > 4/5$) با یکدیگر ترکیب و اکسایش

پیریت مطابق واکنش (۵-۲) می‌باشد که دوباره واکنش (۱-۲) اسید تولید می‌نماید:



بی‌آب شدن هیدروکسید آهن سه‌ظرفیتی طبق واکنش (۶-۲)، آخرین فرآیند اکسایش پیریت است:



مشخصات انجام واکنش (۶-۲)، ایجاد پوشش اکسید آهن نارنجی رنگ یا لجن نارنجی رنگ می‌باشد

(میشل^۲، ۳۰۰۰).

۱۳-۲- واکنش‌های خنثی‌کننده اسید

واکنش‌های خنثی‌سازی نقش کلیدی در تعیین مشخصات ترکیبی زهاب‌های منشا گرفته از

اکسیداسیون سولفیدها دارد. مصرف اسید به علت احلال کربنات‌ها از واکنش‌های عمومی می‌باشد که

به شکل زیر نوشته شده است:



که در آن، Me کاتیون دو ظرفیتی مانند کلسیم یا منیزیم است اما آهن یا منگنز نمی‌باشد زیرا این

عناصر در نتیجه هیدرولیز-راسب شدن خاصیت اسیدی تولید می‌کنند. واکنش ۸-۲ خنثی‌سازی

زهاب اسیدی با سیلیکات‌ها (پلاژیوکلاز) را نشان می‌دهد.



اکثر کانی‌های کربناته سریعاً حل می‌شوند که باعث می‌شود اسید را بهتر مصرف کنند. با وجود فراوانی

¹ Yellow boy

² Mitchell

آلومینوسیلیکات‌ها، این کانی‌های در مقابل اسید کمتر واکنش پذیر بوده و خنثی‌سازی آن‌ها تنها در حد تثبیت pH در مقادیر کم اسیدیته می‌باشد. در بعضی موارد که نرخ اکسیداسیون سولفیدی و نرخ دبی جریان خروجی خیلی کم است کانی‌های سیلیکاته مشخص، به خصوص سیلیکات‌های کلسیم-منیزیم‌دار برای خنثی‌سازی جریان‌های آبی خروجی از معدن در محدوده pH طبیعی استفاده شده است (جامبر، ۲۰۰۳). در جدول ۴-۲ مروری بر میزان قابلیت خنثی‌سازی و محدوده pH خنثی‌کننده برای تعدادی از کانی‌های معمول ارائه شده است.

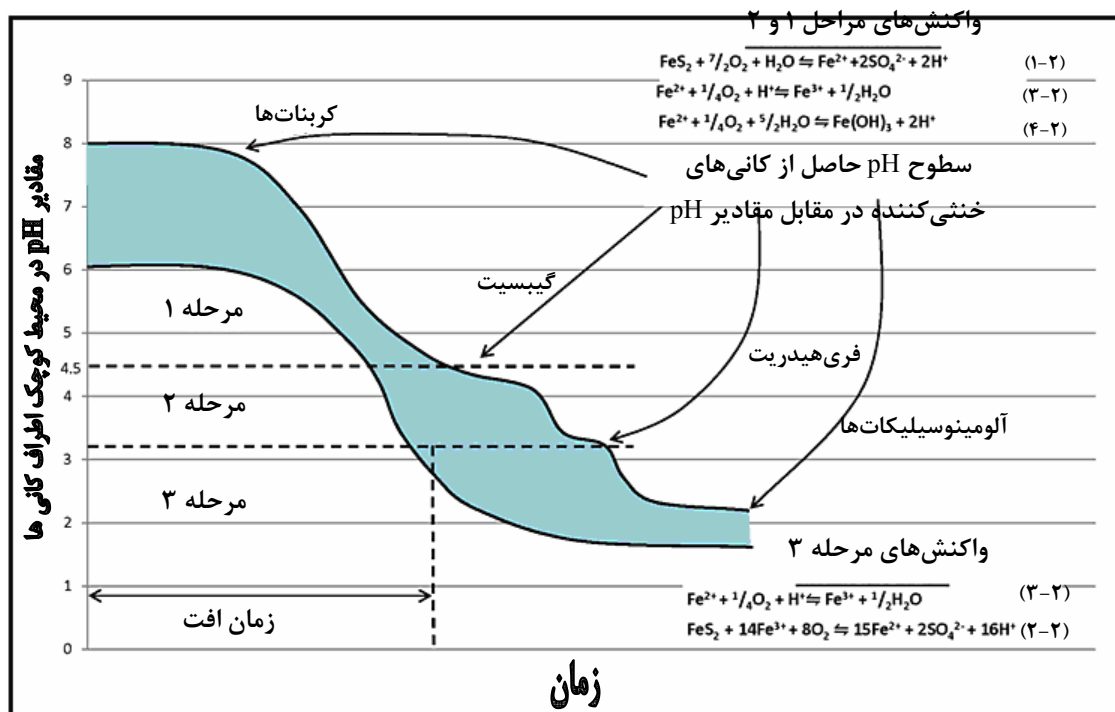
جدول ۴-۲. مقادیر قابلیت خنثی‌کنندگی (NP) شاخص و pH محلول بافر برای برخی از کانی‌های معمول (BCAMDTF، ۱۹۹۸؛ جامبر، ۲۰۰۳؛ بلوز^۱ و همکاران ۲۰۰۳).

محدوده قابلیت خنثی کنندگی (KgCaCO ₃ /tonne)	ترکیب شیمیایی	محدوده pH	گروه کربنات‌ها
۵۰۰-۱۳۵۰			
	CaCO ₃	۵/۵-۶/۹	کلسیت، آراغونیت
	FeCO ₃	۵/۱-۶	سیدریت
	Cu ₂ CO ₃ (OH) ₂	۵/۱-۶	مالاکیت
			اکسیدها
	Al(OH) ₃	۳/۷-۴/۳	گیبسیت
	FeOOH	۳-۳/۷	لیمونیت/گوتیت
	Fe(OH) ₃	۲/۸-۳	فری هیدریت
	KFe ₃ (SO ₄) ₂ (OH) ₆	۱/۷-۲	جاروسیت
		۰/۵-۱/۵	آلومینوسیلیکات‌ها
۰/۵-۱/۴	(K,Na)AlSi ₃ O ₈		گروه فلدسپار
۰/۵-۲/۶	NaAlSi ₃ O ₈		- فلدسپار K
			آلبیت
۰/۳	KA ₁₂ (AlSi ₃ O ₁₀)(OH) ₂		گروه میکا
۲/۷-۸/۸	K(Mg,Fe) ₃ (AlSi ₃ O ₁₀)(OH) ₂		موسکوویت
۰/۸-۲۱/۶	(Mg,Fe,Al) ₆ (Al,Si) ₄ O ₁₀ (OH) ₈		بیوتیت
-۲/۷-۲۹	(Me)(Si,Al) ₄ O ₁₀ (OH) ₂		گروه کلریت
			گروه رس

= کاتیون یک، دو و سه ظرفیتی.

^۱ Blowes

همان‌طور که واضح است کانی‌های کربناته میزان قابلیت خنثی‌سازی بیشتری نسبت به کانی‌های سیلیکاته داشته و محلول حاصل مقادیر pH بالاتری دارند. مجموعه واکنش‌های تولید و خنثی‌سازی اسید به صورت شاخص که منجر به گسترش زهاب اسیدی سنگ (ARD) می‌شود در شکل ۷-۲ شرح داده شده است. کاهش pH علاوه بر زمان، در طول سری‌هایی از سطوح اداره می‌شود که این سطوح به وسیله محدوده خنثی‌کنندگی مجموعه‌ای از کانی‌های خنثی‌کننده اسید ایجاد شده است. مرحله ۱ به وسیله محدوده pH کاملاً نرمال و مصرف اسید به وسیله کانی‌های کربناته مانند کلسیت بر اساس واکنش عمومی (۷-۲)، (۳-۲) و (۴-۲) که در شکل ۷-۲ نیز آمده است، فرآیندهای اکسیداسیون سولفید که منجر به آزادسازی سولفات می‌شود را بیان می‌کند. همان‌طور که خاصیت قلیایی کم می‌شود، روند کاهشی pH در مراحل به نوع کانی‌های خنثی‌کننده بستگی دارد (مرحله ۲).



شکل ۷-۲. مراحل تشکیل زهاب اسیدی سنگ (ARD)، (بروگتون^۱ و روپرت‌سون، ۱۹۹۲). اعداد داخل پرانتز به واکنش‌های ارائه شده در بخش ۱۵-۲ برمی‌گردد.

^۱ Broughton

عموماً در این مرحله سولفات، خاصیت اسیدی و مقدار فلزات جزئی افزایش می‌یابد. محلول خنثی‌کننده ممکن است به وسیله هیدروکسیدهای فلزی ایجاد شود. در مقادیر $\text{pH} = 4/5$ و کمتر اکسایش با واسطه میکروبی کاتالیست شده (واکنش‌های $2-2$ و $3-2$) و منجر به تولید اسید با شتاب زیادی می‌شود (شکل ۷-۲). در مرحله 3 محلول نهایی به وسیله انحلال کانی‌های سیلیکاته محدود شده و قابلیت انحلال کانی‌ها تاثیری بر غلظت فلزات جزئی موجود در محلول ندارد (به علت پایین بودن pH همه کانی‌ها حل می‌شوند). تاخیر زمانی در تولید اسید که در شکل ۷-۲ نشان داده شده یکی از نکات مهم در پیشگیری از تولید زهاب اسیدی سنگ (ARD) می‌باشد. کنترل تولید ARD در طی مرحله 1 نسبت به سایر مراحل بعدی تاثیر بیشتر (و هزینه کمتر در طولانی مدت) را به دنبال دارد. همچنانی زمان افت^۱ مشخصه مهمی برای تفسیر نتایج آزمایشگاهی به شمار می‌آید. به منظور پیش‌بینی زمان تولید ARD، شناسایی مرحله اکسیداسیون نقش حیاتی دارد: مرحله اول ممکن است برای مدت زمان بسیار زیادی (در حد سال) به طول انجامد، حتی برای موادی که نهایتاً اسید بالایی تولید می‌کنند. بنابراین نتایج آزمایشات ژئوشیمیایی در مراحل اولیه تولید اسید قادر به ارائه رفتار طولانی مدت و کیفیت زهاب‌های نهایی نمی‌باشد.

۱۴-۲- عوامل موثر در نرخ اکسایش سولفیدها

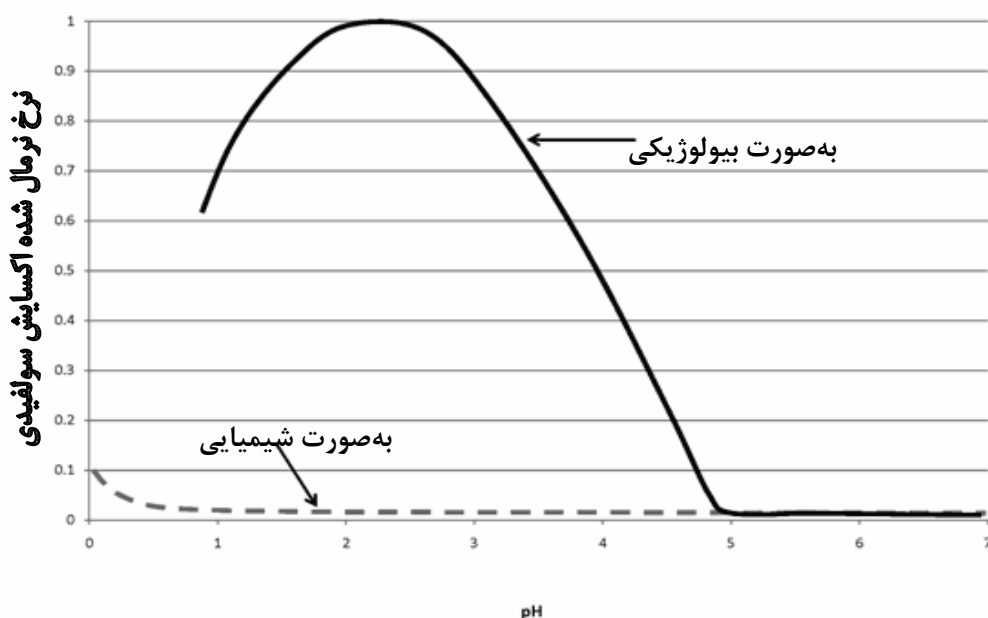
برای بحث درباره این مقصود، این عواملی را به سه دسته عوامل شیمیایی، عوامل فیزیکی و عوامل بیولوژیکی طبقه‌بندی می‌کنند. در واقعیت این منظرها در سیستم‌های محیطی بسیار پیچیده و درهم آمیخته‌ای شکل می‌گیرند و همان‌گونه که به طور مستقل عمل نمی‌کنند میل به وابستگی بسیار بالایی با یکدیگر دارند.

۱۴-۱- عوامل بیولوژیکی

تنوع میکروارگانیسم‌ها در آب‌هایمعدنی فراوان است و باکتری‌های اکسیدکننده آهن و سولفور (فروکسیدان و تیوکسیدان) از جمله باکتری‌های زنده به شمار می‌آیند. این میکروب‌ها نقش مهمی در

^۱ Lag time

اکسیداسیون سولفید و تشکیل زهاب‌های اسیدی دارند. به علت واسطه‌گری میکروبی، بسیاری از واکنش‌های ژئوشیمیایی مخالف انتظارات ترمودینامیکی رخ می‌دهند (میلز^۱، ۱۹۹۹). نرخ واکنش‌ها مانند اکسایش آهن که در ارتباط مستقیم با اکسیداسیون پیریت است چندین برابر نسبت به نرخ واکنش‌های نظری غیرزیستی افزایش می‌یابد (نرداستروم و آپرز، ۱۹۹۹؛ نرداستروم، ۲۰۰۳؛ گلد^۲ و کاپور، ۲۰۰۳). شکل ۲-۸ توضیحی شماتیک از نرخ‌های اکسایش نرمال با و بدون حضور واسطه باکتری و تابعی از pH را نشان می‌دهد. بهترین دما و pH برای فعالیت باکتری تیوباسیلوس فرواکسیدان، دمای حدود ۳۰ درجه سانتیگراد و pH حدود ۳/۲ می‌باشد. برای مثال نرخ اکسیداسیون یون Fe^{2+} به یون Fe^{3+} (واکنش ۲-۳) در حضور باکتری تیوباسیلوس فرواکسیدان ۵ تا ۶ برابر افزایش می‌یابد. مکانیسم واکنش دقیق اکسیداسیون پیریت در سطح سلولی در حالت نرخ محدود برای تولید یون Fe^{3+} از یون Fe^{2+} در حضور کاتالیست میکروبی تحقیق شده است (ولکرسدرفر^۳، ۲۰۰۸).



شکل ۲-۸. نرخ‌های اکسایش نرمال با و بدون حضور واسطه باکتری و تابعی از pH (بروگتون و روپرسون، ۱۹۹۲).

¹ Mills

² Gould

³ Wolkersdorfer

۲-۱۴-۲- عوامل فیزیکی و شیمیایی

عوامل اصلی فیزیکی و شیمیایی اداره کننده نرخ اکسیداسیون سولفیدی عبارتند از (نورداستروم و آلپرز، ۱۹۹۹؛ پلوملی، ۱۹۹۹):

- کانی سولفیدی: نوع کانی، مساحت سطح، کپسوله کردن جسم خارجی^۱، بلوری بودن^۲، ریخت-شناسی^۳، اجتماع.
- شرایط محیطی: pH، پتانسیل اکسایش-احیا^۴، درجه حرارت، منع آب.
- اکسید کننده: نوع اکسید کننده (اکسیژن، یون Fe^{3+}) و در دسترس بودن اکسید کننده‌ها.

اندازه دانه یکی از کنترل کننده‌های اساسی در واکنش پذیری سنگ باطله است (اسمیت^۵ و بکیه، ۲۰۰۳). تاثیر کلی اندازه دانه بر واکنش پذیری با نفوذ اکسیژن و آب در تعادل است به طوری که اندازه دانه‌های ریزتر باعث افزایش واکنش پذیری و کاهش نفوذ پذیری آب و اکسیژن می‌شود. به علت در دسترس بودن مساحت سطح بیشتر برای برهمکنشی با عامل اکسید کننده، سولفیدهای ریزدانه بسیار سریعتر از سولفیدهای درشت دانه اکسید می‌شوند. رایج ترین نوع پیریت در ذخایر ذغال که در محیط‌های رسوبی شکل می‌گیرند پیریت فرامبیدال است. شکل شاخص پیریت، کوبیک^۶ با بلورهای اهدراال^۷ است که از رشد آهسته‌تر بلورها در محیط‌های کمتر اشباع حاصل می‌شود. پیریت به شکل کوبیک در مقایسه با پیریت فرامبیدال مساحت سطح کمتری دارد. شکل ۹-۲ یک تشریح شماتیک از اثر درجه حرارت بر نرخ‌های اکسایش سولفید نرمال شده را ارائه می‌دهد و نیز مقایسه‌ای با اثر درجه حرارت بر اکسایش سولفید در حضور واسطه باکتریایی فراهم می‌کند. اثر نوع اکسید کننده بر نرخ اکسایش سولفید نقش مهمی داشته و به طور خلاصه یون Fe^{3+} اکسایش پیریت را ۲ تا ۳ برابر در مقایسه با اکسیژن افزایش می‌دهد (شکل ۱۰-۲).

^۱ Encapsulation

^۲ Crystallinity

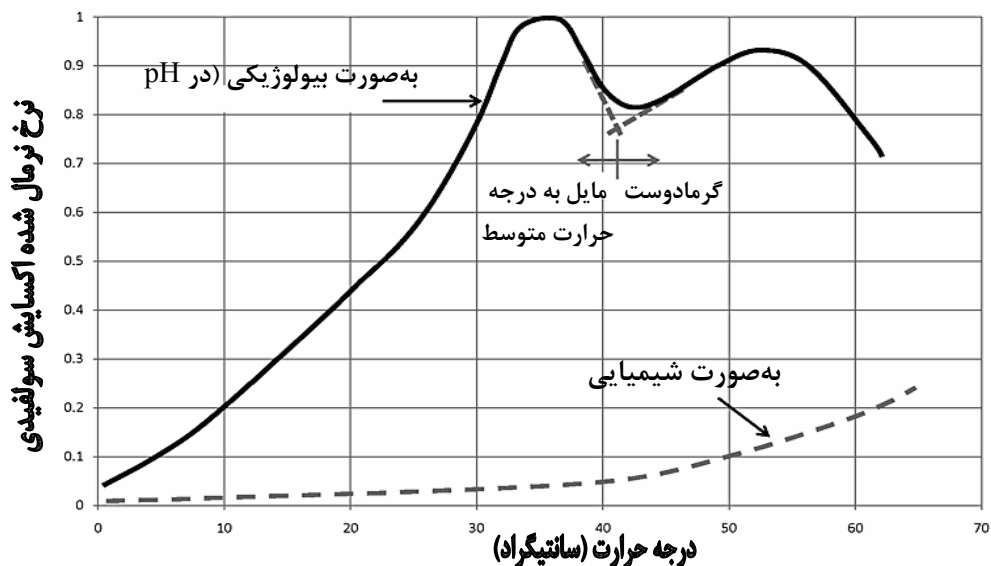
^۳ Morphology

^۴ Redox

^۵ Smith

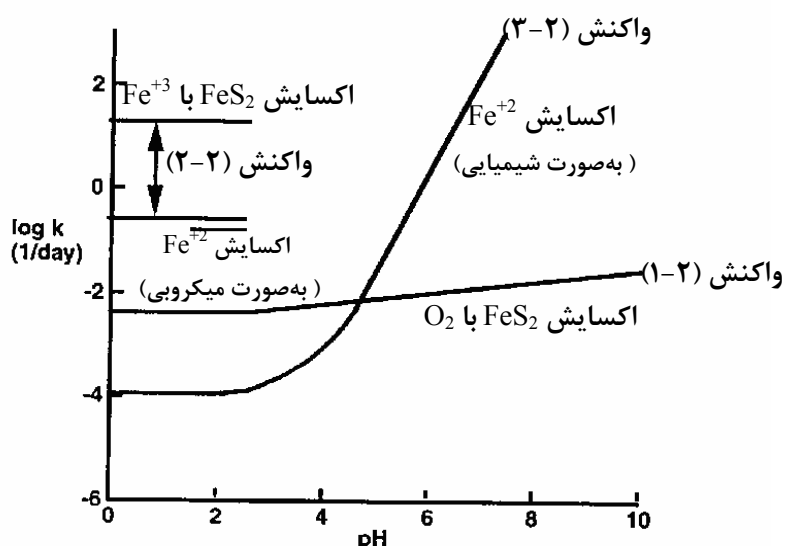
^۶ Cubic

^۷ Euhedral



شکل ۹-۲. اثر درجه حرارت بر نرخ های اکسایش سولفید نرمال شده (بروگتون و روبرتسون، ۱۹۹۲).

نرخ اکسایش به مقدار زیاد به غلظت Fe^{3+} بستگی دارد. Fe^{3+} نسبت به O_2 , پیریت را سریعتر اکسید می کند، زیرا به طور شیمیایی به سطح پیریت می پیوندد (سالمون^۱، ۲۰۰۱).



شکل ۱۰-۲. مقایسه نرخ واکنش ها به عنوان تابعی از pH (نرداستروم، ۱۹۸۲) و اکسایش باکتریایی Fe براساس (کاورایه^۲ و همکاران، ۱۹۹۳)، اعداد داخل پرانتزها مربوط به واکنش های بخش ۱۵-۲ می باشند.

¹ Salmon

² Chavarie

فصل سوم

موقعیت جغرافیایی و زمین‌شناسی

منطقه، نمونه‌برداری و تجزیه‌های

آزمایشگاهی

۱-۳- مقدمه

یکی از مسائل مهم همراه با معدن کاری ذغال و فعالیت‌های وابسته همچون فرآوری ذغال، ایجاد مشکلات زیست محیطی می‌باشد که علاوه بر مشکلات آلودگی، چشم انداز طبیعی مناطق متاثر از این فعالیت‌ها نیز از بین می‌روند. در این فصل معدن ذغال سنگ البرز مرکزی و زمین‌شناسی آنها، ویژگی‌های رودخانه‌ها در منطقه سوادکوه، وضعیت آب و هوا و وضعیت تکتونیک و مagma تیزم منطقه البرز مرکزی مورد بررسی قرار خواهد گرفت و در ادامه موقعیت جغرافیایی کارخانه ذغال‌شویی انجیر تنگه و محل دمپ باطله مشخص می‌شوند. همچنین در این فصل، فرآیند شستشوی ذغال در کارخانه ذغال‌شویی البرز مرکزی، ایجاد و نحوه انباست باطله‌ها، مشاهدات صحرایی و مشکلات زیست محیطی ایجاد شده مورد بررسی قرار خواهد گرفت. محاسبات و تفسیرهای بعدی بر مبنای داده‌های حاصل از نمونه‌برداری و آنالیز آزمایشگاهی نمونه‌ها استوار است بنابراین نمونه‌برداری صحیح و آنالیز دقیق نمونه‌ها را باید مد نظر قرار داد. در این فصل، نمونه‌برداری از مناطق با احتمال آلودگی زیاد ناشی از فرآیند ذغال‌شویی در محدوده کارخانه ذغال‌شویی انجیر تنگه آمده است.

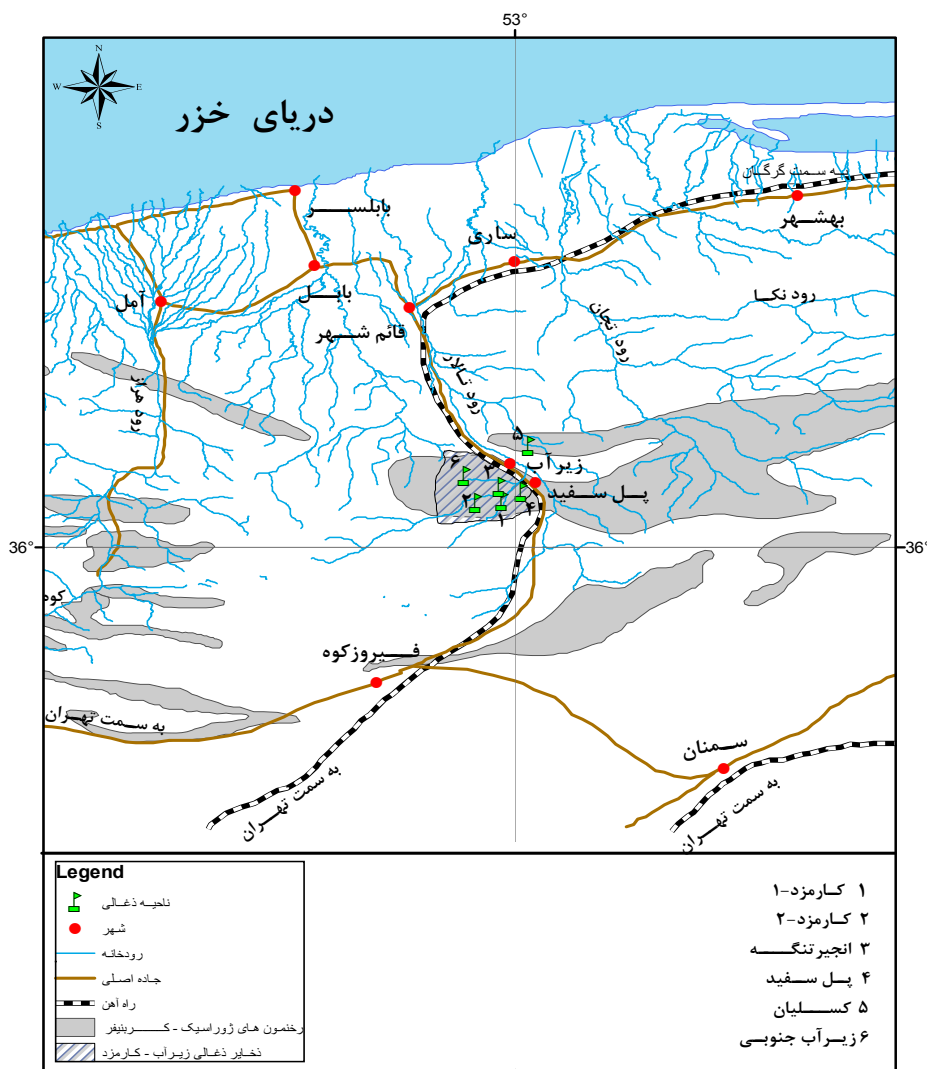
۲-۳- معدن ذغال سنگ البرز مرکزی

سه معدن کارمزد، کارسنگ و کیاسر از معدن فعال شرکت ذغال سنگ البرز مرکزی می‌باشند که کل ذخایر آن‌ها بر طبق برآورده که در سال ۱۳۷۲ انجام شد بالغ بر ۸۱/۵ میلیون تن می‌باشد (دفتر فنی اکتشاف شرکت ذغال سنگ البرز مرکزی، ۱۳۷۲). شکل ۱-۲ نقشه موقعیت ذخایر ذغالی ناحیه زیرآب-کارمزد واقع در حوضه البرز مرکزی را نشان می‌دهد.

۳-۳- معدن ذغال سنگ ناحیه زیرآب- کارمزد

اطلاعات اولیه در رابطه با تاریخچه ذغال سنگ این ناحیه به سال‌های ۱۳۱۰ تا ۱۳۱۳ به هنگام ایجاد راه آهن سراسری در مرحله زیرسازی و ریل‌گذاری سواد کوه مربوط می‌شود. پرجمعیت ترین منطقه

در این ناحیه شهرهای زیرآب و پل سفید است که راه آهن تهران-گرگان از این دو شهر عبور می‌نماید (شکل، ۳-۱). ناحیه تحت بررسی همچنین توسط جاده اتوبویل رو به تهران متصل می‌گردد و فاصله آن از طریق شهرهای قائم‌شهر-آمل ۲۹۰ کیلومتر و از طریق فیروزکوه نزدیک به ۲۰۰ کیلومتر است. نزدیک‌ترین شهر به منطقه کاری، شهر قائم‌شهر است که در ۴۵ کیلومتری شمال منطقه واقع است و فاصله منطقه تا مرکز استان (ساری) ۶۵ کیلومتر می‌باشد (شکل، ۳-۱). منطقه دارای تعداد زیادی قریه و دهات کوچک است (دفتر فنی اکتشاف شرکت زغالسنگ البرز مرکزی، ۱۳۷۲). معدن کارمزد در ۱۵ کیلومتری زیرآب و در طول جاده زیرآب-آلشت قرار دارد.



شکل ۳-۱. نقشه موقعیت منطقه ذغالی زیرآب-کارمزد با مقیاس ۱:۱۰۰۰۰۰ (اصلاح شده از دفتر فنی اکتشاف شرکت ذغالسنگ البرز مرکزی، ۱۳۶۸).

منطقه کارمزد ۱ و ۲ ناحیه‌ای را در بر می‌گیرد که بین رودخانه کلاریجان در شمال و رودخانه آلاشت در جنوب و رودخانه دلیلم در شرق است. مرز غربی از نزدیکی قریه کارمزد عبور می‌نماید. عرض معادن کارمزد ۴ تا ۵ کیلومتر بوده که دارای ۶ رگه زغالی قابل کار شامل لایه‌های ۴، ۹، ۱۱، ۱۲، ۱۳، ۱۳A می‌باشد. منطقه زیرآب جنوبی از طرف شمال به منطقه کارمزد ۱ و کارمزد ۲ متصل است و توسط طول رودخانه کلاریجان، دلیلم و تالار محدود شده است. در گوشه جنوب شرقی منطقه زیرآب جنوبی و در ساحل سمت چپ رودخانه کلاریجان همراه با شیب آن در رودخانه دلیلم محدوده معدنی انجیرتنگه قرار گرفته است (دفتر فنی اکتشاف شرکت ذغال سنگ البرز مرکزی، ۱۳۷۲).

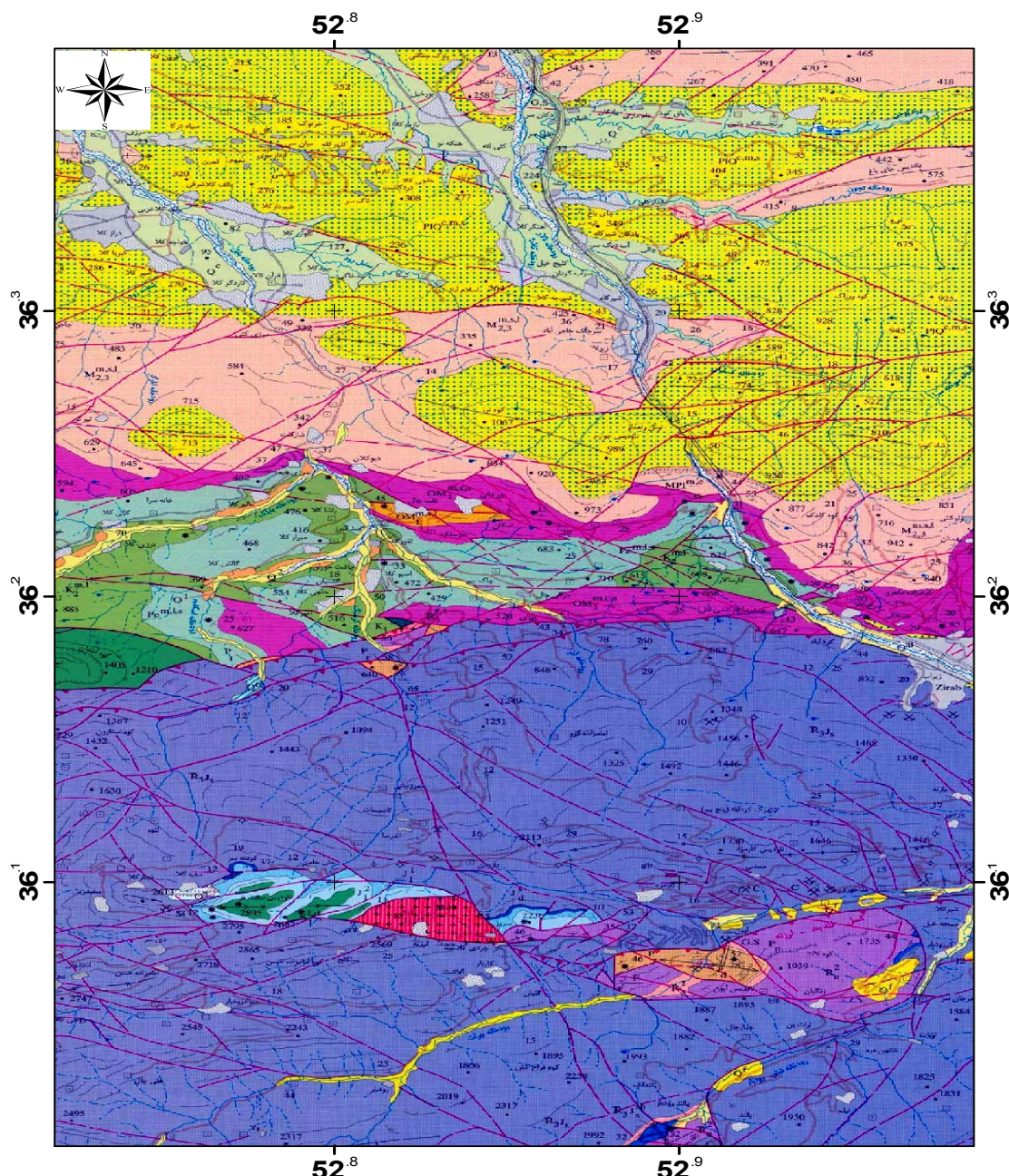
۳-۴-۳- زمین‌شناسی ناحیه زیرآب- کارمزد

معادن کارمزد زیرآب بخشی از کوههای البرز است که این کوهها در اواخر دوران دوم تا اوایل دوران سوم به وجود آمده است و گسل‌ها و چین‌خوردگی‌های فاز تکتونیک آلپ موجب شکل‌گیری نهایی آن‌ها شده است. این سلسله جبال شامل تشکیلات زیر است.

۳-۴-۱- تشکیلات دوران دوم

تشکیلات دوران دوم به شرح زیر است (شرکت آب منطقه‌ای استان مازندران، ۱۳۸۵):

- **تشکیلات الیکا:** قدیمی‌ترین تشکیلات این منطقه مربوط به دوران تریاس است که تشکیلات الیکا نام دارد و شامل آهک‌های نازک لایه تا آهک‌های شیلی در قسمت زیرین و آهک‌های دولومیتی با لایه‌بندی ضخیم در قسمت فوقانی قرار دارد (شکل ۲-۳).
- **تشکیلات شمشک:** این تشکیلات مربوط به دوران ژوراسیک است و یکی از گسترده‌ترین و شاخص‌ترین واحدهای چینه شناسی و اقتصادی ایران بوده که با توالی‌های تیره رنگی



سری قاره‌ای: کنگلومرا، مارن سیلت‌دار، ماسه‌سنگ، سیلت‌سنگ

سازند تیزکوه: سنگ آهک اریبتو‌لینادر، سنگ آهک دولومیتی

سازند شمشک

شیل، ماسه‌سنگ، سیلت‌سنگ، رس‌سنگ، ماسه‌سنگ کوارتزی، کنگلومرا، ذغال‌دار

شیل‌های خاکستری-سیاه، بین‌لایه‌های ماسه‌سنگ نازک تا متوسط

سازند الیکا

دولومیت ضخیم لایه تا توده‌ای شکل خاکستری‌رنگ، سنگ آهک دولومیتی، سنگ آهک

سازند الیکا تفکیک نشده

سنگ آهک نازک لایه با اثرات کرم‌ها، شیل آهکی، ماسه‌سنگ

شكل ۲-۳. نقشه زمین‌شناسی ۱:۱۰۰۰۰۰ ناحیه زیرآب- کارمزد از برگه زمین‌شناسی قائم شهر (سازمان زمین‌شناسی و اکتشافات معدنی ایران، ۱۳۸۱؛ www.GSI.ir).

از ماسه سنگ، شیل، سیلت استون و ذغالسنگ مشخص می‌شوند (آقاباتی، ۱۳۸۳). این سازند از خراسان شمالی و ارتفاعات شهرستان بجنورد شروع شده و تا حوالی زنجان (حتی آذربایجان شرقی) ادامه یافته است (یزدی، ۱۳۸۲).

▪ تشکیلات تیزکوه: این تشکیلات مربوط به کرتاسه زیرین است و در قسمت قاعده شامل آهک‌های تخریبی زرد رنگ است و روی آن آهک ریزدانه وجود دارد. بر روی تشکیلات کرتاسه زیرین، تشکیلات کرتاسه بالایی واقع شده است (شکل ۳-۲).

۳-۴-۲- تشکیلات دوران سوم

تشکیلات دوران سوم شامل میوسن و پلیوسن است. تشکیلات پلیوسن در منطقه شامل سری‌های زیر است (شرکت آب منطقه ای استان مازندران، ۱۳۸۵):

الف- سری قاره‌ای: این سری متشکل از سکانس ضخیمی از کنگلومرا است که به طور بین چینهای با طبقات ماسه‌سنگ، و گل‌سنگ همراه است.

ب- سری چلکن

ج- تشکیلات پلیوسن کاملاً دریایی.

۳-۴-۳- تشکیلات دوران چهارم

رسوبات دوران چهارم شامل کنگلومرا، گل‌سنگ و تراس‌های دریایی و آبرفت‌های رودخانه است. رسوبات ساحلی با بافت سبک در امتداد دریای مازندران قرار دارد و حاشیه نسبتاً باریکی را به وجود می‌آورد.

۳-۵- تکتونیک و مagma تیزم منطقه

ناحیه کانسار زیرآب کارمزد به یال شمالی طاقدیس^۱ البرز یعنی چین خورده‌گی بزرگی که در آلپین فاز اوروژن می‌باشد، منطبق شده است. (دفتر فنی اکتشاف شرکت ذغالسنگ البرز مرکزی، ۱۳۶۸).

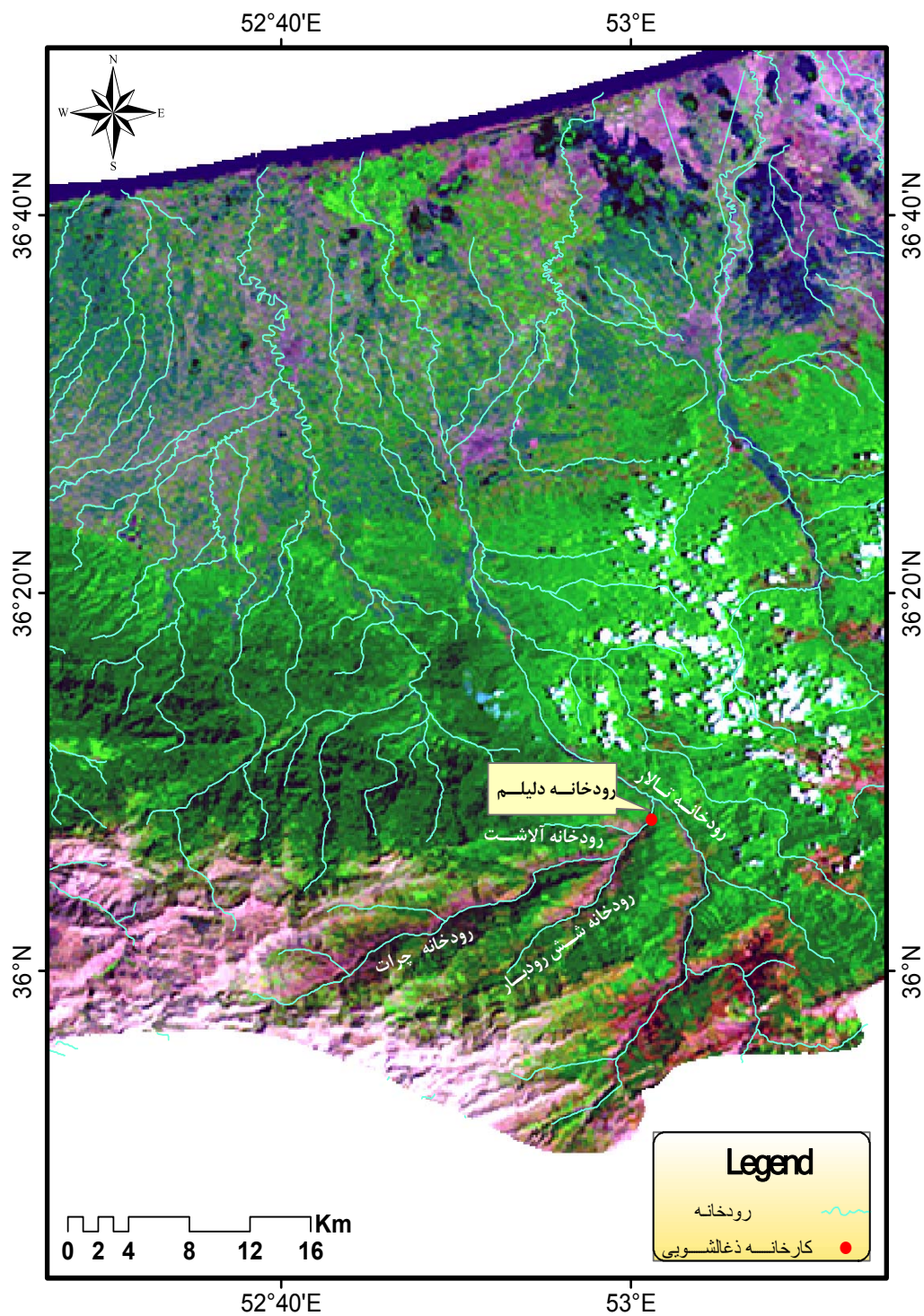
¹ Anticline

شاخص برای ساختار ناحیه، چین‌خوردگی‌های نسبتاً بزرگ طاقدیسی و ناویدیسی، پیچیده شدن ساختمان زمین‌شناسی توسط تعداد زیادی گسل‌های گسیخته و اکثراً از نوع فراراندگی می‌باشد (دفتر فنی اکتشاف شرکت ذغالسنگ البرز مرکزی، ۱۳۶۸). در سمت جنوب کانسار زیرآب- کارمزد طاقدیس آپون قرار گرفته که در مرکز، طبقات کربناتی پرموترياس به صورت رخنمون ظاهر شده است. عرض ساختار ۳ الی ۴ کیلومتر و طول ۷ الی ۸ کیلومتر می‌باشد (دفتر فنی اکتشاف شرکت ذغالسنگ البرز مرکزی، ۱۳۶۸). معادن کارمزد در یال شرقی ناویدیس^۱ کارمزد که جهت محور آن EW، دنباله تاقدیس آپون با جهت محور ENE و تاقدیس زیرآب به جهت محور WNE قرار دارد (شکل ۲-۳). در قسمت مرکزی منطقه کارمزد-۲ مقدار قابل ملاحظه‌ای توده‌های کوچک مشاهده می‌شود که در زون گسل‌ها گسیخته می‌باشد. نفوذی‌ها با دایک و استوک‌های لامپروفیری مشخص می‌گردد. ضخامت دایک‌ها بین ۰/۲ تا ۱ متر است. دایک‌ها و استوک‌ها تقریباً به صورت عمودی قرار دارند. بروز توده‌های نفوذی تاثیر قابل توجهی بر کیفیت ذغال‌های کانسار زیرآب- کارمزد نداشته است (دفتر فنی اکتشاف شرکت ذغالسنگ البرز مرکزی، ۱۳۶۸).

۶-۳- هیدروگرافی منطقه

شريان اصلی در منطقه رودخانه تالار است که در سمت شمال-غرب به طرف دریای خزر جاری می‌باشد و در سمت چپ آن و در مجاورت کارخانه ذغال‌شویی انجیرتنگه، رودخانه دلیلم جاری است. لازم به یادآوری است که آخرین سمت رودخانه دلیلم به رودخانه آلاشت-کلاریجان و چرات ارتباط می‌باید (شکل، ۳-۳). رودخانه‌ها دارای جریان دائمی بوده که مقدار آن بستگی به میزان بارندگی دارد. در تابستان قسمتی از آب رودخانه صرف زمین‌های کشاورزی که محصول برنج به دست می‌آورند، می‌گردد. در طول رودخانه‌های بزرگ بستر عریضی وجود دارد که برنج در آنها کشت می‌شود. ایام بارندگی معمولاً بیشتر در فصول زمستان و بهار است.

^۱ Syncline



شکل ۳-۳. تصویر ماهواره‌ای TM و هیدرولوگی منطقه مورد مطالعه (www.Ngdir.com)

۷-۳- اقلیم منطقه

با توجه به اینکه نزدیک‌ترین ایستگاه هواشناسی به منطقه مورد مطالعه سواد کوه می‌باشد، اقلیم این ایستگاه به عنوان اقلیم حاکم بر منطقه مورد مطالعه محسوب می‌شود. آب و هوای شهرستان سوادکوه به صورت مرطوب با تابستان معتدل و زمستان بسیار سرد می‌باشد (اداره هواشناسی استان مازندران، ۱۳۸۹). میزان بارش متوسط سالانه در محدوده معادن کارمزد حدود ۷۰۰ میلی متر با درجه حرارت متوسط ۱۳ درجه سانتیگراد است. بارش آن معمولاً بارانی و گاهی در فصل سرما بر丰ی است (هادیان، ۱۳۸۰). سطح ظاهری کوهها پوشیده از جنگلهای انبوه و درختان پهن برگ (درخت بلوط، آش یا چگر و غیره) می‌باشد (شکل، ۳-۳). در قسمت‌های تحتانی دامنه‌ها بوته‌های خاردار موجود می‌باشد (دفتر فنی اکتشاف شرکت ذغالسنگ البرز مرکزی، ۱۳۶۸).

بررسی مقدار بارندگی سالیانه در منطقه مورد مطالعه پارامتر بسیار مهمی است که می‌تواند در انتقال آلاینده‌های تولیدی از فرآیند اکسایش پیریت در دمپ باطله (با توجه به میزان نفوذ پذیری دمپ) به نواحی پائین دست و انتقال آنها به داخل سیستم جریان آب‌های سطحی و زیرزمینی نقش بسیار مهمی داشته باشد. در ارائه مدل‌های کامپیوتری جهت انتقال آلاینده‌های تولیدی، باید مقدار متوسط بارندگی سالیانه را از روی بارندگی ثبت شده در ماههای مختلف سال محاسبه نمود. جدول ۳-۱ میزان بارندگی و برخی دیگر از مشخصات هواشناسی ثبت شده در منطقه پل سفید در مقایسه با پارامترهای هواشناسی مربوط به تعدادی از ایستگاه‌های هواشناسی استان مازندران را نشان می‌دهد.

۸-۳- کارخانه ذغالشویی انجیرتنگه

کارخانه ذغالشویی انجیرتنگه در سال ۱۳۶۷ در شهر زیرآب در ۴۵ کیلومتری جنوب شهرستان قائم‌شهر و ۱۸۵ کیلومتری تهران و در محل انجیرتنگه در فاصله ۳ کیلومتری غرب جاده آسفالته قائم‌شهر-تهران (جاده فیروزکوه) احداث گردید. این کارخانه که زیر نظر شرکت ذغالسنگ البرز مرکزی اداره می‌شود، با هدف شستشو و کاهش خاکستر ذغالسنگ و تولید ذغالسنگ با پارامترهای مطلوب

جدول ۳-۱. میزان بارندگی سالیانه و برخی دیگر از مشخصات هواشناسی در پل سفید و مناطق اطراف (اداره هواشناسی استان مازندران، سال ۱۳۸۷).

نام ایستگاه	بارندگی سالیانه (میلیمتر)	تبخیر (میلیمتر)	رطوبت (درصد)	دما (°C)	سرعت باد حداکثر (m/s)
ساری	۷۱۴/۹	۱۱۰۵/۳	۷۴	۱۹/۶	۲۵
آمل	۵۸۶/۲	۱۰۷۶/۴	۷۸	۱۷/۸	۲۴
پل سفید	۴۴۹/۲	۹۹/۲	۶۷	۱۵/۵	۱۷
کیاسر	۴۳۳/۳	۹۷۱/۴	۶۹	۱۳/۶	۲۰
آلاشت	۴۳۵/۳	۸۰۵/۵	۶۹	۱۱/۴	۲۵
گلوگاه	۵۱۵/۱	۱۱۷۴/۲	۷۵	۱۷/۷	۱۸

برای مصرف در کارخانه ذوب آهن اصفهان طراحی گردید (علیجان، ۱۳۸۲). کلیه تجهیزات کارخانه برای فرآوری ذغالسنگ در یک ساختمان چهار طبقه قرار گرفته است. ذغالسنگ‌های استخراج شده از معادن کارمزد و کارسنگ، معدن کیاسر و بعضی معادن متفرقه برای شستشو وارد این کارخانه می‌شوند. ظرفیت اسمی کارخانه طبق طراحی اولیه، شستشوی حدود ۵۰۰۰۰۰ تن در سال ذغال خام بوده است. در حال حاضر به علت کاهش استخراج از معادن و عدم وجود بار ورودی کافی با ظرفیت سالانه ۱۲۰۰۰۰ تن در سال کار می‌کند، بازیابی ذغال در کارخانه در حدود ۶۰ درصد است و بقیه خوراک به باطله تبدیل می‌شود (نعمتی، ۱۳۸۰). شکل ۱-۵ نمایی از کارخانه ذغال‌شویی انجیرتنگه-زیرآب را نشان می‌دهد. بار ورودی به کارخانه دارای خاکستر تقریبی ۲۷-۳۳ درصد است، که پس از شستشو در کارخانه به ۱۱-۱۰ درصد کاهش داده شده و به کارخانه ذوب آهن اصفهان ارسال می‌شود (نعمتی، ۱۳۸۰). کنسانترهنهایی کارخانه دارای مشخصات زیر است (نعمتی، ۱۳۷۹): رطوبت: ۶-۸ درصد، خاکستر: ۱۱-۱۲ درصد، مواد فرار: ۲۸-۳۰ درصد، گوگرد: ۱ درصد، فسفر: ۱ درصد و خاصیت کک‌شوندگی (نمکه کک): ۸-۶ فرآوری ذغالسنگ در این واحد ذغال‌شویی شامل سه روش عمده سنگ جوری، ثقلی (جیگ) و فلوتاسیون می‌باشد. ذغال ورودی به این کارخانه توسط سرندهای ثابت و لرزان به سه دسته تقسیم می‌شوند (نعمتی، ۱۳۸۰):

- ذرات درشت‌تر از ۸۰ میلی‌متر (خوراک قسمت سنگ جوری)،
- ذرات بین ۸۰-۵۰ میلی‌متر (خوراک قسمت جیگ)،
- ذرات ریزتر از ۵۰ میلی‌متر (خوراک قسمت فلوتاویون)

محصول کارخانه (کنسانتره) نیز با توجه به اندازه ذرات، فرآیند اعمال شده و نحوه آبگیری آن‌ها از

چند قسمت از کارخانه خارج می‌شود:

- کنسانتره با ابعاد درشت‌تر از ۸۰ میلی‌متر (محصول قسمت سنگ جوری)،
- کنسانتره با ابعاد ۱۳-۸۰ میلی‌متر (محصول درشت قسمت جیگ)،
- کنسانتره با ابعاد ریزتر از ۵۰ میلی‌متر (محصول ریز بخش جدایش جیگ که توسط سانتریفوژ آبگیری می‌شود)،
- کنسانتره با ابعاد ریزتر از ۵۰ میلی‌متر (محصول بخش فلوتاویون)،

فرآیند شستشوی ذغال در بخش جدایش ثقلی و فلوتاویون به صورت تر می‌باشد. آب مورد نیاز

کارخانه نیز از سه محل تامین می‌گردد (نعمتی، ۱۳۸۳):



شکل ۴-۳. کارخانه ذغال‌شویی انجیرتنگه.

▪ آب چاه شش روبار،

▪ آب رودخانه دلیل،

▪ آب برگشتی از حوضچه‌های فرآیندی به کارخانه،

بخش زیر ۰/۵ میلی‌متر (اسلامی جیگ ماشین) به کلاسیفایر منتقل شده، دانه‌بندی گشته و سپس فلوته می‌شود. در تانک‌های آماده‌سازی فلوتاسیون، مواد به وسیله روغن کاج و گازوئیل آماده‌سازی شده و پس از آن وارد سلول‌های فلوتاسیون می‌گردد. در سلول‌های فلوتاسیون ذغال دانه‌ریز از خاکستر جدا شده و باطله پس از آب‌گیری در تیکنر به وسیله کاتال‌هایی به سد باطله فرستاده می‌شود. با توجه به فرآیند استفاده شده در کارخانه، دو نوع باطله تولید می‌شود:

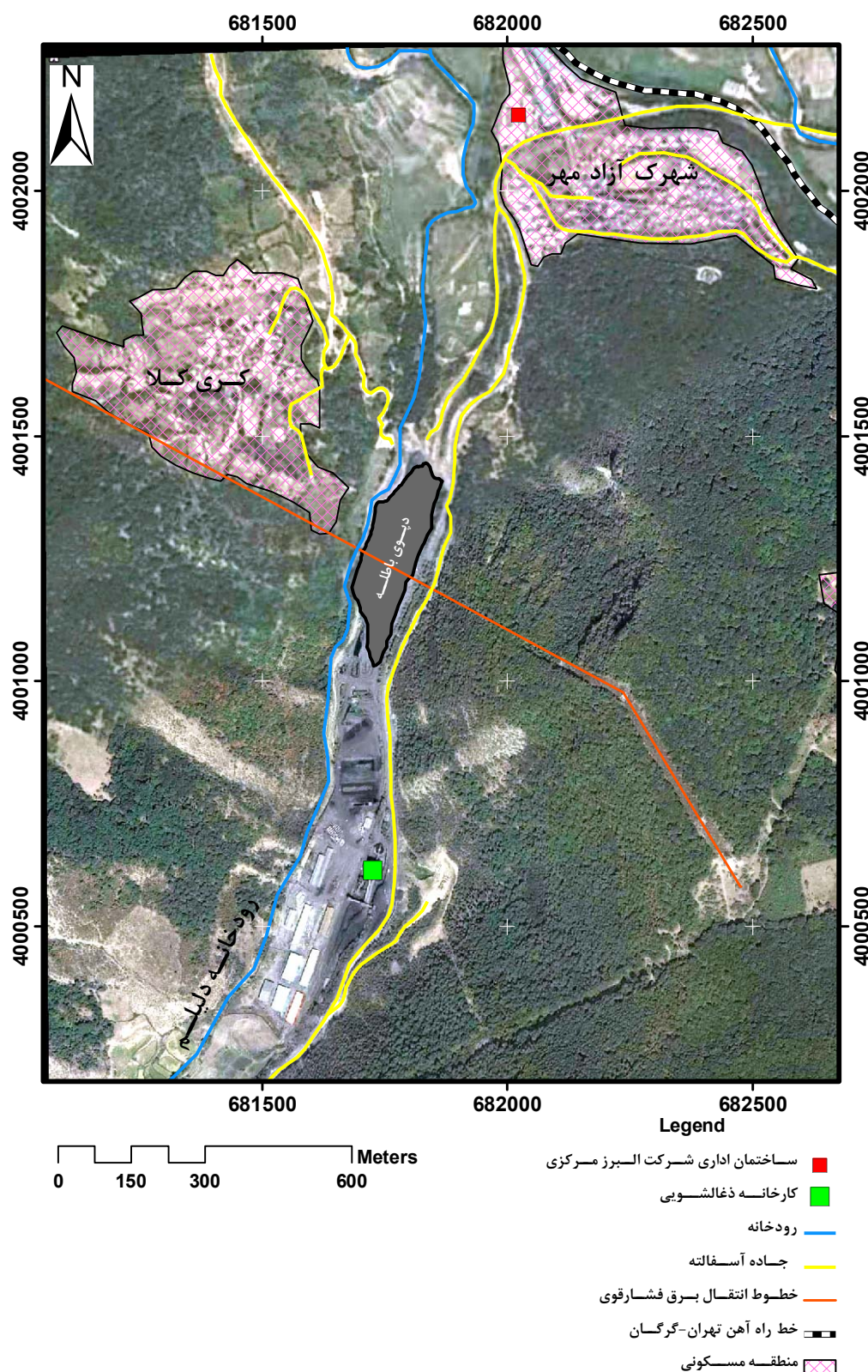
▪ باطله تولید شده از جیگ ماشین،

▪ باطله‌های تولید شده از فرآیند فلوتاسیون.

با توجه به مدت زمان نسبتاً طولانی فعالیت کارخانه ذغال‌شویی انجیر تنگه، مقادیر زیادی از باطله‌های ذغال‌شویی در محدوده کارخانه انباشت شده است. در شکل ۵-۳ عکس ماهواره‌ای از منطقه مورد مطالعه آورده شده است که در آن کارخانه ذغال‌شویی، دپوی باطله ذغال‌شویی، راه‌های دسترسی موجود در منطقه، راه‌آهن سراسری تهران-گرگان، مناطق مسکونی منطقه و رودخانه دلیل در مجاورت کارخانه نشان داده شده است.

۱-۸-۳- باطله‌ها در کارخانه ذغال‌شویی انجیرتنگه

کارخانه ذغال‌شویی انجیرتنگه قدمتی ۲۲ ساله دارد و از زمان تاسیس کارخانه، باطله‌های تولیدی در پائین‌دست کارخانه، بین کارخانه و ساختمان مرکزی شرکت ذغال‌سنگ البرز مرکزی دپو شده‌اند به طوری که امروزه این باطله‌ها به بیش از ۱/۵ میلیون تن رسیده است و محدوده‌ای به مساحت تقریبی حدود ۲ هکتار را اشغال کرده است. باطله‌های انباشت شده که در معرض اکسیژن هوا قرار گرفته‌اند ظاهری هوازده داشته و نسبت به نمونه‌های عمقی تغییر رنگ جزئی دارند. با توجه به اینکه در فرآیند تولید کنسانتره از ذغال‌سنگ، چند نوع مواد شیمیایی استفاده می‌شود، مسلماً باطله‌ها هم آغشته به



شکل ۳-۵. تصویر ماهواره‌ای منطقه مورد مطالعه که در آن جاده دسترسی، کارخانه ذغالشویی، دپوی باطله ذغال، راه آهن تهران-گرگان و رویدخانه دلیل مشخص شده است (اصلاح شده در نرم افزار GIS از Googleearth).

مواد شیمیایی هستند. با توجه به باران خیز بودن منطقه، آب باران مواد شیمیایی موجود در باطله‌ها را به تدریج در خود حل کرده و به رودخانه دلیلم و آب‌های زیرزمینی منطقه انتقال می‌دهد. بنابراین به نظر می‌رسد که دپو کردن باطله‌های ذغال‌شویی علاوه بر از بین بردن زیبایی منطقه سبب آلودگی‌آب‌های زیرزمینی شده و آب رودخانه دلیلم را نیز متأثر ساخته است. متخصصین محیط زیست با بررسی کارشناسی از محل مشاهده کردند که رودخانه دلیلم در جوار منطقه دپو شده باطله جریان دارد، لذا از مسئولان کارخانه ذغال‌شویی تقاضا کردند با ایجاد سد بتُنی مانع از ورود مستقیم آب باران آغشته به مواد شیمیایی به داخل رودخانه گردند (شکل ۳-۶).



شکل ۳-۶. احداث دیوار بتُنی جهت جلوگیری از ورود مواد شیمیایی محلول و زهاب تولیدی به رودخانه دلیلم.

۳-۸-۲- روشن انباشت باطله‌ها

روشن انباشت باطله‌ها می‌تواند در پتانسیل تولید اسید احتمالی موثر باشد. در حقیقت روشن انباشت، میزان دستریسی به رطوبت و اکسیژن که عوامل اصلی جهت تشکیل زهاب اسیدی هستند را تحت

تأثیر قرار می‌دهد. نحوه انباشت اینگونه است که باطله‌ها ابتدا به وسیله کانال‌هایی از کارخانه به درون سدهای باطله واقع در بین کارخانه ذغال‌شوئی و محل انباشت باطله‌ها منتقل می‌گردد. باطله‌ها در داخل سدهای باطله پس از خشک شدن تخلیه و به محل دپوها حمل می‌گردند. پس از زیاد شدن و تجمع کپه‌ها در محل انباشت باطله‌ها و کاهش رطوبت، باطله‌ها به وسیله بلدوzer پخش و سپس به کمک گریدر مسطح می‌شوند و دوباره باطله‌های جدید با همان شیوه قبلی روی باطله‌های قدیمی‌تر انباشت می‌شود. شکل ۷-۳ دپوی باطله‌های حاصل از شستشوی ذغال در کارخانه ذغال‌شوئی انجیر تنگه را نشان می‌دهد.



شکل ۷-۳. نمایی از محل انباشت باطله‌های ذغال‌شوئی در کارخانه ذغال‌شوئی انجیر تنگه، البرز مرکزی.

۹-۳- مشاهدات صحرایی

همانطور که در فصل دوم اشاره شد، یکی از مهم‌ترین آلودگی‌های ذغال ایجاد زهاب اسیدی می‌باشد. اثرات زیست محیطی زهاب اسیدی ناشی از ذغال به گونه‌ای است که اغلب به صورت بصری قابل درک و مشاهده است. به همین دلیل در مطالعات پیش‌بینی و بررسی قابلیت تولید زهاب اسیدی، مشاهدات

صحرایی یکی از پارامترهای مهم بهشمار می‌رود. بدیهی است که در صورت وجود زهب اسیدی، اثرات تشکیل آن قابل مشاهده و شناسایی می‌باشد. در حقیقت از مطالعات صحرایی به عنوان مقدمه‌ای جهت شناسایی منابع آلودگی، ثبت اثرات و نشانه‌های احتمالی آلودگی و در نهایت نمونه‌برداری صحیح جهت آنالیز و تعیین غلظت عناصر استفاده شده است. در محل انباست باطله‌های ذغال‌شوئی و سدهای باطله گیاهانی رشد نموده که زیبایی خاصی به محل‌های مذکور بخشیده، ضمن اینکه در تصفیه طبیعی پساب‌های کارخانه می‌تواند نقش مؤثری داشته باشد. شکل ۳-۸ تصویری از رویش گیاهان در داخل یکی از سدهای باطله کارخانه ذغال‌شوئی انجیر تنگه را نشان می‌دهد. به نظر می‌رسد که pH آب در سدهای باطله و حوضچه‌های جمع آوری آب از باطله‌های شستشوی ذغال در حد خنثی باشند. این موضوع با حضور آبزیانی چون مار، غورباقه و خرچنگ در این حوضچه‌ها هماهنگی دارد. آلودگی هوا در منطقه نیز از مسائل مهم می‌باشد که نباید آن را نادیده گرفت. ذرات ریز و معلق ذغال و گرد و خاک تا فواصل نسبتاً دور از کارخانه مشاهده می‌گردد.



شکل ۳-۸. نمایی از رویش گیاهان در داخل سدهای باطله کارخانه ذغال‌شوئی انجیر تنگه.

خاک‌های سطحی، گیاهان و آب‌های جاری منطقه اطراف کارخانه تا شعاع دوردست متأثر از ذرات ریز ذغال می‌باشند که توسط عوامل مختلف انتقال بویژه توسط باد صورت گرفته است. ضمن اینکه در محدوده کارخانه، گیاه خاصی رشد نکرده و تقریباً عاری از پوشش گیاهی است. مشاهدات انجام شده در بخش‌های مختلف پائین دست دمپ باطله، علائمی مبنی بر فرآیند اکسایش پیریت، تولید آلودگی احتمالی و شستشوی آلاینده‌ها به داخل زمین و رودخانه دلیل را نشان داد. همان‌گونه که در شکل ۹-۳ دیده می‌شود، رسوبات نارنجی و پرتغالی رنگ هیدرواکسید آهن سه‌ظرفیتی در زهاب‌هایی که از محل انباشت باطله‌های ذغال‌شوندی به سمت رودخانه دلیل جریان دارد، از اکسایش پیریت موجود در باطله‌ها حاصل شده است. پایداری دمپ باطله‌ها در کارخانه ذغال‌شوندی انجیر تنگه از مسائل مهم علاوه بر جنبه‌های زیست‌محیطی و مشکلات آلودگی احتمالی است که باید مورد توجه قرار گیرد. دمپ باطله‌ها در معرض فرسایش و نزولات جوی قرار گرفته‌اند و ممکن است خطراتی از قبیل ریزش و جریان‌یافتن در بخش‌هایی در پائین دست دمپ، به‌ویژه در نزدیکی رودخانه دلیل را ایجاد نمایند. وجود شکاف‌ها و حفره‌های بزرگ در زمین‌های پائین دست دمپ باطله‌ها گویای این واقعیت هستند.



شکل ۹-۳. شواهدی مبنی بر اکسایش پیریت و تولید زهاب در پائین دست باطله‌های حاصل از فرآیند شستشوی ذغال در کارخانه ذغال‌شوندی انجیر تنگه.

۳-۱۰-۳- محیط‌های نمونه‌برداری

محیط‌های نمونه‌برداری شامل محیط‌های آبی، رسوبات رودخانه‌ای، محل دپوی باطله‌های ذغال‌شویی می‌باشد.

۳-۱۰-۳-۱- محیط‌های آبی

۳-۱۰-۳-۱-الف- روش نمونه‌برداری

نمونه‌برداری در مرداد ماه ۱۳۸۹ در محدوده کارخانه ذغال‌شویی صورت گرفت. نمونه‌ها در ظروف پلی‌اتیلنی ۲۵۰cc ریخته و درب قوطی‌ها در زیر آب بسته و نمونه‌ها در مکان خنک و به دور از تابش مستقیم خورشید نگه‌داری شد. نمونه‌های آب بدون اضافه شدن اسید جهت تعیین غلظت آنیون‌ها (Cl^- , SO_4^{2-} , HCO_3^- , CO_3^{2-} , Na^+ , K^+ و Mg^{+2}) اصلی آب به آزمایشگاه پارک علم و فن آوری استان سمنان ارسال گردیدند. همچنین نمونه‌های آب جهت تعیین غلظت فلزات سنگین به روش ICP-MS بعد از آوردن pH آن‌ها به زیر ۳ توسط اسیدنیتریک به آزمایشگاه ACME کشور کانادا ارسال شد.

۳-۱۰-۳-۱-ب- مکان نمونه‌برداری

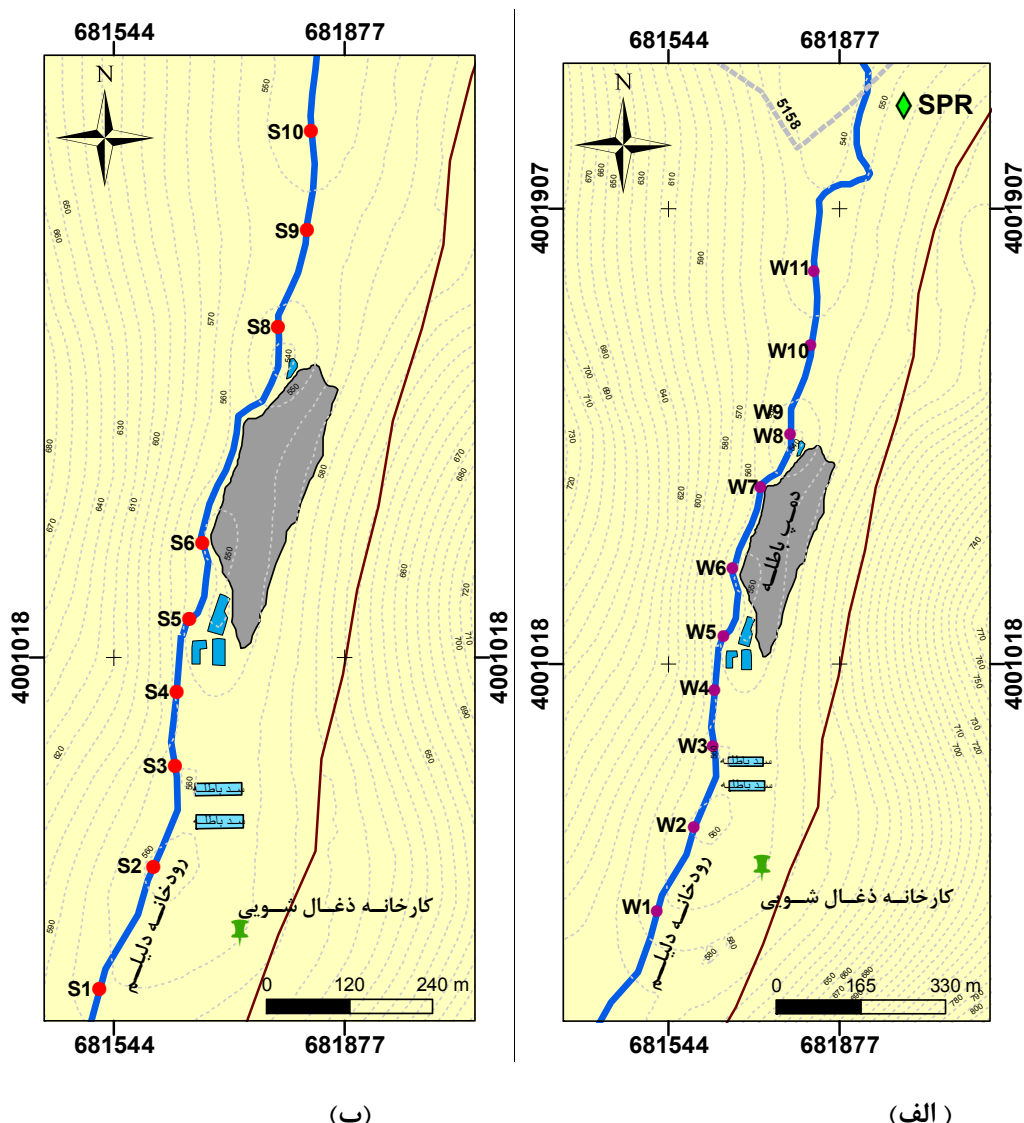
محیط‌های آبی منطقه عبارتند از: رودخانه دلیلیم که در مجاورت کارخانه جاری است، حوضچه‌های آب فرآیندی، حوضچه تهنشینی در پشت دیوار حائل، حوضچه‌های سد باطله و زهاب‌هایی که از محل دپو و یا دیوار حائل به رودخانه می‌ریزند. در مجموع تعداد ۲۲ نمونه از محیط‌های آبی منطقه به شرح زیر برداشت شد:

■ یازده نمونه W1 تا W11، از آب رودخانه دلیلیم و در طول رودخانه از مناطق بالادست تا

پائین‌دست کارخانه ذغال‌شویی انجیر تنگه برداشت شد (شکل ۳-۱۰-۳-الف). همچنین

فواصل نقاط نمونه‌برداری در جدول (۳-۳) و موقعیت جغرافیایی محل برداشت نمونه‌ها

در جدول (۳-۳) آمده است. نمونه‌های W8 و W9 در یک نقطه برداشت شدند که



شکل ۳-۱۰. موقعیت نقاط نمونه‌برداری (الف) از چشمه و آب رودخانه دلیلم، ب) رسوب رودخانه دلیلم در مجاورت کارخانه ذغال‌شوی.

نمونه W8 مربوط به آب رودخانه بوده و نمونه W9 از مخلوط آب رودخانه و آب‌های زهکش شده از

محل دمپ باطله‌ها برداشت شد.

■ سه نمونه A، B و C از حوضچه‌های آب فرآیندی در پایین دست کارخانه و در مجاورت

محل دپو باطله‌های ذغال‌شویی برداشت شد (شکل ۱۱-۳).

■ نمونه P0، از حوضچه ته‌نشینی که در انتهای دیوار حائل قرار دارد برداشت شد

(شکل ۱۱-۳). شیرابه دمپ به همراه آب‌های زهکش شده از حوضچه‌های آب فرآیندی

به این حوضچه وارد و به تدریج در امتداد دیوار بتنی به رودخانه دلیلیم وارد می‌شود

(شکل ۱۱-۳).

دو نمونه I و J از حوضچه‌های سد باطله برداشت شد (شکل ۱۱-۳).

سه نمونه H1، H2 و H3 از زهاب‌هایی که در امتداد دیوار بتنی به رودخانه وارد می‌شود

و یک نمونه Leach از شیرابه دمپ که به حوضچه P0 می‌ریزد، برداشت شد

(شکل ۱۱-۳).

یک نمونه SPR از آب چشم‌های در مقابل ساختمان اداری البرز شرکت ذغال‌سنگ

مرکزی و در خارج از کارخانه برداشت شد (شکل ۱۰-۳-الف). آب این چشم‌هه در منطقه

برای مصارف شرب استفاده می‌شود.

۱۰-۲-۱-رسوبات رودخانه

۱۰-۲-الف-روش نمونه‌برداری

نمونه‌برداری از رسوبات سطحی کف رودخانه توسط بیلچه فلزی انجام شد و نمونه‌ها درون نایلون

پلاستیکی ضخیم نگه‌داری شدند. نمونه‌ها جهت تعیین غلظت عناصر به روشن ICP-MS به آزمایشگاه

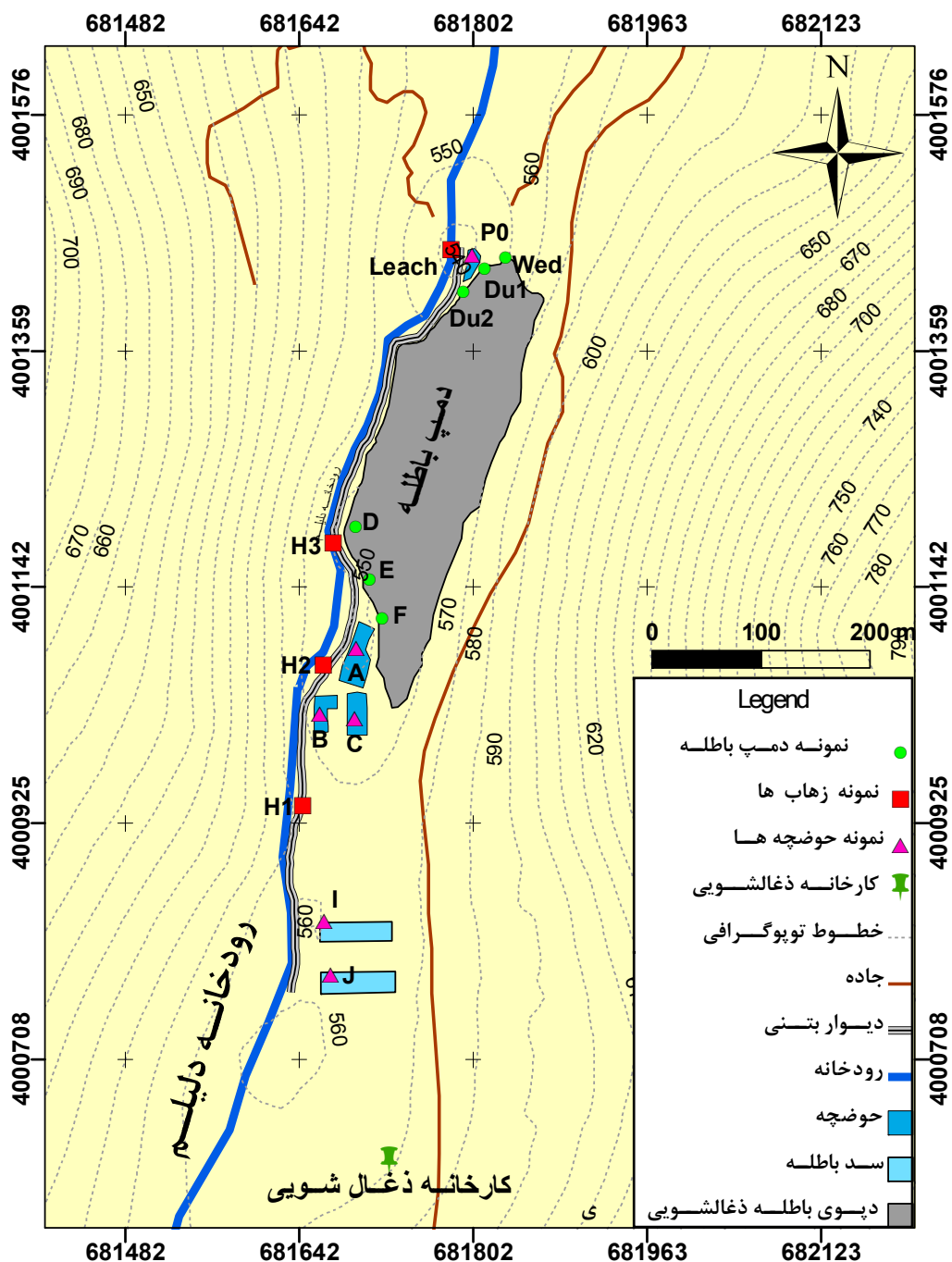
ACME کشور کانادا ارسال شدند.

۱۰-۲-ب-مکان نمونه‌برداری

در طول مسیر رودخانه همزمان با هر نمونه آب، از رسوب همان نقطه نیز نمونه‌برداری شد که در

مجموع تعداد ۱۰ نمونه رسوب S1 تا S10 برداشت شد. به دلیل بروز خطا در نمونه‌برداری، نمونه

رسوب S7 مورد آنالیز قرار نگرفت. فواصل نقاط نمونه‌برداری در جدول ۲-۳ آورده شده است.



شکل ۳-۱۱. موقعیت نقاط نمونه‌برداری از حوضچه‌های آب فرآیندی (A، B و C)، حوضچه تهنشینی (P0)، حوضچه‌های سد باطله (I و J)، زهاب‌ها (H1، H2 و H3)، Leach، پروفیل‌های عمقی روی دمپ باطله (D، E و F) و نمونه خاک‌های پای دمپ (Du1 و Du2، Wed) در محدوده کارخانه ذغالشویی.

جدول ۳-۲. فواصل نقاط نمونه‌برداری در طول رودخانه دلیل در مجاورت کارخانه ذغال‌شوی.

مسافت (متر)										نمونه رسوبات							
۱۷۰۰	۱۵۵۰	۱۴۱۰	۱۰۵۰	۹۰۰	۷۰۰	۵۵۰	۳۰۰	S1	S2	S3	S4	S5	S6	S8	S9	S10	
۹																	مجموع نمونه‌ها
W11	W10	W9 ¹	W8	W7	W6	W5	W4	W3	W2	W1							نمونه‌های آب رودخانه
۱۱																	مجموع نمونه‌ها

در جدول ۳-۳ مختصات محل‌های نمونه‌برداری از محیط‌های آبی و رسوبات رودخانه آمده است.

۳-۱۰-۳-دپوی باطله

نمونه‌برداری از محل انباشت باطله جیگ ماشین که قدمت بالایی داشته و به تازگی باطله‌ای در این مکان انباشت نشده است انجام شد. نمونه‌برداری از دمپ باطله ذغال‌شویی جهت بررسی آلودگی ناشی از اکسایش پیریت، تولید اسید و شستن عناصر سنگین همراه باطله‌های ذغال صورت پذیرفت.

۳-۱۰-۳-الف-روش نمونه‌برداری

با توجه به عدم پایداری و ارتفاع زیاد محل دپو باطله از یک دستگاه بیل مکانیکی برای حفر ترانشه^۱‌های عمودی از سطح تا قاعده دمپ استفاده شد. در سه نقطه از دمپ و در هر نقطه از اعماق مختلف نمونه‌برداری شد. نمونه‌برداری به صورت دستی انجام شد و تلاش گردید تا نمونه‌ها به صورت معرف باشند. از هر نقطه به میزان حداقل یک گیلوگرم نمونه برداشت و به منظور جلوگیری از اختلاط نمونه‌ها، هر نمونه در کیسه پلاستیکی دربسته جداگانه و دارای برچسب مشخصات قرار داده شد. مشخصات مربوط به تعداد و عمق نمونه‌برداری در جدول ۳-۴ آورده شده است.

۳-۱۰-۳-ب-مکان نمونه‌برداری

برای این منظور سه نقطه D، E و F روی دمپ باطله، نمونه‌برداری به صورت عمیقی و در اعماق مختلف در راستای قائم به منظور تعیین میزان پیریت باقی‌مانده در باطله‌ها، صورت پذیرفت.

¹ Trench

جدول ۳-۳. مختصات محل‌های نمونه‌برداری از محیط‌های آبی و رسوب رودخانه در بالادست، پائین‌دست و محوطه کارخانه ذغال‌شویی انجیر تنگه.

محل نمونه‌برداری	مختصات محل نمونه‌برداری		
	x	y	H (ارتفاع)
S1	681508	4000536	557
S2	681567	4000716	545
S3	681615	4000858	541
S4	681611	4000967	551
S5	681623	4001094	541
S6	681650	4001179	533
S7	681662	4001237	531
S8	681773	4001499	522
S9	681830	4001637	522
S10	681817	4001784	520
W1	681508	4000536	557
W2	681567	4000716	545
W3	681615	4000858	541
H1	681612	4000935	551
W4	681611	4000967	551
W5	681623	4001094	541
H2	681625	4001087	538
W6	681650	4001179	533
H3	681656	4001182	533
W7	681662	4001237	531
P0	681773	4001462	524
Leach	681773	4001456	525
W8	681773	4001499	522
W9	681773	4001499	522
W10	681830	4001637	522
W11	681817	4001784	520
A	681679	4001162	541
B	681667	4001049	542
C	681647	4001037	551
I	681640	4000876	562
J	681638	4000822	562
SPR	682001	4002112	559

همچنین ۳ نمونه خاک (Wed، Du1 و Du2) از پای دپوی باطله و در مجاورت حوضچه ته‌نشینی برداشت شد (شکل ۱۱-۳). نمونه‌های عمقی و پای دپو پس از آماده‌سازی، جهت تعیین غلظت عناصر اصلی و جزئی به روش ICP-MS به کشور کانادا ارسال شد. علاوه بر این نمونه‌های عمقی روی دپوی باطله برای تعیین pH و غلظت سولفات به پارک علم و فن‌آوری استان سمنان ارسال شد.

جدول ۴-۳. مشخصات نمونه‌های عمقی برداشت شده روی دمپ باطله‌ها.

عمق (سانتیمتر)										
										نقطه D
D9 ۹										تعداد نمونه‌ها
۴۵۰ ۴۰۰										عمق (سانتیمتر)
E10 ۱۰										نقطه E
۳۰۰ ۲۵۰ ۲۰۰ ۱۵۰ ۱۰۰ ۵۰ ۰										تعداد نمونه‌ها
F7 ۷										عمق (سانتیمتر)
F6 F5 F4 F3 F2 F1										نقطه F
										تعداد نمونه‌ها

۳-۱۱-۳- تعیین میزان پیریت باقی‌مانده با استفاده از روش جذب اتمی^۱

سولفور به سه شکل در ذغال‌سنگ یافت می‌شود:

- سولفور غیرآلی (سولفات)،
- سولفور همراه با پیریت،
- سولفور آلی،

ارتباط بین انواع سولفورها در ذغال را می‌توان با استفاده از رابطه ۳-۱ بیان کرد (اصانلو، ۱۳۷۸):

$$S_O = S_t - (S_{NO} + S_P) \quad (1-3)$$

که در آن:

S_t : سولفور کل موجود در فاز آلی، پیریت و سولفات،

S_O : مقدار سولفور آلی که بسته به نوع ذغال تا ۱۰ درصد سولفور کل را تشکیل می‌دهد،

S_{NO} : سولفور غیرآلی که به صورت سولفات ظاهر می‌شود،

S_P : سولفور همراه با پیریت،

تعیین میزان پیریت باقی‌مانده در نمونه‌ها با استفاده از استاندارد ارائه شده توسط ASTM از دو

مرحله تشکیل شده است (گلادفلتر و دیکرهوف، ۱۹۷۶؛ دولتی ارده‌جانی و همکاران، ۲۰۱۰):

^۱ Atomic adsorption spectrometry (AAS)

▪ جداکردن سولفور در فاز سولفیدی (پیریت) موجود در نمونه‌ها از سایر فازهای سولفور

(سولفات و سولفور آلی).

▪ تعیین میزان پیریت از طریق اندازه‌گیری غلظت آهن به روش جذب اتمی.

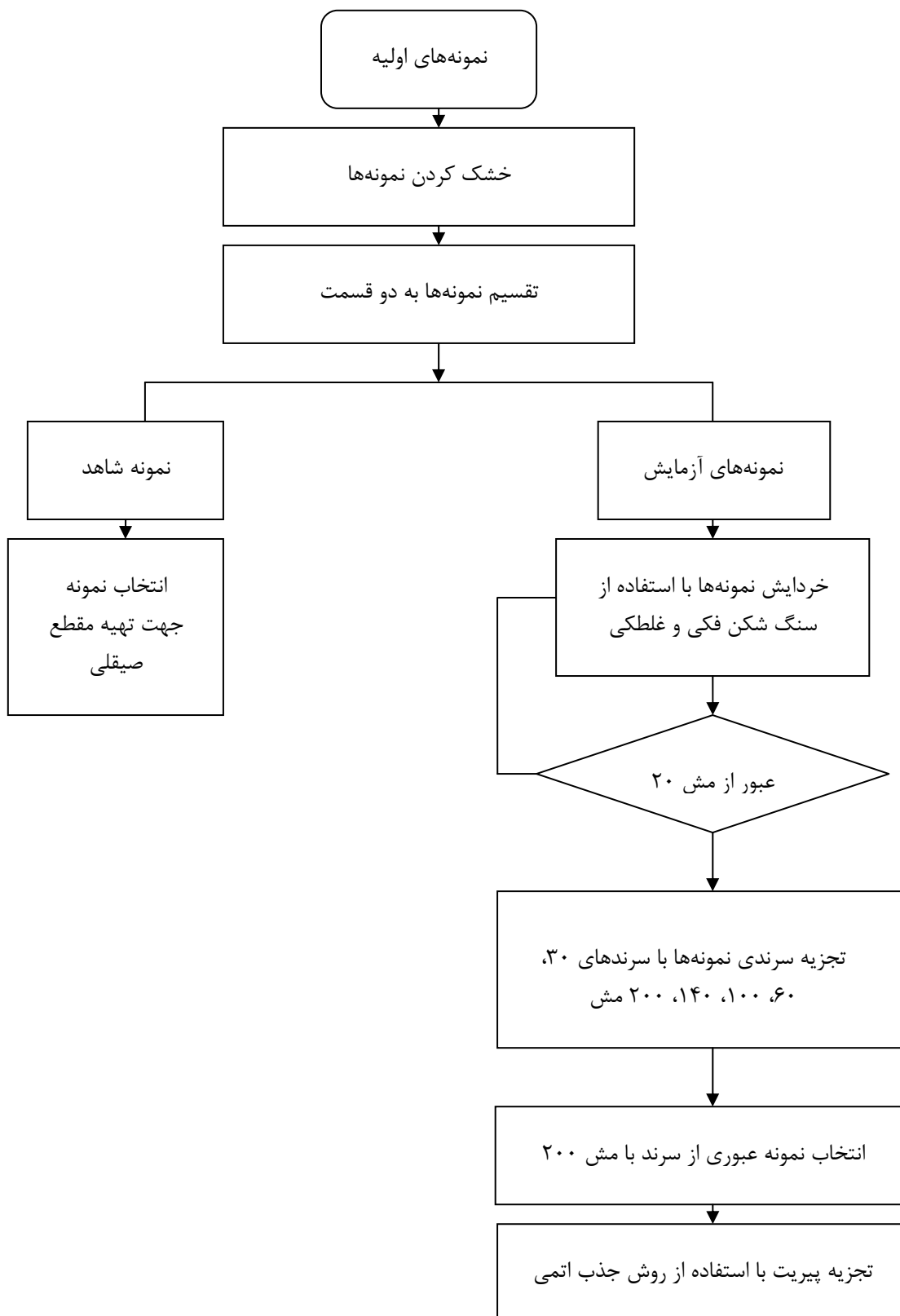
جداکردن سولفور در فاز سولفیدی از دو مرحله تشکیل شده است:

▪ حذف سولفات‌های موجود در نمونه‌ها با استفاده از اسید کلریدریک غلیظ.

▪ جدا کردن سولفیدهای (پیریت) موجود در نمونه‌ها با استفاده از اسید نیتریک غلیظ.

۱-۱۱-۳- روش آزمایش

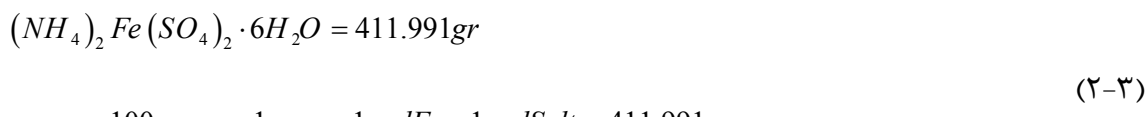
از نمونه‌های معرف آماده شده و عبوری از سرند ۲۰۰ میلی‌متر (زیر ۷۵ میکرون) (شکل ۳-۱۲) در این آزمایش استفاده شد و به میزان یک گرم از نمونه برداشته و با استفاده از ترازوی دیجیتالی وزن دقیق آن ثبت گردید. یک گرم نمونه را در محلولی که شامل ۱۰ میلی‌لیتر اسید کلریدریک غلیظ (۳۷ درصد حجمی) و ۱۵ میلی‌لیتر آب مقطر است ریخته و تا زمان رسیدن به حجم ۱۰ میلی‌لیتر محلوت حاصل حرارت داده شد. در این مرحله سولفات‌های موجود در نمونه‌ها در اسید کلریدریک حل شده و از محلوت خارج می‌شود. پس از سرد شدن محلوت حاصل از مرحله قبل، با استفاده از کاغذ صافی رسوبات حل نشده محلوت را جدا کرده و ظرف حاوی محلوت را با ۲۰ میلی‌لیتر آب مقطر شستشو داده تا رسوبی در ظرف باقی نماند. سپس کاغذ صافی و رسوب باقی‌مانده بر روی آن را در محلولی شامل ۷ میلی‌لیتر اسید نیتریک غلیظ (۶۵ درصد وزنی) و ۵۰ میلی‌لیتر آب مقطر قرار داده و رسوب را کاملاً از روی کاغذ صافی شسته و کاغذ صافی خارج گردید. محلوت حاصل را به کمک شعله چراغ گاز به مدت ۵۰ دقیقه حرارت داده تا سولفید آهن (پیریت) موجود در دانه‌های رسوب کاملاً حل شود. پس از سرد شدن محلول، با استفاده از کاغذ صافی ناخالصی‌های حل نشده موجود در محلول جدا گردید و محلول عبوری از کاغذ صافی در بالان ژوژه به حجم ۱۰۰ میلی‌لیتر رسید. آزمایش فوق برای همه نمونه‌های برداشت شده از سه پروفیل عمودی روی دمپ (D، E و F) و در اعماق مختلف انجام شد.



شکل ۱۲-۳. فلوچارت آماده‌سازی نمونه‌ها برای تعیین میزان پیریت باقی‌مانده (جدیری، ۱۳۸۶).

۱۱-۳-۲- تهیه محلول‌های استاندارد با غلظت‌های معین آهن

با توجه به زیاد بودن تعداد نمونه‌ها و جلوگیری از محلول‌سازی چندباره در ابتدا محلولی با غلظت معین ۱۰۰ ppm آهن از نمک آهن دار به عنوان محلول مرجع تهیه کرده و سایر محلول‌های با غلظت‌های معین آهن از این محلول تهیه گردید. برای این منظور، با توجه به رابطه ۲-۳ مقدار ۰/۰۷۳۵ گرم از نمک آهن دار را وزن کرده و در بالن ژوژه ۱۰۰ میلی‌لیتری به حجم رساندیم.



$$0.1Lit \times \frac{100mg}{Lit} \times \frac{1gr}{1000mg} \times \frac{1molFe}{56gr} \times \frac{1molSalt}{1molFe} \times \frac{411.991gr}{1molSalt} = 0.0735grSalt$$

۱۱-۳-۳- تجزیه جذب اتمی

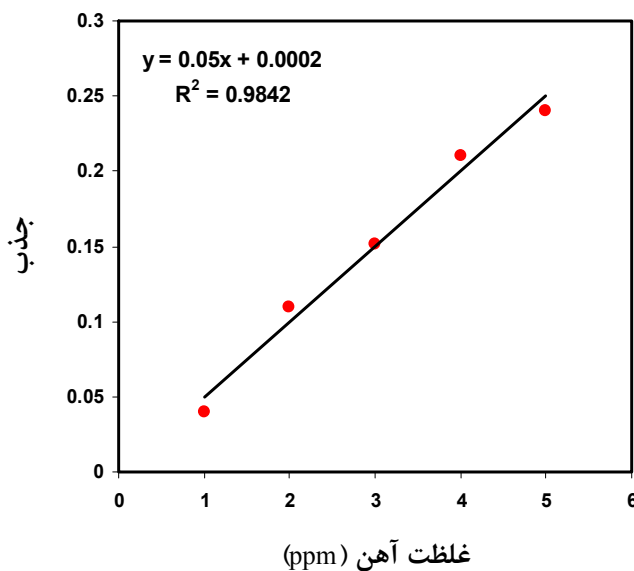
میزان آهن نمونه‌ها با استفاده از دستگاه جذب اتمی مدل AA670-Shimadzu در دانشگاه صنعتی شاهروд تعیین گردید. دستگاه ابتدا با آب مقطر واسنجی^۱ شده و سپس مقدار جذب محلول‌های استاندارد با غلظت‌های معین ۱، ۲، ۳، ۴ و ۵ ppm آهن ثبت شد. مقدار جذب سایر نمونه‌های آماده شده نیز به ترتیب توسط دستگاه اندازه‌گیری گردید. مطابق شکل ۱۳-۳ نمودار غلظت-جذب برای محلول‌های استاندارد با غلظت‌های معین آهن رسم شده و معادله خط برآش شده بر نقاط به دست آمد. با قرار دادن مقدار جذب سایر نمونه‌ها در معادله خط، غلظت آهن در فاز سولفیدی به دست آمد. با فرض اینکه تمام غلظت آهن اندازه‌گیری شده در نمونه‌ها ناشی از پیریت است مقدار پیریت باقی-مانده در نمونه‌های دمپ باطله مطابق جداول ۵-۳ تا ۷-۳ حاصل شد.

۱۲-۳- تعیین pH گل اشباع^۲ در نمونه‌های عمقی دمپ

در واقع غلظت یون هیدروژن آزاد یا اسیدی بودن هر نمونه معرف در زمان آزمایش با استفاده از pH گل اشباع معین می‌شود. تعیین pH، شرایط فعلی دمپ و به خصوص شرایط حضور باکتری‌ها در

¹ Calibration

² Paste



شکل ۳-۱۳. نمودار خطی بین غله‌ت آهن موجود در محلول‌های استاندارد در مقابل مقدار جذب اندازه‌گیری شده توسط دستگاه جذب اتمی.

اکسیداسیون پیریت را مشخص می‌نماید. با توجه به اینکه اکسیداسیون پیریت یک فرآیند وابسته به زمان است تعیین pH نمونه‌ها اطلاعاتی از تمایل و قابلیت تولید زهاب اسیدی نمونه در آینده فراهم نمی‌کند (بر خلاف درصد پیریت نمونه). در واقع ممکن است pH گل اشباع در نمونه‌ای غیرهوازده، با میزان سولفور بالا در محدوده نرمال باشد در حالی که pH نمونه‌ای هوازده، با میزان سولفور کمتر اما دارای مقادیری محصولات باقی‌مانده از هوازدهگی به مراتب پایین‌تر باشد. در پارک علم و فناوری استان سمنان برای اندازه‌گیری pH گل اشباع و سولفات در نمونه‌های عمقی روی دمپ از روش زیر استفاده شد: مقداری از نمونه باطله ذغال داخل بشر ریخته و با آب قطر مخلوط شد به گونه‌ای که مخلوط گل حاصل خیلی شل و یا سفت نباشد. پس از گذشت ۲۴ ساعت عصاره مخلوط گل با استفاده از pH متر، برای مقادیر pH اندازه‌گیری شد. غله‌ت سولفات (SO_4^{2-}) محلول در عصاره مخلوط‌های گلی نیز برای همه نمونه‌های عمقی روی دمپ تعیین شد (جدول ۳-۸).

جدول ۳-۵. غلظت آهن بر حسب میلی‌گرم، درصد آهن و درصد پیریت باقی‌مانده در نمونه‌های عمقی پروفیل D

نمونه	عمق (m)	Fe (mg)	Fe (%)	پیریت باقیمانده FeS ₂ (%)
D1	.	۴/۲۹۶	۰/۴۲۹	۰/۹۲۱
D2	۰/۳	۴/۳۶۸	۰/۴۳۶	۰/۹۳۶
D3	۰/۸	۴/۵۸۱	۰/۴۵۶	۰/۹۷۸
D4	۱/۳	۴/۳۵۵	۰/۴۳۴	۰/۹۳۱
D5	۱/۸	۴/۸۵۲	۰/۴۸۲	۱/۰۳۴
D6	۲/۳	۴/۵۴	۰/۴۵۱	۰/۹۶۸
D7	۲/۸	۴/۸۷۹	۰/۴۸۷	۱/۰۴۵
D8	۳/۳	۴/۹۹۱	۰/۴۹۳	۱/۰۵۸
D9	۳/۸	۵/۰۹۹	۰/۵۰۳	۱/۰۷۹

جدول ۳-۶. غلظت آهن بر حسب میلی‌گرم، درصد آهن و درصد پیریت باقی‌مانده در نمونه‌های عمقی پروفیل E

نمونه	عمق (m)	Fe (mg)	Fe (%)	پیریت باقیمانده FeS ₂ (%)
E1	.	۴/۷۱۰	۰/۴۶۹	۱/۰۰۶
E2	۰/۵	۴/۸۲۳	۰/۴۸۱	۱/۰۳۲
E3	۱	۵/۱۶۱	۰/۵۱۶	۱/۱۰۷
E4	۱/۵	۵/۳۲۳	۰/۵۳۲	۱/۱۴۲
E5	۲	-	-	-
E6	۲/۵	۵/۳۸۷	۰/۵۳۷	۱/۱۵۲
E7	۳	۵/۵۶۵	۰/۵۵۶	۱/۱۹۳
E8	۳/۵	۵/۷۱	۰/۵۶۷	۱/۲۱۷
E9	۴	۵/۶۹۴	۰/۵۶۸	۱/۲۱۹

جدول ۳-۷. غلظت آهن بر حسب میلی‌گرم، درصد آهن و درصد پیریت باقی‌مانده در نمونه‌های عمقی پروفیل F

نمونه	عمق (m)	Fe (mg)	Fe (%)	پیریت باقیمانده FeS ₂ (%)
F1	.	۴/۱۷۷	۰/۴۱۷	۰/۸۹۵
F2	۰/۵	۴/۶۲۲	۰/۴۶	۰/۹۸۷
F3	۱	۵/۷۴۸	۰/۵۷۳	۱/۲۳
F4	۱/۵	۵/۹۲۰۳	۰/۵۹۱	۱/۲۶۸
F4*	-	۵/۹۲۵۹	۰/۵۹۳	۱/۲۷
F5	۲	۵/۸۹۶۲	۰/۵۸۸	۱/۲۶۲
F6	۲/۵	۶/۰۷۲	۰/۶۰۵	۱/۲۹۸
F7	۳	۶/۱۴۸	۰/۶۱۲	۱/۳۱۳

جدول ۳-۸. مقدار pH و غلظت‌های سولفات (میلی‌گرم بر لیتر) برای همه نمونه‌های عمقی سه پروفیل D، E و F روی دپوی باطله ذغال‌شویی.

SO_4^{2-}	pH	F	پروفیل F	SO_4^{2-}	pH	E	پروفیل E	SO_4^{2-}	pH	D	پروفیل D
۳۲/۷۹	۳/۴۷	F1		۷۵/۱۲	۵	E1		۵۸/۷	۴/۶۳	D1	
۷۳/۲۴	۵/۲۷	F2		۹۳/۹۲	۶	E2		۸۳/۱۵	۳/۲۴	D2	
۸۵/۴۶	۶/۸	F3		۳۹/۶	۷/۳۱	E3		۸۲/۳	۶/۳۱	D3	
۸۷/۳	۵/۵	F4		۳۵/۲	۶/۷۹	E4		۶۱	۷/۵۶	D4	
۷۶/۲	۷/۲۴	F5		۵۱/۲	۶/۶۱	E5		۳۶/۸	۷/۱۹	D5	
۸۶/۲	۷/۴	F6		۵۴/۹	۷/۰۶	E6		۵۹	۷/۱۹	D6	
۱۰۰/۹۵	۷/۴۶	F7		۶۴/۸	۶/۷۹	E7		۵۸/۸	۷/۳۵	D7	
				۴۹/۷	۷/۵۹	E8		۶۲/۴	۷/۲۷	D8	
				۶۰/۵	۷/۰۵	E9		۵۵/۲	۶/۶۹	D9	

۱۳-۳- مقاطع صیقلی

برای بررسی کیفی تغییرات پیریت نسبت به عمق دپوی باطله، مقاطع صیقلی پیریت در نمونه‌های عمقی پروفیل‌های D، E و F تهیه و توسط میکروسکوپ نوری (نور عبوری و انعکاسی)، پیریت موجود در مقاطع مورد بررسی‌های کانی‌شناسی قرار گرفت.

فصل چهارم

اثرات زیست محیطی کارخانه

انجیرتنگه زیرآب بر محیط‌های

آبی منطقه

۱-۱- مقدمه

در این فصل مشخصات فیزیکی-شیمیایی در سیستم‌های آبی محدوده مورد مطالعه شامل رودخانه، زهاب‌های ورودی به رودخانه، حوضچه‌های آب فرآیندی و حوضچه‌های سد باطله و چشممه در خارج از محدوده کارخانه بررسی می‌شود. به منظور مقایسه میانگین خصوصیات فیزیکی-شیمیایی در محیط‌های آبی متفاوت از نمودار باکس پلات^۱ استفاده شد. این نمودار بهترین وسیله برای مقایسه مقدار میانگین در حجم داده‌های زیاد می‌باشد. در این تحقیق از نمودارهای اسکتر پلات^۲ برای بررسی شیمی کاتیون‌ها و آنیون‌ها استفاده شد. در این نمودارها نسبت‌های بین کاتیون‌ها و آنیون‌ها موجود در هر نمونه در واحد meq/L را به ترتیب نسبت به مجموع کاتیون‌ها، آنیون‌ها و مجموع کاتیون‌ها و آنیون‌ها در هر نمونه محاسبه شد. اصول استفاده از این نسبتها از نمودارهای پایپر^۳ و دورو^۴ برداشت شده است با این تفاوت که در نمودارهای پایپر و دورو نرمالایز کردن دوباره داده‌ها (تبديل به درصد کردن) کارایی این نمودارها در بررسی شیمی کاتیون‌ها و آنیون‌ها را کاهش می‌دهد. در ادامه برای بیان گرافیکی شیمی یون‌ها و مشخص کردن آنیون‌ها و کاتیون‌های غالب در هر یک از نمونه‌ها از نمودار استیف^۵ استفاده شد. اثرات کارخانه ذغال‌شویی و به خصوص اکسیداسیون پیریت در محدوده مورد مطالعه بر تغییر تیپ آب و اختلاط زهاب‌های متاثر از اکسیداسیون پیریت با آب‌های تازه‌تر رودخانه با استفاده از نمودار پایپر تعیین شد. از نمودار شولر^۶ برای بررسی روند و تغییرات یونی در نمونه‌های آب به خصوص در طول رودخانه در محل‌های ورودی زهاب‌ها استفاده شد. با توجه به شیمی یون‌ها و تغییرات تیپ آب‌ها در منطقه به بررسی علل شوری و نقش یون‌های غالب در شوری آب‌ها به خصوص در نمونه‌های زهاب‌ها و حوضچه‌ها با استفاده از نمودارهای گیبس^۷ و چادها^۸ پرداخته شد.

¹ Box plot² Scatter plot³ Piper⁴ Durov⁵ Stiff⁶ Schoeller⁷ Gibbs⁸ Chadha

همبستگی و ارتباط بین یون‌ها و فاکتورهای فیزیکوشیمیایی در آب‌ها تعین شد. از نرم افزار آماری SPSS نسخه ۱۹ که در محیط ویندوز اجرا می‌شود برای دست آوردن ماتریس همبستگی و نیز از نمودارهای اسکترپلات در محیط Excel برای نشان دادن گرافیکی همبستگی‌ها استفاده شد. در نهایت از کد کامپیوتری PHREEQC برای مدل‌سازی ژئوشیمیایی و یافتن کانی‌های احتمالی موجود در آب‌ها استفاده شد. نشت و تخلیه زهاب‌های محل دپو یا حوضچه‌های جمع آوری آب فرآیندی به رودخانه مجاور کارخانه بر کیفیت آب رودخانه تاثیر گذاشته و باعث تغییرات غلظت یون‌ها و افزایش شوری آب‌ها در محدوده کارخانه شده است.

۲-۴- مقایسه کاتیون‌ها و آنیون‌های عمدۀ در نمونه‌های آب

۱-۴- رودخانه

به منظور بررسی مشخصات فیزیکی-شیمیایی آب رودخانه دلیلیم در مجاورت کارخانه ۱۱ نمونه آب در طول رودخانه از بالادست کارخانه تا پایین‌دست کارخانه و پایین‌تر از محل دپوی باطله‌های ذغال‌شویی برداشت شد. در نمونه‌های آب رودخانه مقدار pH در محدوده ۷/۹۱-۸/۱۸ تغییر کرده و بنابراین تمام نمونه‌های رودخانه pH نرمال تا قلیایی با مقدار میانگین ۸/۰۸ دارند. مقادیر هدایت الکتریکی^۱ در محدوده ۵۴۳-۸۶۶ $\mu\text{S}/\text{cm}$ در نمونه‌ها تغییر می‌کند و مقدار میانگین هدایت الکتریکی در این نمونه‌ها ۶۰۷ $\mu\text{S}/\text{cm}$ می‌باشد. مقدار کل جامدات محلول^۲ در محدوده ۳۲۶-۵۶۰ mg/L با میانگین مقدار ۳۶۴/۵ قرار دارد. مقادیر غلظت سولفات (SO_4^{2-}) از ۱۵۰/۷۲-۳۹۳/۶ mg/L تغییر می‌کند. میانگین غلظت سولفات در نمونه‌های رودخانه ۲۲۲/۵۴ mg/L می‌باشد. ماکریمیم مقدار هدایت الکتریکی، کل جامدات محلول و سولفات در نمونه W9 مشاهده می‌شود که در نزدیکی محل ورود شیرابه دمپ به رودخانه است.

■ نسبت $\text{SO}_4^{2-} / \text{Total Anions}$ در نمونه‌های رودخانه از کمترین مقدار ۰/۴۳ در نمونه W2 تا

بیشترین مقدار ۰/۷۴ در نمونه W11 تغییر می‌کند (شکل ۴-۱-الف).

¹ Electrical conductivity (EC)

² Total dissolved solids

- نسبت $\text{HCO}_3^- / \text{Total Anions}$ در نمونه‌های رودخانه از کمترین مقدار ۰/۱۷ برای نمونه W8 تا بیشترین مقدار ۰/۴۱ در نمونه W6 تغییر می‌کند (شکل ۴-۱-پ).
 - نسبت $\text{SO}_4^{2-} / \text{Total (Anions + Cations)}$ در نمونه‌های رودخانه از کمترین مقدار ۰/۱۷ برای نمونه W2 تا بیشترین مقدار ۰/۳۸ در نمونه W11 تغییر می‌کند (شکل ۴-۱-ث).
 - نسبت $\text{Ca+Mg} / \text{Total Cations}$ در نمونه‌های رودخانه از کمترین مقدار ۰/۵۴ برای نمونه W11 تا بیشترین مقدار ۰/۸۵ در نمونه W9 تغییر می‌کند (شکل ۴-۱-ب).
 - نسبت $\text{Na+K} / \text{Total Cations}$ در نمونه‌های رودخانه از کمترین مقدار ۰/۱۴ برای نمونه W9 تا بیشترین مقدار ۰/۴۵ در نمونه W11 تغییر می‌کند (شکل ۴-۱-ت).
 - نسبت $\text{Ca+Mg} / \text{Total (Anions + Cations)}$ در نمونه‌های رودخانه از کمترین مقدار ۰/۲۶ برای نمونه W11 تا بیشترین مقدار ۰/۴۸ در نمونه W1 تغییر می‌کند (شکل ۴-۱-ج).
- به منظور بررسی کاتیون و آنیون غالب در نمونه‌های آب رودخانه درصد مقادیر هر یک از کاتیون‌ها و آنیون‌ها در واحد meq/L به ترتیب نسبت به مجموع کاتیون‌ها و آنیون‌ها برای نمونه‌های رودخانه محاسبه شد. بر این اساس کلسیم با ۴۶/۲ درصد کل کاتیون‌ها، کاتیون غالب در تمامی نمونه‌های رودخانه می‌باشد و به دنبال آن منیزیم با ۳۲/۸ درصد، سدیم با ۲۰/۲ درصد و پتاسیم با ۰/۸ درصد قرار دارند. در بین آنیون‌ها سولفات بیشترین سهم را از کل آنیون‌ها در همه نمونه‌های رودخانه با ۵۴ درصد داراست و بی‌کربنات با ۳۴ درصد، کلرید با ۷ درصد و کربنات با ۵ درصد به ترتیب بعد از سولفات قرار دارند.

۴-۲-۲-زهاب‌ها

- سیمای کلی مشخصات فیزیکی و غلظت یون‌های عمدۀ در زهاب به صورت زیر می‌باشد:
- در زهاب‌ها pH در محدوده بین ۷/۸۵-۷/۱۶ متغیر است که در مجموع نرمال تا قلیایی است.
 - هدایت الکتریکی در محدوده $1730-722 \mu\text{S/cm}$ با میانگین مقدار ۱۱۲۸ $\mu\text{S/cm}$ در تغییر است.

■ کل جامدات محلول از mg/L ۶۷۶ با میانگین $۱۰۳۷-۴۳۲$ در نمونه‌های زهاب تعیین شد.

■ نسبت $\text{SO}_4^{2-} / \text{Total Anions}$ در نمونه های زهاب از کمترین مقدار $۰/۳$ برای نمونه H3 تا بیشترین مقدار $۰/۸۲$ در نمونه H1 تغییر می کند (شکل ۴-۱-الف).

■ نسبت $\text{HCO}_3^- / \text{Total Anions}$ در نمونه‌های زهاب از کمترین مقدار $۰/۱۲$ برای نمونه H1 تا بیشترین مقدار $۰/۶۲$ در نمونه H3 تغییر می کند (شکل ۴-۱-پ).

■ نسبت $(\text{Total Anions} + \text{Cations}) / \text{SO}_4^{2-}$ در نمونه‌های زهاب از کمترین مقدار $۰/۱۱$ در نمونه H3 تا بیشترین مقدار $۰/۳۹$ در نمونه H1 تغییر می کند (شکل ۴-۱-ث).

■ نسبت $\text{Ca+Mg} / \text{Total Cations}$ در نمونه‌های زهاب از کمترین مقدار $۰/۶۹$ برای نمونه Leach تا بیشترین مقدار $۰/۸۸$ در نمونه H3 تغییر می کند (شکل ۴-۱-ب).

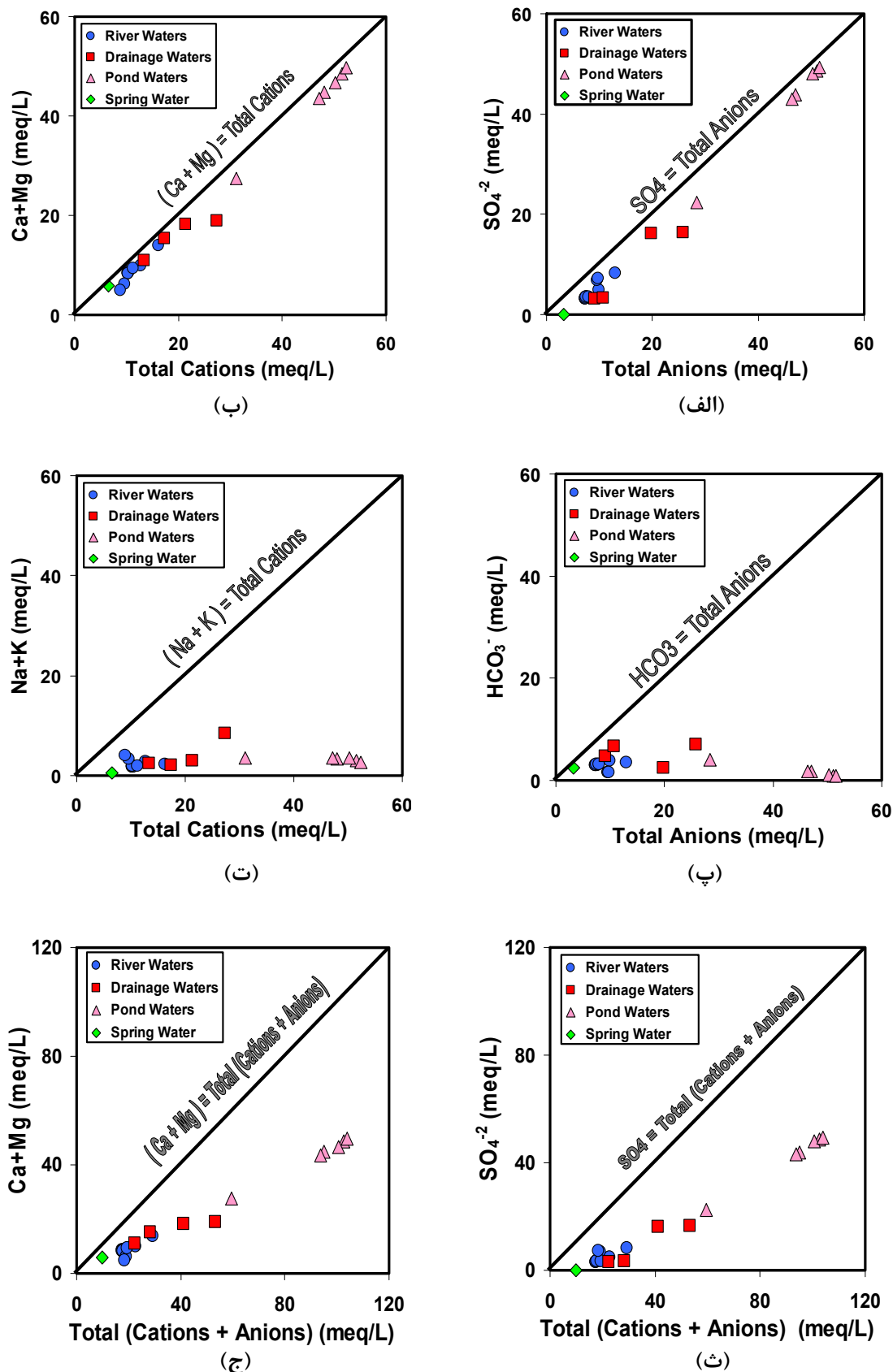
■ نسبت $\text{Na+K} / \text{Total Cations}$ در نمونه‌های زهاب از کمترین مقدار $۰/۱۱$ برای نمونه H3 تا بیشترین مقدار $۰/۳$ در نمونه Leach تغییر می کند (شکل ۴-۱-ت).

■ نسبت $(\text{Anions} + \text{Cations}) / \text{Ca+Mg}$ در نمونه‌های زهاب از کمترین مقدار $۰/۳۵$ برای نمونه Leach تا بیشترین مقدار $۰/۵۴$ در نمونه H3 تغییر می کند (شکل ۴-۱-ج).

در نمونه‌های زهاب نیز کلسیم کاتیون غالب نسبت به مجموع کاتیون‌ها با $۵۰/۳$ درصد در زهاب‌ها می‌باشد و پس از آن به ترتیب منیزیم با $۲۹/۹$ درصد، سدیم با ۱۹ درصد و پتاسیم با $۰/۸$ درصد قرار دارند. با بررسی شیمی آنیون‌ها، سولفات با $۵۹/۷$ درصد، بی کربنات $۳۲/۱$ درصد، کلرید $۵/۸$ درصد و کربنات $۲/۴$ درصد به ترتیب آنیون‌های غالب در نمونه‌های زهاب هستند. همچنین کلسیم با $۲۷/۵۵$ درصد یون غالب در مجموع کاتیون‌ها و آنیون‌ها بوده و سولفات با ۲۷ درصد بعد از کلسیم قرار دارد.

۴-۲-۳- حوضچه‌ها

تغییرات pH، هدایت الکتریکی و کل جامدات محلول و نیز سهم مجموع هر یک از کاتیون‌ها و آنیون‌ها نسبت به کل کاتیون‌ها و آنیون‌ها در ۶ نمونه آب حوضچه‌ها در زیر آورده شده است:



شکل ۴-۱. نمودارهای مقایسه‌ای کاتیون‌ها و آنیون‌های عمده محلول در نمونه‌های آبی منطقه مورد مطالعه.

در تمامی نمونه‌های حوضچه‌ها pH در محدوده نرمال تا قلیایی قرار دارد و از ۷/۲-۷/۸۳ تغییر می‌کند. هدایت الکتریکی در محدوده $\mu\text{S}/\text{cm}$ ۲۴۳۷-۲۶۹۰ با میانگین $\mu\text{S}/\text{cm}$ ۱۶۷۴ باشد. کل جامدات محلول در محدوده mg/L ۱۰۰-۱۶۱۳ با میانگین mg/L ۱۴۶۵ تعیین شد. در حوضچه‌ها به ترتیب کلسیم و منیزیم با در اختیار داشتن ۵۰/۹ درصد و ۴۲ درصد از کل کاتیون‌ها، به عنوان کاتیون‌های غالب در حوضچه‌ها به شمار می‌آیند و سدیم با ۶/۵ درصد و پتاسیم با ۰/۶ درصد بعد از آن‌ها قرار دارند. در بین آنیون‌ها سولفات با ۹۲/۸ درصد از کل آنیون‌ها و ۴۵/۹ درصد از مجموع کاتیون‌ها و آنیون‌های حوضچه‌ها به عنوان آنیون غالب به شمار می‌آید.

▪ نسبت $\text{SO}_4^{2-} / \text{Total Anions}$ در نمونه‌های حوضچه‌ها از کمترین مقدار ۰/۷۸ در نمونه P0 تا بیشترین مقدار ۰/۹۵ در نمونه C تغییر می‌کند (شکل ۴-۱-الف).

▪ نسبت $\text{HCO}_3^- / \text{Total Anions}$ در نمونه‌های حوضچه‌ها از کمترین مقدار ۱/۰ در نمونه C تا بیشترین مقدار ۱۴/۰ در نمونه P0 تغییر می‌کند (شکل ۴-۱-پ).

▪ نسبت $\text{SO}_4^{2-} / \text{Total (Anions + Cations)}$ در نمونه‌های حوضچه‌ها از کمترین مقدار ۰/۳۷ در نمونه P0 تا بیشترین مقدار ۰/۴۷ در نمونه B تغییر می‌کند (شکل ۴-۱-ث).

▪ نسبت $\text{Ca+Mg} / \text{Total Cations}$ در نمونه‌های حوضچه‌ها از کمترین مقدار ۰/۰۸ در نمونه P0 تا بیشترین مقدار ۰/۹۴ در نمونه C تغییر می‌کند (شکل ۴-۱-ب).

▪ نسبت $\text{Na+K} / \text{Total Cations}$ در نمونه‌های حوضچه‌ها از کمترین مقدار ۰/۰۵ در نمونه C تا بیشترین مقدار ۱۱/۰ در نمونه P0 تغییر می‌کند (شکل ۴-۱-ت).

▪ نسبت $\text{Ca+Mg} / \text{Total (Anions & Cations)}$ در نمونه‌های حوضچه‌ها از کمترین مقدار ۰/۴۶ در نمونه P0 تا بیشترین مقدار ۰/۴۷ در نمونه C تغییر می‌کند (شکل ۴-۱-ج).

۴-۲-۴- چشمeh

نمونه آب چشمeh در منطقه با pH برابر ۸/۰ در محدوده قلیایی قرار داشته و مقدار هدایت الکتریکی و کل جامدات محلول برای این نمونه به ترتیب $\mu\text{S}/\text{cm}$ ۳۰۲ و mg/L ۱۸۲ می‌باشد. در نمونه چشمeh

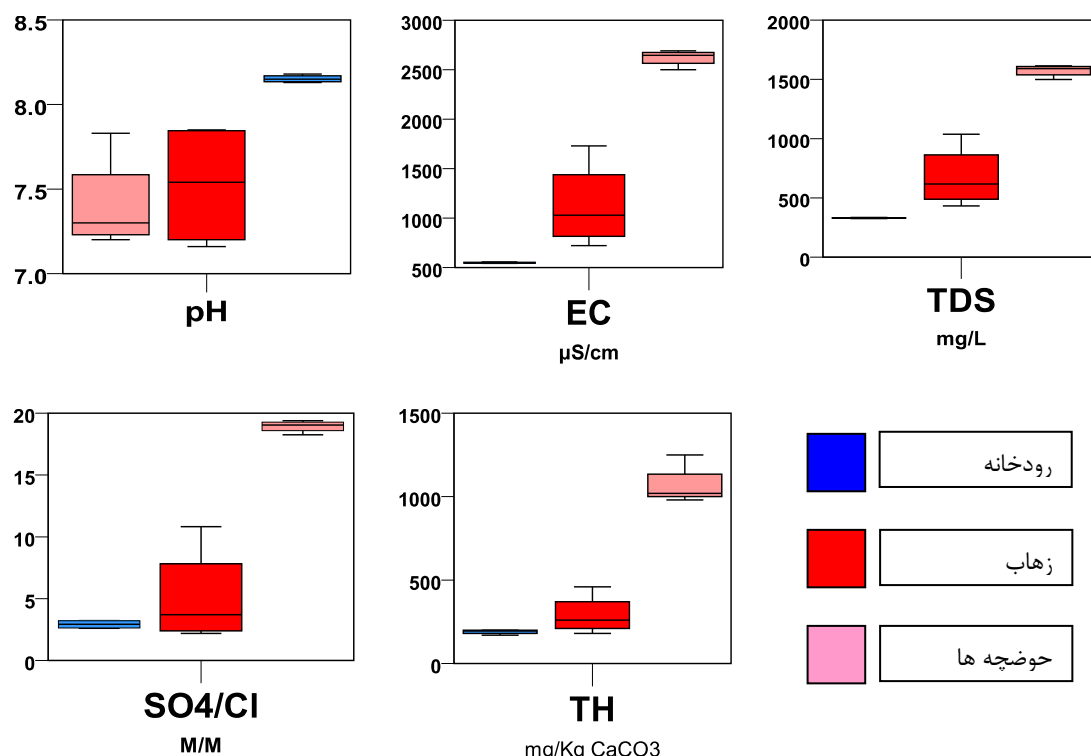
کلسیم با ۷۴ درصد از کل کاتیون‌ها، کاتیون غالب و پس از آن به ترتیب منیزیم با ۱۶/۷ درصد، سدیم با ۸/۸ درصد و پتاسیم با ۴/۰ درصد قرار دارند. در بین آنیون‌ها، بی‌کربنات با ۷۴ درصد آنیون غالب بوده و کربنات با ۱۲/۳۴ درصد، کلرید با ۱۲/۳۲ درصد و سولفات با ۱/۲ درصد بعد از آن قرار دارند.

- نسبت $\text{SO}_4^{2-} / \text{Total Anions}$ در نمونه چشمeh (SPR) ۱/۰ می‌باشد (شکل ۴-۱-الف).
- نسبت $\text{HCO}_3^- / \text{Total Anions}$ در نمونه چشمeh ۷۴/۰ می‌باشد (شکل ۴-۱-پ).
- نسبت $\text{SO}_4^{2-} / \text{Total (Anions + Cations)}$ در نمونه چشمeh ۰/۰۰۴ می‌باشد (شکل ۴-۱-ث).
- نسبت $\text{Ca+Mg} / \text{Total Cations}$ در نمونه چشمeh ۰/۹ می‌باشد (شکل ۴-۱-ب).
- نسبت $\text{Na+K} / \text{Total Cations}$ در نمونه چشمeh ۰/۰۹ می‌باشد (شکل ۴-۱-ت).
- نسبت $\text{Ca+Mg} / \text{Total (Anions + Cations)}$ در نمونه چشمeh ۰/۶ می‌باشد (شکل ۴-۱-ج).

۳-۴- مقایسه پارامترهای فیزیکی- شیمیایی در نمونه‌های آب منطقه

با توجه به شکل ۲-۴ به صورت معنی‌داری pH در اکثر نمونه‌های حوضچه‌ها به ترتیب پایین‌تر از زهاب و رودخانه قرار دارد. غلظت کل جامدات محلول در حوضچه‌ها (میانگین: ۱۴۶۵/۸ mg/L) نسبت به زهاب (میانگین: ۶۷۶ mg/L)، رودخانه (میانگین: ۳۶۴/۵ mg/L) و چشمeh (۱۸۲ mg/L) بیشتر است، همچنین هدایت الکتریکی در اکثر نمونه‌های حوضچه‌ها (میانگین: ۲۴۳۷ $\mu\text{S}/\text{cm}$) به ترتیب نسبت به زهاب‌ها (میانگین: ۱۱۲۸ $\mu\text{S}/\text{cm}$)، رودخانه (میانگین: ۶۰۷ $\mu\text{S}/\text{cm}$) و چشمeh (۳۰۲ $\mu\text{S}/\text{cm}$) بیشتر است. نمونه‌های آبی حوضچه‌ها با غلظت ۵۳۰ تا ۱۲۵۰ میلی‌گرم بر لیتر به ترتیب در نمونه‌های P0 و A، بیشترین و نمونه‌های آبی رودخانه با غلظت‌های بین ۱۳۰ تا ۲۵۰ میلی‌گرم بر لیتر به ترتیب در نمونه‌های W9 و W11 کمترین میزان سختی کل^۱ در بین نمونه‌های آبی منطقه را دارا می‌باشند (شکل ۲-۴).

^۱ Total Hardness



شکل ۲-۴. نمودار باکس پلات جهت مقایسه پارامترهای فیزیکی-شیمیایی نمونه‌های آب رودخانه، زهاب‌ها و حوضچه‌ها.

۴-۴-۱- تیپ آب‌ها در محدوده کارخانه

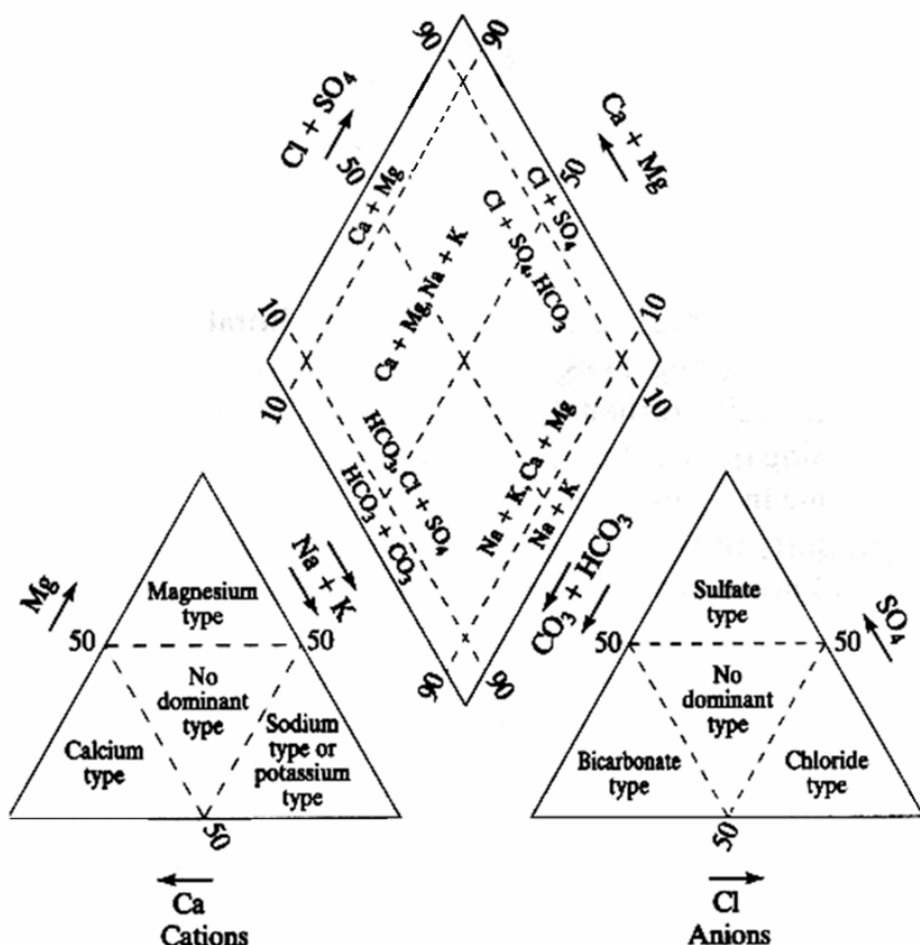
۴-۴-۱-۱- نمودار پایپر

از قابلیت‌های نمودار پایپر (پایپر، ۱۹۴۴) در مطالعات هیدروژئوشیمیایی نیز استفاده شد. یکی از مزیت‌های این نمودار نمایش و تفسیر حجم بسیار زیادی از داده‌های هیدروشیمیایی می‌باشد. در این نمودار کاتیون‌های عمده موجود در هر نمونه نسبت به کل کاتیون‌های نمونه در واحد meq/L به درصد تبدیل شده و یک نقطه در مثلث سمت چپ ایجاد می‌کند. آنیون‌های موجود در هر نمونه نیز نقطه‌ای در مثلث سمت راست به وجود آورده و امتداد هر دو نقطه در شکل مرکزی نمودار نقطه نهایی که نماینده نمونه آبی مورد نظر است را پیدید می‌آورد (تاد^۱، ۱۹۵۹). نمودار پایپر برای تمامی نمونه‌های آبی منطقه با استفاده از نرم افزار Rock Works 14 ترسیم شد. برای تفسیر نتایج حاصل

¹ Todd

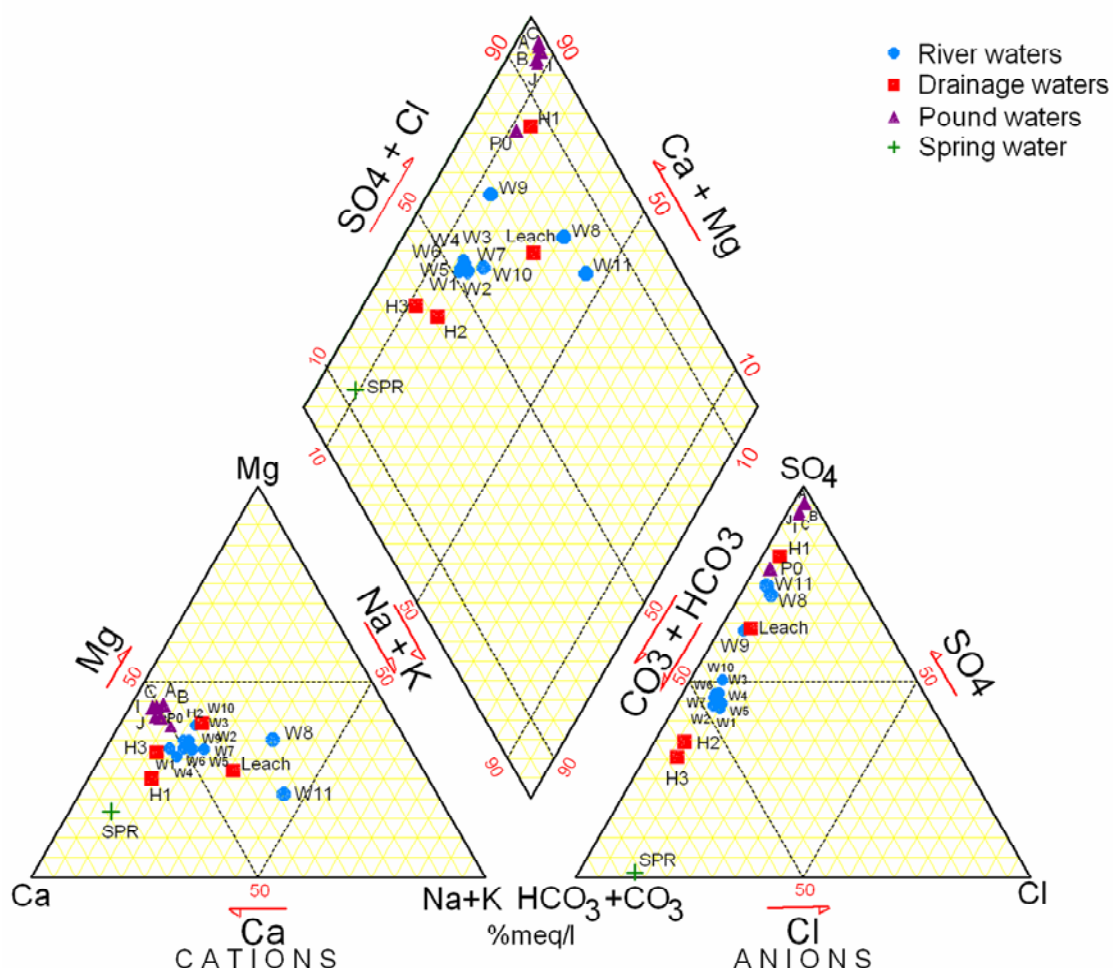
از نمودار پایپر از شکل ۴-۳ استفاده شد (کیهیو^۱، ۲۰۰۱). نمودار پایپر برای نمونه‌های آب منطقه مورد مطالعه در شکل ۴-۴ مشاهده می‌شود بر اساس این نمودار زون‌های غالب کاتیونی و آنیونی مطابق زیر است:

- نمونه‌های A, B, C, D, I, J, P0 تیپ Ca-SO₄
- نمونه‌های H3 و SPR تیپ Ca-HCO₃
- نمونه H2 تیپ Ca-Mg-(Na+K)-HCO₃
- نمونه‌های W1 و W4 تیپ Ca-SO₄-HCO₃
- نمونه‌های Leach, W8, W9, W11 تیپ Ca-Mg-(Na+K)-SO₄
- نمونه‌های W2, W3, W5, W6, W7, W10 تیپ Ca-Mg-(Na+K)-HCO₃-SO₄



شكل ۴-۴. تقسیم‌بندی فازهای هیدروژئوشیمیایی با استفاده از نمودار پایپر (کیهیو، ۲۰۰۱).

^۱ Kehew

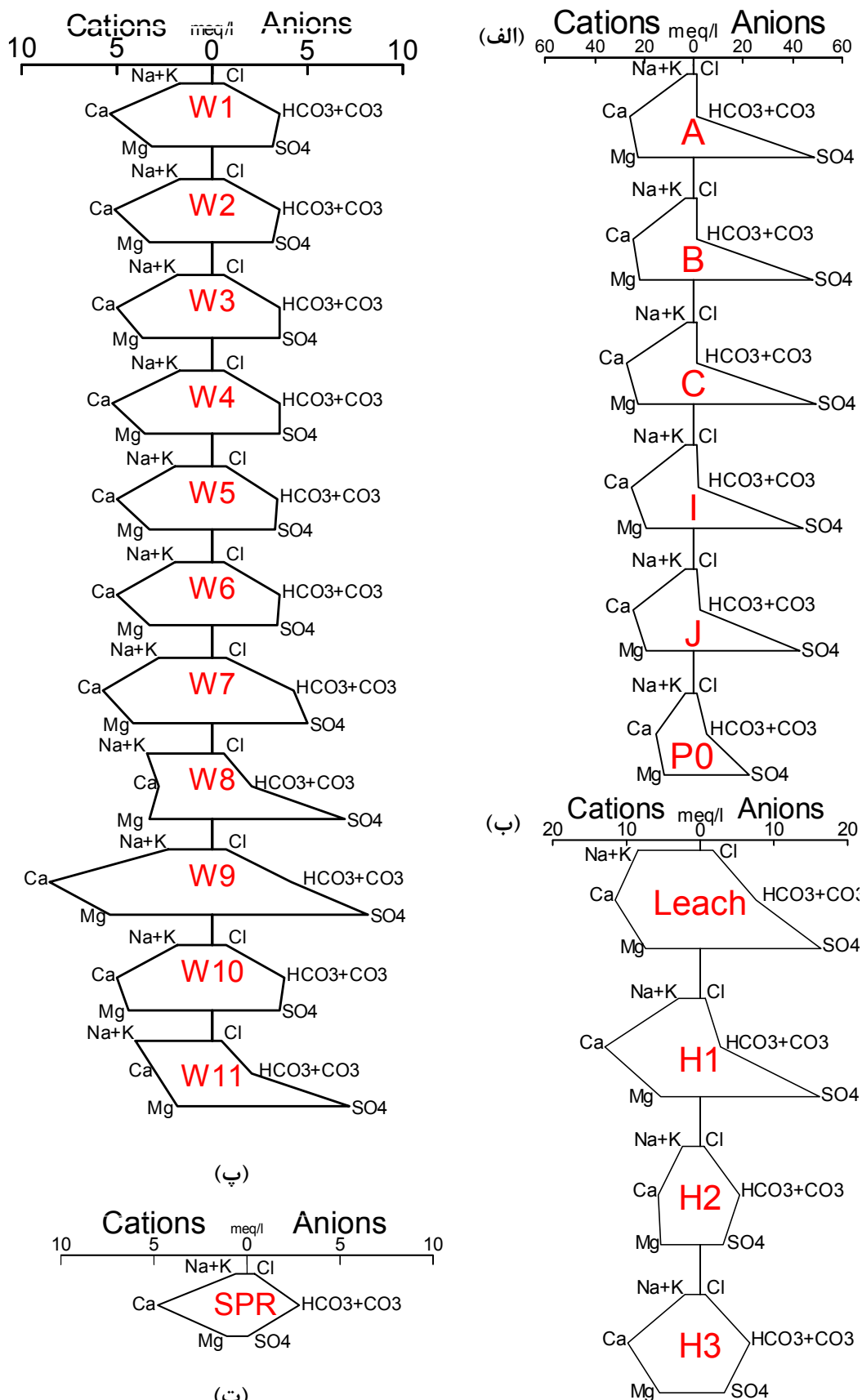


شکل ۴-۴. نمودار پایپر ترسیم شده برای نمونه های آب در محدوده مورد مطالعه.

در برخی از تیپ‌های آبی نمونه‌ها چند کاتیون یا چند آنیون حضور داشته که به علت مخلوط شدن تیپ‌های آبی متفاوت با یکدیگر کاتیون یا آنیون غالب وجود ندارد. این موضوع در نمونه‌های رودخانه به دلیل ورود زهاب‌ها به وضوح دیده می‌شود. در نمونه‌های آبی با اختلاط کمتر با سایر آب‌ها مانند نمونه‌های حوضچه‌ها و چشمه این مورد دیده نمی‌شود. از نمودار پایپر می‌توان برای تشخیص اختلاط آب‌ها در نمونه‌ها استفاده کرد.

۴-۲-۴-۴ نمودار استیف

نمودار استیف (استیف، ۱۹۵۱) چند ضلعی‌هایی تولید می‌کند که این اشکال از اتصال راس‌ها در سه محور موازی با محور افقی تشکیل می‌شود. کاتیون‌ها در سمت چپ محور عمودی و آنیون‌ها در سمت



شکل ۴-۵. نمودارهای استیف رسم شده برای کلیه نمونه های آب منطقه مورد مطالعه.

راست محور قرار دارند. غلظت کاتیون‌ها و آنیون‌ها با واحد meq/L بیان می‌شوند. زیرا رابطه بین ترکیب آب و ترکیب کانی‌های جامد مورد برهم‌کنش با آب در این واحد واضح‌تر است. از نمودارهای استیف در تعیین کاتیون‌ها و آنیون‌های غالب در هر یک از نمونه‌های آبی و مقایسه سریع تیپ نمونه‌ها با یکدیگر استفاده می‌شود (فریز و چری، ۱۹۷۹). نمودارهای استیف برای همه نمونه‌های آبی منطقه با استفاده از نرم افزار Rock Works 14 ترسیم شد که در شکل ۴-۵ مشاهده می‌شود. نتایج حاصل از این نمودارها در جدول ۱-۴ ارائه شده است. با توجه به این جدول، کلسیم کاتیون غالب تقریباً در تمامی نمونه‌ها بوده به جز دو نمونه W8 و W11 که با تفاوت بسیار کمی سدیم کاتیون غالب است. در تمامی نمونه‌های آب حوضچه‌ها که ممکن است بیشتر تحت تاثیر اکسیداسیون پیریت قرار گرفته باشند، سولفات آنیون غالب است. نمونه‌های W6، W7، W8، W9 و W11 که از نزدیکی محل‌های ورود زهاب‌ها به رودخانه برداشت شده، سولفات آنیون غالب است در سایر نمونه‌های رودخانه اختلاط با آب رودخانه اثر سولفات را کم‌رنگ کرده است.

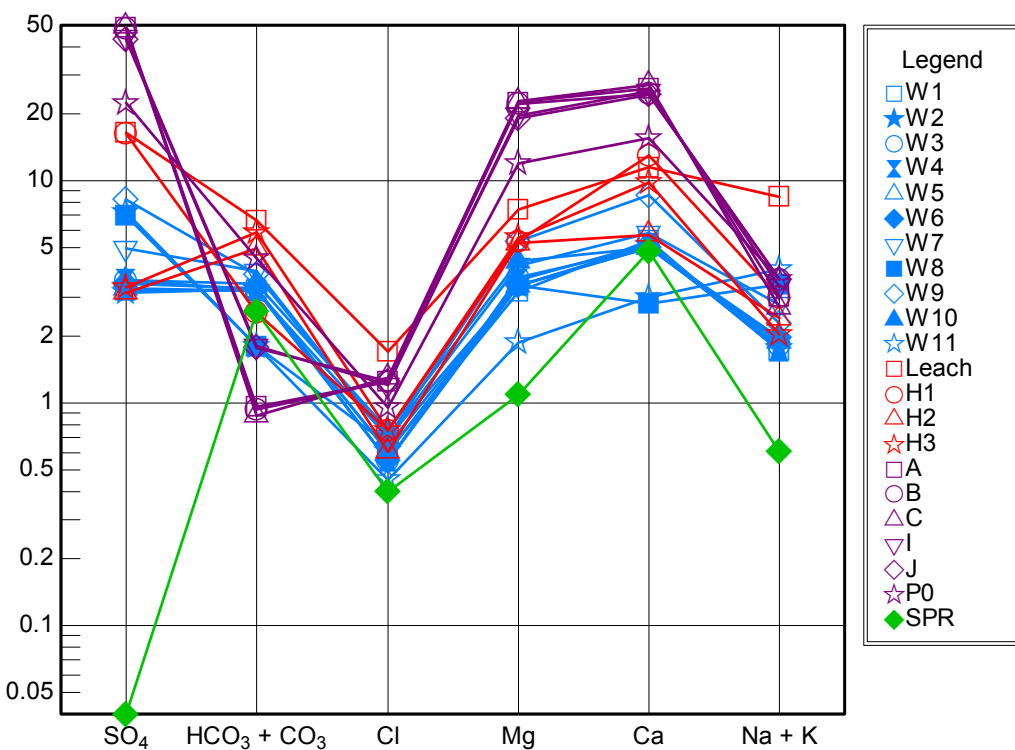
جدول ۱-۴. طبقه‌بندی تیپ‌های آب منطقه بر اساس نمودارهای استیف.

منبع	نمونه‌های آب	تیپ آب
رودخانه	W1, W2, W5, W10	Ca – HCO ₃ ⁻
	W3, W4, W6, W7, W9	Ca – SO ₄ ⁻²
	W8, W11	Na – SO ₄ ⁻²
زهاب	H2, H3	Ca – HCO ₃ ⁻
	Leach, H1	Ca – SO ₄ ⁻²
حوضچه	A, B, C, I, J, P0	Ca – SO ₄ ⁻²
چشمeh	SPR	Ca – HCO ₃ ⁻

۳-۴-۴- نمودار شولر

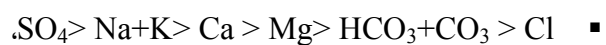
به منظور بررسی غلظت سایر یون‌ها در نمونه‌ها و غلظت هر یک از کاتیون‌ها و آنیون‌های عمدۀ موجود در نمونه‌های آب از نمودار شولر استفاده شد. برای رسم نمودارها از نرم افزار Rock Ware (Aq.QA)

نسخه ۱/۱ استفاده شد. نمودار شولر، نموداری نیمه‌لگاریتمی است که غلظت یون‌های عمدۀ در محور عمودی (با واحد meq/kg) بیان می‌شود و در محور افقی اکثر یون‌های عمدۀ موجود در محلول قرار دارند. با دقت در شکل ۴-۶، تغییرات یون‌های عمدۀ در آب‌های سطحی از حوضچه‌ها به سمت رودخانه مشخص می‌باشد. با توجه به شکل ۴-۷-الف، ترتیب کلی یون‌های عمدۀ محلول در آب در سایر نمونه‌های رودخانه به صورت زیر می‌باشد:

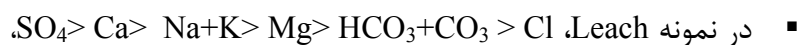


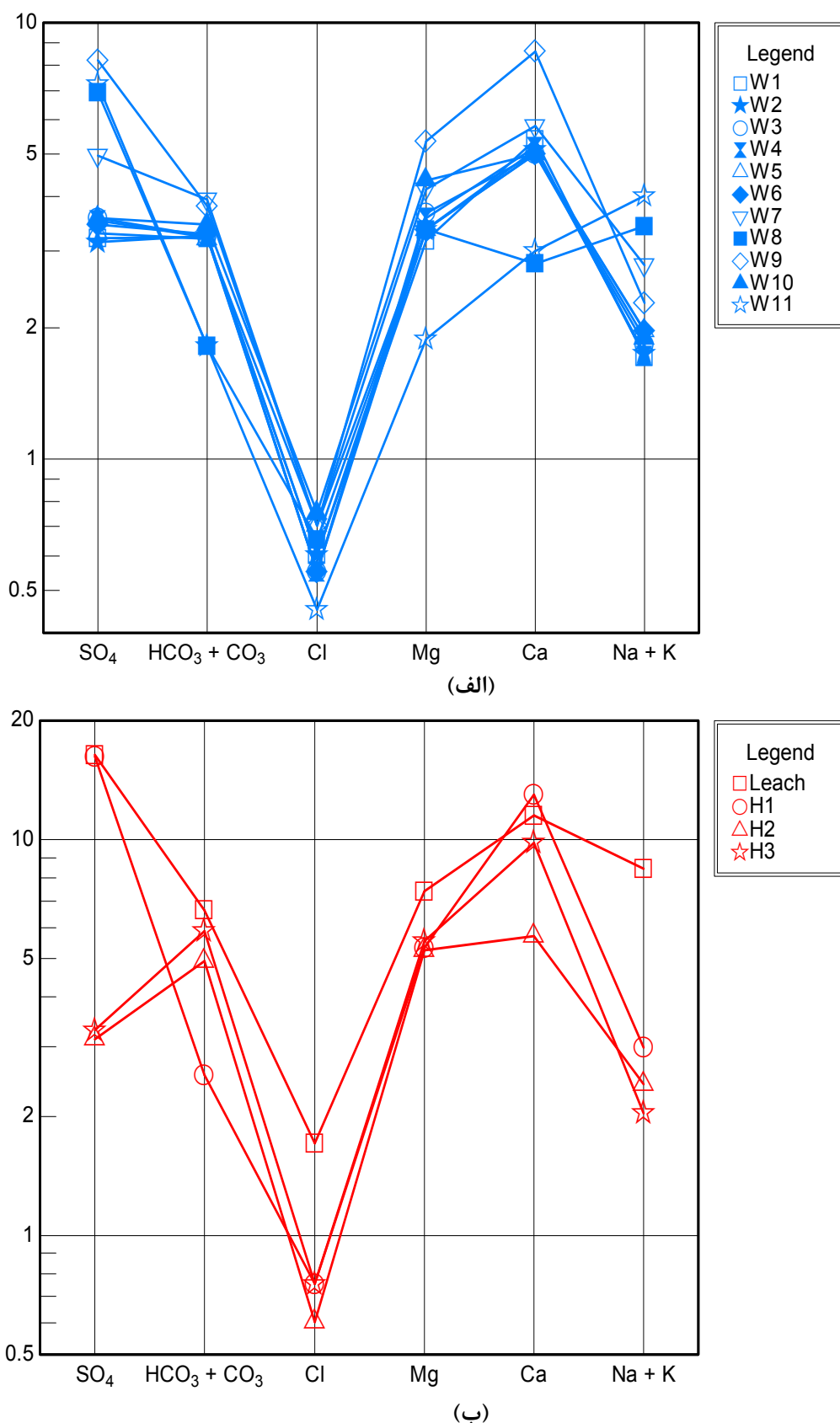
شکل ۴-۶. نمودار شولر برای تمام نمونه‌های آبی منطقه مورد مطالعه.

در نمونه W11 و نمونه W8، ترتیب قرارگیری کاتیون‌ها و آنیون‌ها به ترتیب به صورت زیر می‌باشد:



در زهاب‌ها ترتیب حضور یون‌های عمدۀ به صورت زیر می‌باشد (شکل ۴-۷-ب):





شکل ۴-۷. نمودار شولر مربوط به نمونه‌های آبی رودخانه (الف) و زهاب‌ها (ب) در منطقه مورد مطالعه.

▪ در نمونه H2 .Ca> Mg > HCO₃+CO₃ > SO₄> Na+K> Cl

▪ در نمونه H3 .Ca> HCO₃+CO₃ > Mg > SO₄> Na+K> Cl

در نمونه‌های آب حوضچه‌ها ترتیب غلظت یون‌ها به صورت زیر است (شکل ۴-۸)،

▪ در نمونه‌های A، B و C .SO₄> Ca> Mg > Na+K> Cl > HCO₃+CO₃

▪ در نمونه‌های I و J .SO₄> Ca> Mg > Na+K> HCO₃+CO₃> Cl

▪ در نمونه P0 .SO₄> Ca> Mg > HCO₃+CO₃ > Na+K > Cl

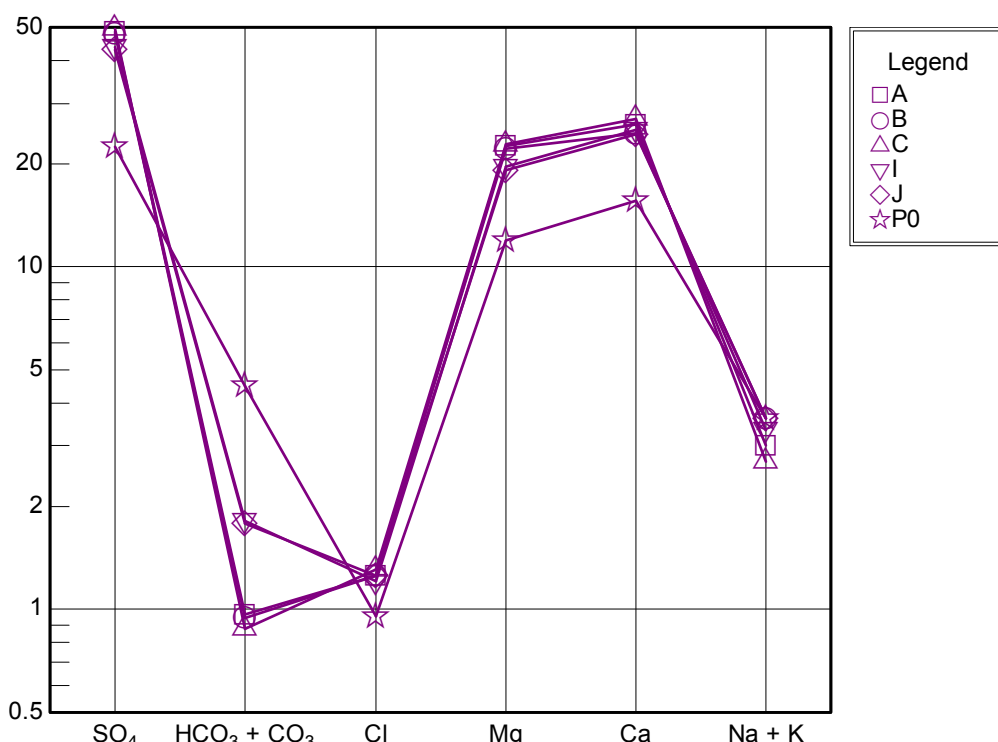
در نمونه‌های I و J که از حوضچه‌های سد باطله برداشت شد، افزایش آنیون بی‌کربنات و کربنات

نسبت به حوضچه‌های آب فرآیندی (A، B و C) نشان از افزایش انحلال کانی‌های کربناتی است،

شیرابه دمپ و زهاب‌های حوضچه‌های جمع آوری آب فرآیندی در مجاورت دیوار بتی زهکشی شده و

به حوضچه انتهایی دیوار بتی ریخته می‌شود که افزایش آنیون‌های کربنات و بی‌کربنات در حوضچه

P0 به علت انحلال بیشتر کانی‌های کربناتی به خصوص کلسیت و دولومیت در مسیر انتقال می‌باشد.



شکل ۴-۸. نمودار شولر نمونه‌های حوضچه‌های جمع آوری آب فرآیندی، تهنشینی و سد باطله در منطقه مورد مطالعه.

می‌باشد. در نمونه چشم، ترتیب غلظت کاتیون‌ها و آنیون‌های عمدۀ محلول به صورت زیر می‌باشد:



همان‌طور که در شکل ۴-۶ مشاهده می‌شود نمودار شولر مربوط به نمونه چشم کاملاً متفاوت با سایر

نمونه‌های سایر نمونه‌ها از سیستم آب‌های سطحی برداشت شده، در حالی که نمونه چشم از

سیستم آب‌های زیرزمینی و در خارج از محدوده کارخانه است.

۴-۴-۴- نمودار چادها

در این پایان‌نامه از نمودار هیدروشیمیایی چادها (چادها، ۱۹۹۹) نیز برای بررسی وضعیت نمونه‌های

آب در محدوده کارخانه استفاده شد. در این نمودار، کاتیون‌ها و آنیون‌ها در هر یک از نمونه‌ها به

ترتیب نسبت به مجموع کاتیون‌ها و مجموع آنیون‌ها در آن نمونه به درصد میلی‌اکی‌والان

(%) تبدیل شده و اختلاف بین مجموع درصد کاتیون‌های قلیایی خاکی ($\text{Ca}^{+2} + \text{Mg}^{+2}$) و

مجموع درصد کاتیون‌های قلیایی ($\text{Na}^+ + \text{K}^+$) در محور افقی و اختلاف بین مجموع درصد آنیون‌های

قوی اسیدی ($\text{SO}_4^{-2} + \text{Cl}^-$) و مجموع درصد آنیون‌های اسیدی ضعیف روی محور عمودی بیان می‌شود.

بر اساس نمودار چادها که در شکل ۹-۴ نیز قبل مشاهده است، در تمامی نمونه‌های آب منطقه

غلظت فلزات قلیایی خاکی بیش از فلزات قلیایی بوده و در نتیجه غالب آب‌ها دارای سختی زیاد

می‌باشند. با توجه به شکل ۹-۴، در نمونه‌های آبی منطقه مجموع آنیون‌های اسیدی قوی

$(\text{SO}_4^{-2} + \text{Cl}^-)$ به صورت زیر کاهش می‌یابد:

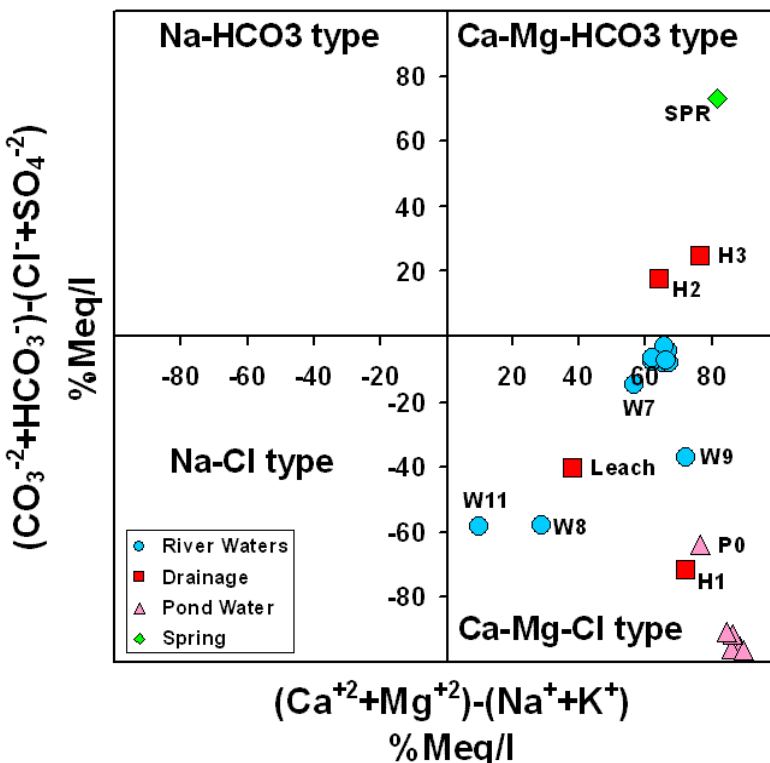
A,B,C > J,I > H1 > Po > W11,W8 > Leach > W9 > W7 > W1,W2,W3,W4,W5,W6 > H2 > H3 > SPR

برای اینکه سهم هر یک از آنیون‌های اسیدی قوی SO_4^{-2} یا Cl^- در نمونه‌ها بهتر مشخص شود، نسبت

مولی این آنیون‌ها ($\text{SO}_4^{-2}/\text{Cl}^-$) در هر سه سیستم آبی رودخانه، زهاب و حوضچه‌ها مطابق شکل ۴-۲

مقایسه گردید که بر این اساس نمونه‌های حوضچه‌ها بیشترین مقدار نسبت مولی سولفات به کلرید و

نمونه‌های رودخانه کمترین مقادیر نسبت مولی سولفات به کلرید را دارا می‌باشند که ناشی از



شکل ۴-۹. نمودار چادها برای نمونه‌های آبی منطقه مورد مطالعه.

برهم‌کنش بیشتر دانه‌های پیریت‌دار با آب در حوضچه‌ها و در نتیجه اکسایش پیریت می‌باشد. تفسیر

آب‌های منطقه بر اساس نمودار چادها به صورت زیر می‌باشد:

▪ نمونه‌های SPR، H2 و H3 داری تیپ Ca-Mg-HCO₃ می‌باشند و نمونه چشممه (SPR) به

علت کربناته بودن در محدوده آب‌های تغذیه‌ای^۱ قرار می‌گیرد.

▪ سایر نمونه‌ها دارای تیپ Ca-Mg-Cl بوده و در محدوده تبادل یونی معکوس^۲ قرار دارند که

دلیل آن بیشتر بودن غلظت (Ca⁺² + Mg⁺²) نسبت به غلظت (Na⁺ + K⁺) می‌باشد.

کل جامدات محلول، از اندازه‌گیری کل جامدات محلول باقی‌مانده از تبخیر حجم معینی آب به دست

می‌آید و با میزان شوری آب و هدایت الکتریکی ارتباط مستقیم دارد. بر این اساس آب به لحاظ شوری

یا شیرینی براساس میزان کل جامدات محلول به صورت زیر طبقه‌بندی می‌شود (سازمان زمین‌شناسی

آمریکا^۱، ۲۰۰۴):

¹ Recharging water

² Reverse ion exchange

- میزان کل جامدات محلول در آب شیرین کمتر از ppm ۱۰۰۰ می‌باشد.
- میزان کل جامدات محلول در آب با شوری کم بین ppm ۳۰۰۰-۱۰۰۰ می‌باشد.
- میزان کل جامدات محلول در آب با شوری متوسط بین ppm ۳۰۰۰-۱۰۰۰۰ می‌باشد.
- میزان کل جامدات محلول در آب بسیار شور بین ppm ۱۰۰۰۰-۳۵۰۰۰ است.

با توجه به طبقه‌بندی فوق، تمامی نمونه‌های حوضچه‌ها و در بین زهاب‌ها تنها نمونه شیرابه دمپ (Leach) شوری کم داشته، در حالی که تمام نمونه‌های رودخانه شیرین می‌باشند. در ادامه به بررسی علل شوری و منشا جامدات محلول در محیط‌های آبی پرداخته می‌شود.

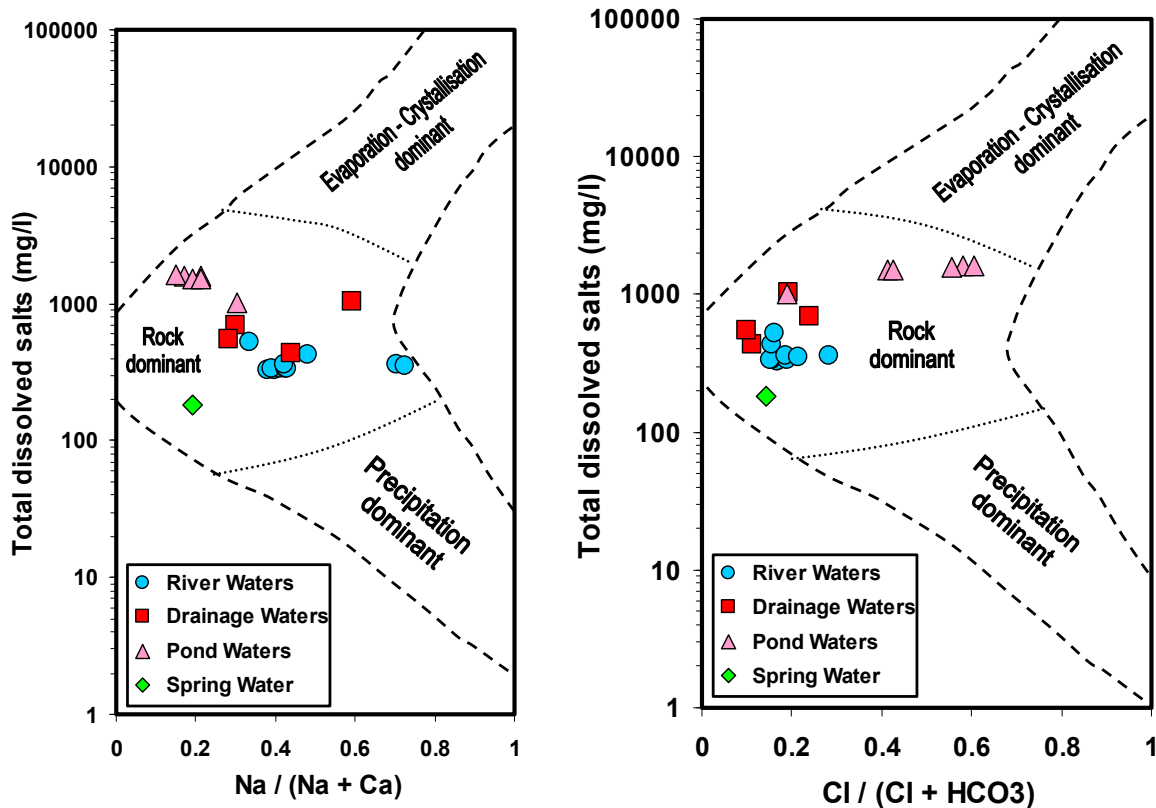
۴-۵-۴- نمودار گیبس

یکی از نمودارهایی که در مطالعات متعدد هیدروژئوشیمیایی استفاده شده است نمودار گیبس می‌باشد که در شکل ۴-۱۰ مشاهده می‌شود (گیبس، ۱۹۷۰). در این نمودار نسبت غلظت مولی سدیم به مجموع غلظت مولی سدیم و کلسیم و نیز نسبت غلظت مولی آنیون کلرید به مجموع غلظت مولی کلرید و بی‌کربنات را به عنوان تنها یون‌های محلول روی محور افقی، در مقابل کل جامدات محلول (بر حسب mg/L) روی محور عمودی در نظر می‌گیرند. هر چه کل جامدات محلول بیشتر باشد نمونه‌ها در بخش بلورشدن و تبخیر قرار می‌گیرند (مانند آب دریاها و اقیانوس‌ها). با توجه به شکل ۴-۱۰ نتایج حاصل از نمودار گیبس را می‌توان به شکل زیر تفسیر کرد:

▪ نسبت Na/(Na+Ca) در نمونه‌های رودخانه از W1=۰/۳۳ تا W11=۰/۷۲، در زهاب‌ها از Leach=۰/۵۹ تا H3=۰/۲۸، در حوضچه‌ها از C=۰/۱۵ تا P0=۰/۳ و در نمونه چشمی SPR=۰/۱۹ می‌باشد.

▪ نسبت Cl/Cl+HCO₃ در نمونه‌های رودخانه از W6=۰/۱۵ تا W8=۰/۲۸، در زهاب‌ها از H3=۰/۰۱ تا H1=۰/۲۳، در حوضچه‌ها از P0=۰/۱۸ تا C=۰/۶ و در نمونه چشمی SPR=۰/۱۴ می‌باشد.

^۱ United States Geological Survey (USGS)



شکل ۴-۱۰. نمودار گیبس برای نمونه‌های آب منطقه مورد مطالعه.

برهمکنش سنگ‌ها و آب مهم‌ترین عامل موثر بر کیفیت سیستم‌های آبی می‌باشد.

با توجه به نسبت مولی $\text{Na}/\text{Cl}=1$ در نتیجه اتحال هالیت در آب و نسبت مولی $(\text{Ca}+\text{Mg})/\text{HCO}_3=1$

برای اتحال دولومیت و کلسیت در آب (سینگ و همکاران، ۲۰۰۵) و شکل ۱۱-۴ نتایج زیر

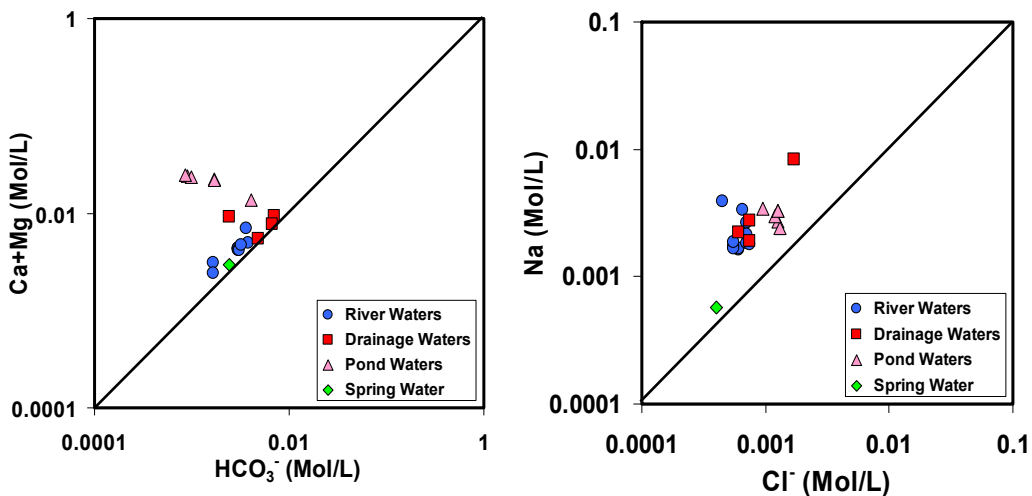
حاصل شد:

▪ نسبت Na/Cl در نمونه‌های رودخانه از $\text{W}10=2/4$ تا $\text{W}11=8/7$ و در زهاب‌ها از $\text{H}3=2/5$ تا

▪ در حوضچه‌ها از $\text{P}0=3/5$ تا $\text{C}=1/8$ و در نمونه چشمه $\text{SPR}=1/4$ می‌باشد.

▪ نسبت $(\text{Ca}+\text{Mg})/\text{HCO}_3$ در نمونه‌های رودخانه از $\text{W}7=1/3$ تا $\text{W}9=1/9$ و در زهاب‌ها از

▪ $\text{SPR}=1/2$ تا $\text{H}1=3/8$ در حوضچه‌ها از $\text{P}0=3/3$ تا $\text{C}=29/2$ و در نمونه چشمه $\text{H}2=1/13$ می‌باشد.



شکل ۱۱-۴. مقایسه نسبت‌های مولی کاتیون‌ها و آنیون‌های عمدۀ محلول در نمونه‌های آبی منطقه مورد مطالعه.

▪ شاید اتحال سیلیکات‌های سدیم‌دار مهم‌ترین عامل افزایش غلظت سدیم در نمونه‌های W11

P0 نسبت به سایر نمونه‌های رودخانه، نمونه Leach نسبت به سایر نمونه‌های زهاب و نمونه

نسبت به سایر نمونه‌های حوضچه‌ها باشد (سینگ و همکاران، ۲۰۰۵).

▪ اتحال کربنات‌ها، شامل کلسیت و دولومیت مهم‌ترین عامل افزایش غلظت کلسیم و منیزیم

در نمونه‌های W9 نسبت به سایر نمونه‌های رودخانه، نمونه H1 نسبت به سایر نمونه‌های

زهاب و نمونه C نسبت به سایر نمونه‌های حوضچه‌ها می‌باشد.

۴-۵- اثرات یون‌های عمدۀ و پارامترهای فیزیکی- شیمیایی بر محیط زیست

۴-۵-۱- تأثیر بر سلامت انسان

استانداردهای موجود در رابطه با یون‌های اصلی و پارامترهای فیزیکی- شیمیایی در جدول ۲-۴ آورده شده است. به جز کلسیم، سایر مقادیر در جدول، حداقل مطلوب غلظت پارامترها در آب می‌باشد. به

جز تغییرات pH در آب آشامیدنی که اثرات خطرناکی بر سلامت انسان دارد، افزایش غلظت سایر

یون‌های اصلی از حداقل مطلوب غلظت، اثراتی مانند تغییر طعم، بو، مزه و افزایش سختی در پی دارد.

تنها غلظت سولفات و منیزیم در منطقه بالاتر از استانداردهای آب آشامیدنی ایران و جهان می‌باشند

که ناشی از اثر کارخانه ذغالشویی بر کیفیت آب‌های منطقه است (جدول ۲-۴).

جدول ۴-۲. مقایسه نمونه‌های آبی منطقه با استانداردهای آب آشامیدنی ملی و جهانی برای مقادیر یون‌های اصلی و فاکتورهای فیزیکی-شیمیایی آب.

پارامترهای فیزیکی-شیمیایی	میانگن رودخانه	میانگن زهاب‌ها	میانگن حوضچه‌ها	میانگین ایران	استاندارد بهداشت جهانی	سازمان آزادانس حفاظت آمریکا ^۱ (۲۰۰۹)	pH
TH	۱۹۴/۵۴	۲۹۰	۹۴۰	۷/۴۴	۶/۵-۸/۵*	۶/۵-۸	۶/۵-۸/۵*
EC	۶۰۷	۱۱۲۸	۲۴۳۷	-	-	۵۰۰	-
TDS	۳۶۴/۵	۶۷۶	۱۴۶۵/۸	-	۱۰۰	-	-
SO ₄ ⁻²	۲۲۲/۵۴	۴۶۹/۲	۲۰۴۱/۲	۴۰۰	۲۵۰	۲۵۰*	۲۵۰*
Cl ⁻	۲۱/۹۴	۳۳/۷۲	۴۲/۵	۴۰۰	۲۵۰	۲۵۰*	۲۵۰*
HCO ₃ ⁻	۱۷۷/۸	۳۲۰/۲۵	۱۰۴/۲	-	-	-	-
CO ₃ ⁻²	۱۳/۲	۱۱/۴	۱۲/۱	-	-	-	-
Ca ⁺²	۱۰۱/۶۳	۲۰۰	۴۷۶	۳۰۰ ^a	۳۰۰ ^a	۳۰۰ ^a	-
Mg ⁺²	۴۲/۶۲	۷۱/۴	۲۳۹	۳۰ ^a	۲۰۰	۲۰۰	-
Na ⁺	۵۰/۸۹	۸۷/۴۵	۶۹/۳۴	۶۹/۳۴	۲۰۰	۲۰۰	۲۰۰
K ⁺	۳/۳۲	۶/۳	۱۱/۴	-	-	-	-

غلظت همه یون‌ها و سختی کل بر حسب mg/L و هدایت الکتریکی بر حسب $\mu\text{S}/\text{cm}$ می‌باشد.

* آین نامه ثانویه آب آشامیدنی.^۲

^a حداقل غلظت مجاز.

- مقداری تعیین نشده است.

۴-۵-۲- تاثیر بر تاسیسات بتنی

تغییرات غلظت سولفات و مقادیر pH از محصولات معمول و همراه با فعالیتهای معدنی می‌باشد که از عوامل اصلی خورندگی بوده که تاثیر منفی بر پایداری و دوام تاسیسات بتنی دارد. مقدار pH مساوی ۵ و اسیدیته کل ۲۵ میلی‌اکی‌والان در ۱۰۰ گرم خاک حالتی با قابلیت خورندگی بالا فراهم می‌نماید (بیلی^۳، ۱۹۸۰). سولفات موجود در خاک، آب زیرزمینی و جریان‌های خروجی از معدن قابلیت خورندگی بسیار زیادی بر روی بتن حاصل از سیمان پرتلند داشته و با ترکیب با اجزاء اصلی سیمان به شکل کلی C_3A ، سولفوآلومینات کلسیم را تشکیل می‌دهد. این واکنش با انبساط و

¹ USEPA

² Secondary Drinking Water Regulations (SDWR)

³ Bealy

شکستهای ناگهانی بتن همراه می‌شود. اگر بتن حجیم و فاقد منافذ باشد، فعالیت به طور سطحی می‌باشد مانند زنگ زدگی سطحی فلزات، ولی در صورت نفوذپذیری بتن واکنش به عمق بتن نفوذ کرده و دوام بتن را به سرعت کاهش می‌دهد. تاثیر میزان سولفات (بر حسب ppm) موجود در آب بر تاسیسات بتنی به شکل زیر می‌باشد (بیلی، ۱۹۸۰):

- میزان سولفات بین ۰ تا ۱۵۰، قابل چشمپوشی،
- میزان سولفات بین ۱۵۰ تا ۱۵۰۰، مثبت،
- میزان سولفات بین ۱۵۰۰ تا ۱۰۰۰۰، شدید،
- میزان سولفات بیشتر از ۱۰۰۰۰، خیلی شدید.

بر این اساس تمام نمونه‌های رودخانه، به ترتیب از کمترین مقدار سولفات در نمونه $W1=150/72 \text{ mg/L}$ تا بیشترین مقدار در $W9=393/6 \text{ mg/L}$ اثر مثبت و کمرنگی بر تاسیسات بتنی دارند. در بین نمونه‌های زهاب که از مجاورت دیوار بتنی کارخانه به رودخانه وارد می‌شوند نمونه‌های $H1=780/4 \text{ mg/L}$, $H3=158/4 \text{ mg/L}$ و $Leach=788/1 \text{ mg/L}$ اثر مثبتی و پررنگ‌تری بر دیوار بتنی دارند. تمام نمونه‌های حوضچه‌ها به جز حوضچه $P0$ از کمترین مقدار سولفات در حوضچه $J=2064 \text{ mg/L}$ تا بیشترین مقدار در حوضچه $C=2366 \text{ mg/L}$ اثر شدیدی ممکن است بر تاسیسات بتنی کارخانه داشته باشند. خصوصاً حوضچه $P0$ با سولفات $L=1074 \text{ mg/L}$ که در مجاورت دیوار بتنی و در قسمت انتهایی دمپ قرار دارد در صورت تماس تاثیر مثبتی بر دیوار بتنی حائل بین زهاب‌ها و رودخانه خواهد داشت.

۴-۶- تعیین خاصیت اسیدی و قلیایی نمونه‌های آب منطقه

آب‌های موجود در محدوده معادن ذغال و یا کارخانه‌های ذغال‌شویی ممکن است خاصیت اسیدی و یا قلیایی داشته باشند که در هر دو صورت به طور جدی زیست بوم‌های موجود در محیط‌های آبی مورد تهدید قرار می‌گیرند. سمیت، خورندگی، قابلیت رسوب‌گذاری، فلزات و سایر اجزاء محلول در آب عواملی می‌باشند که شدیداً بر کیفیت آب‌های معدنی و منابع آبی مرتبط با آن‌ها تاثیرگذار هستند. اگر

میزان خاصیت اسیدی نمونه آب یا زهاب بیش از خاصیت قلیایی آن باشد، زهاب اسیدی^۱ می‌باشد و به طور شاخص دارای غلظت‌های بالایی از سولفات، آهن، آلومینیم، منگنز و سایر یون‌ها می‌باشد. منبع اصلی خاصیت اسیدی زهاب، اکسایش پیریت در معرض اکسیژن هوا است ولی هیدرولیز آهن، آلومینیم و منگنز محلول بر خاصیت اسیدی زهاب تاثیرگذار است. اگر خاصیت قلیایی زهاب برابر یا بیشتر از خاصیت اسیدی آن باشد زهاب قلیایی یا خنثی^۲ می‌باشد. ممکن است همچنان غلظت‌های زیادی از سولفات، آهن، آلومینیم و منگنز در زهاب قلیایی موجود باشد. معمولاً زهاب‌های قلیایی در نتیجه خنثی شدن زهاب اسیدی به وسیله کانی‌های کربناته مانند کلسیت و دولومیت ایجاد می‌شوند.

انحلال کانی‌های کربناته علاوه بر کاهش دادن خاصیت اسیدی زهاب به سمت خنثی، باعث راسب و خارج شدن فلزات محلول مانند آهن و آلومینیم از فاز محلول می‌شود. خنثی شدن زهاب اسیدی معمولاً بر غلظت سولفات محلول در زهاب بی‌تأثیر است و در زهاب‌های قلیایی نیز همچنان میزان غلظت سولفات بالا است. میزان اسیدی بودن ریزش‌های جوی در هر منطقه کاملاً متاثر از میزان ترکیب‌های CO_2 یا SO_4^{2-} موجود در جو منطقه می‌باشد. میزان اسیدی بودن باران بر میزان آنیون‌های بی‌کربنات (HCO_3^-) و سولفات (SO_4^{2-}) در نمونه‌های آب برداشت شده تاثیر اندکی می‌گذارد که در بعضی مطالعات با تجزیه آب باران منطقه این تاثیر مد نظر قرار گرفته است (لینچ^۳، ۱۹۹۰؛ پیترز^۴ و بونلی^۵، ۱۹۸۲). در تحقیق حاضر از نقش آب باران بر تغییرات آنیونی نمونه‌های آبی برداشت شده در منطقه چشم‌پوشی شد.

۴-۱-۶- محاسبه خاصیت اسیدی

برای تعیین نوع زهاب‌ها و آب‌های موجود در محدوده کارخانه (اسیدی یا قلیایی)، نقش فلزات محلول که قابلیت تولید اسید در نتیجه هیدرولیز را دارند باید در نظر گرفت. یون Fe^{2+} طی اکسایش و به دنبال آن هیدرولیز ۲ مول اسید تولید نموده و نیز هیدروکسید آهن نامحلول از محلول خارج می‌شود

¹ Acid Mine Drainage (AMD)

² Natural or Alkaline Mine Drainage (NAMD)

³ Lynch

⁴ Peters

⁵ Bonelli

(رابطه ۴-۲). واکنش هیدرولیز آلومینیم مطابق رابطه ۴-۱ در زیر آمده است. همچنین یون Mn^{2+} طی اکسایش و به دنبال آن هیدرولیز، ۲ مول اسید و رسوب پیرولوزیت (MnO_2) تولید می‌نماید (رابطه ۴-۳).



از این رو با توجه به ضرایب استوکیومتری تولید اسید در واکنش‌های فوق و جرم مولی فلزات آهن، آلومینیم و منگنز با استفاده از فرمول زیر میزان خاصیت اسیدی نمونه‌ها محاسبه می‌شود (هدین^۱ و همکاران، ۱۹۹۴؛ هیکینن^۲ و همکاران، ۲۰۰۹):

$$Acidity_{calculated} = 50 \left[\frac{2Fe^{2+} + 3Fe^{3+}}{55.8} + \frac{3Al^{3+}}{27} + \frac{2Mn^{2+}}{54.9} + (10^{3-pH}) \right] \quad (4-3)$$

مقادیر محاسبه شده اسیدیته برای نمونه‌های آبی در محدوده کارخانه ذغال‌شوی در جدول ۴-۳ اورده شده است. همچنین با استفاده از روش‌های آزمایشگاهی خاصیت اسیدی اندازه گیری می‌شود که این روش‌ها با یکدیگر اندکی متفاوت می‌باشند. یکی از روش‌های آزمایشگاهی استفاده از پراکسید هیدروژن و حرارت برای اکسید کردن آهن و منگنز و سپس تیترسنجی^۳ با باز تا مقدار pH ۸/۲ یا ۸/۳ است (آژانس حمایت از محیط زیست آمریکا^۴، ۱۹۷۹؛ انجمن بهداشت عمومی آمریکا^۵، ۱۹۸۰؛ انجمن روش‌های آزمایشگاهی آمریکا^۶، ۱۹۹۴).

۴-۶-۲- محاسبه خاصیت قلیایی

خاصیت قلیایی عبارت است از توانایی مقاومت نمونه در مقابل اضافه شدن اسید قوی به آن. برای اندازه گیری میزان قلیاییت در نمونه‌ها از روش تیتراسیون با اسید در آزمایشگاه و یا از دستگاه

¹ Hedin

² Heikkinen

³ Titration

⁴ U.S.EPA

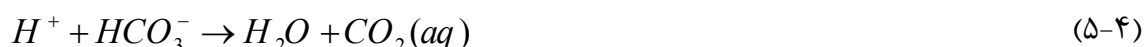
⁵ APHA

⁶ ASTM

تیترسنج قابل حمل در محل نمونه‌برداری استفاده می‌شود (آکابزا^۱ و همکاران، ۲۰۰۹؛ هیکینن و همکاران، ۲۰۰۹). در تیترسنجی pH نقش مهمی در برآورد میزان قلیاییت دارد، ولی در مورد زهاب‌های قلیایی با محدوده pH بیشتر از ۵ باید به غلظت فلزات آلومینیم، آهن و منگنز محلول در نمونه‌ها نیز توجه داشت. کانی‌ها از جمله سیلیکات‌ها نیز در قلیاییت نمونه آب موثر می‌باشند ولی کربنات‌ها و به خصوص دو آنیون بی‌کربنات (HCO_3^{-2}) و کربنات (CO_3^{-2}) بیشترین نقش در خاصیت قلیایی نمونه آب را عهده دارند. هر مول کربنات، طبق واکنش‌های $4-4$ و $4-5$ دو مول اسید را خنثی می‌نماید.



هر مول بی‌کربنات، طبق واکشن $5-5$ ، یک مول اسید را خنثی کرده و دی‌اسید کربن آب پوش (CO₂(aq)) را آزاد می‌نماید.



قلیاییت بر اساس واحد یک اکی والان جرم CaCO₃ در یک کیلوگرم محلول بیان می‌شود و جرم مولی CaCO₃، ۱۰/۹ گرم می‌باشد. هر مول CaCO₃، طبق رابطه $6-4$ دو مول اسید را خنثی می‌نماید.



با توجه به ضرایب استوکیومتری واکنش‌های فوق و غلظت مولی کربنات و بی‌کربنات (مولال) قلیاییت، در واحد میلی‌گرم کلسیت بر کیلوگرم محلول (mg CaCO₃/Kg Solution)، یا میلی‌گرم کلسیت بر لیتر محلول (mg CaCO₃/L Solution) از رابطه $7-4$ به دست می‌آید.

$$\text{Alkalinity} = 1000 \times \frac{50.05}{(1 - 10^{-6} \times \text{TDS})} \times \left([\text{HCO}_3^-] + 2[\text{CO}_3^{2-}] \right) \quad (7-4)$$

¹ Akabzza

برای محاسبه خاصیت قلیایی بر اساس رابطه ۷-۴ از نرم افزار Rock Ware (Aq.QA) نسخه ۱/۱ استفاده شد. مقادیر محاسبه شده قلیاییت برای نمونه‌های آبی در محدوده کارخانه ذغال‌شویی در جدول ۳-۴ آورده شده است. در جدول ۳-۴ با کم کردن مقدار قلیائیت از میزان اسیدیته محاسبه شده می‌توان تا خاصیت خالص اسیدی یا قلیایی نمونه را مشخص کرد (کایربی^۱ و کراوتا^۲). با توجه به جدول ۳-۴ تمامی نمونه‌های منطقه قلیایی خالص می‌باشند. در بین نمونه‌های رودخانه، نمونه W7 بیشترین خاصیت قلیایی ($\text{Alk}=196/1$) و نمونه W9 بیشترین خاصیت اسیدی ($\text{Acid}=1/57$) را نشان دادند. در بین زهاب‌ها، نمونه Leach ($\text{Alk}=332$) بیشترین خاصیت قلیایی ($\text{Acid}=1/57$) و نمونه P0 (آسیدی $\text{Acid}=3/07$) را نشان داد و در نمونه‌های حوضچه‌ها، P0 بیشترین خاصیت قلیایی ($\text{Alk}=223/8$) و نمونه J (آسیدی $\text{Acid}=1/92$) را دارد. در این بین زهاب‌ها و نمونه حوضچه P0 به دلیل اختلاط بیشتر با سنگ‌ها و کانی‌های کربناته بیشترین میزان قلیائیت خالص را از خود نشان دادند. خاصیت قلیایی خالص نمونه‌های رودخانه نیز نسبتاً بالاست و قابلیت بالایی در خنثی‌کردن اسیدیته زهاب‌های ورودی به رودخانه دارد.

۷-۴-۱- میزان فلزات محلول در نمونه‌های منطقه

یکی دیگر از عوامل تاثیرگذار زهاب اسیدی بر کیفیت آب، میزان فلزات محلول در زهاب می‌باشد. با توجه به نمودار باکس‌پلات (شکل ۱۳-۴) ترتیب میانگین غلظت عناصر عبارت است از:

- نمونه‌های رودخانه: $\text{Al} > \text{Fe} > \text{Mn} > \text{Zn} > \text{Cu} > \text{Pb} > \text{Ni} > \text{As} > \text{Co}$
- نمونه‌های زهاب: $\text{Mn} > \text{Fe} > \text{Al} > \text{Cu} > \text{Zn} > \text{Pb} > \text{As} > \text{Ni} > \text{Co}$
- نمونه‌های حوضچه‌ها: $\text{Mn} > \text{Al} > \text{Fe} > \text{Zn} > \text{Cu} > \text{Ni} > \text{Co} > \text{Pb} > \text{As}$

فلزات منگنز، آهن، آلومینیم، روی و مس بیشترین غلظت را در نمونه‌های آب به خود اختصاص داده‌اند. براین اساس به بررسی تغییرات غلظت فلزات نقاط نمونه‌برداری در سه محیط آبی می‌پردازم:

¹ Kirby

² Cravotta

جدول ۳-۴. مقدار قلیائیت و اسیدیته محاسبه شده و قلیائیت خالص در نمونه‌های آبی منطقه مورد مطالعه.

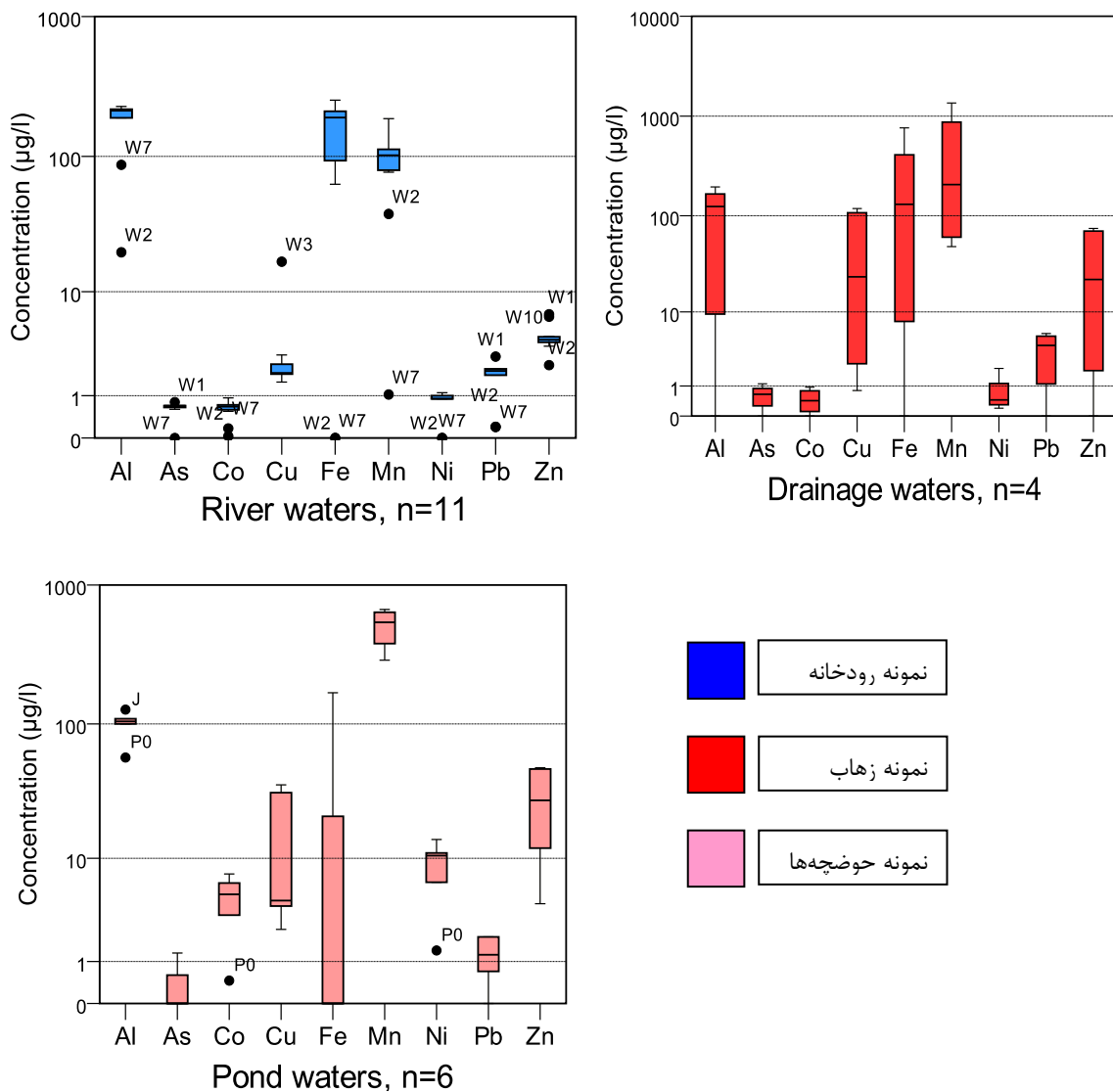
نمونه	pH	قلیائیت	اسیدیته	قلیائیت خالص ^۱
W1	۸/۱۴	۱۶۱	۱/۳۵	۱۵۹/۶۵
W2	۸/۱۸	۱۶۲/۴	۰/۱۸	۱۶۲/۲۲
W3	۸/۱۶	۱۶۱/۷	۱/۱۸	۱۶۰/۵۲
W4	۸/۱۳	۱۶۱	۱/۴	۱۵۹/۶
W5	۸/۱۸	۱۵۹/۴	۱/۳۴	۱۵۸/۰۶
W6	۸/۱۲	۱۶۳/۹	۱/۳	۱۶۲/۶
W7	۷/۹۱	۱۹۶/۱	۰/۴۸	۱۹۵/۶۲
W8	۸/۰۵	۹۰/۵	۱/۳۶	۸۹/۱۴
W9	۷/۹۳	۱۸۹/۶	۱/۵۷	۱۸۸/۰۳
W10	۸/۰۶	۱۷۲/۱	۱/۴۷	۱۷۰/۶۳
W11	۸/۰۶	۹۰/۵۳	۱/۳۳	۸۹/۲
Leach	۷/۲۴	۳۲۲	۳/۰۷	۳۲۸/۹۳
H1	۷/۸۴	۱۲۷/۱	۱/۲۱	۱۲۵/۸۹
H2	۷/۸۵	۲۴۶/۹	۰/۸۷	۲۴۶/۰۳
H3	۷/۱۶	۲۹۳/۵	۱/۰۲	۲۹۲/۴۸
A	۷/۲۶	۴۸/۱۶	۱/۴۹	۴۶/۶۷
B	۷/۲	۴۷/۰۳	۱/۶۵	۴۵/۳۸
C	۷/۳۴	۴۲/۸۷	۱/۲۴	۴۲/۶۳
I	۷/۸۳	۹۰/۶	۱/۷۵	۸۸/۸۵
J	۷/۲۸	۸۸/۹	۱/۹۲	۸۶/۹۸
Po	۷/۷۷	۲۲۳/۸	۰/۸۴	۲۲۲/۹۶
SPR	۸/۰۹	۱۲۸/۷	۰/۵	۱۲۸/۲

قلیاییت، اسیدیته و قلیائیت خالص بر حسب $(\text{mgCaCO}_3/\text{L})$ می‌باشد، حداقل و حداکثر به شکل پر رنگ.

■ منگنز

در نمونه‌های رودخانه، کمترین غلظت منگنز در نمونه $\text{W7}=10.4 \text{ ppb}$ و بیشترین مقدار در نمونه $\text{W9}=186.7 \text{ ppb}$ ، در زهابها کمترین غلظت در نمونه $\text{H2}=48.66 \text{ ppb}$ و بیشترین مقدار در نمونه $\text{Leach}=1353 \text{ ppb}$ و در نمونه‌های حوضچه‌ها کمترین مقدار $\text{P0}=288.3 \text{ ppb}$ و بیشترین مقدار در $\text{J}=667.6 \text{ ppb}$ مشاهده شد. میانگین غلظت منگنز در نمونه‌های حوضچه‌ها ($50.9/75 \text{ ppb}$) به ترتیب

^۱ Net Alkalinity



شکل ۴-۱۳. نمودار باکس پلات مربوط به غلظت فلزات محلول در محیط‌های آبی در محدوده کارخانه ذغال‌شویی.

بیشتر از میانگین غلظت‌ها در زهاب‌ها ($50.9/347 \text{ ppb}$) و رودخانه ($95/347 \text{ ppb}$) بود.

■ آلومینیم

در نمونه‌های رودخانه، کمترین غلظت آلومینیم در نمونه $\text{W2}=20 \text{ ppb}$ و بیشترین مقدار نمونه $\text{W10}=228 \text{ ppb}$ ، در زهاب‌ها کمترین غلظت در نمونه $\text{Leach}=10.9 \text{ ppb}$ و بیشترین مقدار در نمونه $\text{H1}=195 \text{ ppb}$ و در نمونه‌های حوضچه‌ها کمترین مقدار $\text{P0}=57 \text{ ppb}$ و بیشترین مقدار در $\text{J}=127 \text{ ppb}$ مشاهده شد. میانگین غلظت آلومینیم در نمونه‌های رودخانه ($189/0.2 \text{ ppb}$) به ترتیب بیشتر از میانگین غلظت‌ها در زهاب‌ها ($148/33 \text{ ppb}$) و حوضچه‌ها ($100/3 \text{ ppb}$) بود.

■ آهن ■

در نمونه‌های رودخانه، کمترین غلظت آهن در نمونه $W6=63 \text{ ppb}$ و بیشترین مقدار نمونه $W8=253 \text{ ppb}$ ، در زهاب‌ها کمترین غلظت در نمونه $H2=77 \text{ ppb}$ و بیشترین مقدار در نمونه $I=21 \text{ ppb}$ و در نمونه‌های حوضچه‌ها کمترین مقدار $\text{Leach}=763 \text{ ppb}$ و در نمونه‌های رودخانه $B=168 \text{ ppb}$ مشاهده شد. میانگین غلظت آهن در نمونه‌های زهاب ($353/3 \text{ ppb}$) به ترتیب بیشتر از میانگین غلظت‌ها در رودخانه ($181/77 \text{ ppb}$) و حوضچه‌ها ($94/5 \text{ ppb}$) بود.

دامنه تغییرات (Max-Min) غلظت عناصر که در شکل ۱۳-۴ با فاصله کلاهک‌های بالا و پایین هر میله مشخص می‌شود در نمونه‌های زهاب و حوضچه‌ها بیشتر از رودخانه می‌باشد که ممکن است از تماس بیشتر با کانی‌ها و در بی آن افزایش غلظت فلزات و یا تغییر شرایط محیطی مانند افزایش pH و درنتیجه کاهش غلظت فلزات محلول ایجاد شده باشد. شیرابه دمپ (Leach) که به حوضچه (P0) در انتهای دپوی باطله ریخته و سپس به رودخانه مجاور تخلیه می‌شود دارای بیشترین مقداری فلزات محلول می‌باشد، که در فلزات زیر مشخص‌تر می‌باشد: (غلظت‌ها بر حسب $\mu\text{g/L}$ است)

$\text{Mn}(1353) > \text{Fe}(118/2) > \text{Al}(109) > \text{Zn}(74/2) > \text{Pb}(5/7) > \text{As} > \text{Ni} > \text{Co}$

غلظت عناصر فوق در آب از هوازدگی پیریت در محل دبو و هوازدگی و انحلال کانی‌های در مسیر زهاب ناشی شده است. فراوانی فلزات در آب علاوه بر مقاومت کانی‌های سولفیدی مانند پیریت موجود در دمپ در برابر هوازدگی، به تحرک عناصر در فاز محلول نسبت به تغییرات pH نیز وابسته است. منشاء اولیه منگنز مربوط به کانی‌های کربناته منگنزدار موجود در دمپ است. مقدار کم منگنز برای مجموعه زیستی^۱ موجود در محیط آبی و طبیعت پیرامون آن سمی است (آدریانو، ۱۹۸۶؛ لزیر^۲ و همکاران، ۲۰۰۰). آلودگی منگنز در زهاب‌های معدنی به عنوان نگرانی عمده مورد توجه قرار نگرفته است. با این وجود در برخی مطالعات، سیستم‌های تصفیه آب به منظور حذف منگنز از زهاب اسیدی

¹ Biota

² Lasier

معدن مورد استفاده قرار گرفته است (روز^۱ و همکاران، ۲۰۰۳). بیشترین غلظت منگنز در زهاب‌های معادن ذغال فعال در آمریکا ۲ میلی گرم بر لیتر ($200 \mu\text{g/L}$) می‌باشد (روز و همکاران، ۲۰۰۳). غلظت منگنز در تمامی نمونه‌های حوضچه‌ها و دو نمونه زهاب (H1 و Leach) از حد ارائه شده بیشتر است که لزوم تصفیه این زهاب‌ها قبل از تخلیه به رودخانه دلیل را می‌طلبد.

۴-۷-۲- نمودار فیکلین

چهار مکانیسم در تغییرات غلظت فلزات در زهاب‌های اسیدی موثر است (چاپمن^۲ و همکاران، ۱۹۸۳):

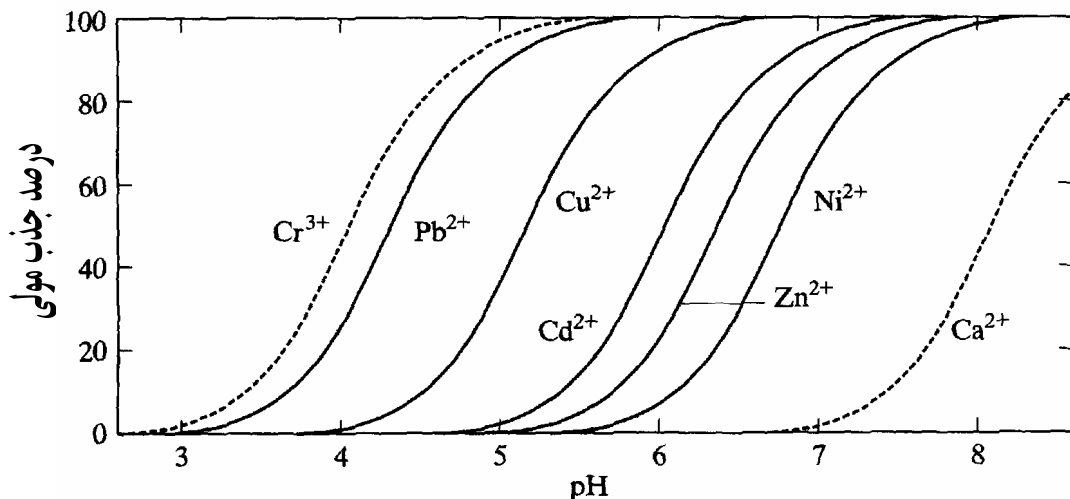
- (۱) رقیق شدن در نتیجه ورود جربان‌های آبی،
 - (۲) تهنشینی و تشکیل رسوبات ثانویه،
 - (۳) جذب گونه‌های محلول به وسیله جامدات تازه تشکیل شده (هیدروکسیدهای آهن و منگنز)،
 - (۴) جذب گونه‌های محلول به وسیله مواد معلق موجود مانند رس‌ها (تبادل کاتیونی).
- جذب فلزات توسط ذرات معلق نقش عمده‌ای در کنترل تحرک فلزات محلول در زهاب‌های موجود در سایتهاي معدني و ذخایر کانی‌ها دارد. مقدار فلزات (مانند روی، مس، سرب و غیره) و عناصر (مانند آرسنیک) جذب شده بستگی به: ۱) میزان ذرات معلق زهاب، ۲) میزان pH آب، ۳) گونه و غلظت فلز یا آرسنیک موجود در زهاب دارد (اسمیت^۳ و همکاران، ۱۹۹۴). به عنوان مثال روی فراوان ترین فلز در اکثر کانسارها بوده و تحرک نسبتاً زیادی در زهاب‌های ناشی از هوازدگی داشته و بر خلاف سرب و مس با توجه به تغییرات pH به سرعت جذب ذرات معلق زهاب نمی‌شود (شکل ۱۴-۴). در نتیجه در اکثر نمونه‌های آبی در محدوده کارخانه ذغال‌شویی روی (Zn) فلز پایه غالب (دارای بیشترین غلظت) است. نقش pH در تغییرات غلظت فلزات محلول در محیط‌های آبی کارخانه به وضوح در شکل ۱۵-۴ قابل مشاهده است.

▪ محدوده تغییرات pH در تمامی نمونه‌های منطقه بین ۷/۱۶ تا ۸/۱۸ می‌باشد.

¹ Rose

² Chapman

³ Smith

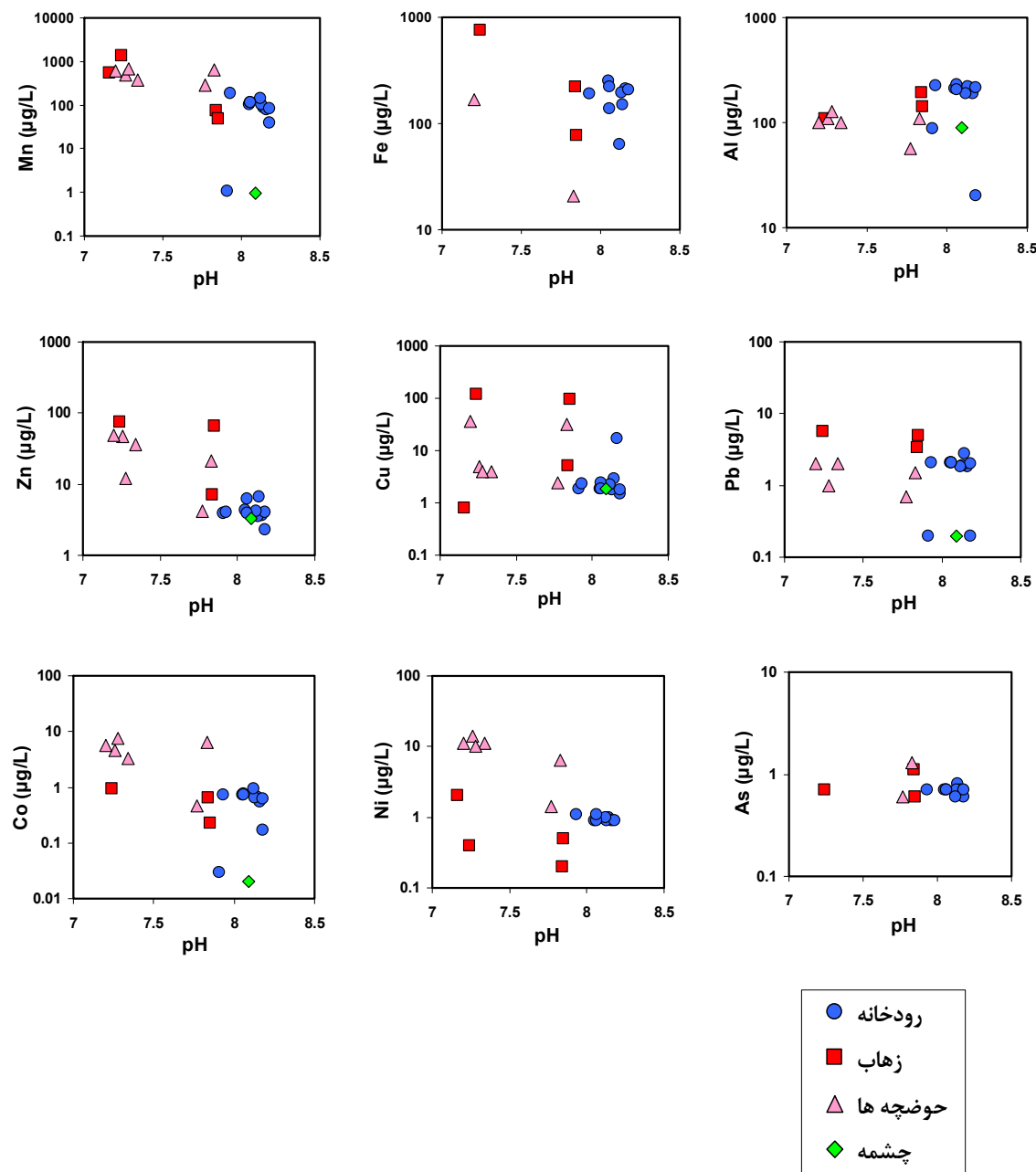


شکل ۴-۴. جذب کاتیون‌های فلزی به عنوان تابعی از pH (استام و مورگان، ۱۹۹۶).

- در نمونه‌های زهاب و حوضچه‌ها کاهش غلظت فلزات در فاز محلول با افزایش pH به خوبی مشاهده می‌شود.
- در نمونه‌های رودخانه با توجه به بازه تغییرات کوچک pH، بین ۷/۹۱ تا ۸/۱۸ روند معکوس غلظت فلزات در مقابل افزایش pH کمتر قابل تشخیص است.
- عنصر آرسنیک بر خلاف سایر فلزات به صورت یونی در محلول، نمی‌باشد و تغییرات pH بر غلظت آن روند خاصی ندارد.
- در نمونه‌های آب منطقه تغییرات غلظت آلومینیم در مقابل pH روند خاصی نشان نمی‌دهد. تغییرات در شیمی تیپ‌های آب منطقه بر اساس میزان فلزات محلول با استفاده از نموداری که در شکل ۴-۱۶ نشان داده شده است بررسی می‌شود. نمودار شکل ۴-۱۶ که نمودار فیکلین^۱ نیز نامیده می‌شود، مجموع فلزات پایه شامل روی (Zn)، مس (Cu)، سرب (Pb)، کادمیم (Cd)، کبالت (Co) و نیکل (Ni) را در مقابل pH رسم می‌نماید (پلاملی^۲ و همکاران، ۱۹۹۹). نمودار فیکلین نقش کنترل کننده‌های زمین‌شناسی بر روی شیمی زهاب‌ها و آب‌های خروجی معدن یا کانسارها را بررسی

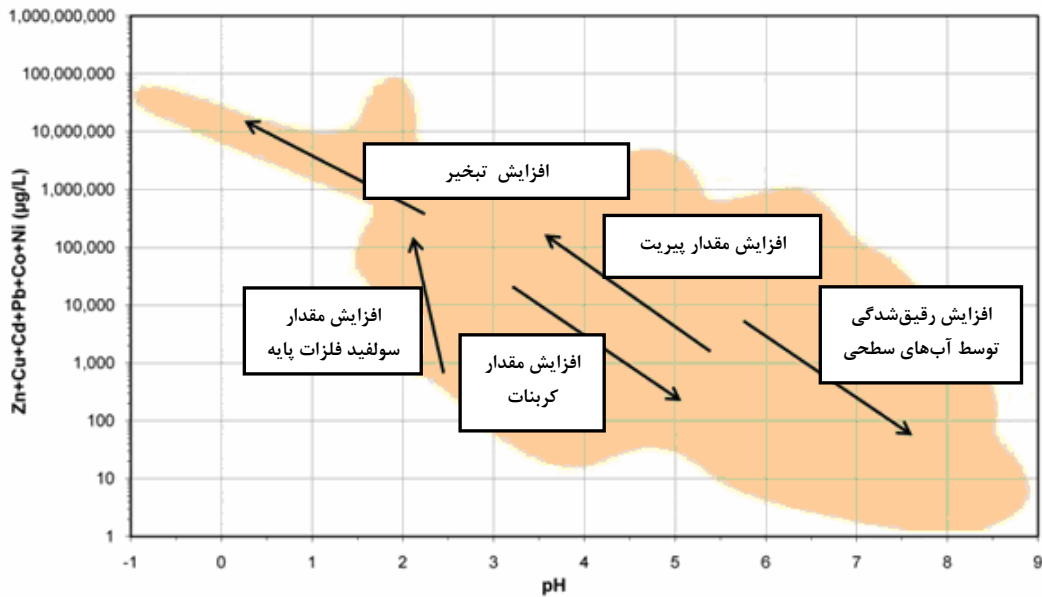
¹ Ficklin

² Plumlee



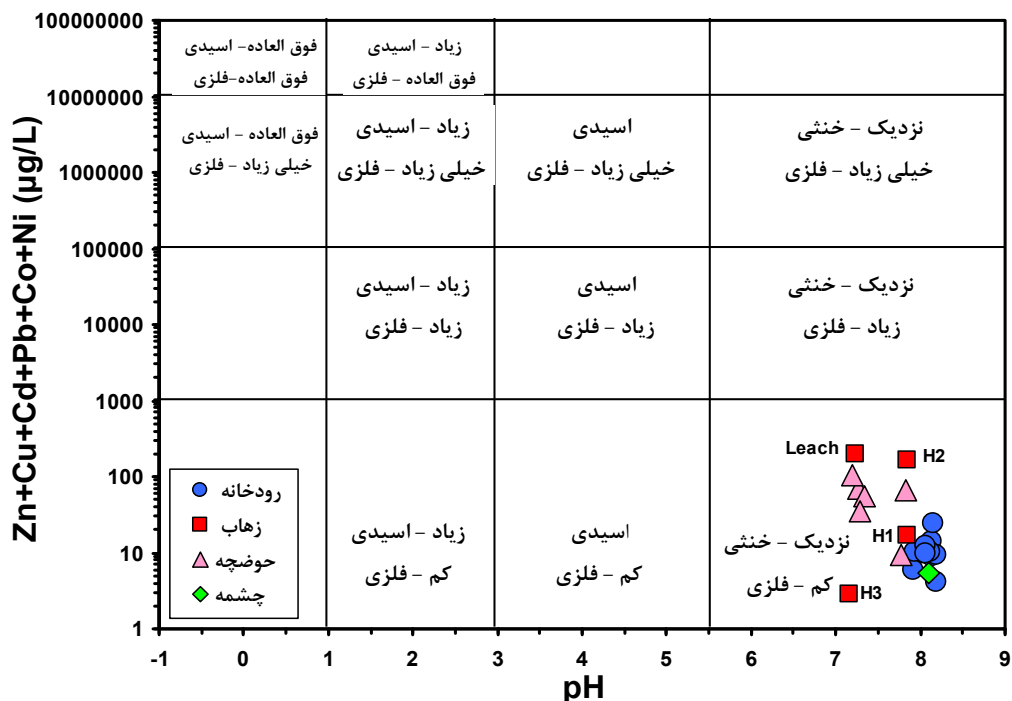
شکل ۴-۱۵. تغییرات pH در مقابل غلظت فلزات و عناصر محلول در نمونه‌های آب منطقه.

می‌نماید. فلزات پایه به جای فلزات فراوان‌تر مانند آهن (Fe)، منگنز (Mn) و آلومینیم (Al)، انتخاب شدند زیرا در نتیجه کنترل کننده‌های زمین‌شناسی متفاوت، این فلزات بیشترین تغییرات را از خود نشان داده‌اند. بر اساس نمودار فیکلین، کنترل کننده‌های زمین‌شناسی که بر کیفیت آب خروجی اثر می‌گذارند عبارتند از: رقیق شدگی به وسیله آبهای سطحی، میزان تبخیر آب‌ها، میزان پیریت، مقدار



شکل ۱۶-۴. عوامل اصلی کنترل‌کننده کیفیت آب معادن بر اساس نمودار فیکلین (پلاملی و همکاران، ۱۹۹۹).

کانی‌های سولفیدی فلزات پایه، میزان کانی‌های کربناته (شکل ۱۶-۴). نمونه‌های آبی محدوده مورد داده فلزات محلول کمی داشته و pH تمامی نمونه‌ها بالاتر از ۷ است. بر اساس نمودار فیکلین همه نمونه‌های آبی کارخانه ذغال‌شویی در محدوده نزدیک به خنثی-کم فلز (Near neutral-Low metal) قرار دارند. در بین نمونه‌ها، دو نمونه از زهاب‌ها (Leach H₂) بیشترین میزان فلزات محلول را داشته و هر دو به رودخانه وارد می‌شوند. به ترتیب نمونه زهاب H₃، نمونه چشم، نمونه‌های رودخانه و حوضچه‌ها کمترین میزان فلز محلول را دارند (شکل ۱۷-۴). بر اساس نمودار فیکلین (شکل ۱۶-۴)، پایین بودن میزان پیریت در ذغال‌های ورودی کارخانه و دپوی باطله، پایین بودن میزان کانی‌های سولفیدی فلزات پایه و بر عکس بالا بودن میزان کانی‌های کربناته همراه با ذغال و نیز دمپ باطله، پایین بودن میزان تبخیر و پر باران بودن منطقه (افزایش نسبت آب به خاک)، کنترل کننده‌های زمین‌شناسی محتمل بر کیفیت آب منطقه می‌باشد. پیش‌بینی نمودار فیکلین در مورد کنترل کننده‌های کیفیت آب باید با دقت تفسیر و بررسی شوند.



شکل ۱۷-۴. تغییرات غلظت فلزات پایه در آب‌های محدوده کارخانه ذغال‌شویی انجیرتنگه نسبت به pH.

۸-۴- اثرات فلزات سنگین بر کیفیت آب آشامیدنی

خاصیت اسیدی زهاب باعث اتحال و تحرک فلزات و شبه‌فلزات در محیط‌های آبی می‌شود، زهاب‌های خنثی یا قلیایی نیز حاوی مقادیر قابل توجهی عناصر بالقوه سمی می‌باشند و لزوم بررسی میزان آلودگی آب‌های سطحی و زیرزمینی به عناصر بالقوه سمی را بیان می‌دارد. شاخص‌های کیفیت آب^۱ جایگزین مناسبی برای مقایسه ساده نمونه‌ها با استانداردها می‌باشد. این اندیس‌ها ارزاری مفید و قابل فهم در ارتباط با وسعت آلودگی فراهم می‌نمایند که مورد استفاده کارشناسان و مدیران در مسیر اقدامات بازسازی^۲ قرار می‌گیرد. سرطان، آسیب‌های کلیوی، مرض کبد، نارسایی‌های عصبی و ژنتیکی از جمله بیماری‌ها و عوارض خطرناک ناشی از عناصر بالقوه سمی بر انسان می‌باشد که در برخی مطالعات مورد بررسی قرار گرفته است (عباسی و همکاران، ۱۹۹۸؛ جانسن، ۱۹۹۸؛ میلر و همکاران، ۲۰۰۴؛ لاشین و همکاران، ۲۰۰۸).

^۱ Water Quality Indices (WQIs)

^۲ Remediation

۴-۸-۱- شاخص آلودگی فلز سنگین^۱

شاخص آلودگی فلز سنگین یکی از شاخص‌های ارزیابی آلودگی آب است و در مطالعات بسیاری مورد استفاده قرار گرفته است (موهان^۲ و همکاران، ۱۹۹۹؛ بویان^۳ و همکاران، ۲۰۱۰؛ گیری^۴ و همکاران، ۲۰۱۰). این شاخص از رابطه (۴-۸) به دست می‌آید.

$$HPI = \frac{\sum_{i=1}^n W_i Q_i}{\sum_{i=1}^n W_i} \quad (4-8)$$

که در آن:

W_i : ضریب وزنی فلز سنگین i

Q_i : جزء اندیسی برای هر فلز سنگین i

در رابطه ۴-۸، W_i از معکوس مقدار استاندارد فلز سنگین i (S_i) به دست می‌آید (موهان و همکاران، ۱۹۹۶). جزء اندیس Q_i برای هر فلز سنگین i از رابطه ۴-۹ محاسبه می‌شود:

$$Q_i = \sum_{i=1}^n \frac{|M_i - I_i|}{(S_i - I_i)} \times 100 \quad (4-9)$$

که در آن:

M_i : مقدار فلز سنگین i در نمونه،

I_i : مقدار ایده‌آل یا حداقل غلظت مطلوب^۵ فلز سنگین i

S_i : مقدار استاندار یا حداقل غلظت مجاز^۶ برای فلز سنگین i

با توجه به علامت قدر مطلق در صورت کسر رابطه ۴-۹، مقدار جزء اندیس Q برای فلز سنگین i همواره عددی مثبت است. همه فلزات بالقوه سمی نبوده و حضور برخی از فلزات مانند Fe و Cu و Zn

¹ Heavy metal pollution index

² Mohan

³ Bhuiyan

⁴ Giri

⁵ Maximum Contaminant Level Goal (MCLG)

⁶ Maximum Contaminant Level (MCL)

در محیط‌های آبی تا حد، حداکثر غلظت مطلوب برای انسان مفید می‌باشد. در محاسبه این شاخص، حداکثر غلظت مطلوب و مجاز فلزات سنگین، از استانداردهای ملی یا جهانی آب آشامیدنی استخراج می‌شود. در این پژوهش از استاندارد شماره ۱۰۵۳ آب آشامیدنی ایران استفاده شد (موسسه استاندارد و تحقیقات صنعتی ایران، ۱۳۸۸). استاندارد ملی ایران با توجه به تجدید نظر جدید، منطبق با استاندارد سازمان بهداشت جهانی^۱ در سال ۲۰۰۸ می‌باشد (سازمان بهداشت جهانی، ۲۰۰۸). در جدول ۴-۴ مقایسه‌ای بین غلظت عناصر در نمونه‌های آب منطقه با استاندارد آب آشامیدنی ایران و سایر استانداردهای جهانی آب آشامیدنی صورت گرفته است، در این مقایسه فقط حداکثر غلظت مطلوب و مجاز عناصر آمده است (آژانس حفاظت محیط زیست آمریکا^۲، ۲۰۰۹). حد تشخیص آلوده بودن آب به فلز سنگین بر اساس شاخص آلودگی فلز سنگین، مقدار ۱۰۰ می‌باشد و نمونه‌هایی که مقادیر محاسبه شده بیشتر از $100 > HPI$ داشته باشند آلوده به فلز سنگین بوده و نمونه‌های با مقادیر کمتر ($HPI < 100$) فاقد آلودگی به فلز سنگین می‌باشند. از این‌رو، آب‌های آلوده به فلز سنگین نباید برای آشامیدن مورد استفاده قرار گیرند. شاخص آلودگی فلز سنگین برای نمونه‌های آب در محدوده کارخانه ذغالشویی و بر اساس غلظت فلزات سنگین Ni, Cu, Zn, Pb, Mn, Fe و Al محاسبه شد (جدول ۴-۵). در محاسبه این شاخص نکات ذیل در نظر گرفته شد:

- فلزات سنگین فوق به عنوان بهترین نماینده تاثیر کارخانه بر آب‌های منطقه انتخاب شدند.
- به علت افزایش غلظت فلزات سنگین آهن، آلومینیم و منگنز در محدوده کارخانه، از این فلزات در محاسبه شاخص استفاده شد.
- فلز کادمیم به علت پایین‌تر بودن از حد تشخیص در محاسبات استفاده نشد.
- از فلز کبالت در محاسبه شاخص فوق صرف‌نظر شد، زیرا حداکثر غلظت مجاز کبالت در استانداردهای آب‌های آشامیدنی ملی و جهانی یافت نشد و نیز آرسنیک به علت خاصیت شبه‌فلزی در محاسبه شاخص استفاده نشد.

¹ World Health Organisation (WHO)

² USEPA

جدول ۴-۴. مقایسه غلظت نمونه‌های آب منطقه با استانداردهای آب آشامیدنی ملی و جهان برای عناصر سمی و غیر سمی.

عنصر	میانگن رودخانه	میانگن زهابها	میانگین حوضچه‌ها	میانگین حوضچه‌ها	استاندارد شماره ۱۰۵۳	استاندارد شماره ۱۰۵۳	بهداشت جهانی	سازمان آزادسوس حفاظت محیط زیست آمریکا (۲۰۰۹)
حداکثر غلظت مجاز	حداکثر غلظت مجاز	حداکثر غلظت مجاز ^۱	حداکثر غلظت مطلوب					
Al	۱۸۲/۰۹	۱۴۸/۳۳	۱۰۰/۳۳	۱۰۰-۲۰۰	-	-	۱۰	۱۰-۲۰۰*
As	۰/۶۹	۰/۸	۰/۹۵	۱۰	۱۰	-	۵۰۰	-
B	۸۵/۲۷	۱۲۱	۲۶۴/۶۶	۵۰۰	۵۰۰	-	۲۰۰	۲۰۰*
Ba	۸۲/۱۳	۱۴۶/۵۴	۶۳/۱۲	۷۰۰	-	-	۲۰۰۰	۲۰۰۰
Cd	-	-	-	۳	۳	-	۵	۵
Cr	-	-	-	۵۰	۵۰	-	۵۰	۱۰
Cu	۳/۴۱	۵۵/۳۷	۱۳/۸۱	۲۰۰۰	۲۰۰۰	۱۰۰۰*	-	۱۰۰۰*
Fe	۱۸۱/۷۷	۳۵۳/۳۳	۹۴/۵	-	-	-	۳۰۰*	-
Hg	-	-	-	۶	۶	۳۰۰	۶	۲
Mn	۹۵/۳۴	۵۰۹/۱۳	۵۰۹/۷۵	۴۰۰	۴۰۰	۱۰۰	۴۰۰	۵۰*
Mo	۰/۳۴	۰/۸۲	۲/۱۶	۷۰	۷۰	-	۷۰	-
Ni	۰/۹۶	۰/۷۷۵	۸/۹۶	۷۰	۷۰	-	۷۰	-
Pb	۱/۷۳	۴/۶۶	۱/۴۴	۱۰	۱۰	-	۱۰	-
Sb	۱/۱۵	۱/۰۹	۱/۵۷	۲۰	۲۰	-	۲۰	۶
Se	۱/۰۷	۱/۳۳	۳/۵۵	۱۰	۱۰	-	۱۰	۵۰
V	۰/۲۸	۰/۴۵	۰/۲	۱۰۰	-	-	-	-
Zn	۴/۲۴	۴۹/۰۶	۲۸/۰۵	۳۰۰۰	-	-	-	۵۰۰۰*

غلظت همه عناصر بر حسب $\mu\text{g/L}$ می باشد.

* آینه نامه ثانویه آب آشامیدنی.^۲

- پایین تر از حد تشخیص ^۳ روشن ICP-MS

▪ شاخص بر اساس حداکثر غلظت مطلوب و مجاز فلزات سنگین در استاندارد شماره ۱۰۵۳ آب

آشامیدنی ایران (۱۳۸۸) محاسبه شد (جدول ۴-۴).

¹ Maximum Allowed Concentration (MAC=MCL)

² Secondary Drinking Water Regulations (SDWR)

³ Detection Limit

▪ حداکثر غلظت مجاز برای فلزات سنگین Fe و Zn به ترتیب $S_{Fe}=1000 \text{ } \mu\text{g/L}$ و

$S_{Zn}=15000 \text{ } \mu\text{g/L}$ استفاده شد (گیری و همکاران، ۲۰۱۰).

مقادیر شاخص آلودگی فلز سنگین در نمونه‌های آب کارخانه مطابق جدول ۴-۵ محاسبه شد که به ترتیب نمونه‌های W1 با $HPI=5/84$ و W2 با $HPI=28/17$ در بین نمونه‌های رودخانه، Leach با $HPI=9/5$ و H3 با $HPI=55/94$ و در بین نمونه‌های حوضچه‌ها B با $HPI=22/01$ و P0 با $HPI=8/02$ بیشترین و کمترین مقدار شاخص آلودگی فلز سنگین را دارند. مقادیر شاخص برای تمام نمونه‌ها کمتر از ۱۰۰ می‌باشد و نمونه شیرابه دمپ Leach بیشترین مقدار را در بین تمام نمونه‌های آبی داشت.

۴-۸-۴- شاخص سنجش فلز سنگین^۱

شاخص سنجش فلز سنگین، شاخص دیگری برای ارزیابی میزان فلز سنگین در آب می‌باشد (Edet² و همکاران، ۲۰۰۲؛ بويان و همکاران، ۲۰۱۰؛ حاجی زاده و همکاران، ۲۰۱۰). اين شاخص از رابطه ۱۰-۴ محاسبه می‌شود.

$$HEI = \sum_{i=1}^n \frac{H_c}{H_{Mac}} \quad (10-4)$$

که در آن:

H_c : غلظت فلز سنگین در نمونه آب،

H_{Mac} : حداکثر غلظت مجاز فلز سنگین در آب آشامیدنی،

در اين شاخص حد بحراني برای تشخيص بالا بودن فلز سنگين آب عدد يك مي باشد. اگر مقدار $HEI > 1$ باشد ميزان فلز سنگين آب نسبت به استاندارد بالا ارزیابی می‌شود. شاخص سنجش فلز سنگين در واقع غني شدگي فلزات سنگين در آب را نسبت به حداکثر مجاز بررسی می‌کند. شاخص سنجش فلز سنگين برای نمونه‌های آب در محدوده کارخانه ذغال‌شوبي و بر اساس حداکثر غلظت

¹ Heavy metal evaluation index

² Edet

مجاز فلزات سنگین Ni، Cu، Pb، Zn، Mn، Fe و Al در استاندارد آب آشامیدنی ایران محاسبه شد (جدول ۴-۵). در این بررسی به نمونه‌های W9 (HEI=۰/۲۲) و W2 (HEI=۱/۹۹) در بین نمونه‌های رودخانه، Leach (HEI=۵/۳۳) و H2 (HEI=۱/۴) در بین زهاب‌ها و در بین نمونه‌های حوضچه‌ها B دارند. غلظت فلز آلومینیم ناشی از هوازدگی آلومینوسیلیکات‌ها در نمونه‌های رودخانه بالا می‌باشد که باعث بیشتر شدن شاخص نسبت به عدد ۱ شده است. به منظور تشخیص میزان حساسیت این شاخص به میزان غلظت فلزات سنگین در فرمول آن و نیز به منظور تشخیص صحیح‌تر نقاط دارای بیشترین آلودگی فلز سنگین، شاخص سنجش فلز سنگین بدون در نظر گرفتن غلظت آلومینیم دوباره محاسبه شد (جدول ۴-۵). در شکل ۱۸-۴-ب شاخص سنجش فلز سنگین با و بدون در نظر گرفتن غلظت آلومینیم مقایسه شده است، همان طور که از شکل پیداست، میزان فلز سنگین در شیرابه دمپ حداکثر غلظت مجاز برای عنصر مورد نظر در آب مشخص باشد (Backman² و همکاران، ۱۹۹۷؛ بويان، ۲۰۱۰). درجه آلودگی از رابطه (۱۱-۴) محاسبه می‌شود.

۴-۸-۳- درجه آلودگی^۱

درجه آلودگی مانند شاخص سنجش فلز سنگین محاسبه می‌شود با این تفاوت که برای تشخیص آلودگی آب به انواع عناصر مختلف اعم از فلزی یا غیرفلزی مورد استفاده قرار می‌گیرد. با این شرط که حداقل غلظت مجاز برای عنصر مورد نظر در آب مشخص باشد (Backman² و همکاران، ۱۹۹۷؛ بويان، ۲۰۱۰). درجه آلودگی از رابطه (۱۱-۴) محاسبه می‌شود.

$$C_d = \sum_{i=1}^n C_{f_i} \quad (11-4)$$

که C_{f_i} از رابطه (۱۲-۴) به دست می‌آید.

¹Degree of Contamination
²Backman

$$C_{f_i} = \frac{C_{Ai}}{C_{Mac}} \quad (12-4)$$

که در آن:

C_{Ai} : غلظت عنصر در نمونه آب،

C_{Mac} : حداکثر غلظت مجاز عنصر در استاندارد آب آشامیدنی،

درجه آلودگی به سه دسته زیر تقسیم‌بندی می‌شود (بکمن و همکاران، ۱۹۹۷؛ ادت و همکاران،

۲۰۰۲؛ بیان ۲۰۰۱):

▪ $C_d < 1$ درجه آلودگی پایین،

▪ $1 < C_d < 3$ درجه آلودگی متوسط،

▪ $C_d > 3$ درجه آلودگی بالا،

عناصر Ni, Pb, Ba, As, Cr, Cd, Se, Sb, Mo, Hg, B و V به عنوان عناصر شیمیایی معدنی سمی

در استاندارد آب آشامیدنی ایران تعریف شده‌اند. عناصر Cr, Cd و Hg در نمونه‌های آب منطقه کمتر

از حد تشخیص بوده و دو عنصر Ni و Pb به عنوان فلز سنگین در شاخص‌های آلودگی و سنجش فلز

سنگین استفاده شده‌اند. بنابر این درجه آلودگی نمونه‌های آب منطقه نسبت به عناصر As, Ba,

Mo, Sb و V محسوبه و برای تعیین حداکثر غلظت مجاز این عناصر از استاندارد ایران استفاده شد

(جدول ۴-۵). نمونه‌های W9 ($C_d=0/63$) و W7 ($C_d=0/21$) در بین نمونه‌های رودخانه،

Leach H2 و H1 ($C_d=0/79$) در بین نمونه‌های زهاب و در بین نمونه‌های حوضچه‌ها،

I ($C_d=0/74$) به ترتیب بیشترین و کمترین مقدار درجه آلودگی را دارند. بر اساس

طبقه‌بندی ارائه شده تنها نمونه I از حوضچه‌ها آلودگی متوسط نسبت به عناصر Ba, As, Se, Mo, Sb

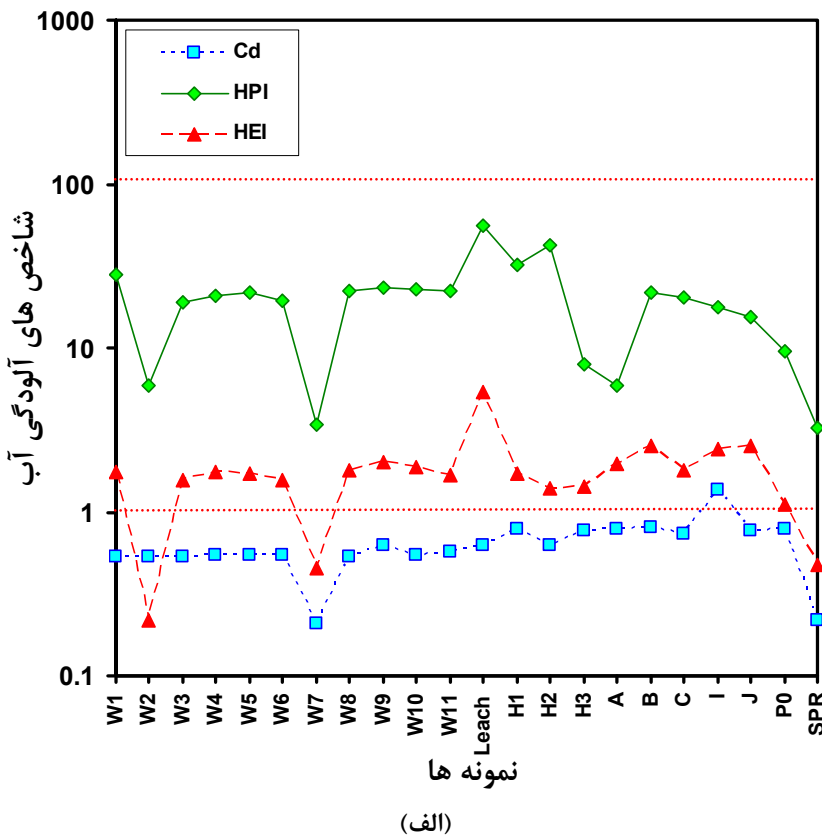
و V داشته و سایر نمونه‌ها آلودگی پایین دارند. به منظور بررسی کیفیت آب در محدوده کارخانه و

تأثیر حضور فلزات و عناصر سنگین در آب، شاخص آلودگی، سنجش فلز سنگین و درجه آلودگی برای

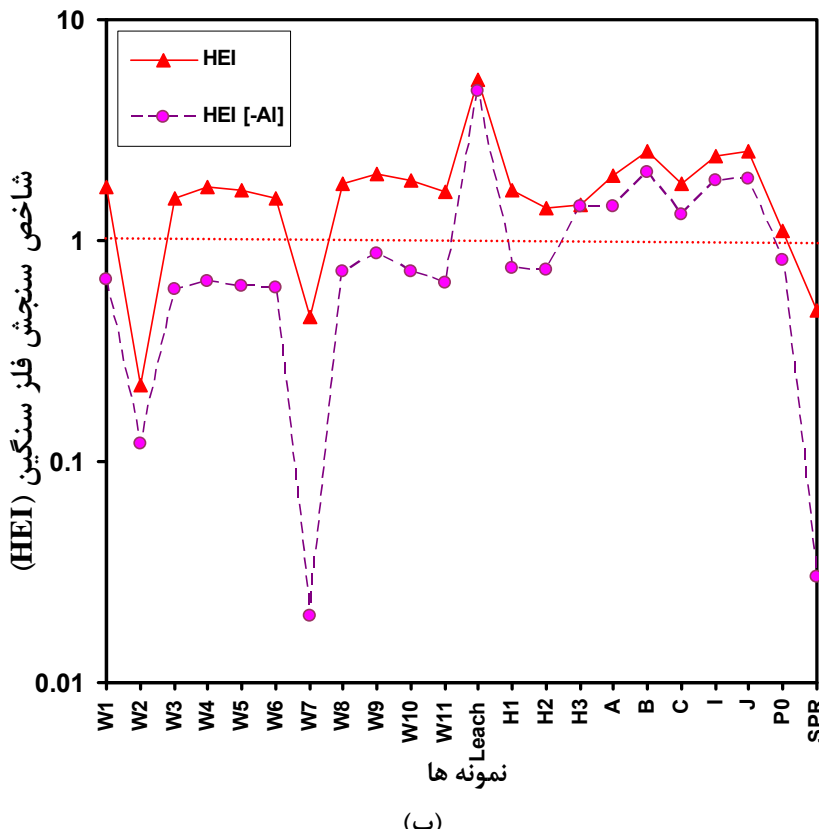
نمونه‌ها با یکدیگر مقایسه شدند (شکل ۴-۱۸). با توجه به این شکل نتایج زیر حاصل شد:

جدول ۴-۵. مقادیر شاخص‌های آلودگی برای نمونه‌های آبی منطقه.

نمونه	شاخص آلودگی فلز سنگین (HPI) با درنظر گرفتن غلظت	شاخص سنجش فلز سنگین (HEI) با درنظر گرفتن غلظت	شاخص سنجش فلز آلومینیم	درجه آلودگی (Cd)
W1	۲۸/۱۷	۱/۷۴	۰/۶۷	۰/۵۳
W2	۵/۸۴	۰/۲۲	۰/۱۲	۰/۵۳
W3	۱۹/۰۵	۱/۵۵	۰/۶	۰/۵۳
W4	۲۱	۱/۷۵	۰/۶۵	۰/۵۴
W5	۲۱/۷۵	۱/۷	۰/۶۲	۰/۵۵
W6	۱۹/۲۷	۱/۵۶	۰/۶۱	۰/۵۴
W7	۳/۳۷	۰/۴۵	۰/۰۲	۰/۲۱
W8	۲۲/۳۳	۱/۸	۰/۷۳	۰/۵۳
W9	۲۳/۳۶	۱/۹۹	۰/۸۸	۰/۶۳
W10	۲۳/۰۲	۱/۸۷	۰/۷۳	۰/۵۴
W11	۲۲/۱	۱/۶۶	۰/۶۴	۰/۵۷
کمترین	۳/۳۷	۰/۲۲	۰/۰۲	۰/۲۱
بیشترین	۲۸/۱۷	۱/۹۹	۰/۸۸	۰/۶۳
Leach	۵۵/۹۴	۵/۳۳	۴/۷۸	۰/۶۲
H1	۳۲/۲۳	۱/۷	۰/۷۵	۰/۷۹
H2	۴۲/۵	۱/۴	۰/۷۴	۰/۶۲
H3	۸/۰۲	۱/۴۴	۱/۴۳	۰/۷۶
کمترین	۸/۰۲	۱/۴	۰/۷۴	۰/۶۲
بیشترین	۵۵/۹۴	۵/۳۳	۴/۷۸	۰/۷۹
A	۵/۸۶	۱/۹۶	۱/۴۲	۰/۷۸
B	۲۲/۰۱	۲/۵۴	۲/۰۴	۰/۸۱
C	۲۰/۰۶	۱/۸۱	۱/۳۱	۰/۷۴
I	۱۷/۷۸	۲/۴۱	۱/۸۷	۱/۳۷
J	۱۵/۳	۲/۵۴	۱/۹۱	۰/۷۷
Po	۹/۵	۱/۱	۰/۸۲	۰/۷۸
کمترین	۵/۸۶	۱/۱	۰/۸۲	۰/۷۴
بیشترین	۲۲/۰۱	۲/۵۴	۲/۰۴	۱/۳۷
SPR	۳/۲۵	۰/۴۸	۰/۰۳	۰/۲۲



(الف)



(ب)

شکل ۱۸-۴. (الف) مقایسه شاخص‌های آلودگی فلز سنگین (HPI)، سنجش فلز سنگین (HEI) و درجه آلودگی (C_d) محاسبه شده برای نمونه‌های آب منطقه. (ب) مقایسه شاخص سنجش فلز سنگین (HEI) با و بدون درنظر گرفتن غلظت آلومینیوم.

- شاخص سنجش فلز سنگین (HEI) به تغییرات غلظت هر یک از فلزات سنگین، فوق العاده حساس بوده و نوسان غلظت یک فلز (مانند آلومینیم) موجب تغییرات قابل توجهی در مقادیر شاخص می‌شود. از این‌رو شاخص خوبی برای شناسایی نقاط با غلظت بالاتر از حد مجاز فلز سنگین در آب است.
- شاخص آلدگی فلز سنگین (HPI) به دلیل وزن‌دهی به هر فلز سنگین، در نظر گرفتن حداکثر غلظت‌های مطلوب و مجاز برای هر فلز سنگین، بهترین شاخص بررسی کیفیت آب آشامیدنی نسبت به فلزات سنگین است. همچنین نوسان غلظت یک فلز (مانند آلومینیم) موجب تغییرات کمی در مقادیر شاخص می‌شود.
- تغییرات درجه آلدگی (C_d) نسبت به عناصری که در محاسبه این شاخص استفاده شد بسیار اندک می‌باشد که نشان دهنده تغییرات غلظت اندک آن‌ها می‌باشد. این عناصر معرف تاثیر کارخانه ذغال‌شویی بر آلدگی فلز سنگین در منطقه مورد مطالعه نمی‌باشد.
- نمونه‌های آب برداشت شده از زهاب‌ها و حوضچه‌ها به وضوح کیفیت پایین‌تر و آلدگی به فلز سنگین بیشتر نسبت به نمونه‌های آب رودخانه را نشان می‌دهد. با توجه به شکل ۱۸-۴ حاصل از ترکیب شاخص‌های ارزیابی آلدگی آب به خوبی می‌توان نزدیک شدگی^۱ و دور شدگی^۲ نسبت به نمونه آب‌های آلدگی را دریافت.
- نمونه آب برداشت شده از چشمۀ مقابل ساختمان اداری شرکت ذغال‌سنگ البرز مرکزی به لحاظ کیفی مورد تایید سه شاخص مطالعه شده در این پژوهش است.

۴-۹-۴- تحلیل‌های آماری نمونه‌های آب در محدوده کارخانه ذغال‌شویی

۱-۹-۴- بررسی توزیع داده‌ها

در بین آنیون‌های عمدۀ به جز سولفات، کربنات و بی‌کربنات سایر آنیون‌ها توزیع نرمال داشته و در بین کاتیون‌ها، تنها منیزیم قادر توزیع نرمال است (شکل‌های ۱۹-۴ و ۲۰-۴).

¹ Proximal

² Distal

۴-۹-۲- همبستگی بین داده‌ها

ارتباط بین غلظت یون‌های اصلی و عناصر و پارامترهای فیزیکی-شیمیایی نمونه‌های آب با استفاده از نرم افزار SPSS نسخه ۱۹/۰ و همبستگی پیرسون^۱ مورد بررسی قرار گرفت. داده‌های آزمایشگاهی مربوط به تمام ۲۱ نمونه آب برداشت شده در محدوده کارخانه ذغال‌شویی شامل ۱۱ نمونه رودخانه، ۴ نمونه زهاب و ۶ نمونه از حوضچه‌ها در محاسبات مورد استفاده قرار گرفت. برخی از مهم‌ترین نتایج این بررسی در زیر آورده شده است (جدول ۴-۶):

- زهاب اسیدی تولیدی در حوضچه‌ها و محل دپو باطله توسط کانی‌های کلسیت (CaCO_3) دولومیت ($\text{Ca}(\text{Fe}^{2+}, \text{Mg}, \text{Mn})(\text{CO}_3)_2$) و آنکریت ($\text{CaMg}(\text{CO}_3)_2$) خنثی شده‌اند. اتحلال این کانی‌ها کاتیون‌های فلزی دوظرفیتی Ca^{+2} , Mg^{+2} , Fe^{+2} و Mn^{+2} و آنیون بی‌کربنات HCO_3^- آزاد می‌نماید. در واقع همبستگی مثبت بین $\text{Ca}-\text{Mn}$ ($r=0/98$), $\text{Ca}-\text{Mg}$ ($r=0/54$) و $\text{Fe}-\text{Mn}$ ($r=0/46$) می‌تواند دلیلی بر این سناریو باشد (بالیستریری^۲ و بوکسترمن، ۲۰۰۲).

- همبستگی معکوس و قوی ($r=-0/7$) بین pH و سولفات (SO_4^{2-}), مرتبط با اکسیداسیون سولفیدی و عمدتاً اکسایش پیریت است (اخی الدین و همکاران، ۲۰۱۰).

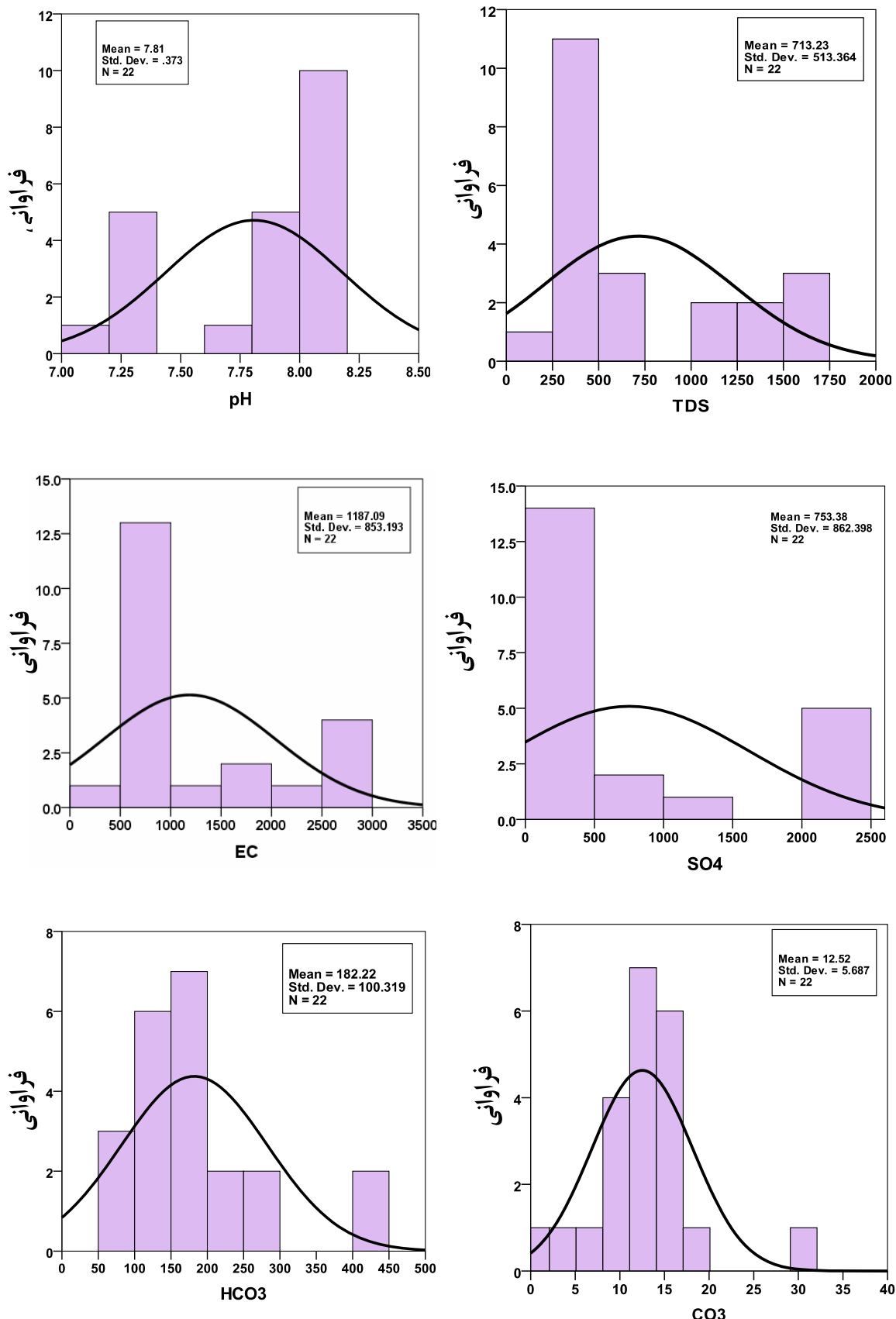
- همبستگی معکوس و قوی بین pH-Mg ($r=-0/7$), pH-Ca ($r=-0/7$), احتمالاً به دلیل افزایش تحرک کلسیم و منیزیم با کاهش pH می‌باشد (اخی الدین و همکاران، ۲۰۱۰).

- همبستگی معکوس کمتر بین pH-Na ($r=-0/4$) و pH-K ($r=-0/7$) در نتیجه افزایش تحرک سدیم و پتاسیم در نتیجه کاهش pH در نمونه‌ها می‌باشد (اخی الدین و همکاران، ۲۰۱۰).

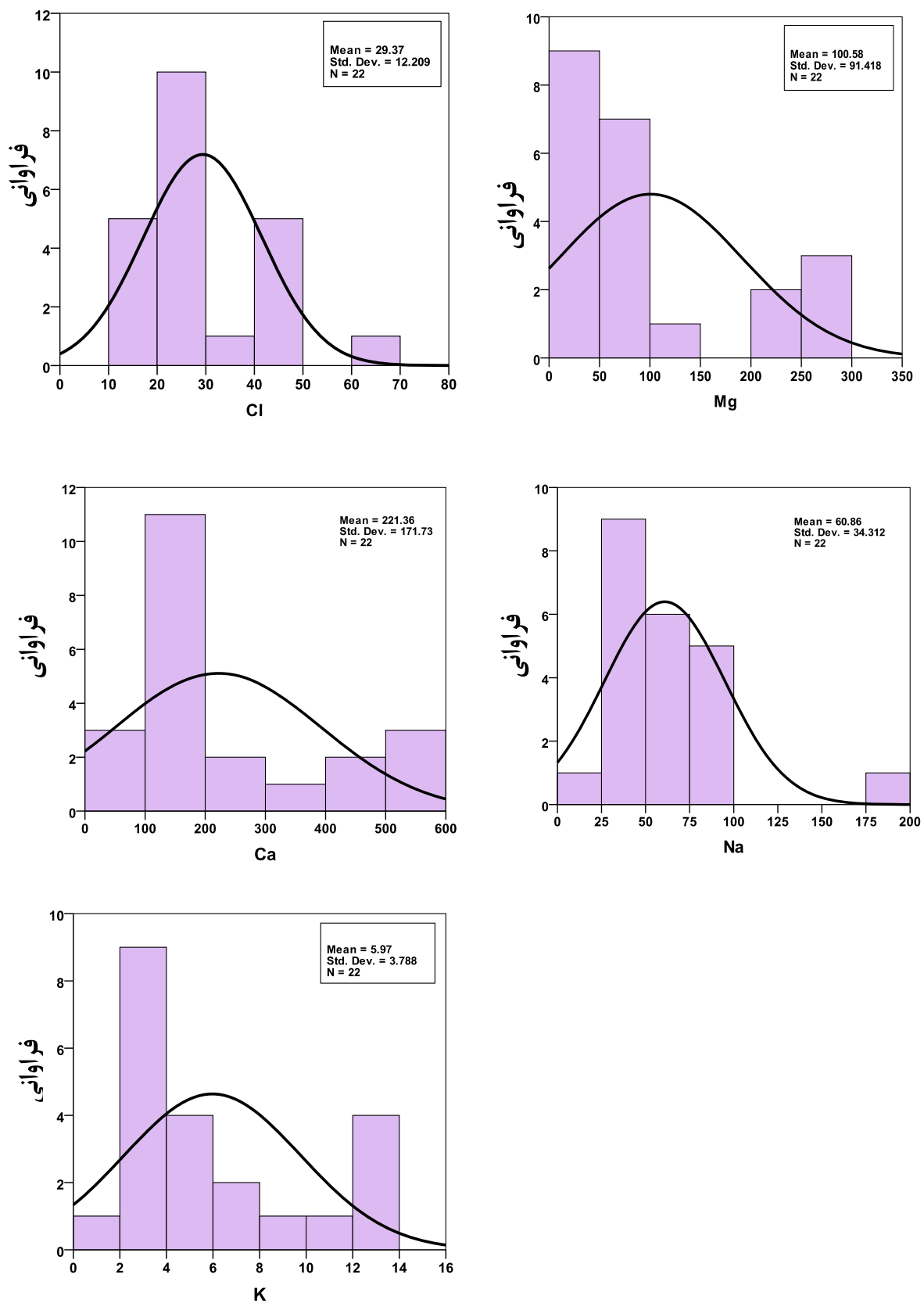
- همبستگی معکوس بین pH و فلزات کبالغ (۵)، مس (۳۲)، منگنز (۷)، نیکل (۶) و روی (۵۹) به دلیل افزایش تحرک کاتیون‌های فلزی در نتیجه کاهش pH می‌باشد (اخی الدین و همکاران، ۲۰۱۰)، همان‌طور که در شکل ۲۱-۴ به وضوح

¹ Pearson's Correlation

² Balistrieri



شکل ۴-۱۹. بررسی توزیع pH، TDS، EC، SO₄²⁻ و آنیون‌های اصلی HCO₃⁻ و CO₃²⁻ در آب‌های منطقه مورد مطالعه.



شکل ۲۰-۴. بررسی توزیع یون‌های اصلی K^+ , Na^+ , Ca^{+2} , Mg^{+2} و Cl^- در آب‌های منطقه مورد مطالعه.

می‌توان این همبستگی را بین تمام نمونه‌های آبی دید.

▪ همبستگی مثبت بین سولفات و آهن در تمام ۲۱ نمونه آب ($r=0.48$), ارتباط مثبت بین آهن و سولفات به عنوان محصولات اکسایش پیریت در نمونه‌های آب می‌باشد (اخی الدین و همکاران، ۲۰۱۰). همبستگی بین سولفات و آهن در هر یک از محیط‌ها به طور مجزا محاسبه شد، مقادیر همبستگی بین Fe^{2+} و SO_4^{2-} , در ۱۱ نمونه رودخانه ۰/۲۰۶, در ۶ نمونه حوضچه ۰/۲۷۶ و در ۴ نمونه زهاب ۰/۷۶۴ است (شکل ۲۱-۴). از طرفی همبستگی معکوس بین سولفات و آلمینیم ($r=-0.29$) نیز ممکن است به علت عدم حضور این فلز در فاز سولفات باشد.

▪ همبستگی معکوس بین EC- pH ($r=-0.7$), زیرا با کاهش pH اکثر عناصر به حالت محلول در می‌آیند، از طرفی همبستگی مثبت و قوی بین هدایت الکتریکی و اکثر فلزات و عناصر به دلیل افزایش کل جامدات محلول (TDS) می‌باشد که افزایش هدایت الکتریکی را به دنبال دارد (شکل ۲۱-۴).

▪ همبستگی مثبت بین فلزات احتمالاً ناشی از هم منشا بودن آن‌ها است (اخی الدین و همکاران، ۲۰۱۰). مثلاً Cu-Zn ($r=0.76$), Cu-Pb ($r=0.56$), Cu-Mn ($r=0.59$) و Cu-Fe ($r=0.98$).

۱۰-۴- مدل موازنۀ ژئوشیمیایی^۱

این مدل در محیط‌های آبی مرتبط با زهاب اسیدی به صورت پیوسته با مدل موازنۀ جرم^۲ مورد استفاده قرار می‌گیرد. مدل‌های موازنۀ ژئوشیمیایی از ثابت‌های تعادل برای محاسبه فعالیت^۳ در شرایط دمایی داده شده استفاده می‌کنند. در محاسبه غلظت گونه‌های حاصل از فعالیت‌ها، ضرایب

¹ Geochemical equilibrium model

² Mass balance Model

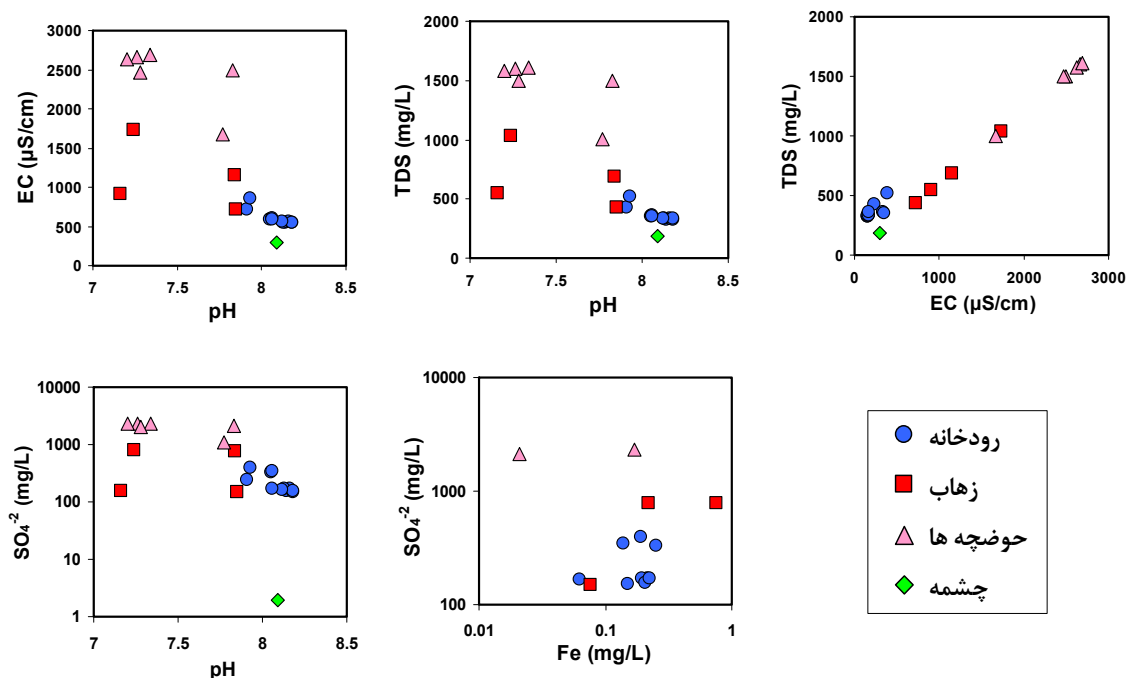
³ Activity

جدول ۴-۶. همبستگی پیرسون بین یون‌های اصلی، پارامترهای فیزیکی-شیمیایی و فلزات محلول در نمونه‌های آب منطقه مورد مطالعه.

	pH	EC	Ca	K	Mg	Na	SO_4^{2-}	Al	Co	Cu	Fe	Mn	Ni	Pb	Zn
pH	1														
EC	-.7**	1													
Ca	-.7**	.98**	1												
K	-.7**	.94**	.95**	1											
Mg	-.7**	.97**	.98**	.94**	1										
Na	-.4*	.39	.23	.24	.22	1									
SO_4^{2-}	-.7**	.98**	.97**	.93**	.98**	.28	1								
Al	.53*	-.37	-.38	-.30	-.35	-.10	-.29	1							
Co	-.5**	.85**	.85**	.84**	.87**	.18	.88**	-.1	1						
Cu	-.32	.19	.07	.18	.08	.6**	.07	-.1	.04	1					
Fe	-.04	-.10	-.23	-.22	-.24	.7**	.48	.36	-.20	.59**	1				
Mn	-.7**	.67**	.58**	.52*	.54**	.7**	.55**	-.3	.51*	.56**	.46*	1			
Ni	-.6**	.88**	.89**	.84**	.94**	.09	.92**	-.2	.86**	-.04	-.30	.43*	1		
Pb	-.01	-.04	-.14	-.01	-.15	.53*	-.11	.42*	-.13	.76**	.7**	.27	-.24	1	
Zn	-.59*	.54**	.44*	.50*	.48*	.5**	.46*	-.2	.32	.84**	.38	.6**	.41	.5*	1

**. اعتبار همبستگی در سطح اعتماد ٪۹۹

*. اعتبار همبستگی در سطح اعتماد ٪۹۵



شکل ۲۱-۴. رابطه بین پارامترهای فیزیکی-شیمیایی، Fe^{2+} و SO_4^{2-} در نمونه‌های آبی منطقه مورد مطالعه.

فعالیت^۱ میزان غیر ایده‌آلی بودن محلول را نشان می‌دهند. از میزان فعالیت محاسبه شده گونه‌های شیمیایی برای تخمین شاخص اشباع کانی^۲ استفاده می‌شود. معمول‌ترین روش‌ها برای تخمین ضرایب فعالیت ترمودینامیکی، مدل تجمع یونی، بر اساس معادله دیویس^۳ یا معادله گسترش یافته دبایی هوکل^۴ می‌باشد (پرکینز^۵ و همکاران، ۱۹۹۵). مدل‌سازی بر اساس نظریه موازنی یا تعادل ترمودینامیکی در بعضی موارد دچار کاستی می‌گردد، چون تعداد کمی از سیستم‌های طبیعی به‌طور کامل در موازنی هستند، دلیل آن امکان وقوع واکنش‌های برگشت ناپذیر شیمیایی و بیولوژیکی و خصوصاً واکنش‌هایی که شامل فاز جامد و تغییرات در پدیده اکسایش-احیا است. روش ترمودینامیک محدودیت‌های سرعت یا سینتیک واکنش را نادیده می‌گیرد، که می‌تواند باعث جلوگیری از رسیدن سیستم به تعادل شود. مشکلات دیگر، شامل از دست دادن اطلاعات ترمودینامیک، داده‌های آنالیزی

¹ Activity coefficient

² Saturation index

³ Davies equation

⁴ The extended Debeye-Hückel equation

⁵ Perkins

غیردقیق و محاسبات در مقاومت بالای یونی یا دماهای بیش از حد می‌باشد (دولتی ارده‌جانی و شفائی تنکابنی، ۱۳۸۹).

۱-۱۰-۴- فعالیت یونی

روابط زیر برای تمامی گونه‌های آب‌پوش برقرار است (به جز الکترون‌های آب‌پوش و خود آب). با فرض اینکه تمامی گونه‌های محلول و در فاز آب‌پوش در تعادل ترمودینامیکی می‌باشند. در یک مدل تجمع یونی، تعادل بین گونه‌های محلول نیازمند این نکته است که معادلات عمل جرم برای همه گونه‌های آب‌پوش برقرار باشد.

۲-۱۰-۴- قدرت یونی

قدرت یونی محلول آب‌پوش، مجھول به شمار آمده و از رابطه (۱۳-۴) به دست می‌آید:

$$\mu = \frac{1}{2} \sum m_i z_i^2 \quad (13-4)$$

که در آن:

m_i : قدرت یونی محلول،

m_i : غلظت مولی (مولال) گونه آب‌پوش i ,

z_i : بار الکتریکی گونه آب‌پوش i (به عنوان مثال ۲ برای Ca^{+2} ،

۳-۱۰-۴- ضرایب فعالیت

ضریب فعالیت بر اساس معادله دیویس^۱ به صورت رابطه ۱۴-۴ تعریف می‌شود (پارخوست^۲ و آپلو، ۱۹۹۹):

$$\log \gamma_i = -A z_i^2 \left(\frac{\sqrt{\mu}}{1 + \sqrt{\mu}} - 0.3\mu \right) \quad (14-4)$$

معادله گسترش یافته دبای هوکل یا WATEQ-۱۵-۴ در رابطه ۱۵-۴ آمده است:

¹ Davies equation

² Parkhurst

$$\log \gamma_i = -\frac{Az_i^2 \sqrt{\mu}}{1+Ba_i^o \sqrt{\mu}} + b_i \mu \quad (15-4)$$

که در روابط فوق،

γ_i : بار الکتریکی گونه آبپوش i ،

b_i : ضریب فعالیت گونه آبپوش i ،

A و B ثابت‌هایی هستند که در فشار ثابت تنها به دما وابسته می‌باشند و مطابق روابط ۱۶-۴ و ۱۷-۴ قابل محاسبه می‌باشند. در این روابط دما (T) بر حسب درجه سانتیگراد است.

$$0.4922 + 0.0003714T + 1.083 \times 10^{-5}T^2 - 4.821 \times 10^{-8}T^3 + 1.208 \times 10^{-10}T^4 \quad (16-4)$$

$$0.3247 + 0.0001224T + 7.658 \times 10^{-7}T^2 - 2.908 \times 10^{-9}T^3 + 5.507 \times 10^{-12}T^4 \quad (17-4)$$

در رابطه (۱۵-۴) اگر $b_i = 0$ ، معادله حاصل را، معادله گسترش یافته دبای هوکل و اگر b_i مخالف صفر باشد، معادله هوکل نامیده می‌شود (تروسدل^۱ و جونز، ۱۹۷۴). در معادله گسترش یافته دبای، a_i^o پارامتر مربوط به اندازه یون می‌باشد و در معادله WATEQ-دبای هوکل a_i^o و b_i پارامترهای مخصوص یون هستند که از روی داده‌های ضریب فعالیت نمک میانگین اندازه‌گیری می‌شوند. برای گونه‌های غیر یونی بخش اول معادله ضریب فعالیت صفر شده و معادله WATEQ-دبای هوکل به معادله سچنوا^۲ تبدیل می‌گردد (لانگمویر^۳، ۱۹۹۷).

$$\ln \gamma_i = b_i \mu \quad (18-4)$$

در غیر این صورت برای گونه‌های غیر یونی $b_i = 0$ در نظر گرفته می‌شود.

مشتقات جزئی معادلات ضریب فعالیت فوق با توجه به قدرت یونی محلول، به ترتیب برای معادله دیویس (رابطه ۱۹-۴) و معادله گسترش یافته دبای هوکل يا WATEQ-دبای هوکل (رابطه ۲۰-۴) محاسبه می‌شوند (پارخوست و آپلو، ۱۹۹۹):

¹ Truesdell

² Setchenow

³ Langmuir

$$\frac{\partial}{\partial \mu} \ln \gamma_i = -\ln(10) \left[A z_i^2 \left(\frac{1}{2\sqrt{\mu}(\sqrt{\mu}+1)^2} - 0.3 \right) \right] \quad (19-4)$$

$$\frac{\partial}{\partial \mu} \ln \gamma_i = -\ln(10) \left(\frac{A z_i^2}{2\sqrt{\mu}(B a_i^o \sqrt{\mu} + 1)^2} + b_i \right) \quad (20-4)$$

با توجه به قدرت یونی محلول (رابطه ۱۳-۴) یکی از معادلات (۱۹-۴) یا (۲۰-۴) به وسیله روش‌های عددی با استفاده از نرم افزار PHREEQC حل شده و ضریب فعالیت گونه مورد نظر در محلول مشخص می‌شود. در محلول‌های رقیق، ضریب فعالیت هر یون (گونه آب‌پوش) به مقدار ۱ نزدیک می‌شود و با توجه به رابطه ۲۱-۴، فعالیت (a_i) با مولالیته یون مرتبط می‌شود.

$$a_i = \gamma_i m_i \quad (21-4)$$

۴-۱۰-۴- شاخص اشباع

بستگی ثابت تعادل به دما با استفاده از معادله وانت هاف^۱ به صورت رابطه ۲۲-۴ بیان می‌گردد:

$$\log_{10} K = A_1 + A_2 T + \frac{A_3}{T} + A_4 \log_{10} T + \frac{A_5}{T^2} \quad (22-4)$$

که در آن:

T : درجه حرارت بر حسب کلوین،

A_1, A_2, A_3, A_4, A_5 : عبارات تحلیلی،

به عنوان مثال واکنش رسوب و تشکیل کانی کلسیت در محیط‌های آبی یک واکنش تعادلی است

(رابطه ۲۳-۴):



همچنین ثابت تعادل این واکنش به صورت ترمودینامیکی به دما وابسته است (رابطه ۲۴-۴):

¹ Van't Hoff

$$\log K = -8.539 - 0.001499T - 0.0001263T^2 + 4.477 \times 10^{-7}T^3 - 6.883 \times 10^{-10}T^4 \quad (24-4)$$

در رابطه ۲۴-۴، دما (T) بر حسب درجه سانتیگراد (°C) و ثابت تعادل واکنش مذکور به صورت زیر

بیان می‌شود:

$$K_{calcite} = a_{Ca^{2+}} a_{CO_3^{2-}} \quad (25-4)$$

در حالت کلی ثابت تعادل در واکنش‌های تشکیل رسوب با در نظر گرفتن قانون عمل جرم^۱ و این نکته که فعالیت یونی جامد خالص ۱ است ($a_i=1$) از رابطه زیر حاصل می‌شود (پارخوست و آپلو، ۱۹۹۹):

$$K_i = \prod_m^{Mag} a_m^{-c_{m,i}} \quad (26-4)$$

که در آن:

K_i : ثابت تعادل وابسته به دما،

$c_{m,i}$: ضریب استوکیومتری گونه اصلی m در گونه‌های آبپوش i ,

M_{aq} : کل تعداد گونه‌های اصلی آبپوش،

مقدار $c_{m,i}$ ممکن است مثبت یا منفی باشد که در نرم افزار PHEERQC، عبارت‌های بخش راست همه واکنش‌ها ضرایب منفی و عبارت‌های بخش چپ همه واکنش‌ها $c_{m,i}$ مثبت دارند. رابطه ۲۶-۴ را، حاصل ضرب فعالیت یونی محصول^۲ (IAP) می‌نامند. شاخص اشباع عبارت است از لگاریتم نسبت فعالیت یونی محصول به ثابت تعادل کانی در دمای مشخص، رابطه محاسبه شاخص اشباع در زیر آورده شده است:

$$SI = \log\left(\frac{IAP}{K}\right) \quad (27-4)$$

▪ اگر $SI > 0$ ، محلول در حالت فوق اشباع قرار داشته و کانی تمایل به تشکیل رسوب دارد.

▪ اگر $SI = 0$ ، کانی و محلول در حالت تعادل هستند.

¹ Mass action law

² Ion Activity Product (IAP)

- اگر $SI < 0$, محلول در حالت زیراشباع قرار داشته و کانی تمایل به حل شدن دارد.

به دلیل عدم قطعیت در ثابت‌های تحلیلی و ترمودینامیکی، آب و کانی با شاخص اشباع بین ۰/۱ - ۱/۰^۱ در حالت تعادل فرض می‌شوند (اسوانکر^۱ و هاتکینسون، ۱۹۹۲).

۴-۵-۱-۰-۴- محاسبه شاخص اشباع با استفاده از نرم‌افزار PHREEQC

نرم افزار PHREEQC، نسخه ۲ به زبان برنامه‌نویسی C و به منظور اجرای مجموعه وسیعی از محاسبات ژئوشیمیایی در فاز آبی و در درجه حرارت‌های پایین طراحی شده است. این برنامه توانایی

- محاسبات شاخص اشباع و تشخیص گونه،
- مدل‌سازی انتقال یک‌بعدی به همراه واکنش‌های درگیر در انتقال،
- مدل‌سازی معکوس^۲،

را دارد (پارخوست و آپلو، ۱۹۹۹). شاخص اشباع بر اساس برقراری تعادل ترمودینامیکی بین آب و کانی‌های انتخاب شده محاسبه شد. مقادیر شاخص‌های اشباع برخی از کانی‌ها، مربوط به نمونه‌های آبی منطقه مورد مطالعه در جدول ۷-۴ آورده شده است. با توجه به جدول ۷-۴ و شکل ۲۱-۴ نتایج

زیر حاصل شد:

- گیبسیت $(\text{Al}(\text{OH})_3)$ و آلونیت $(\text{KAl}_3(\text{SO}_4)_2(\text{OH})_6)$ در هیچ نمونه‌ای از منطقه در حالت فوق‌اشباع یافت نشد، که می‌تواند به علت پایین بودن غلظت آلومینیم باشد و شرایط محیطی نامناسب باشد. پس امکان هیدرولیز آلومینیم و تولید اسید در نتیجه واکنش (۱-۵) پایین است.
- کانی‌های پیرولوزیت^۳ (MnO_2) و منگانیت^۴ (MnOOH) حاصل از هیدرولیز منگنز مطابق رابطه ۲-۴ در اکثر نمونه‌های منطقه در حالت فوق‌اشباع قراردارند.

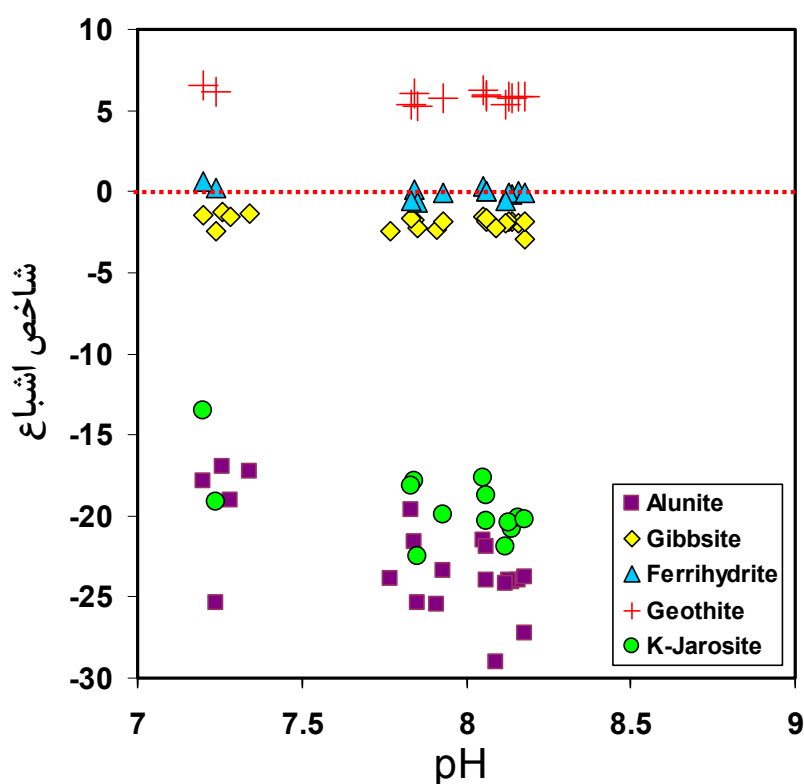
¹ Swancar

² Inverse modeling

³ Pyrolusite

⁴ Manganite

- کانی‌های فری‌هیدریت ($\text{Fe}(\text{OH})_3$) در بعضی از نمونه‌ها و گوئتیت^۱ (FeOOH) در تمامی نمونه‌های منطقه در حالت فوق اشباع قرار دارد. هیدرولیز آهن و تولید اسید مطابق واکنش ۴-۲ و تشکیل گوئتیت بر اساس واکنش ۶-۲ در آب‌های منطقه محتمل است.
- سولفات‌های آهن از جمله کانی ملانتریت ($\text{FeSO}_4 \cdot 7\text{H}_2\text{O}$) و کانی ژاروسیت پتابسیم‌دار^۲ ($\text{KFe}_3(\text{SO}_4)_2(\text{OH})_6$) در هیچ نمونه‌ای در حالت فوق اشباع نمی‌باشد.
- رسوبات و لجن‌های قرمز و پرتقالی رنگ که در مشاهدات صحرایی روئیت شد (شکل ۹-۳) در نتیجه تشکیل کانی‌های ثانویه هیدروکسید آهن و احتمالاً گوئتیت می‌باشد.



شکل ۲۲-۴. شاخص اشباع محاسبه شده در نمونه‌های آب منطقه در مقابل pH .

^۱ Goethite

^۲ K-Jarosite

جدول ۷-۴. شاخص اشباع محاسبه شده برخی از کانی‌ها در نمونه‌های آب رودخانه، زهاب‌ها و حوضچه‌های منطقه.

کانی	ترکیب شیمیایی	W1	W8	W9	W11	Leach	H1	H2	H3	A	B	C	I	J	P0	SPR
Albite	NaAlSi ₃ O ₈	-۶/۷۹	-۵/۵۴	-۶/۶۲	-۵/۶۲	-۶/۷۶	-۶/۱۹	-۶/۶۱	-	-۴/۵۸	-۴/۸۲	-۴/۶۷	-۵/۷۱	-۵/۲۷	-۶/۸۲	-۷/۹۴
Alunite	KAl ₃ (SO ₄) ₂ (OH) ₆	-۲۴/۰۶	-۲۱/۰۵	-۲۳/۳۵	-۲۱/۸۹	-۲۵/۳۱	-۲۱/۶۴	-۲۵/۳۳	-	-۱۷/۰۱	-۱۷/۸۲	-۱۷/۲۵	-۱۹/۶۴	-۱۹/۰۱	-۲۳/۸۶	-۲۹/۰۴
Anhydrite	CaSO ₄	-۱/۵۶	-۱/۵۴	-۱/۰۹	-۱/۴۸	-۰/۸	-۰/۷۳	-۱/۵۹	-۱/۳۹	-۰/۲۶	-۰/۲۸	-۰/۲۴	-۰/۲۹	-۰/۳۱	-۰/۶۳	-۳/۳۹
Calcite	CaCO ₃	۱/۳۵	۱	۱/۴۱	۱/۰۵	۱/۴۵	۱/۳۳	۱/۳۶	۰/۰۴	۱/۱۴	۰/۶۴	۰/۹۵	۱/۱۶	۱/۳۷	۱/۶۹	۱/۳۲
Chlorite	Mg ₅ Al ₂ Si ₃ O ₁₀ (OH) ₈	۲۴/۰۲	۲۲/۷۹	۲۵/۱۲	۲۱/۶۳	۲۶/۱	۲۳/۶۹	۲۶/۰۳	-	۲۱/۵۲	۲۲/۰۷	۲۱/۵۹	۲۳/۵	۲۲/۳۴	۲۴/۸۶	۲۰/۷۲
Chrysotile	Mg ₃ Si ₂ O ₅ (OH) ₄	۱۴/۶۳	۱۳/۶	۱۵/۳۲	۱۲/۹۷	۱۶/۵۸	۱۴/۳۳	۱۶/۲۷	۱۶/۶۲	۱۲/۵۵	۱۳/۰۵	۱۲/۶۶	۱۴/۱۸	۱۳/۹۳	۱۵/۸۲	۱۳/۰۲
Dolomite	CaMg(CO ₃) ₂	۲/۴۴	۲/۱۳	۲/۵۹	۱/۹۵	۲/۶۳	۲/۳۱	۲/۶۲	-۰/۲۸	۲/۳۲	۱/۳۲	۱/۹۲	۲/۲۹	۲/۷۳	۳/۲۸	۱/۹۹
Fe(OH)3	Fe(OH) ₃	۲۴/۰۲	۲۲/۷۹	۲۵/۱۲	۲۱/۶۳	۲۶/۱	۲۳/۶۹	۲۶/۰۳	-	۲۱/۵۲	۲۲/۰۷	۲۱/۵۹	۲۳/۵	۲۲/۳۴	۲۴/۸۶	-
Gibbsite	Al(OH) ₃	-۱/۸۷	-۱/۵۷	-۱/۸۹	-۱/۶۳	-۲/۴۷	-۱/۷۶	-۲/۲۲	-	-۱/۲۵	-۱/۴۱	-۱/۳۱	-۱/۶۹	-۱/۵۴	-۲/۴۳	-۲/۲
Goethite	FeOOH	۰/۷۱	۶/۲۳	۰/۷۷	۰/۹۲	۶/۱	۶/۰۲	۰/۲۴	-	-	۶/۵۳	-	۰/۳۲	-	-	-
Gypsum	CaSO ₄ ·2H ₂ O	-۱/۳۴	-۱/۳۲	-۰/۸۷	-۱/۲۸	-۰/۵۸	-۰/۵۱	-۱/۳۷	-۱/۱۷	-۰/۰۴	-۰/۰۶	-۰/۰۲	-۰/۰۷	-۰/۰۹	-۰/۴۱	-۳/۱۷
Halite	NaCl	-۷/۶۹	-۷/۳۵	-۷/۵۲	-۷/۴۴	-۶/۵۸	-۷/۴۱	-۷/۵۶	-۷/۵۴	-۷/۲۵	-۷/۱۷	-۷/۲۹	-۷/۲۲	-۷/۱۶	-۷/۲۴	-۸/۳
Hausmannite	Mn ₃ O ₄	۱۶/۶۸	۱۴/۱۱	۱۷/۸۴	۱۵/۱۸	۲۱/۹۵	۱۵/۴۶	۱۶/۹۶	۲۱/۲۳	۱۲/۳۳	۱۳/۶۸	۱۲/۲۳	۱۵/۹	۱۵/۲۷	۱۷/۶۸	۱۰/۶۴
Hematite	Fe ₂ O ₃	۱۳/۴۳	۱۴/۴۷	۱۳/۰۴	۱۳/۸۰	۱۴/۲۱	۱۴/۰۵	۱۲/۴۹	-	-	۱۵/۰۷	-	۱۲/۶۵	-	-	-
K-Jarosite	KFe ₃ (SO ₄) ₂ (OH) ₆	-۲۰/۱۸	-۱۷/۶۷	-۱۹/۹	-۱۸/۷۵	-۱۹/۱۱	-۱۷/۸۲	-۲۲/۴۶	-	-	-۱۳/۵۴	-	-۱۸/۱۳	-	-	۲/۸۳
Kaolinite	Al ₂ Si ₂ O ₅ (OH) ₄	-۶/۱۵	-۴/۹۳	-۶/۱۶	-۵/۱۴	-۷/۵۸	-۵/۶۴	-۶/۷۱	-	-۲/۳۴	-۳/۸۴	-۳/۴۵	-۴/۹۹	-۴/۴۸	-۷/۰۸	-۷/۰۴
Manganite	MnOOH	۰/۶۶	۴/۹۳	۶/۰۵	۰/۰۷	۷/۵۱	۰/۱۹	۰/۸۱	۷/۲۷	۳/۸۹	۴/۳۸	۳/۸۶	۰/۲۲	۴/۹۹	۰/۹۷	۳/۶۳
Melanterite	FeSO ₄ ·7H ₂ O	-۲۰/۹۸	-۱۹/۲	-۲۰/۶۷	-۱۹/۶	-۲۰/۸۵	-۱۹/۵۷	-۲۲	-	-	-۱۶/۷۶	-	-۱۸/۹۴	-	-	-
Pyrochroite	Mn(OH) ₂	۰/۰۲	۰/۱	۰/۸۹	۰/۱۹	۲/۰۹	۰/۲۳	۰/۵	۱/۱۴	-۰/۳	۰/۰۷	-۰/۳۴	۰/۶	۰/۴۴	۰/۸۸	-۱/۴۷
Pyrolusite	MnO ₂	۴/۸۹	۳/۸۷	۵/۳۲	۴/۰۵	۷/۰۳	۴/۲۶	۵/۲۱	۶/۸	۲/۱۷	۲/۷۸	۲/۱۶	۳/۹۴	۳/۶۳	۵/۱۷	۲/۸۳
Sepiolite	Mg ₂ Si ₃ O ₇ ·5OH·3H ₂ O	۶/۱۲	۵/۹۶	۶/۶۱	۵/۴۷	۷/۲۴	۶/۱۷	۷/۲۵	۷/۳۴	۶/۰۶	۶/۲۳	۶/۱۳	۶/۴۹	۶/۵۱	۷/۰۸	۴/۸۷
Talc	Mg ₃ Si ₄ O ₁₀ (OH) ₂	۱۴/۲۲	۱۳/۸۳	۱۴/۹۵	۱۳/۱۱	۱۵/۹۵	۱۴/۲۳	۱۶/۰۳	۱۶/۰۸	۱۳/۷۳	۱۴/۰۴	۱۳/۸۴	۱۴/۸۵	۱۴/۰۵	۱۵/۶۲	۱۲/۴

فصل پنجم

اثرات زیست محیطی کارخانه

انجیرتنگه زیرآب بر رسوبات

منطقه

۱-۵ - مقدمه

رسوبات سطحی موجود در محیط‌های آبی شاخصه‌های حساسی برای شناسایی آلودگی‌ها در محیط‌های آبی به شمار می‌آیند. مطالعات بسیاری بر روی رسوبات محیط‌های مختلف آبی مانند خلیج‌ها (پکی^۱ و همکاران، ۲۰۰۴؛ کریستوفریدیس^۲ و همکاران، ۲۰۰۹)، دلتاهای نواحی ساحلی (بالز^۳، ۱۹۹۷؛ گارسیا و همکاران، ۲۰۱۰)، دریاهای (ژو^۴ و همکاران، ۲۰۱۰) و رودخانه‌ها (موریو^۵ و همکاران، ۲۰۰۲؛ سوتھار و همکاران^۶، ۲۰۰۹؛ هونگی^۷ و همکاران، ۲۰۰۹) انجام گرفته است. انباست عناصر کمیاب در رسوبات محیط‌های آبی انباسته می‌شوند که عبارتند از: خروج فاضلاب‌ها، روان آب‌هایی^۸ که خاک را می‌شویند، بارش‌های جوی و شیرابه‌هایی که مواد شیمیایی منشاء گرفته از فعالیت‌های شهری، صنعتی و یا کشاورزی را حمل می‌کنند (سالمونز^۹ و فرستنر، ۱۹۸۴؛ ریویل داسیلو^{۱۰} و همکاران، ۱۹۹۶؛ کاراجئرجیس^{۱۱} و همکاران، ۲۰۰۲). زهاب اسیدی مهم‌ترین مسئله زیست محیطی مرتبط با فعالیت‌های معدن‌کاری ذغال بوده و به دلیل پایین بودن pH در زهاب اسیدی، سنگ‌های در مسیر جریان زهاب حل شده و فلزات موجود در آن‌ها شسته و به محیط‌های آبی وارد می‌شوند. (تاباکسیلات^{۱۲}، ۲۰۰۲). حضور فلزات، اثرات منفی بر محیط آبی و گیاهان موجود در محدوده فعالیت‌های معدنی دارد (چری و همکاران، ۲۰۰۱). اندازه دانه‌های رسویکی از عامل‌های کنترل کننده غلظت عنصر موجود در رسویکی باشد (اسزفزو^{۱۳} همکاران، ۱۹۹۶). رسوبات دانه‌ریز به علت داشتن سطح موثر بیشتر، جذب سطحی و جذب یونی، غلظت بالاتری از عنصر کمیاب دارند.

¹ Pekey² Christophoridis³ Balls⁴ Zhu⁵ Morillo⁶ Suthar⁷ Hongyi⁸ Runoff⁹ Salomons¹⁰ Rivail Da Silva¹¹ Karageorgis¹² Tabaksblat¹³ Szefer

(مک کیو^۱، ۱۹۸۴؛ هورویتز^۲ و الیک، ۱۹۸۷). رسوبات به لحاظ ساختاری، فوق العاده هتروژن بوده و انتخاب دانه‌بندی مناسب برای آنالیز عناصر موجود در رسوب اولین مسئله می‌باشد. رسوبات با اندازه دانه‌های کمتر از ۶۳ میکرومتر ($63\text{ }\mu\text{m}$)^۳، رسوبات با ابعاد کمتر از ۱۵۰ میکرومتر ($150\text{ }\mu\text{m}$)^۴، رسوبات با ابعاد دانه‌های کمتر از ۲ میلیمتر (mm)^۲) و یا کل رسوب برای تعیین غلظت عناصر موجود در آن‌ها آنالیز شده‌اند (روئیز^۳، ۲۰۰۱؛ پکی و همکاران، ۲۰۰۴). از آنجایی که انتقال مواد به شکل معلق^۴، مهم‌ترین سیستم انتقال رسوبات است که هم ارز با ابعاد کمتر از ۶۳ میکرومتر است، برای غلبه بر اثر دانه‌بندی در مقدار فلز محتوی رسوب، بهتر است تنها عناصر این محدوده از دانه‌بندی آنالیز شوند (سالمونز و فرستنر، ۱۹۸۴).

۲-۵- غلظت عناصر در رسوبات رودخانه‌ای منطقه

غلظت عناصر موجود در رسوبات رودخانه دلیل از بالادست تا پایین‌دست کارخانه ذغال‌شوی مطابق جدول ۱-۵ می‌باشد. توزیع عناصر در فاز رسوب، در طول رودخانه و بر حسب فواصل بین نقاط نمونه‌برداری از نقطه S1 (مبدأ) تا نقطه S10 در شکل ۱-۵ نشان داده شده است. همچنین توزیع غلظت عناصر موجود در نمونه‌های آب که از همان نقاط رسوبات برداشت شده‌اند نیز بر حسب فاصله در طول رودخانه در شکل ۲-۵ مشاهده می‌شود. نمونه آب W7 در نمودار آورده نشده است، زیرا نمونه رسوب برای این نقطه موجود نبود و از طرفی دو نمونه آب W8 و W9 با فواصل خیلی کمی از یکدیگر برداشت شده‌اند که نمونه رسوب S8 متناظر با آن‌ها می‌باشد. با مقایسه شکل‌های ۱-۵ و ۲-۵ مشاهده می‌شود که غلظت فلزات در فاز رسوب (بر حسب ppm) بسیار بیشتر از غلظت فلزات متناظر در فاز محلول در آب (بر حسب ppb) است. در حالت کلی غلظت عناصر در رسوبات بیشتر از آب بالای رسوب است. عناصر به دو صورت محلول در آب و نیز توسط ذرات ریز معلق در آب منتقل می‌شوند. ذرات ریز معلق حاوی فلزات بیشتر در محدوده کف رودخانه قرار داشته که در نمونه‌برداری

¹ McCave

² Horowitz

³ Ruiz

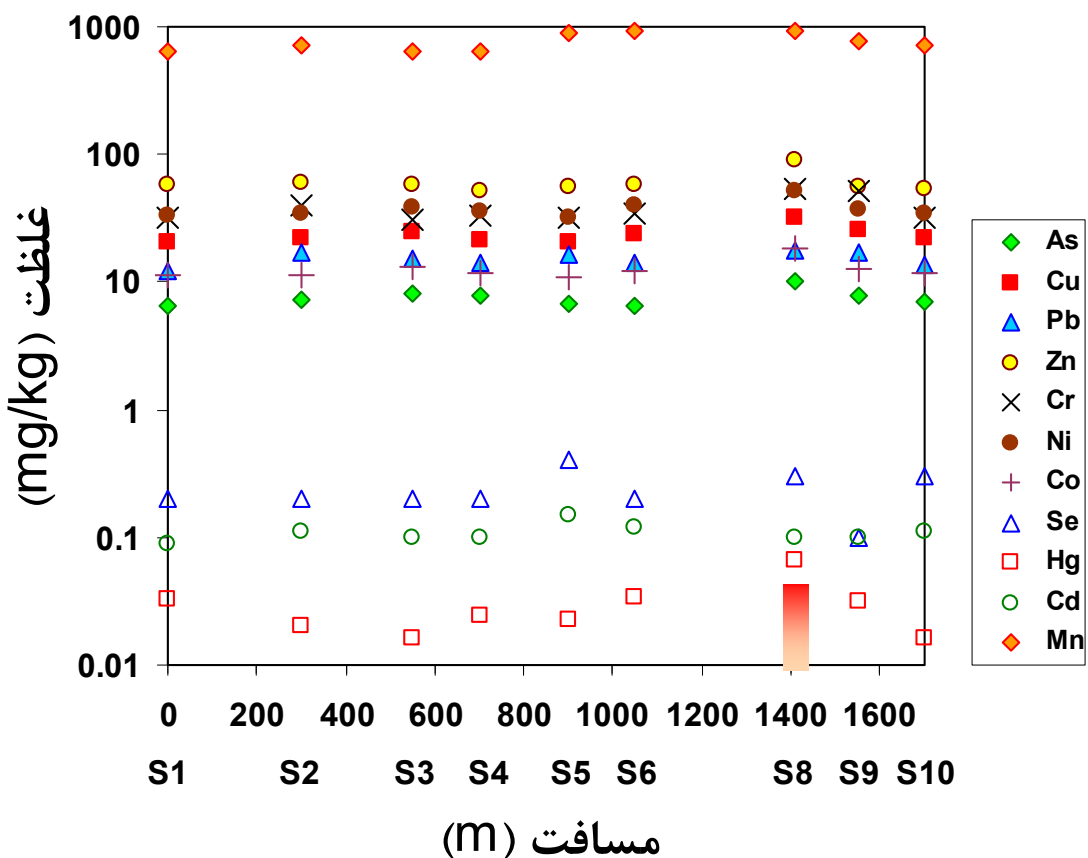
⁴ Suspension

جدول ۵-۵. غلظت عناصر موجود در رسوبات رودخانه دلیلم در مجاورت کارخانه ذغالشویی انجیرتنگه و مقایسه با غلظت زمینه محلی و جهانی عناصر.

	Al	As	Cd	Co	Cr	Cu	Fe	Hg	Mn	Mo	Ni	Pb	Se	Sc	Zn
S1	۸۲۰۰	۶/۶	۰/۰۹	۱۱/۵	۳۲/۵	۲۰/۲۳	۲۹۴۰۰	۰/۰۳۳	۶۴۳	۰/۹۹	۳۲/۷	۱۲/۳۲	۰/۲	۲/۹	۵۸/۲
S2	۸۷۰۰	۷/۳	۰/۱۱	۱۱/۳	۳۹/۷	۲۱/۷۳	۳۱۸۰۰	۰/۰۲	۷۰۶	۱/۴۲	۳۴	۱۶/۸۵	۰/۲	۲/۱	۵۹/۳
S3	۱۰۰۰۰	۸/۱	۰/۱	۱۳/۳	۳۰/۵	۲۴/۳۷	۲۷۴۰۰	۰/۰۱۶	۶۴۲	۰/۶۲	۳۸/۹	۱۵/۲۲	۰/۲	۲/۳	۵۷/۷
S4	۸۶۰۰	۷/۸	۰/۱	۱۱/۸	۳۳/۵	۲۱/۳۸	۲۷۱۰۰	۰/۰۲۴	۶۳۳	۱/۱۷	۳۵/۲	۱۴/۳۳	۰/۲	۲/۱	۵۱/۵
S5	۷۸۰۰	۶/۷	۰/۱۵	۱۱	۳۲/۲	۲۰/۷۶	۳۵۵۰۰	۰/۰۲۳	۸۸۴	۱/۲۴	۳۲/۳	۱۶/۱۴	۰/۴	۲/۳	۵۶/۳
S6	۱۰۱۰۰	۶/۶	۰/۱۲	۱۲/۲	۳۳/۹	۲۲/۹۴	۴۰۸۰۰	۰/۰۳۴	۹۱۹	۰/۹	۴۰/۴	۱۴/۱۶	۰/۲	۲/۶	۵۷/۲
S8	۱۴۵۰۰	۱۰/۲	۰/۱	۱۸/۵	۵۳	۲۲/۳۹	۴۴۲۰۰	۰/۰۶۵	۹۲۷	۱/۴۷	۵۲/۲	۱۷/۴۱	۰/۳	۲/۳	۹۱/۶
S9	۱۰۱۰۰	۷/۷	۰/۱	۱۲/۶	۵۰/۹	۲۵/۳۹	۳۱۹۰۰	۰/۰۳۲	۷۶۱	۱/۸۵	۳۷/۷	۱۷/۲۸	۰/۱	۲/۱	۵۵/۵
S10	۹۳۰۰	۷/۱	۰/۱۱	۱۱/۶	۳۱/۸	۲۲/۴۸	۳۰۷۰۰	۰/۰۱۶	۷۰۴	۰/۶	۳۴/۸	۱۳/۶۸	۰/۳	۲/۳	۵۴/۶
Min	۸۲۰۰	۶/۶	۰/۰۹	۱۱	۳۰/۵	۲۰/۲۳	۲۷۱۰۰	۰/۰۱۶	۶۳۳	۰/۶	۳۲/۳	۱۲/۳۲	۰/۱	۲/۹	۵۱/۵
Mean	۹۷۰۰	۷/۵۶	۰/۱۰۸	۱۲/۶۴	۳۷/۵	۲۲/۶۳	۳۳۲۰۰	۰/۰۲۹	۷۸۸/۳۳	۱/۱۴	۳۷/۵۷	۱۵/۲۶	۰/۲۳	۳/۲۲	۶۰/۲۱
Max	۱۴۵۰۰	۱۰/۲	۰/۱۵	۱۸/۵	۵۳	۲۲/۳۹	۴۴۲۰۰	۰/۰۶۵	۹۲۷	۱/۸۵	۵۲/۲	۱۷/۴۱	۰/۴	۳/۶	۹۱/۶
S.d	۱۹۸۹/۹	۱/۱۲	۰/۰۱۷	۲/۳	۸/۵۷	۳/۷۱	۵۹۰۸	۰/۰۱۵	۱۲۳/۸۴	۰/۴	۶/۱۳	۱/۷۷	۰/۰۸۶	۰/۱۹۸	۱۱/۹۹
زمینه محلی رسوبات منطقه	۷۵۵۶	۶/۳۷۱	۰/۰۹	۱۱۸۵	۲۸/۲۱	۱۶۸۹	۲۶۸۵۷	۰/۰۱۱	۶۲۷/۶	۰/۶۶۱	۱/۰۵۱	۱۳۹۶	۰/۱۳۲	۳/۰۱۸	۳۸۱
Taylor and McLennan	۸۰۴۰۰	-	۰/۰۹۸	-	۳۵	۲۵	-	-	۶۰۰	-	۲۰	۲۰	-	۱۱	۷۱
Rudnick and Gao	۱۵۴۰۰	۴/۸	۰/۰۹	۱۷/۳	۹۲	۲۸	۵۰۴۰۰	۰/۰۵	۱۰۰۰	۱/۱	۴۷	۱۷	۰/۰۹	۱۴	۶۷
Turekian and Wedepohl	۸۰۰۰۰	-	۰/۱۳	۱۹	۹۰	۴۵	۴۷۲۰۰	-	۸۵۰	۲/۶	۶۸	۲۰	۰/۵	۱۳	۹۵

غلظت همه عناصر بر حسب mg/kg می باشد.

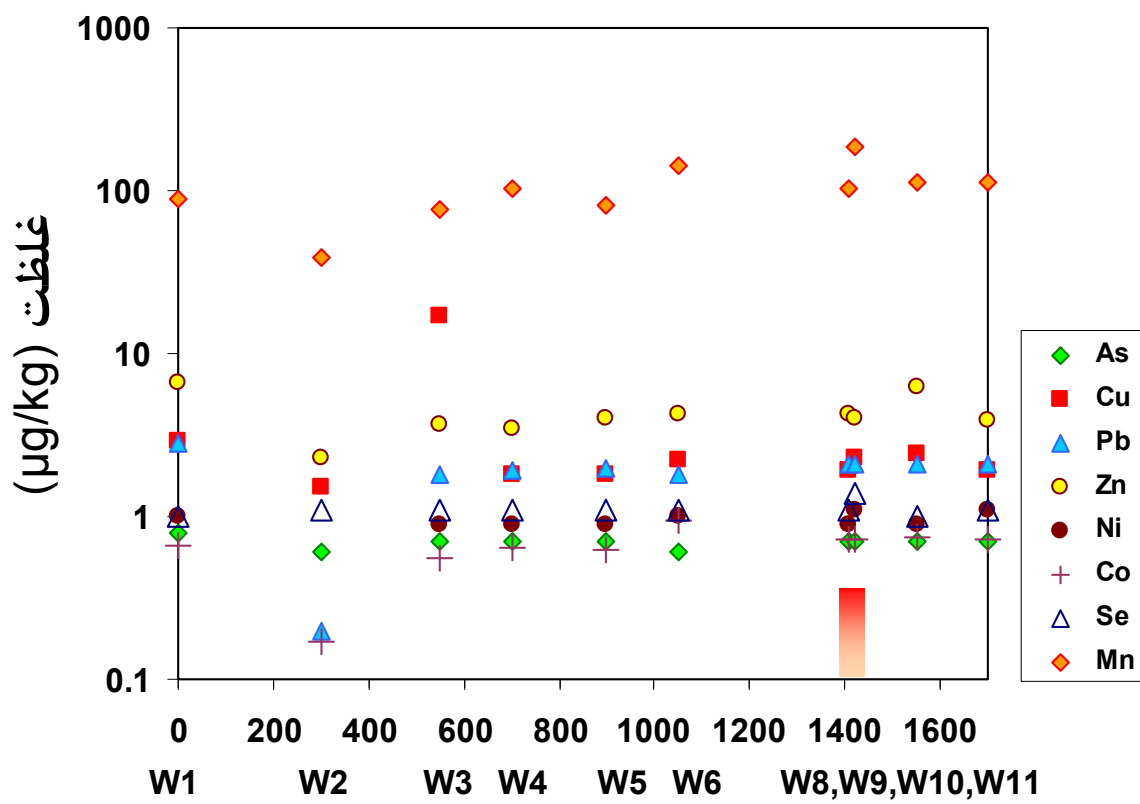
- مقادیر غلظت یافت نشد.



شکل ۵. تغییرات غلظت عناصر نمونه‌های رسوب بر حسب فواصل نمونه‌برداری در طول رودخانه دلیل از بالادست (چپ) تا پایین دست کارخانه (راست).

همراه با رسوب کف رودخانه برداشت می‌شوند. ذرات ریز معلق حاوی فلزات در کف رودخانه به مرور چگال‌تر شده و وقتی جریان رودخانه توانایی شناورسازی آن‌ها را نداشته باشد، تهشین و در رسوبات کف رودخانه ذخیره می‌شوند (گاربارینو^۱ و همکاران، ۱۹۹۵). غلظت آلومینیم در نمونه‌های رسوب از ۸۲۰۰ mg/kg در نمونه S1 تا بیشترین مقدار ۱۴۵۰۰ mg/kg در نمونه S8 تغییر می‌کند. غلظت آلومینیم در محیط‌های آبی احتمالاً ناشی از هوازدگی کانی‌های آلومینوسیلیکاته می‌باشد. غلظت آرسنیک از ۶/۶ mg/kg در نقطه S1 تا ۱۰/۲ mg/kg در نقطه S8 متغیر است. میزان غلظت آرسنیک در فاز آب و رسوب می‌تواند در نتیجه هوازدگی کانی‌های آرسنیک دار مانند آرسنوفیریت باشد. کادمیم از ۰/۰۹ mg/kg در نقطه S1 تا بیشترین مقدار ۰/۱۵ mg/kg در نقطه S5 تغییر می‌نماید. در رسوبات رودخانه، بیشترین غلظت عناصر کبات (۱۸/۵ mg/kg)، کروم (۵۳ mg/kg)، مس

¹ Garbarino



شکل ۵-۲. تغییرات غلظت عناصر نمونه‌های آب بر حسب فواصل نمونه‌برداری در طول رودخانه دلیل از بالادست (چپ) تا پایین‌دست کارخانه (راست).

آهن ($32/39 \text{ mg/kg}$)، منگنز (927 mg/kg ، 44200 mg/kg)، جیوه ($40/065 \text{ mg/kg}$)، سرب ($52/2 \text{ mg/kg}$)، روی ($17/41 \text{ mg/kg}$) و روی ($91/6 \text{ mg/kg}$) در نقطه S8 مشاهده شد (شکل ۱-۶). ورود زهاب قلیایی معدن ناشی از اکسایش پیریت در نزدیکی نقطه S8 به رودخانه که حاوی غلظت‌های بالای عناصر می‌باشد، علت افزایش غلظت عناصر فوق در این نقطه است.

۳-۵- عامل آلودگی^۱ و درجه آلودگی^۲

برای تعیین میزان آلودگی عناصر سنگین در رسوبات از عامل آلودگی استفاده می‌شود. این عامل از تقسیم غلظت عنصر در نمونه رسوب سطحی اندازه‌گیری شده به غلظت آن در نمونه زمینه حاصل می‌شود (هاکانسون^۳، ۱۹۸۰).

¹ Contamination Factor

² Degree of Contamination

³ Håkanson

$$C_f^i = \frac{\bar{C}_{0-1}^i}{C_n^i} \quad (1-5)$$

که در آن:

C_f^i : بیانگر عامل آلودگی،

C_{0-1}^i : غلظت میانگین عنصر در رسوب سطحی (۰ تا ۱ سانتیمتری)،

C_n^i : غلظت عنصر i در زمینه،

عامل آلودگی بیانگر میزان آلودگی رسوبات به عناصر سنگین نسبت به حد زمینه آن می‌باشد. میزان

عامل آلودگی هر نمونه به صورت زیر توضیح داده می‌شود (هاکانسون، ۱۹۸۰).

▪ $1 < C_f^i$, عامل آلودگی پایین،

▪ $1 \leq C_f^i < 3$, عامل آلودگی متوسط،

▪ $3 \leq C_f^i < 6$, عامل آلودگی قابل توجه،

▪ $C_f^i \geq 6$, عامل آلودگی بسیار بالا،

از مجموع عوامل آلودگی عناصر برای هر نمونه، درجه آلودگی در نمونه به دست می‌آید (هاکانسون،

.۱۹۸۰)

$$C_d = \sum_{i=1}^n C_f^i = \sum_{i=1}^n \frac{\bar{C}_{0-1}^i}{C_n^i} \quad (2-5)$$

که در آن:

C_f^i : عامل آلودگی عنصر i در هر نمونه،

n : تعداد عناصر اندازه‌گیری شده در هر نمونه از رسوبات،

درجه آلودگی هر نمونه به صورت زیر دسته‌بندی می‌شود (هاکانسون، ۱۹۸۰):

▪ $C_d < 7$, درجه آلودگی پایین،

▪ $7 \leq C_d < 14$, درجه آلودگی متوسط،

▪ $14 \leq C_d < 28$, درجه آلودگی قابل توجه،

$C_d \geq 28$ درجه آلودگی بسیار بالا

مقادیر زمینه، عامل آلودگی هر عنصر و درجه آلودگی محاسبه شده هر نمونه در جدول ۲-۵ آورده شده است. در محاسبه این عوامل غلظت زمینه عناصر بر حسب mg/kg عبارت است از (رادنیک و Hg=۰/۰۵، Ni=۴۷، Co=۱۷/۳، Cr=۹۲، Cd=۰/۰۹، Pb=۱۷، Zn=۶۷، Cu=۲۸؛ (۲۰۰۳)،^۱ Fe=۵۰۴۰۰، Al=۱۵۴۰۰، Mo=۱/۱، Se=۰/۰۹، Mn=۱۰۰۰، As=۴/۸، Sn=۲/۱، Sb=۰/۴ Ti=۶۴۰۰. با توجه به جدول ۲-۵، برای عناصر Al، Sb، Ti، Mn، Fe، Sn و Cr عامل آلودگی در تمام نمونه‌ها پایین است (شکل ۳-۵، ج و د). در همه نمونه‌های رسوب عامل آلودگی برای عناصر Cd و As متوسط است (شکل ۳-۵، الف). عامل آلودگی برای عنصر Cd در محدوده کمترین مقدار $C_f = 1$ در نمونه S1 تا بیشترین مقدار $C_f = 1/۶۶$ متغیر است. عامل آلودگی برای عنصر As در محدوده کمترین مقدار $C_f = 1/۳۷۵$ در نمونه S1 تا بیشترین مقدار $C_f = ۲/۱۲$ در نمونه S8 متغیر است. بیشترین عامل آلودگی عناصر سرب با $C_f = ۱/۰۲۴$ ، روی با $C_f = ۱/۳۶$ ، مس با $C_f = ۱/۱۵$ ، جیوه با $C_f = ۱/۱۱$ ، نیکل با $C_f = ۱/۰۶۹$ ، کبات با $C_f = ۱/۰۲۴$ ، برای نمونه رسوب نزدیک به محل تخلیه شیرابه دمپ به رودخانه (S8) محاسبه شد (شکل ۳-۵، ب و ج). عناصر کبات، مس، جیوه، نیکل و روی تنها در نمونه S8 عامل آلودگی متوسط داشته و در سایر نمونه‌ها عامل آلودگی این عناصر پایین است. عنصر سرب (Pb) در دو نمونه رسوب S8 و S9 عامل آلودگی متوسط، به ترتیب $C_f = ۱/۰۲۴$ و $C_f = ۱/۰۱۶$ و در سایر نمونه‌ها عامل آلودگی پایین دارند. عنصر مولیبدن عامل آلودگی متغیری داشته و در نمونه‌های S2، S5، S4، S8 و S9 عامل آلودگی متوسط و در سایر نمونه‌ها عامل آلودگی پایین دارد. بیشترین عامل آلودگی Mo در نمونه S8 با مقدار $C_f = ۱/۶۸$ است (شکل ۳-۵، الف). عنصر سلنیم (Se) در نمونه‌های S5، S8 و S10 به ترتیب با داشتن مقادیر $C_f = ۴/۴۴$ ، $C_f = ۳/۳۳$ و $C_f = ۳/۳۳$ عوامل آلودگی قابل توجه دارد. بیشترین عامل آلودگی در بین همه عناصر و در تمامی نمونه‌های رسوب متعلق به عنصر سلنیم و در نمونه S5 با مقدار $C_f = ۴/۴۴$ می‌باشد (شکل ۳-۵، الف).

^۱ Rudnick

جدول ۵-۲. عامل آلودگی، درجه آلودگی و شاخص بار آلودگی رسوبات رودخانه دلیلم در مجاورت کارخانه ذغالشویی.

	Al	As	Cd	Co	Cr	Cu	Fe	Hg	Mn	Mo	Ni	Pb	Sb	Se	Sn	Ti	Zn	C _d	PLI
زمینه (mg/Kg)	۱۵۴۰۰	۴/۸	۰/۰۹	۱۷/۳	۹۲	۲۸	۵۰۴۰۰	۰/۰۵	۱۰۰۰	۱/۱	۴۷	۱۷	۰/۴	۰/۰۹	۲/۱	۶۴۰۰	۶۷	-	-
S1	۰/۰۵۳	۱/۳۷	۱	۰/۶۶	۰/۳۵	۰/۷۲	۰/۵۸	۰/۶۶	۰/۶۴	۰/۹	۰/۶۹	۰/۷۲	۰/۳۲	۲/۲۲	۰/۱۴	۰/۰۲	۰/۸۶	۱۱/۹	۰/۹
S2	۰/۰۵۶	۱/۵۲	۱/۲۲	۰/۶۵	۰/۴۳	۰/۷۷	۰/۶۳	۰/۴	۰/۷	۱/۲۹	۰/۷۲	۰/۹۹	۰/۴	۲/۲۲	۰/۲۳	۰/۰۲	۰/۸۸	۱۳/۱	۰/۹۶
S3	۰/۰۶۴	۱/۶۸	۱/۱۱	۰/۷۶	۰/۳۳	۰/۸۷	۰/۵۴	۰/۳۲	۰/۶۴	۰/۵۶	۰/۸۲	۰/۸۹	۰/۲۵	۲/۲۲	۰/۱۹	۰/۰۱	۰/۸۶	۱۲/۱	۰/۸۹
S4	۰/۰۵۵	۱/۶۲	۱/۱۱	۰/۶۸	۰/۳۶	۰/۷۶	۰/۵۳	۰/۴۸	۰/۶۳	۱/۰۶	۰/۷۴	۰/۸۴	۰/۳	۲/۲۲	۰/۱۹	۰/۰۱	۰/۷۶	۱۲/۴	۰/۹۳
S5	۰/۰۵	۱/۳۹	۱/۶۶	۰/۶۳	۰/۳۵	۰/۷۴	۰/۷	۰/۴۶	۰/۸۸	۱/۱۲	۰/۶۸	۰/۹۴	۰/۴	۴/۴۴	۰/۱۹	۰/۰۲	۰/۸۴	۱۵/۵	۱
S6	۰/۰۶۵	۱/۳۷	۱/۳۳	۰/۷	۰/۳۶	۰/۸۵	۰/۸	۰/۶۸	۰/۹۱	۰/۸۱	۰/۸۵	۰/۸۳	۰/۴۲	۲/۲۲	۰/۲۳	۰/۰۳	۰/۸۵	۱۳/۳	۰/۹۸
S8	۰/۰۹۴	۲/۱۲	۱/۱۱	۱/۰۶	۰/۵۷	۱/۱۵	۰/۸۷	۱/۳	۰/۹۲	۱/۳۳	۱/۱۱	۱/۰۲	۰/۴	۳/۳۳	۰/۲۳	۰/۰۱	۱/۳۶	۱۸	۱/۳
S9	۰/۰۶۵	۱/۶	۱/۱۱	۰/۷۲	۰/۵۵	۰/۹	۰/۶۳	۰/۶۴	۰/۷۶	۱/۶۸	۰/۸	۱/۰۱	۰/۳۷	۱/۱۱	۰/۲۳	۰/۰۲	۰/۸۲	۱۳	۰/۹۹
S10	۰/۰۶	۱/۴۷	۱/۲۲	۰/۶۷	۰/۳۴	۰/۸	۰/۶	۰/۳۲	۰/۷	۰/۵۴	۰/۷۴	۰/۸	۰/۳۵	۳/۳۳	۰/۱۹	۰/۰۲	۰/۸۱	۱۳	۰/۸۷

برای عناصر Zn، Ti، Sn، Se، Sb، Pb، Ni، Mo، Mn، Hg، Fe، Cu، Cr، Co، Cd، As، Al نمونه‌های S1 با درجه آلودگی $C_d = 12/4$ ، S3 با $C_d = 12/16$ ، S2 با $C_d = 13/17$ ، S4 با $C_d = 11/95$ ، S6 با $C_d = 13/39$ ، S9 با $C_d = 13/07$ و S10 با $C_d = 13/01$ درجه آلودگی متوسط دارند. نمونه‌های S5 با $C_d = 15/55$ و S8 با $C_d = 18/05$ درجه آلودگی قابل توجه دارند (شکل ۳-۵). بیشترین درجه آلودگی متعلق به نمونه S8 بوده و نمونه‌ای با درجه آلودگی بسیار بالا موجود نیست. همچنین درجه آلودگی پایین در این محدوده از رسوبات رودخانه مشاهده نشد که می‌تواند دلیلی بر وجود عامل آلودگی دیگری در بالادست رودخانه باشد. با افزایش درجه آلودگی از S1 تا S8 به خوبی می‌توان محل ورود شیرابه دمپ (Leach) به رودخانه در نقطه S8 را تشخیص داد (شکل ۳-۵).

۴-۵- شاخص بارآلودگی^۱

شاخص بارآلودگی، میانگین هندسی عوامل آلودگی است که با استفاده از رابطه ۳-۵ محاسبه می‌شود (تاملینسن^۲ و همکاران، ۱۹۸۰).

$$PLI = \sqrt[n]{CF_1 \times CF_2 \times CF_3 \times \cdots \times CF_n} \quad (3-5)$$

که در آن:

CF_i ضریب آلودگی عناصر سنگین در هر نمونه i

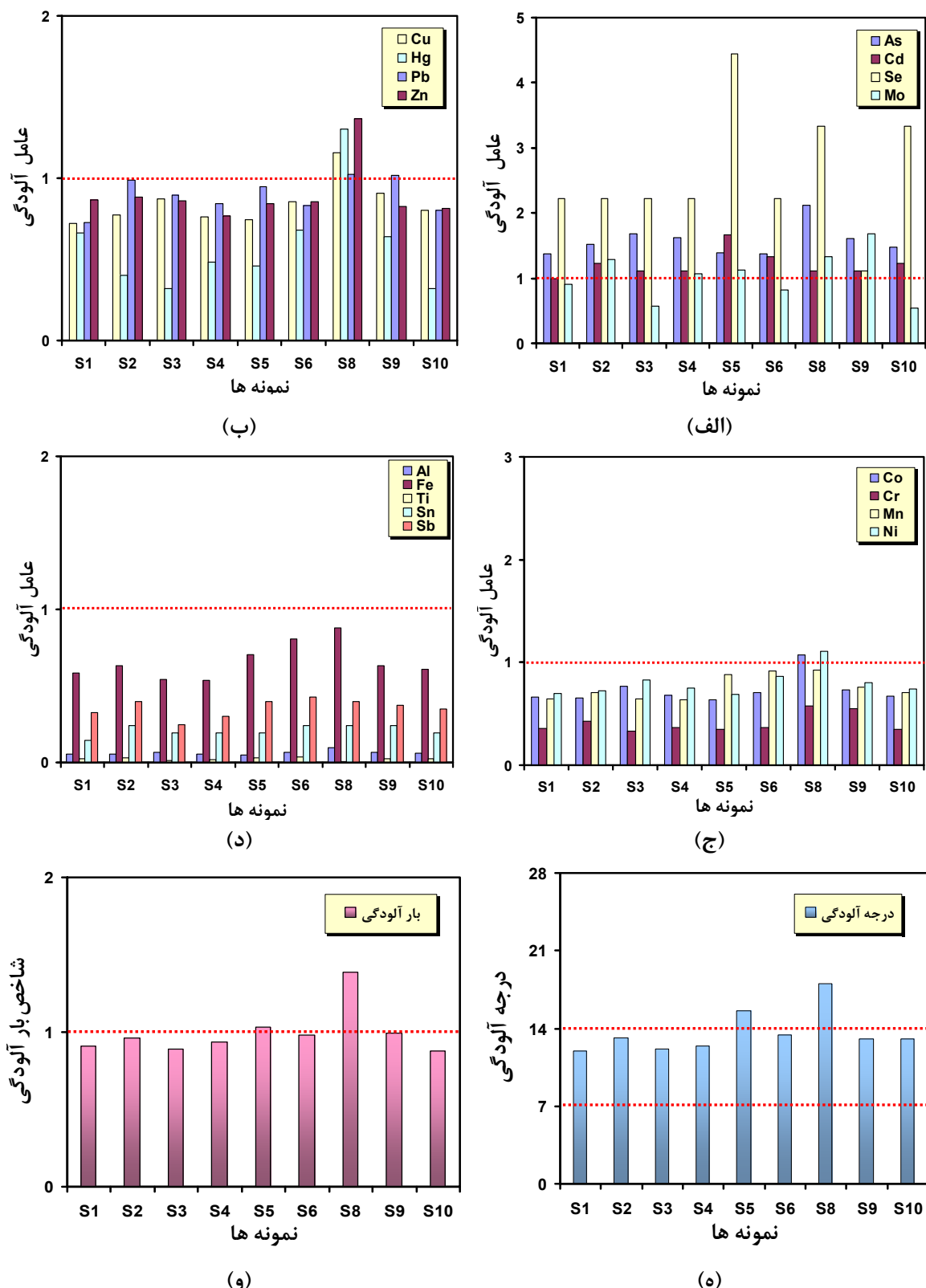
n : تعداد عناصر اندازه‌گیری شده در هر نمونه i از رسوبات

اگر شاخص بارآلودگی (PLI) کمتر از یک باشد، غلظت عناصر موجود در رسوب نزدیک به غلظت زمینه است و اگر غلظت عناصر بیشتر از غلظت زمینه باشد رسوب آلوده به عناصر و شاخص بارآلودگی بیش از یک است (آدماكو^۳ و همکاران، ۲۰۰۸). پس از محاسبه عامل آلودگی برای عناصر سنگین، می‌توان میزان بارآلودگی را برای عناصر آلوده کننده به دست آورد.

¹ Pollution Load Index

² Tomlinson

³ Adomako



شکل ۳-۵. (الف) مقادیر عامل آلودگی عناصر As, Cd, Se, Mn, Cr, Co, Hg, Pb, Cu, Zn و (ب) مقادیر عامل آلودگی عناصر As, Cd, Se, Mo، (ج) مقادیر عامل آلودگی عناصر Co, Cr, Mn, Ni و (د) مقادیر عامل آلودگی عناصر Al, Fe, Ti, Sn, Sb و (ه) مقادیر درجه آلودگی رسوبات رودخانه در منطقه، (و) شاخص بار آلودگی برای رسوبات رودخانه دلیل در مجاورت کارخانه.

بر اساس عامل آلودگی (CF)، نمونه‌ها برای عناصر As، Se، Cd، Hg، Ni، Co، Mo و Pb، Zn مطابق جدول ۲-۵ محاسبه شده است. بیشترین مقادیر شاخص بار آلودگی در رسوبات رودخانه دلیل در مجاورت کارخانه ذغال‌شویی برای عناصر As، Se، Cd، Hg، Ni، Co، Mo و Pb، Zn به ترتیب در نمونه S8 با مقدار شاخص بار آلودگی $PLI = 1/0^3$ و نمونه S5 با مقدار $PLI = 1/0^3$ می‌باشد (شکل ۳-۵، الف تا د). شاخص بار آلودگی (PLI) برای این عناصر در نمونه‌های منطقه آلوده هستند (شکل ۳-۵، الف تا د).

در مجاورت کارخانه ذغال‌شویی برای عناصر As، Se، Cd، Hg، Ni، Co، Mo و Pb، Zn به ترتیب (شکل ۳-۵، و). همان طور که از این شکل پیداست بیشترین میزان بار آلودگی برای نمونه S8 در مجاورت محل تخلیه زهاب کارخانه به رودخانه دلیل محاسبه شد.

۴-۵-۱- عامل غنی شدگی^۱

از دیگر معیارهای ارزیابی آلودگی عناصر در رسوبات عامل غنی شدگی می‌باشد. عامل غنی شدگی بیانگر تاثیر عوامل آلوده کننده خارجی بر افزایش غلظت عناصر در رسوبات می‌باشد (زنگ^۲، ۲۰۰۹). عامل غنی شدگی به صورت ریاضی در رابطه ۴-۵ آمده است (اصلاح شده از، سالمونز و فرستنر، ۱۹۸۴؛ سینکس^۳ و رایت، ۱۹۸۸).

$$EF = \frac{\left(\frac{X}{Sc}\right)_{sample}}{\left(\frac{X}{Sc}\right)_{Background}} \quad (4-5)$$

که در آن:

EF : عامل غنی شدگی،

X : غلظت عنصر در نمونه،

Sc : غلظت عنصر اسکاندیم (Sc) در نمونه به عنوان عنصر مرجع،

با توجه به فرمول عامل غنی شدگی، برای تعیین میزان غنی شدگی عناصر در رسوبات نیاز به مقادیر

¹ Enrichment Factor

² Zhang

³ Sinex

غلظت استاندارد عناصر داریم. در مطالعات مختلف از مقادیر متفاوت غلظت استاندارد عناصر استفاده شده است که عبارتند از: غلظت عناصر در پوسته زمین ارائه شده توسط تیلور و مک لنان^۱ (ژنگ، ۲۰۰۹؛ ژو، ۲۰۱۰)، غلظت عناصر در پوسته زمین ارائه شده توسط رادنیک و گائو^۲ (حاجی زاده و همکاران، ۲۰۱۰)، غلظت عناصر در میانگین شیل‌های پوسته قاره‌ای (کریستوفریدیس و همکاران، ۲۰۰۹). نرمال‌سازی ژئوشیمیایی غلظت فلزات نسبت به عنصری پایدار به منظور شناسایی آنومالی‌های احتمالی غلظت فلزات استفاده می‌شود. در مطالعات مختلف از عناصر متفاوتی مانند، اسکاندیم (شومیلین^۳ و همکاران، ۲۰۰۲؛ شوچنکو^۴ و همکاران، ۲۰۰۳؛ لی^۵ و همکاران، ۲۰۰۹؛ ژو و همکاران، ۲۰۱۰؛ حاجی زاده و همکاران، ۲۰۱۰)، آلمینیم (ژنگ، ۲۰۰۹)، آهن (کریستوفریدیس و همکاران، ۲۰۰۹؛ سرکار^۶ و همکاران، ۲۰۱۰؛ مر و همکاران، ۱۳۸۸)، استفاده شده است. در این پژوهش اسکاندیم (Sc) به عنوان عنصر پایدار انتخاب شد. برای بررسی کیفیت عامل غنی‌شدگی طبقه‌بندی‌های مختلفی ارائه شده است. در برخی مطالعات مقدار عامل غنی‌شدگی، $EF=1/5$ (ژنگ^۷ و لیو، ۲۰۰۲) و یا $EF=2$ (هن^۸ و همکاران، ۲۰۰۶) به عنوان حد بحرانی شناخته شده و عامل غنی-شدگی بیشتر از این مقادیر نشان‌دهنده آلدگی رسوبات است. در جدول ۳-۵ کیفیت رسوپ بر اساس ضریب غنی‌شدگی طبقه‌بندی شده است (هن و همکاران، ۲۰۰۶).

^۹-۱-۵-۵-۱- غنی‌شدگی عناصر نسبت به زمینه جهانی^۹

در این پژوهش عامل غنی‌شدگی عناصر موجود در رسوبات رودخانه دلیل با استفاده از سه استاندارد متداول، محاسبه شد (جدول ۴-۵). با توجه به مقدار زمینه عناصر در پوسته قاره‌ای بر اساس رادنیک و گائو نتایج زیر حاصل شده است: عامل غنی‌شدگی آرسنیک از $EF=5/6$ در نمونه S6 تا بیشترین

¹ Taylor and MaLennan

² Rudnick and Gao

³ Shumilin

⁴ Shevchenko

⁵ Lee

⁶ Sarkar

⁷ Zhang

⁸ Han

⁹ Global Background

جدول ۵-۳. طبقه‌بندی کیفیت رسب بر اساس مقادیر محاسبه شده عامل غنی‌شدگی.

کیفیت	عامل غنی‌شدگی
غنی‌شدگی کم	$EF < 2$
غنی‌شدگی متوسط	$2 \leq EF < 5$
غنی‌شدگی شدید	$5 \leq EF < 20$
غنی‌شدگی خیلی شدید	$20 \leq EF < 40$
غنی‌شدگی بی‌نهایت شدید	$EF > 40$

مقدار $EF=9$ در نمونه S8، کادمیم از $EF=4/7$ در نمونه S3 و S8 تا بیشترین مقدار $EF=7$ در نمونه S5، کروم از $EF=1/4$ تا بیشترین مقدار $EF=2/4$ در نمونه S8 و S9، مس از $EF=3/1$ در نمونه S5 تا $EF=4/9$ در نمونه S8، جیوه از $EF=1/3$ در نمونه S3 و S10 تا $EF=5/5$ در نمونه S8، منگنز از $EF=2/7$ در نمونه S3 تا $EF=3/9$ در نمونه S8، نیکل از $EF=2/9$ در نمونه S5 تا کمترین مقدار در نمونه S6 تا بیشترین مقدار $EF=18/8$ در نمونه S5 و عنصر روی از $EF=3/3$ در مقدار $EF=8/6$ در نمونه S6 تا بیشترین مقدار EF=5/8 در نمونه S8 تغییر می‌نماید. بیشترین مقدار عامل غنی‌شدگی در نمونه S6 تا بیشترین مقدار EF=5/8 در نمونه S8 تغییر می‌نماید. بیشترین مقدار عامل غنی‌شدگی در نقاط S8 (7 عنصر)، نقطه S5 (2 عنصر) و نقطه S9 (1 عنصر) می‌باشد که نزدیک‌ترین نقاط به محل ورود زهاب‌ها به رودخانه می‌باشند. بر اساس طبقه‌بندی ارائه شده در جدول ۵-۳، عناصر نیکل (Ni)، مس (Cu)، منگنز (Mn)، سرب (Pb) از کمترین مقدار عامل غنی‌شدگی تا بیشترین مقدار، غنی‌شدگی متوسط دارند. عناصر آرسنیک (As) و سلنیم (Se) از کمترین تا بیشترین مقدار عامل غنی‌شدگی در محدوده غنی‌شدگی شدید قرار دارند. بیشترین مقدار عامل غنی‌شدگی عنصر کادمیم (Cd) در نقطه S5 است که غنی‌شدگی شدید نشان می‌هد. بیشترین مقدار عامل غنی‌شدگی عناصر کروم (Cr) و روی (Zn) در نقطه S8 و S9 است که غنی‌شدگی متوسط نشان می‌هند. بیشترین مقدار عامل غنی‌شدگی برای عنصر جیوه (Hg) در نقطه S8 است که غنی‌شدگی شدید نشان می‌دهد.

جدول ۴-۵. مقایسه مقادیر عوامل غنی‌شدنی عناصر موجود در رسوبات رودخانه دلیل نسبت به غلظت زمینه جهانی متفاوت عناصر.

	S1			S2			S3			S4			S5			S6			S8			S9			S10		
	EF ¹	EF ²	EF ³	EF ¹	EF ²	EF ³	EF ¹	EF ²	EF ³	EF ¹	EF ²	EF ³	EF ¹	EF ²	EF ³	EF ¹	EF ²	EF ³	EF ¹	EF ²	EF ³	EF ¹	EF ²	EF ³	EF ¹	EF ²	EF ³
As	-	6/6	-	-	6/9	-	-	7/1	-	-	7/3	-	-	5/9	-	-	5/3	-	-	9	-	-	7/2	-	-	6/2	-
Cd	2/4	4/8	1/3	3/9	5/5	1/5	3/4	4/7	1/3	3/6	5	1/3	5/1	7	1/9	3/7	5/1	1/4	3/4	4/7	1/3	3/6	5	1/3	3/7	5/1	1/4
Cr	3/5	1/7	1/6	4	1/9	1/8	2/9	1/4	1/3	3/4	1/6	1/5	3	1/4	1/4	2/9	1/4	1/3	5	2/4	2/3	5/1	2/4	2/3	3	1/4	1/3
Cu	3	2/4	2	3	2/5	2	2/2	2/7	2/1	3	3/4	1/9	2/7	2/1	1/8	2/9	3/2	1/9	4/3	4/9	2/8	2/6	4/1	2/3	3	2/4	1/9
Hg	-	2/2	-	-	1/8	-	-	1/3	-	-	2/2	-	-	2	-	-	2/6	-	-	5/5	-	-	2/9	-	-	1/3	-
Mn	4	2/1	2/3	4/1	2/1	2/4	3/5	2/7	2/9	3/7	2/8	3/1	4/9	2/7	4	4/7	3/5	3/9	5/1	3/9	4/2	4/5	3/4	3/7	2/9	2/9	3/2
Ni	6/2	2/3	2/1	6	2/3	2	6/5	2/5	2/2	6/2	3/4	2/1	5/4	2/9	1/8	6/1	3/2	2/1	8/7	4/7	3	6/7	3/6	2/3	5/8	3/1	2
Pb	2/3	2/5	2/7	3	4/5	2/5	2/5	3/8	2/9	2/5	3/8	2	2/7	4	3/1	2/1	3/2	2/5	2/9	3/3	3/4	3	4/6	3/6	2/3	3/4	2/6
Se	-	10/7	1/7	-	10	1/6	-	9/4	1/5	-	10	1/6	-	18/8	3/1	-	8/6	1/4	-	14/1	2/3	-	5/01	0/8	-	14/1	2/3
Zn	3/1	4/2	2/7	2/9	4	2/6	2/7	2/6	2/3	2/6	3/5	2/2	2/6	2/6	2/3	2/4	3/2	2/1	4/3	5/8	3/7	2/7	3/7	2/4	2/5	3/4	2/2

^۱. غلظت عناصر در پوسته زمین به عنوان زمینه انتخاب شده است (Taylor and McLennan, 1995).

^۲. غلظت عناصر در پوسته زمین به عنوان زمینه انتخاب شده است (Rudnick and Gao, 2003).

^۳. غلظت عناصر در شیل میانگین به عنوان زمینه انتخاب شده است (Turekian and Wedepohl, 1961).

۱-۵-۲- غنی‌شدگی عناصر نسبت به زمینه محلی^۱

در صد قابل ملاحظه‌ای از افزایش غلظت عناصر در رسوبات محیط‌های آبی و از جمله رودخانه ناشی از فرآیندهای هوازدگی است که در طی سالیان زیاد در اثر جاری بودن رودخانه در منطقه حاصل شده است. تنها بخشی از افزایش غلظت عناصر در رسوبات در نتیجه منابع آلوده کننده می‌باشد. با تعریف غلظت زمینه محلی عناصر به خوبی می‌توان افزایش غلظت در نتیجه فعالیت‌های انسان‌زد را از غلظت طبیعی عناصر و ناشی از هوازدگی جدا نمود.

۱-۵-۳- عامل غنی‌شدگی بر اساس زمینه محلی

برای محاسبه عامل غنی‌شدگی نیاز به تعیین غلظت زمینه‌ای عناصر به صورت محلی داریم که با فرض لاغرormal بودن توزیع عناصر در رسوبات، غلظت زمینه محلی از رابطه ۱-۵ محاسبه شد (گونزالوز^۲ و همکاران، ۱۹۹۴).

$$B_l = M_{gm} - S_D \quad (1-5)$$

که در آن:

B_l : غلظت زمینه محلی عنصر،

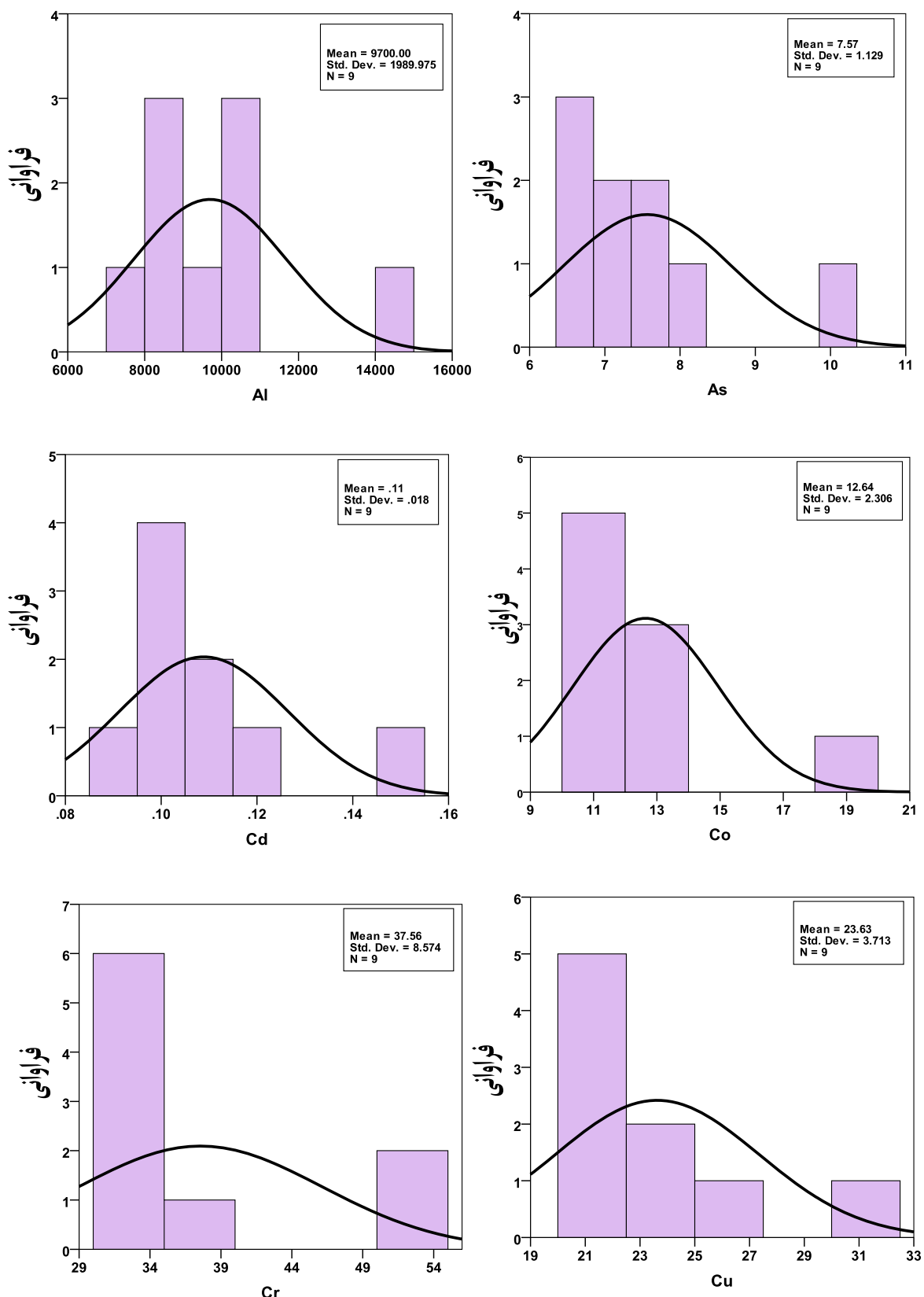
M_{gm} : میانگین هندسی غلظت عنصر در نمونه‌ها،

S_D : انحراف استاندارد غلظت عنصر در نمونه‌ها،

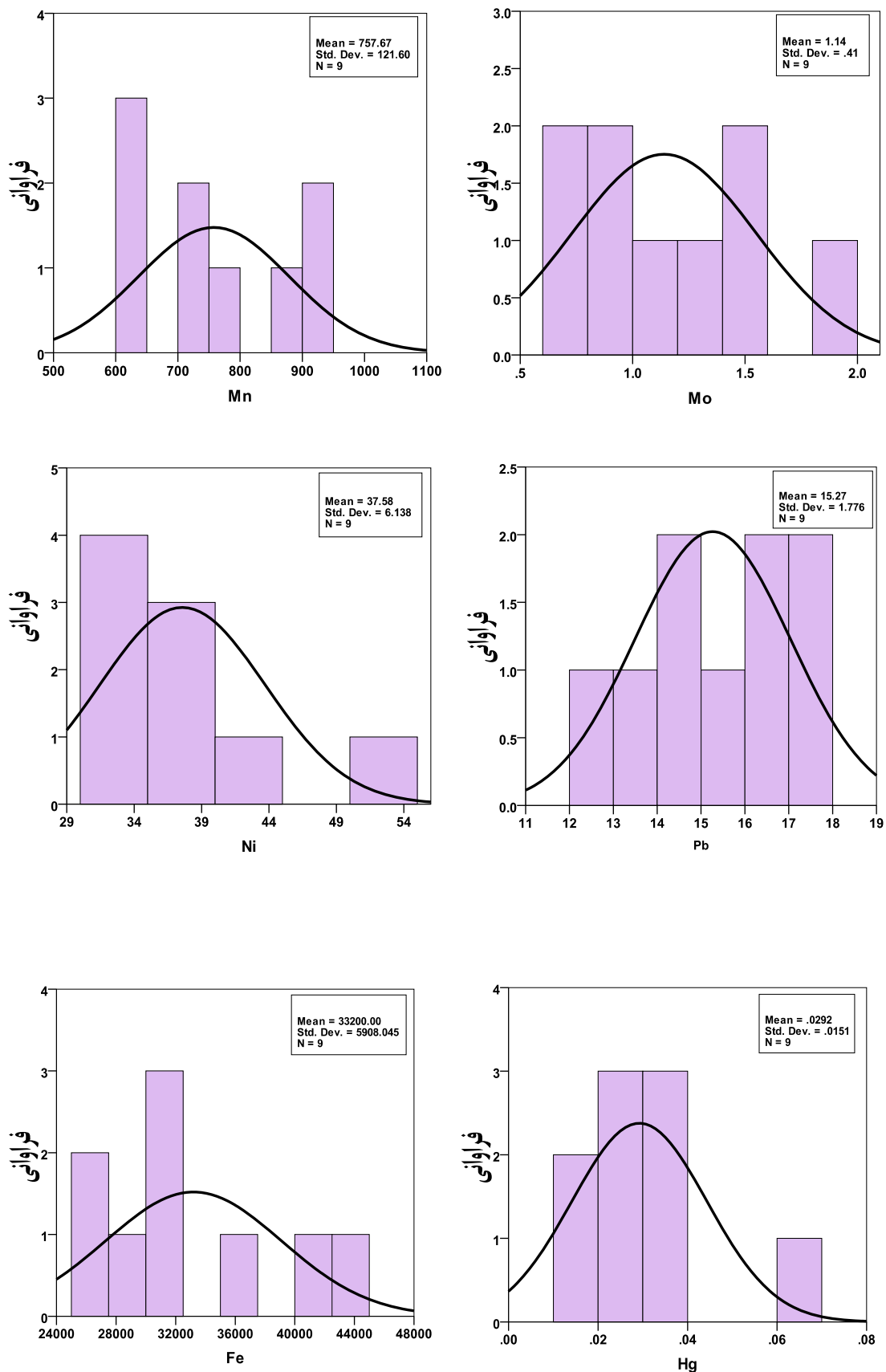
فرض لاغرormal بودن توزیع عناصر با توجه به شکل‌های ۱-۵، ۴-۵ و ۵-۵ نسبتاً صحیح می‌باشد. مقادیر غلظت زمینه‌ای محلی برای عناصر موجود در رسوبات منطقه در جدول ۱-۵ محاسبه شد. مقادیر عامل غنی‌شدگی بر اساس زمینه محلی در جدول ۱-۵ آورده شده است. مقادیر عامل غنی‌شدگی بر اساس زمینه محلی در مقایسه با مقادیر عامل غنی‌شدگی بر اساس زمینه جهانی (جدول ۴-۵) به $EF=1$ نزدیک شده است.

¹ Local Background

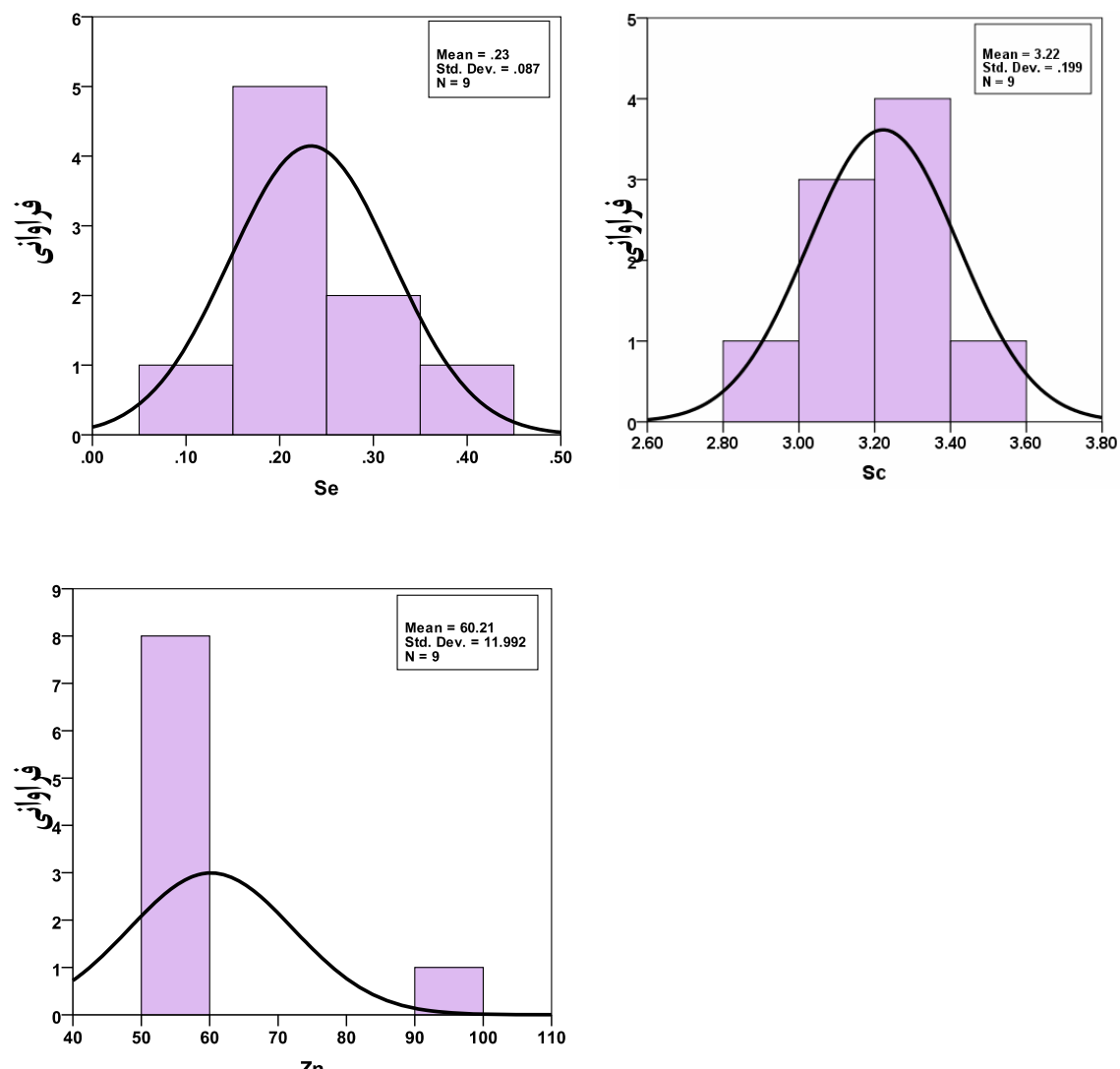
² Goncalves



شکل ۴-۵. بررسی توزیع عناصر Al, As, Cd, Co, Cr و Cu در رسوبات رودخانه دلیلم در مجاورت کارخانه ذغالشویی.



شكل ۵-۵. بررسی توزیع عناصر Fe, Mn, Ni, Mo, Pb و Hg در رسوبات رودخانه دلیل در مجاورت کارخانه ذغالشویی.



شکل ۵-۶. بررسی توزیع عناصر Se، Sc و Zn در رسوبات رودخانه دلیلم در مجاورت کارخانه ذغالشویی.

بیشترین عامل غنی‌شدگی کادمیم EF=۱/۵۲ و سلنیم EF=۲/۷۷ در نقطه S5 می‌باشد. بیشترین عامل غنی‌شدگی آرسنیک EF=۱/۴۶، مس EF=۱/۵، جیوه EF=۵/۴، منگنز EF=۱/۳۵، نیکل EF=۱/۷۵ و روی EF=۱/۵۳ در نقطه S8 می‌باشد. بیشترین عامل غنی‌شدگی کروم EF=۱/۷۵ و سرب EF=۱/۲۵ در نقطه S9 می‌باشد. عوامل غنی‌شدگی بر اساس زمینه محلی به خوبی نقاط با حداقل آلوگی ناشی از زهاب‌های کارخانه ذغالشویی در طول رسوبات رودخانه را مشخص می‌نماید.

جدول ۵-۵. مقادیر محاسبه شده عامل غنی‌شدگی عناصر بر اساس زمینه محلی و درصد غنی‌شدگی عناصر برای نمونه‌های رسوب منطقه.

	S1	S2	S3	S4	S5	S6	S8	S9	S10
	EF (%)	EF*	EF*						
As	.	1/۰۷	۱۹/۴۴	1/۱۱	۴۱/۶۶	1/۱۶	۳۳/۳۳	1/۱۹	۲/۷۷
Cd	.	1/۰۴	۳۳/۳۳	1/۱۸	۱۶/۶۶	1/۰۱	۱۶/۶۶	1/۰۸	۱۰۰
Cr	۸/۸۸	1/۱۹	۴۰/۸۸	1/۳۶	.	۰/۹۸	۱۳/۳۳	1/۱۵	۷/۵۵
Cu	.	1/۰۶	۱۲/۳۳	1/۰۷	۳۴/۰۴	1/۱۳	۹/۴۵	1/۰۵	۴/۳۵
Hg	۳۴/۶۹	۳/۱۲	۸/۱۶	1/۷۷	.	1/۳۳	۱۶/۳۲	۲/۱۲	۱۴/۲۸
Mn	۳/۴	1/۰۶	۲۴/۸۲	1/۰۹	۳/۰۶	۰/۹۳	.	۰/۹۸	۸۵/۳۷
Ni	۲/۰۱	1/۰۹	۸/۵۴	1/۰۶	۳۳/۱۶	1/۱۴	۱۴/۵۷	1/۱	.
Pb	.	۰/۹۵	۸۸/۹۹	1/۲۲	۵۶/۹۷	1/۰۳	۳۹/۴۸	1/۰۴	۷۵/۰۴
Se	۳۳/۳۳	1/۵۷	۳۳/۳۳	1/۴۷	۳۳/۳۳	1/۳۸	۳۳/۳۳	1/۴۷	۱۰۰
Zn	۱۶/۷	1/۲۷	۱۹/۴۵	1/۲۱	۱۵/۴۶	1/۱۱	.	1/۰۵	۱۱/۷۹

* غلظت محلی عناصر به عنوان زمینه انتخاب شده است.

بیشترین مقادیر عامل غنی‌شدگی برای هر عنصر به صورت پرزنگ مشخص شده است.

۶-۵-۲-ب- درصد غنی‌شدگی

اگر هدف مشخص کردن نمونه‌های با بیشترین میزان غلظت عناصر نسبت به سایر نمونه‌ها باشد می‌توان از درصد غنی‌شدگی استفاده کرد که از رابطه ساده ۶-۵ محاسبه می‌شود (زونتا^۱ و همکاران، ۱۹۹۴؛ لوسکا^۲ و وبچولا، ۲۰۰۳؛ سوتهار و همکاران، ۲۰۰۹).

$$EF(\%) = \frac{C - C_{\min}}{C_{\max} - C_{\min}} \times 100 \quad (6-5)$$

که در آن:

C : میانگین غلظت هر عنصر در نمونه (اگر چند نمونه از یک نقطه موجود باشد)، C_{\min} و C_{\max} : به ترتیب بیشترین و کمترین مقدار برای عنصر مورد نظر در تمام نمونه‌ها، درصد عامل غنی‌شدگی برای عناصر آرسنیک، کروم، مس، جیوه، منگنز، نیکل، سرب و روی در نمونه EF=۱۰۰٪ را نشان می‌دهد. عناصر کادمیم و سلنیم در نمونه S5 بیشترین مقدار S8 بیشترین مقدار EF=۱۰۰٪ را دارند. درصد عامل غنی‌شدگی حاصل از زمینه محلی در عناصر کروم و سرب تفاوت دارند.

۶-۵-۲-ج- عامل غنی‌شدگی بر اساس رگرسیون خطی^۳

نمودارهای غلظت عناصر در مقابل غلظت عناصر مرجع آلومینیم (Al) و اسکاندیم (Sc) را رسم و خط رگرسیون عناصر تشکیل گردید. با استفاده از معادله خط رگرسیون و غلظت آلومینیم و اسکاندیم باند پیش‌بینی ۹۵٪ حول خط رگرسیون ایجاد گردید (لرینگ^۴، ۱۹۹۱؛ دین^۵، ۱۹۹۲؛ سامرز^۶، ۱۹۹۶؛ بدر^۷ و همکاران، ۲۰۰۹؛ گارسیا و همکاران، ۲۰۱۰). این باند تغییر غلظت فلزات در نتیجه هوازدگی را

¹ Zonta

² Loska

³ Linear Regression

⁴ Loring

⁵ Din

⁶ Summers

⁷ Badr

از فعالیت‌های انسانزد جدا می‌کند، نقاطی که بالاتر از این باند قرار می‌گیرند نسبت به زمینه محلی غنی‌شدگی دارند که در نتیجه فعالیت‌های انسانزد است (اسزفر^۱ و همکاران، ۱۹۹۶؛ کولوی^۲ و فونتولان، ۱۹۹۷). برای تصحیح واریانس غیر ثابت، غیرنرمال بودن توزیع عناصر و تکمیل فرضیات آنالیز رگرسیون خطی، لگاریتم غلظت عناصر در مقابل لگاریتم غلظت عناصر مرجع آلومینیم و اسکاندیم رسم می‌گردد (سامرز، ۱۹۹۶؛ ژنگ، ۲۰۰۹). برای محاسبه عامل غنی‌شدگی و نیز بررسی اثر عنصر مرجع مناسب بر عامل غنی‌شدگی، تحلیل رگرسیون خطی عناصر نسبت به هر دو عنصر آلومینیم و اسکاندیم صورت گرفت (شکل ۷-۵ تا ۷-۶). همچنین همبستگی عناصر موجود در رسوبات منطقه نیز مطابق جدول ۵-۶ محاسبه شد. عامل غنی‌شدگی در رسوبات غنی‌شده رودخانه (ناشی از فعالیت کارخانه ذغال‌شویی) محاسبه و نتایج تحلیل رگرسیونی آلومینیم و اسکاندیم و ضرایب همبستگی عناصر مقایسه و نتایج زیر حاصل شد:

آرسنیک:

عنصر آرسنیک نسبت به Al همبستگی مثبت $r=0.877$ با احتمال بالا ($p < 0.01$) داشته و هیچ نمونه رسوی در ناحیه غنی‌شدگی قرار ندارد (شکل ۷-۵، الف). آرسنیک نسبت به Sc همبستگی پایینی داشته $r=0.43$ و نمونه رسو S8 در ناحیه غنی‌شدگی قرار دارد (شکل ۷-۵، ب).

کادمیم:

عنصر کادمیم نسبت به Al، همبستگی منفی $r=-0.306$ و نسبت به Sc $r=-0.507$ همبستگی مثبت پایینی داشته و نسبت به هر دو عنصر، نمونه S5 در ناحیه غنی‌شدگی قرار دارد (شکل ۷-۵، ج، د).

کروم:

عنصر کروم نسبت به Al همبستگی مثبت $r=0.72$ با احتمال ($p < 0.05$) داشته و نمونه رسو S9 در ناحیه غنی‌شدگی قرار دارد (شکل ۷-۵، ه). عنصر کروم نسبت به Sc همبستگی منفی $r=-0.1$ داشته و نمونه رسو S8 و S9 در ناحیه غنی‌شدگی قرار دارد (شکل ۷-۵، و).

¹ Szefer

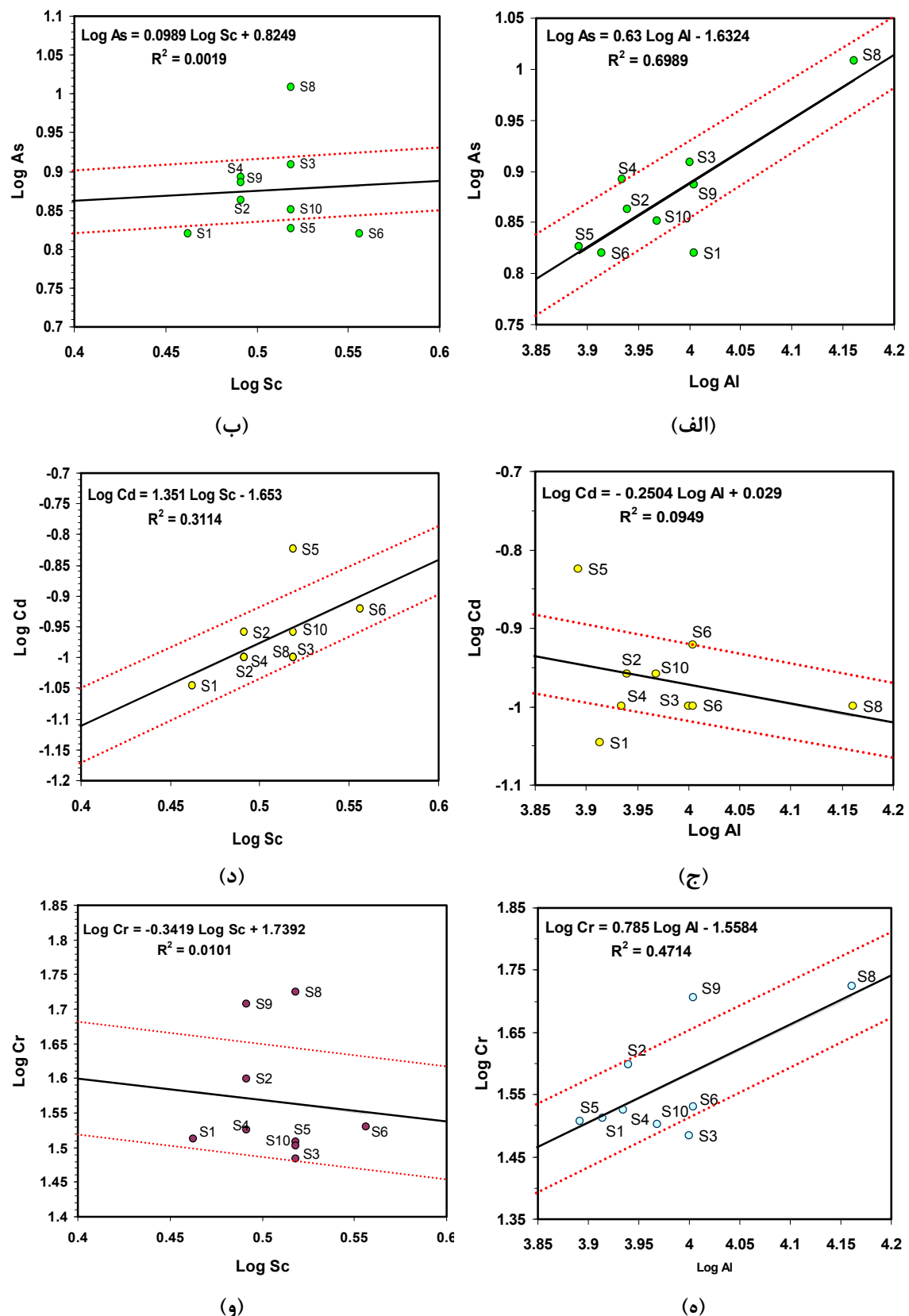
² Covelli

جدول ۵-۶. همبستگی بین عناصر موجود در رسوبات رودخانه دلیل از بالادست تا پایین دست کارخانه ذغال‌شویی.

	Al	As	Cd	Co	Cr	Cu	Fe	Hg	Mn	Mo	Ni	Pb	Se	Sc	Zn
Al	1														
As	•/۸۷۷**	1													
Cd	-•/۳۰۶	-•/۳۷۹	1												
Co	•/۹۷۱**	•/۹۲**	-•/۳۱۸	1											
Cr	•/۷۲*	•/۶۸۳*	-•/۲۷	•/۶۸۳*	1										
Cu	•/۹۹**	•/۸۵۵**	-•/۲۵۵	•/۹۶۱**	•/۷۷۲*	1									
Fe	•/۶۸۱*	•/۳۷۸	•/۳۱۹	•/۶۱۹	•/۵۱۵	•/۶۷۱*	1								
Hg	•/۸۲**	•/۶۷۵*	-•/۲۲۴	•/۸۴۴**	•/۷۳۱*	•/۸۰۱**	•/۷۷۲*	1							
Mn	•/۵۰۹	•/۲۱۸	•/۵۶۲	•/۴۴۵	•/۴۱۹	•/۵۳۲	•/۹۴۸**	•/۶۱۱	1						
Mo	•/۲۳۸	•/۳۱۴	-•/۰۱۶	•/۲۴۳	•/۸۱۵**	•/۳۲۲	•/۲۸۳	•/۴۵۹	•/۳۰۲	1					
Ni	•/۹۸۷**	•/۸۵۶**	-•/۲۵۷	•/۹۶۵**	•/۶۶۲	•/۹۷۲**	•/۷۱۵*	•/۸۳۱**	•/۵۵۳	•/۲۰۸	1				
Pb	•/۴۷۷	•/۵۷	•/۲۰۴	•/۴۶۳	•/۷۴۶*	•/۵۷۶	•/۳۹۹	•/۳۳۷	•/۴۴۳	•/۷۲۶*	•/۴۴۹	1			
Se	•/۰۱۵	•/۰۳۸	•/۶۸۲*	•/۰۹۸	-•/۲۴۲	•/۰۰۴	•/۳۵۲	•/۰۷	•/۴۳۳	-•/۲۵	•/۰۲۷	•/۰۲۴	1		
Sc	•/۳۳۵	•/۰۴۳	•/۵۰۷	•/۲۱	-•/۱	•/۳۲۷	•/۵۹۲	•/۰۹۴	•/۶۶۷*	-•/۳۳	•/۴۰۷	•/۱۱۱	•/۳۱۵	1	
Zn	•/۸۹۱**	•/۸۲۹**	-•/۱۷۸	•/۹۳۵**	•/۶۶۶	•/۸۷**	•/۷۲۴*	•/۸۷۹**	•/۵۳۸	•/۲۹۲	•/۸۷۷**	•/۴۶۶	•/۲۷۳	•/۱۴۵	1

* همبستگی در سطح ۰/۰۵ معنی دار می‌باشد.

** همبستگی در سطح ۰/۰۱ معنی دار می‌باشد.



شکل ۷-۵. مقایسه تحلیل رگرسیون خطی برای غنی‌شدگی عناصر As, Cd, Cr و Sc نسبت به دو عنصر مرجع Al و Sc در رسوبات رودخانه دلیلم در مجاورت کارخانه ذغالشویی.

مس:

عنصر مس نسبت به Al همبستگی بسیار زیاد $r=0/99$ و با احتمال بالا ($p < 0/01$) داشته و هیچ نمونه رسوی در ناحیه غنی‌شدگی قرار ندارد (شکل ۸-۵، الف). عنصر مس نسبت به Sc همبستگی پایینی داشته $r=0/327$ و نمونه رسوی S8 در ناحیه غنی‌شدگی قرار دارد (شکل ۸-۵، ب).

جیوه:

عنصر جیوه نسبت به Al همبستگی مثبت $r=0/82$ با احتمال بالایی ($p < 0/01$) داشته و غنی‌شدگی Sc قابل توجهی در هیچ یک از نمونه‌ها مشاهده نمی‌شود (شکل ۸-۵، ج). عنصر جیوه نسبت به Sc همبستگی پایینی داشته $r=0/94$ و نمونه رسوی S8 در ناحیه غنی‌شدگی قرار دارد (شکل ۸-۵، د).

نیکل:

عنصر نیکل نسبت به Al همبستگی مثبت و قوی $r=0/987$ با احتمال بالا ($p < 0/01$) داشته و هیچ نمونه رسوی در ناحیه غنی‌شدگی قرار ندارد (شکل ۸-۵، ه). عنصر نیکل نسبت به Sc همبستگی پایینی داشته $r=0/407$ و نمونه رسوی S8 در ناحیه غنی‌شدگی قرار دارد (شکل ۸-۵، و).

سرب:

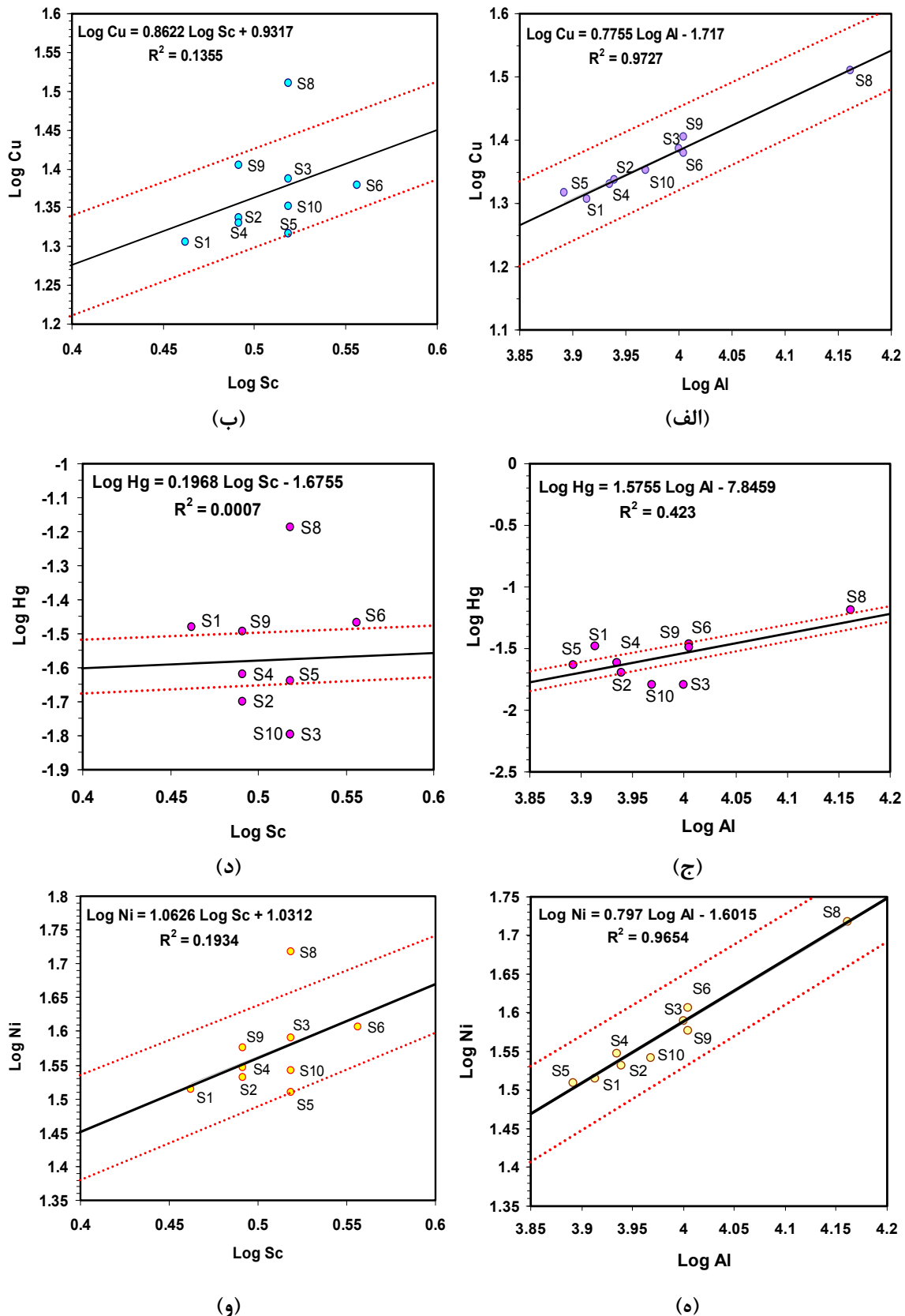
عنصر سرب نسبت به Al، Sc و Sc همبستگی پایینی داشته و غنی‌شدگی قابل توجهی در هیچ یک از نمونه‌ها مشاهده نمی‌شود (شکل ۹-۵، الف و ب).

سلنیم:

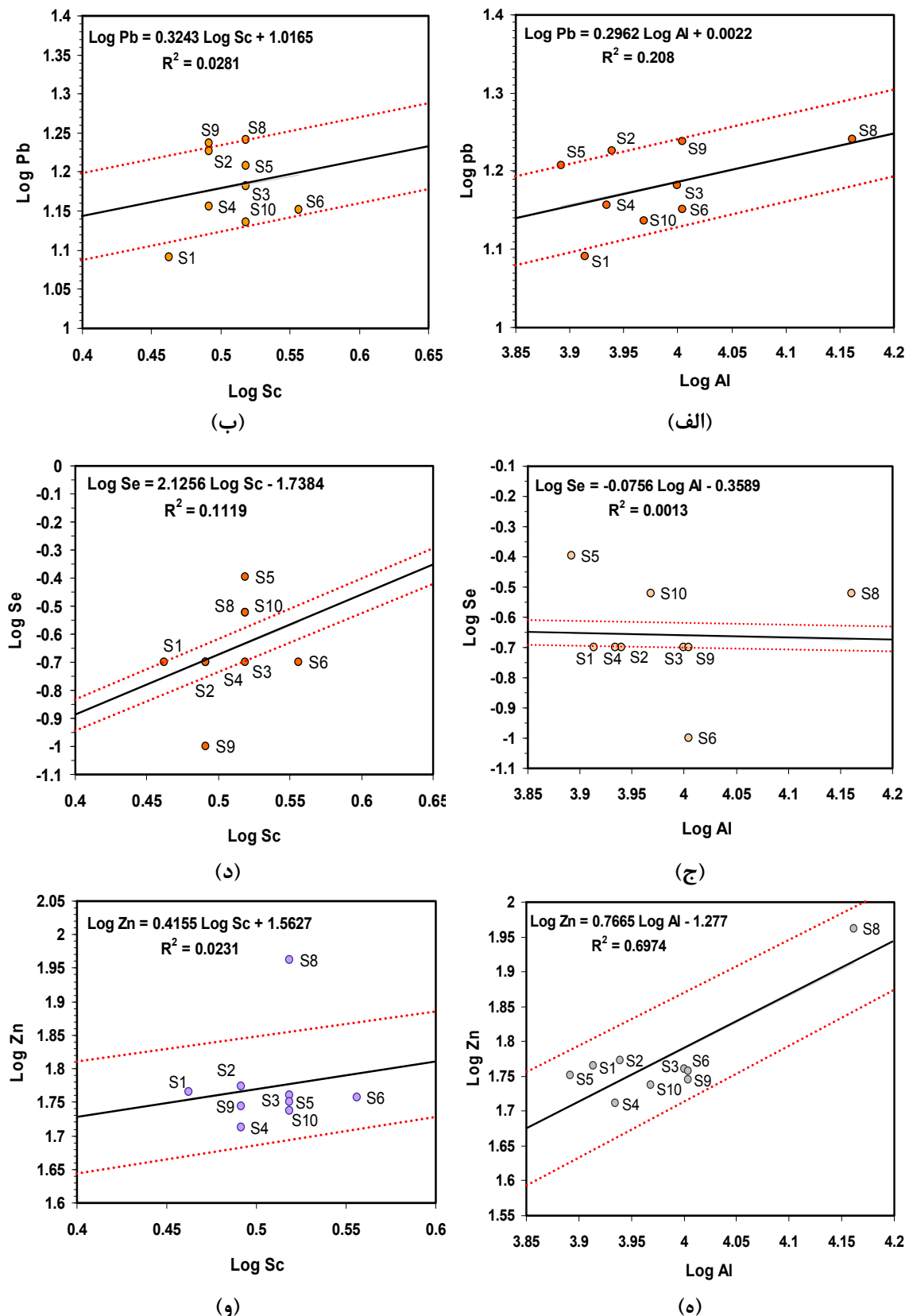
عنصر سلنیم نسبت به Al، Sc و Sc همبستگی پایینی داشته و در نمودارهای رگرسیون سلنیم نسبت به هر دو عنصر Al و Sc، نمونه‌های رسوی S5، S8 و S10 غنی‌شدگی قابل توجهی نشان می‌دهند (شکل ۹-۵، ج و د).

روی:

عنصر روی نسبت به Al همبستگی مثبت قوی بالایی $r=0/891$ با احتمال بالایی ($p < 0/01$) داشته و هیچ نمونه رسوی در ناحیه غنی‌شدگی قرار ندارد (شکل ۹-۵، ه). عنصر روی نسبت به Sc همبستگی



شکل ۵-۸. مقایسه تحلیل رگرسیون خطی برای غنی‌شدگی عناصر Cu، Hg و Ni نسبت به دو عنصر مرجع Sc و Al در رسوبات رودخانه دلیم در مجاورت کارخانه ذغال‌شویی.



شکل ۵-۹. مقایسه تحلیل رگرسیون خطی برای غنی‌شدگی عناصر Pb, Se, Zn نسبت به دو عنصر مرجع Sc و Al در رسوبات رودخانه دلیلم در مجاورت کارخانه ذغال‌شویی.

همبستگی پایینی داشته $r=0.145$ و نمونه رسوب S8 در ناحیه غنی‌شدگی قرار دارد (شکل ۹-۵، و). همبستگی مثبت Al با عناصر As, Cr, Cu, Hg, Ni و Zn مانع از شناسایی غنی‌شدگی رسوب S8 نسبت به این عناصر شد در صورتی که همه عناصر فوق در مقایسه با عنصر Sc در نقطه S8 غنی‌شدگی نشان دادند. نمونه‌هایی که نسبت به عناصر Cd, Pb و Se در نمودار رگرسیون آلومینیم، Sc در ناحیه غنی‌شدگی قرار دارند همان نمونه‌هایی هستند که در نمودار رگرسیون این عناصر نسبت به Sc نیز در ناحیه غنی‌شدگی قرار می‌گیرند. همبستگی پایین Al با این عناصر می‌تواند دلیل رفتار عناصر فوق باشد. با توجه به مجاورت نقطه S8 به زهاب‌های خروجی انتهایی دمپ ذغال (نمونه Leach)، آلومینیم محلول در زهاب که ناشی از خنثی‌سازی زهاب به وسیله سیلیکات‌ها است در نقطه S8 را سب شده و رسوب نسبت به عنصر Al و سایر عناصر غنی‌شدگی است. عنصر Sc نسبت به سایر عناصر مرجع Al و Fe انحراف معیار^۱ کمتر (جدول ۵-۱) و توزیع نرمال‌تری دارد (شکل ۴-۵ تا ۶-۵) که نشان از پایداری بیشتر عنصر نسبت به شرایط فیزیکی و شیمیایی منطقه دارد. با توجه به نمودارهای رگرسیون غلظت عناصر نسبت به عنصر مرجع Sc، میزان عامل غنی‌شدگی برای نقاطی که در محدوده غنی‌شدگی قرار دارند در جدول ۷-۵ محاسبه شده است. در این جدول مقادیر مقایسه‌ای^۲ (C.V) مربوط به خط بالایی پیش‌بینی ۹۵ درصد می‌باشد و برای نقاطی که بالاتر از این محدوده قرار گرفته و غنی‌شده‌اند، مقدار عامل غنی‌شدگی (EF) بیشتر از مقدار مقایسه‌ای (C.V) می‌باشد (گارسیا و همکاران، ۲۰۱۰). نقاطی که در داخل باند قرار می‌گیرند فاقد غنی‌شدگی در نتیجه فعالیت‌های انسانی بوده و غلظت عناصر تابع هوازدگی است (زنگ، ۲۰۰۹). نمونه S5 نسبت به عنصر کادمیم EF=۱/۳۴ و سلنیم EF=۱/۷۷ غنی‌شدگی نشان می‌دهد. نمونه رسوب S8 نسبت به عناصر آرسنیک EF=۱/۳۵، کروم EF=۱/۴۵، مس EF=۱/۳۵، EF=۱/۴۳، جیوه EF=۱/۳۶، نیکل EF=۱/۳۶، سلتیم EF=۱/۵۲ و روی EF=۱/۲۹ غنی‌شدگی نشان می‌دهد. نمونه S9 نسبت به کروم EF=۱/۳۶ و نمونه S10 نسبت به سلنیم EF=۱/۲۹ غنی‌شدگی نشان می‌دهد (جدول ۷-۵ و شکل‌های ۷-۵ تا ۹-۵).

¹ Standard Deviation² Comparison Value

جدول ۷-۵. مقادیر عامل غنی‌شدگی رسوبات رودخانه دلیلم براساس تحلیل رگرسیون خطی.

	S5	S8	S9	S10
As	EF C.V	1/۳۵ 1/۱		
Cd	EF C.V	1/۳۴ 1/۱۳		
Cr	EF C.V	1/۴۵ 1/۲	1/۳۶ 1/۲	
Cu	EF C.V	1/۳۵ 1/۱۵		
Hg	EF C.V	2/۴۲ 1/۱۹		
Ni	EF C.V	1/۳۶ 1/۱۹		
Se	EF C.V	1/۷۳ 1/۱	1/۲۹ 1/۱	1/۲۹ 1/۱
Zn	EF C.V		1/۵۲ 1/۲۲	

روش تحلیل رگرسیون خطی بسیار نزدیک به مقادیر عامل غنی‌شدگی محاسبه شده بر اساس غلظت

زمینه محلی می‌باشد (مقایسه جداول ۷-۵ و ۷-۵).

۷-۵- شاخص زمین‌انباشت^۱

شاخص زمین‌انباشت یکی دیگر از معیارهای ارزیابی آلودگی عناصر سنگین در رسوبات می‌باشد. این معیار که اولین بار در سال ۱۹۷۹ توسط مولر^۲ مطرح گردید (اندیس مولر) به منظور بررسی آلودگی عناصر سنگین در رسوبات منطقه نسبت به میزان زمینه استفاده شد. فرمول محاسبه شاخص زمین‌انباشت به صورت رابطه ۷-۵ می‌باشد (مولر، ۱۹۷۹).

$$I_{geo} = \log_2 \left(\frac{C_n}{1.5B_n} \right) \quad (7-5)$$

که در آن:

شاخص زمین‌انباشت، I_{geo}

¹ Geoaccumulation Index

² Muller

C_n : غلظت عنصر اندازه‌گیری شده n در نمونه،

B_n : غلظت زمینه ژئوشیمیایی عنصر n

در این فرمول ضریب $1/5$ جهت حذف اثرات احتمالی زمین‌شناختی زمینه می‌باشد. شاخص زمین‌انباشت به 7 کلاس از کلاس $+$ (بدون آلدگی) تا کلاس 6 (به شدت آلدگی) طبقه‌بندی شده است (مولر، ۱۹۸۱). اگر نمونه رسوی در بالاترین کلاس (کلاس 6) قرار گیرد بیان کننده غنی‌شدنگی حداقل 100 برابری نسبت به مقدار زمینه است (زنگ و همکاران، ۲۰۰۹). طبقه‌بندی شاخص زمین‌انباشت در جدول ۸-۵ آورده شده است.

جدول ۸-۵. طبقه‌بندی کیفیت رسوی بر اساس شاخص زمین‌انباشت (زنگ و همکاران، ۲۰۰۹).

شاخص زمین‌انباشت	کیفیت
≤ 0	بدون آلدگی
-1	بدون آلدگی تا آلدگی متوسط
-2	آلدگی متوسط
-3	آلدگی متوسط تا شدید
-4	آلدگی شدید
-5	آلدگی شدید تا وسیع
> 5	آلدگی وسیع

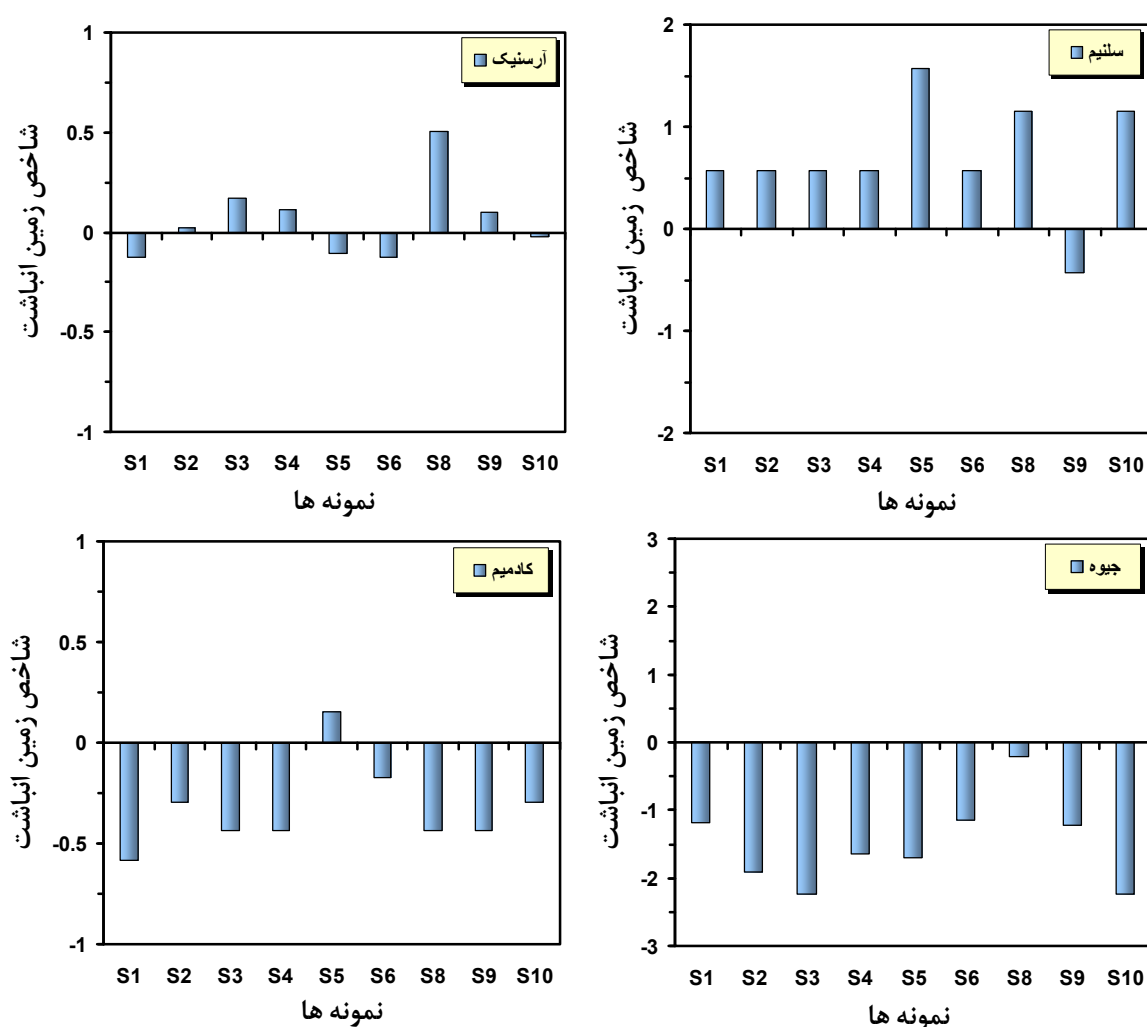
شاخص زمین‌انباشت برای رسویات رودخانه دلیلمن در مجاورت کارخانه ذغال‌شویی مطابق جدول ۹-۵ محاسبه شد. در محاسبه شاخص زمین‌انباشت از مقدار زمینه تعیین شده توسط رادنیک و گائو، ۲۰۰۳ استفاده شد. بر اساس نتایج به دست آمده، شاخص زمین‌انباشت برای عناصر آرسنیک از $0/02$ - در نقطه $S10$ تا $0/5$ - در نقطه $S8$ ، کادمیم از $0/58$ - در نقطه $S1$ تا $0/15$ - در نقطه $S5$ ، کروم از $2/17$ - در نقطه $S3$ تا $1/38$ - در نقطه $S8$ ، مس از $1/05$ - در نقطه $S1$ تا $0/37$ - در نقطه $S8$ ، جیوه از $2/22$ - در نقطه $S3$ و $S10$ تا $0/2$ - در نقطه $S8$ ، نیکل از $1/108$ - در نقطه $S1$ تا $0/43$ - در نقطه $S8$ ، سرب از $4/10$ - در نقطه $S1$ تا $0/55$ - در نقطه $S8$ ، سلنیم از $0/43$ - در نقطه $S9$ تا $0/56$ - در نقطه $S5$ و روی

جدول ۹-۵. شاخص زمین‌انباشت محاسبه شده برای رسوبات رودخانه دلیل در مجاورت کارخانه ذغال‌شویی.

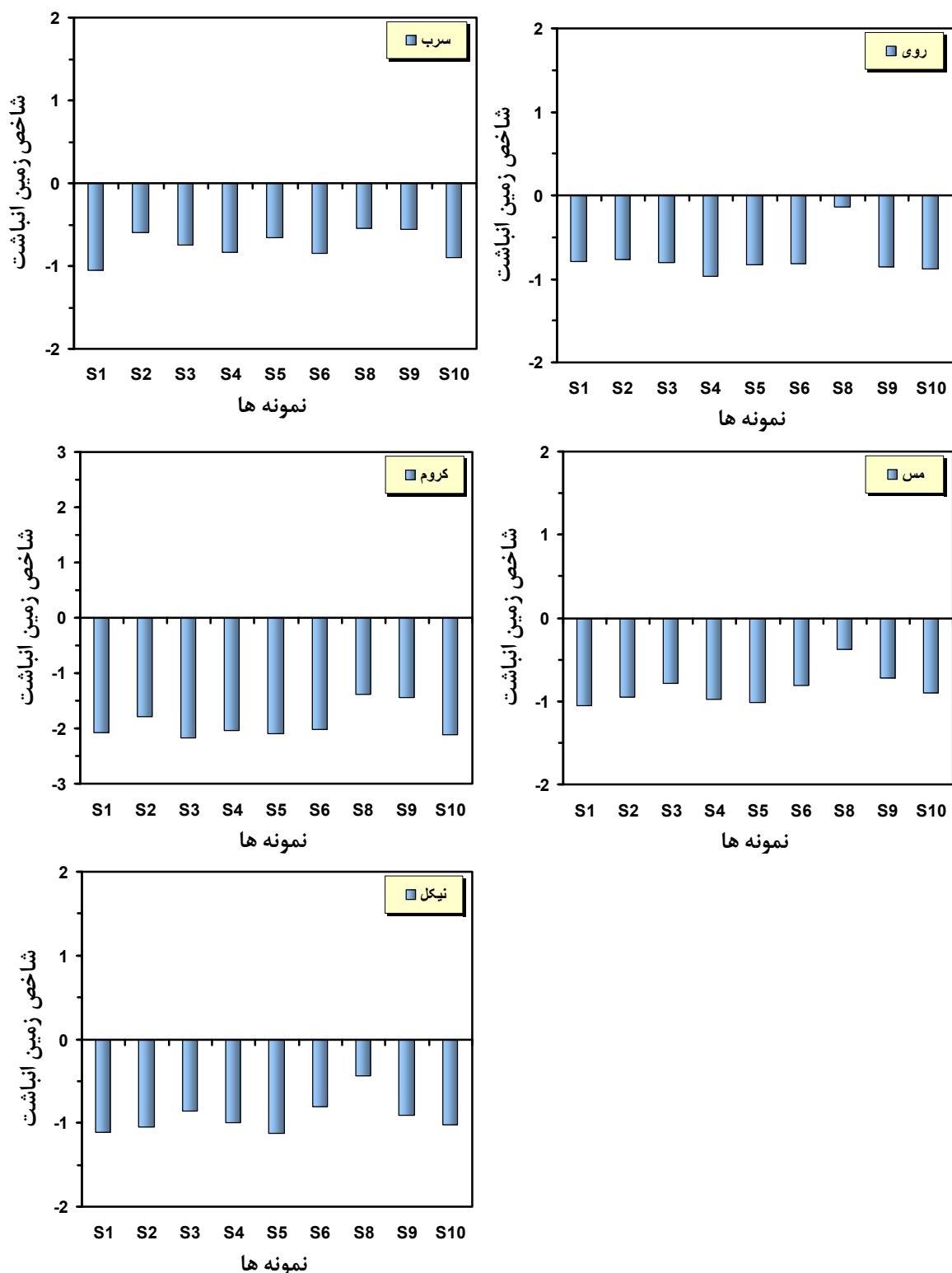
	Al	As	Cd	Co	Cr	Cu	Fe	Hg	Mn	Mo	Ni	Pb	Sb	Se	Sn	Ti	Zn
زمینه (mg/Kg)	۱۵۴۰۰	۴/۸	۰/۰۹	۱۷/۳	۹۲	۲۸	۵۰۴۰۰	۰/۰۵	۱۰۰۰	۱/۱	۴۷	۱۷	۰/۴	۰/۰۹	۲/۱	۶۴۰۰	۶۷
S1	-۴/۸۱	-۰/۱۲	-۰/۰۸	-۱/۱۷	-۲/۰۸	-۱/۰۵	-۱/۳۶	-۱/۱۸	-۱/۲۲	-۰/۷۳	-۱/۱۰۸	-۱/۰۴	-۲/۲	۰/۵۶	-۳/۳	-۶/۰۹	-۰/۷۸
S2	-۴/۷۳	+۰/۰۱*	-۰/۲۹	-۱/۱۹	-۱/۷۹	-۰/۹۵	-۱/۲۴	-۱/۹	-۱/۰۸	-۰/۲۱	-۱/۰۵	-۰/۵۹	-۱/۹	+۰/۵۶	-۲/۶	-۵/۷۳	-۰/۷۶
S3	-۴/۵۲	+۰/۱۶	-۰/۴۳	-۰/۹۶	-۲/۱۷	-۰/۷۸	-۱/۴۶	-۲/۲۲	-۱/۲۲	-۱/۴۱	-۰/۸۵	-۰/۷۴	-۲/۵۸	+۰/۵۶	-۲/۹	-۶/۷۳	-۰/۸
S4	-۴/۷۴	+۰/۱۱	-۰/۴۳	-۱/۱۳	-۲/۰۴	-۰/۹۷	-۱/۴۸	-۱/۶۴	-۱/۲۴	-۰/۴۹	-۱/۰۲۲	-۰/۸۳	-۲/۳۲	+۰/۵۶	-۲/۹	-۶/۵۸	-۰/۹۶
S5	-۴/۸۸	-۰/۱	+۰/۱۵	-۱/۲۳	-۲/۰۹	-۱/۰۱	-۱/۰۹	-۱/۷	-۰/۷۶	-۰/۴۱	-۱/۱۲	-۰/۶۵	-۱/۹	۱/۵۶	-۲/۹	-۵/۷۳	-۰/۸۳
S6	-۴/۵۱	-۰/۱۲	-۰/۱۶	-۱/۰۸	-۲/۰۲	-۰/۸۱	-۰/۸۸	-۱/۱۴	-۰/۷	-۰/۸۷	-۰/۸	-۰/۸۴	-۱/۸۱	+۰/۵۶	-۲/۶	-۵/۳۲	-۰/۸۱
S8	-۳/۹۹	+۰/۵	-۰/۴۳	-۰/۴۸	-۱/۳۸	-۰/۳۷	-۰/۷۷	-۰/۲	-۰/۸۹	-۰/۱۶	-۰/۴۳	-۰/۵۵	-۱/۹	۱/۱۵	-۲/۶	-۷/۹	-۰/۱۳
S9	-۴/۵۱	+۰/۰۹	-۰/۴۳	-۱/۰۴	-۱/۴۳	-۰/۷۲	-۱/۲۴	-۱/۲۲	-۰/۹۷	+۰/۱۶	-۰/۹	-۰/۵۶	-۲	-۰/۴۳	-۲/۶	-۶/۰۹	-۰/۸۵
S10	-۴/۸۳	-۰/۰۲	-۰/۲۹	-۱/۱۶	-۲/۱۱	-۰/۹	-۱/۳	-۲/۲۲	-۱/۰۹	-۱/۴۵	-۱/۰۱	-۰/۸۹	-۲/۰۹	۱/۱۵	-۲/۹	-۶	-۰/۸۸

*: مقدادیر مثبت شاخص زمین‌انباشت به صورت پررنگ مشخص شده است.

از ۰/۹۶ در نقطه S4 تا ۳/۱۳ در نقطه S8 متغیر است (شکل‌های ۵-۱۰ و ۵-۱۱). بر اساس طبقه‌بندی مولر (جدول ۸-۵) میزان انباشت عناصر کروم، مس، جیوه، نیکل، سرب و روی در نمونه‌های رسوبات رودخانه (S1 تا S10) فاقد آلودگی است. بر اساس مقادیر شاخص زمین‌انباشت، انباشت عنصر آرسنیک در نمونه‌های رسوبر S2 (۰/۰۱)، S3 (۰/۰۱۶)، S4 (۰/۰۱)، S8 (۰/۰۵) و S9 (۰/۰۹) در کلاس بدون آلودگی تا آلودگی متوسط قرار دارد. کادمیم در نمونه S5 در کلاس بدون آلودگی تا آلودگی متوسط قرار دارد و در سایر نمونه‌ها آلودگی نشان نمی‌دهند. انباشت سلنیم در نمونه‌های S5 (۱/۰۵۶)، S8 (۱/۰۱۵) و S10 (۱/۰۱۵) آلودگی متوسط دارد و در سایر نمونه‌ها به جز نمونه S9، شاخص زمین‌انباشت ۰/۵۶ می‌باشد که در کلاس بدون آلودگی تا آلودگی متوسط قرار می‌گیرد.



شکل ۵-۱۰. شاخص زمین‌انباشت برای عناصر As، Cd، Se و Hg در رسوبات رودخانه دلیل در مجاورت کارخانه.



شکل ۱۱-۵. شاخص زمین اپاشت برای عناصر Pb, Cu, Zn, Cr و Ni در رسوبات رودخانه دلیل در مجاورت کارخانه.

فصل ششم

بررسی ژئوشیمیایی دپوی باطله

و

مدل سازی اکسایش پیریت

۱-۶ - مقدمه

در فصل حاضر، میزان عناصر جزئی آنالیز شده در پروفیل‌های عمودی D، E و F با عناصر جزئی شیل سیاه و میانگین ذغال‌های جهان مقایسه شد. به منظور تشخیص منشا احتمالی عناصر جزئی در ذغال‌های دپو، توزیع و همبستگی این عناصر در نمونه‌ها بررسی شد. با توجه به پارامترهای حاصل از آزمایشات مانند pH، سولفات و میزان پیریت باقی‌مانده در نمونه‌های عمقی دپوی باطله، عمق تقریبی زون‌های اکسید شده (هوارزده) در هر یک از پروفیل‌های D، E و F روی دپوی باطله تعیین شد. در نهایت با انجام مدل‌سازی ریاضی، عمق نفوذ اکسیژن و نیز مقادیر پیریت باقی‌مانده دپو در اثر نفوذ اکسیژن در باطله‌های ذغال‌شویی که ۲۲ سال از عمر دپوی آن می‌گذرد، تعیین شد.

۲-۶ - عناصر جزئی^۱ در ذغال

عناصر جزئی در حد ppb و گاهًا تا حد ppm در ذغال یافت می‌شوند برخی از این عناصر به طور بالقوه سمی بوده و استخراج و فرآوری ذغال در مقیاس تناژهای بسیار زیاد باعث انباشت مقادیر قابل توجهی از این عناصر در محیط زیست می‌شود که تهدیدی برای سلامت انسان به شمار می‌آیند (واگنر^۲ و همکار، ۲۰۰۵). تاکنون لیست‌های متعددی به منظور معرفی عناصر جزئی دارای خطرات بالقوه سمی ارائه شده است. اصلاحیه قانون هوای پاک آمریکا^۳ در سال ۱۹۹۰ (فصل سوم) ۱۸۹ ماده خطرناک آلوده کننده هوا^۴ را لیست نمود که ۱۵ عنصر غیر آلی از این لیست شامل عناصر آنتیموان (Sb)، آرسنیک (As)، بریلیم (Be)، کادمیم (Cd)، کلر (Cl)، کروم (Cr)، کبات (Co)، فلوئور (F)، سرب (Pb)، منگنز (Mn)، جیوه (Hg)، نیکل (Ni)، سلنیم (Se)، توریم (Th) و اورانیوم (U) از زغال سرچشمه می‌گیرند (آژانس حفاظت محیط زیست آمریکا، ۱۹۹۰؛ فینکلمان^۵، ۱۹۹۴؛ هاگینز^۶، ۲۰۰۲).

عناصر آرسنیک، بر، کادمیم، جیوه، مولیبدن، سرب و سلنیم خطر شدید، عناصر کروم و نیکل خطر

¹ Trace elements² Wagner³ USA Clean Air Act Amendment⁴ Hazardous Air Pollution substances (HAPs)⁵ Finkelman⁶ Huggins

متوسط و عناصر لیتیم و آنتیموان خطر خفیف برای محیط زیست به شمار می‌آیند (بوث^۱ و همکاران، ۱۹۹۹). کمیته ملی ژئوشیمی آمریکا^۲ آرسنیک، بر، کادمیم، جیوه، مولیبدن، سرب و سلنیم را خطرات عمدۀ زیست محیطی و عناصر کروم، مس، فلور، نیکل، وانادیم و روی را خطرات متوسط برای محیط زیست می‌داند (بوشل و ویلیامسون، ۱۹۹۵). قانون حمایت از محیط زیست کانادا^۳ عناصر آرسنیک، کادمیم، جیوه، نیکل و سرب را به عنوان عناصر خطرساز مهم برای محیط زیست عنوان کرده است. همچنین در تقسیم‌بندی دیگری عناصر آرسنیک، کادمیم، کروم، مس، جیوه، مولیبدن، سرب، سلنیم، وانادیم و روی به عنوان عناصر خطرساز با منشا ذغالی بیان شدند (گودرزی، ۲۰۰۲). در تحقیق حاضر عناصر جزئی آنالیز شده با توجه به اثرات زیست محیطی آن‌ها بر محیط زیست به صورت زیر طبقه‌بندی می‌شوند (سواین^۴ و گودرزی، ۱۹۹۵؛ گوردا^۵، ۲۰۰۸):

- گروه اول، عناصر اصلی خطرناک برای محیط زیست^۶ یا مواد سمی که عبارتند از: آرسنیک (As)، کادمیم (Cd)، کروم (Cr)، جیوه (Hg)، سلنیم (Se).
- گروه دوم، عناصر فرعی خطرناک برای محیط زیست^۷ شامل: بر (B)، بریلیم (Be)، مس (Cu)، منگنز (Mn)، مولیبدن (Mo)، نیکل (Ni)، سرب (Pb)، توریم (Th)، اورانیوم (U)، وانادیم (V) و روی (Zn).
- گروه سوم عناصر با حداقل ضرر زیست محیطی^۸ شامل: باریم (Ba)، کبالت (Co)، آنتیموان (Tl)، قلع (Sn) و تالیوم (Sb).

بسیاری از محققان توزیع، منشا و عناصر جزئی همراه با پیریت را به عنوان مهم‌ترین عامل سولفوری در ذغال بررسی کرده‌اند. علاوه بر گوگرد، بسیاری از عناصر جزئی سمی نیز ممکن است با پیریت

¹ Booth

² US National Committee for Geochemistry

³ Canadian Environmental Protection Act

⁴ Swaine

⁵ Gürdal

⁶ Prime environmental sensitive elements

⁷ Environmental interest elements

⁸ Least harmful elements

همراه باشد در نتیجه پیریت به لحاظ تعیین شکل و میزان بروز عناصر جزئی در ذغال نیز حائز اهمیت است (دایا^۱ و همکاران، ۲۰۰۳). افزایش نگرانی‌های همراه با معدن‌کاری ذغال، عاملی شد تا شیمی پیریت مورد آزمایش قرار گرفته و میزان آلودگی زیست محیطی توسط پیریت به عنوان عامل توزیع کننده عناصر جزئی سمی بررسی شود (زو درو^۲ و گودرزی، ۱۹۹۳). عناصر جزئی کبات، مس، نیکل، سرب و روی در پیریت رگه‌ای و پیریت ندول شکل تعیین شد (اسپیرز^۳ و کسول، ۱۹۸۶). ۱۵ عنصر جزئی شامل آرسنیک، بریلیم، کادمیم، کروم، کبات، مس، منگنز، جیوه، مولیبدن، نیکل، استرانسیم، اورانیوم، وانادیم و روی که اثرات قابل توجهی بر محیط زیست دارند در پیریت سینژنتیک یافت شد (پیکهاردت^۴، ۱۹۸۹). مطالعات دیگری نشان داد که مس و نیکل همراه پیریت در ذغال یافت می‌شوند (اسپیرز و مارتینز، ۱۹۹۳؛ هو و همکاران، ۱۹۹۵). پیریت همچنین عامل اصلی فراوانی عناصر سرب و جیوه شناخته شده و فراوانی اورانیوم، کبات و مولیبден به کانی‌های رسی و فسفاتی مرتبط می‌شوند (سونگ^۵ و همکاران، ۲۰۰۷).

عناصر جزئی در ذغال‌های البرز مرکزی

مطالعات کانی شناسی و ژئوشیمی نسبتاً گسترهای در ذغال‌سنگ‌های البرز مرکزی توسط استاسیک^۶ و همکاران (۲۰۰۳)، یزدی و شیروانی (۲۰۰۴) و گودرزی و همکاران (۲۰۰۵) صورت گرفته است. گودرزی و همکاران (۲۰۰۵) با جمع آوری و مطالعه بر روی چند نمونه ذغال برداشت شده از غرب، مرکز و شرق البرز مرکزی، کانی‌های کائولینیت (هالویسیت) و کربنات‌هایی مانند کلسیت، دولومیت، آنکریت و سیدریت را کانی‌های غالب این ذغال‌سنگ‌ها معرفی نمودند و محیط دریاچه‌ای (به همراه فعالیت‌های آتشفسانی) تا دلتایی-آبرفتی را برای تشکیل ذغال‌های مورد بررسی خود در نظر گرفتند. آن‌ها دو نوع گوگرد اپیژنتیک (سخت و درشت دانه) و سینژنتیک (نرم و

¹ Daia

² Zodrow

³ Spears

⁴ Pickhardt

⁵ Song

⁶ Stasiuk

ریزدانه) را در منطقه مورد مطالعه خود تشخیص داده که به دلیل مقدار کم ($7/0$ تا $35/0$ درصد) و تأثیر اندک در آلودگی محیط‌زیست، به مطالعه آن‌ها نپرداختند. محققین، حضور عناصری مثل Ca, Mn, Mg و Sr موجود در منطقه لوشان (البرز مرکزی) را به کانی‌های کربناته (کلسیت و دولومیت) و فسفاته مرتبط می‌دانند. آنها Fe, As, Zn, Cd, Ni و S را به محتوای سولفیدی (پیریت) این منطقه وابسته دانسته و بیان نمودند. Al و Si اندازه‌گیری شده، از سیلیکات‌های آلومینیوم موجود در لایه‌های ذغالی ناشی شده‌اند (بیزدی و شیروانی، ۲۰۰۴).

۶-۳- عناصر اصلی و جزئی دپوی باطله کارخانه ذغال‌شویی البرز مرکزی

میانگین، حداکثر و حداقل غلظت‌های 30 عنصر عمده و جزئی از سطح تا قاعده دپوی باطله، در سه پروفیل عمودی D, E و F، در جدول ۱-۶ آورده شده است. در این جدول غلظت عناصر عمده آلومینیم، کلسیم، آهن، پتاسیم، منیزیم، سدیم و گوگرد بر حسب درصد وزنی و سایر عناصر جزئی (بر حسب ppm) می‌باشد. همچنین غلظت‌های پیریت سولفیدی باقی‌مانده (FeS_2) بر حسب درصد وزنی حاصل از آنالیز جذب اتمی و pH گل اشباع و سولفات (بر حسب mg/l) نیز در جدول قابل مشاهده است. ترکیب ژئوشیمیایی باطله‌های انباشت شده در کارخانه ذغال‌شویی با میانگین ترکیبات ذغال‌های جهان (سواین^۱، ۱۹۹۰) و مقادیر زمینه‌ای شیل سیاه (پالمر^۲ و همکاران، ۲۰۰۴؛ ریبیرو^۳ و همکاران، ۲۰۱۰) مقایسه شد (جدول ۱-۶). آهن با میانگین غلظت بیش از یک درصد ($>1\%$) عنصر عمده غالب در دپوی باطله است و میانگین غلظت آهن در پروفیل‌های D, E و F به ترتیب $1/54$ ، $1/22$ و $1/88$ درصد می‌باشد. سایر عناصر عمده دپوی باطله میانگین غلظت کمتر از یک درصد داشته ($<1\%$) و به ترتیب عبارتند از آلومینیم با میانگین غلظت $0/65$ ، $0/63$ و $0/68$ درصد به ترتیب در پروفیل‌های D, E و F، گوگرد کل با میانگین غلظت $0/52$ ، $0/48$ و $0/8$ درصد به ترتیب در پروفیل‌های D, E و F، کلسیم با میانگین غلظت $0/42$ ، $0/53$ و $0/4$ درصد به ترتیب در پروفیل‌های

¹ Swaine

² Palmer

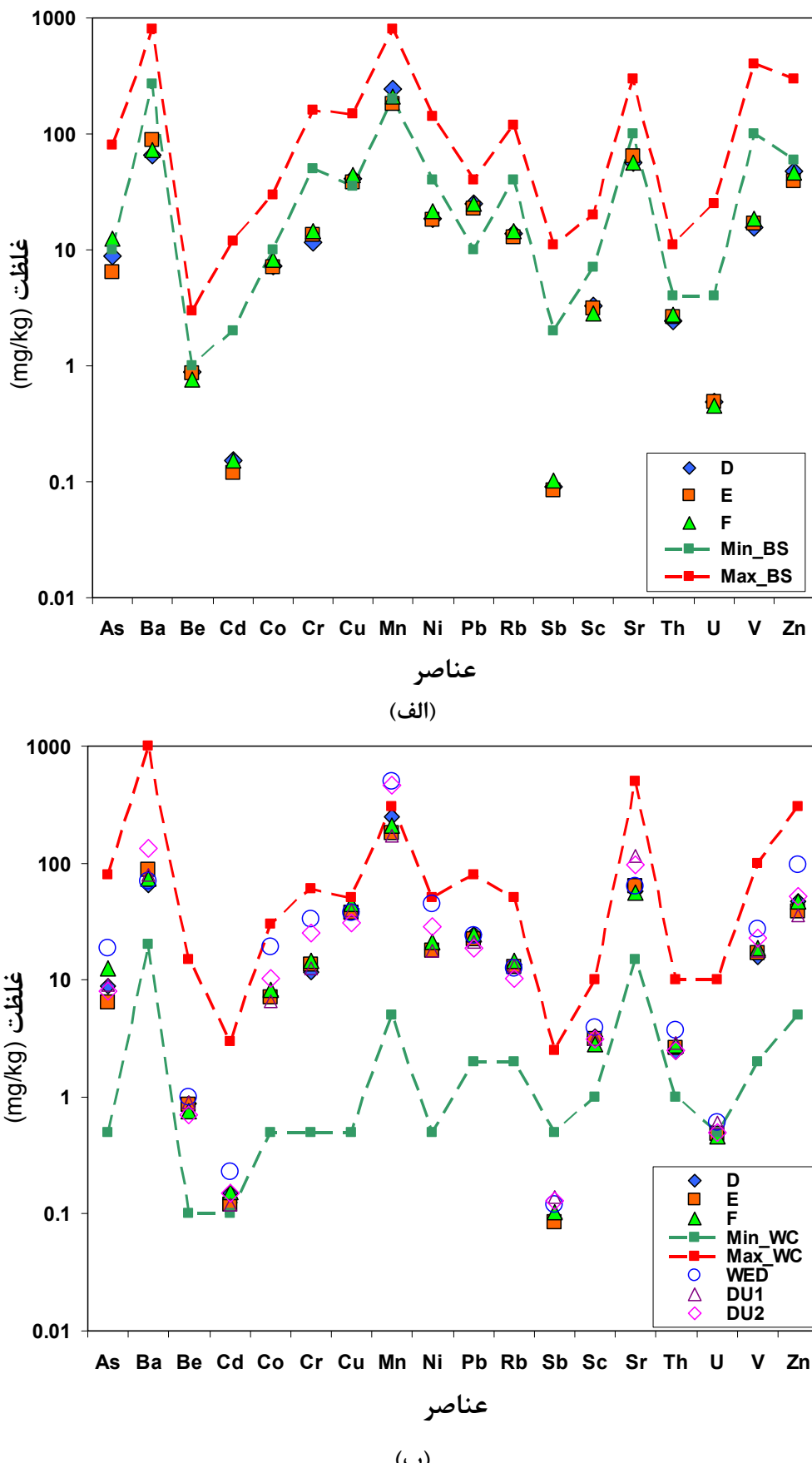
³ Ribeiro

جدول ۶-۱. بیشترین، کمترین و میانگین غلظت عناصر اصلی و جزئی، پیریت باقیمانده، سولفات و pH در دپوی باطله کارخانه ذغال‌شویی انجیرتنگه زیرآب.

	D			E			F			شیل سیاه	میانگین ذغال‌های جهان
	$n=9$			$n=9$			$n=7$				
	Min	Mean	Max	Min	Mean	Max	Min	Mean	Max		
Al	0/۳۳	0/۶۵	0/۸۱	0/۴۶	0/۶۳	0/۷۵	0/۵۵	0/۶۸	0/۸۱	-	-
Ca	0/۲۸	0/۴۲	0/۵۵	0/۲۳	0/۵۳	1/۲۳	0/۲۹	0/۴	0/۶۲	-	-
Fe	0/۵۲	1/۵۴	2/۳۲	0/۸۶	1/۲۲	۲/۲۹	1/۳۶	1/۸۸	2/۵۲	-	-
K	0/۰۸	0/۱۴	0/۱۷	0/۱۲	0/۱۴	0/۱۵	0/۱۳	0/۱۴	0/۱۷	-	-
Mg	0/۲۱	0/۳۴	0/۴	0/۳	0/۳۹	0/۵۷	0/۲۴	0/۳۹	0/۵۲	-	-
Na	0/۰۲	0/۰۴	0/۰۵	0/۰۱	0/۰۷	0/۲۲	0/۰۱	0/۰۳	0/۰۶	-	-
S	0/۱۹	0/۵۲	1/۳۱	0/۱۵	0/۴۸	0/۹۴	0/۴	0/۸	1/۴۶	-	-
As	1/۴	8/۹۳	2۶/۹	۲	6/۴۲	۲۲/۸	۵	1۲/۴۷	2۹/۱	1۰-۸۰	0/۵-۸۰
Ba	۵۳/۴	6۵/۳۷	۸۳/۸	۵۴/۳	۸۷/۸	۱۲۴	۵۶/۳	۷۳/۱	۸۵/۳	۲۷۰-۸۰۰	۲۰-۱۰۰
Be	0/۶	0/۸۸	1/۲	0/۸	0/۸۶	۱	0/۶	0/۷۵	۱	۱-۳	0/۱-۱۵
Cd	0/۱	0/۱۵	0/۲۴	0/۰۹	0/۱۲	0/۱۶	0/۰۹	0/۱۵	0/۲۶	۲-۱۲	0/۱-۳
Ce	۵/۴	6/۸۷	8/۷	6/۱	7/۳۷	8/۸	6/۱	6/۶۵	7/۵	-	-
Co	۴/۹	7/۲۵	8/۸	5/۹	7/۱۴	8/۳	۷	8/۱۷	9/۶	1۰-۳۰	0/۵-۳۰
Cr	۶/۵	11/۶۴	1۴/۱	1۰/۲	1۳/۵۶	1۸/۲	1۰/۴	1۴/۵۸	1۷/۶	۵۰-۱۶۰	0/۵-۶۰
Cu	۳۵/۸	4۰/۷۳	4۸/۹	۳۰	۳۷/۸	۴۸/۹	۴۰/۱	۴۴/۶	۴۷/۹	۳۵-۱۵۰	0/۵-۵۰
Hg	0/۰۸	0/۲۱۴	0/۴۳	0/۰۸	0/۱۳	0/۲۶	0/۱۱	0/۲۰۴	0/۳۱	-	0/۰۲-۱
La	۲/۳	۲/۸۴	۳/۸	۲/۶	۳/۰۴	۳/۶	۲/۴	۲/۷۷	۳/۲	-	-
Mn	۹۷	۲۴۶/۲	۳۶۲	۱۳۴	۱۸۰/۷	۲۶۶	۱۳۹	۲۱۰/۸	۲۹۶	۲۰۰-۸۰۰	۵-۳۰۰
Mo	۰/۳۵	۰/۵۸	1/۲۳	0/۳۶	0/۵۶	0/۹۷	0/۵۲	1/۰۸	۳/۷۹	-	0/۱-۱۰
Ni	۱۰/۵	1۸/۴۵	2۱/۷	1۴/۱	1۷/۹	2۰/۴	1۷/۲	2۱/۴	2۶/۵	۴۰-۱۴۰	0/۵-۵۰
Pb	۱۸/۱	۲۴/۸۵	۳۹/۳	۱۹/۷	۲۲/۴۷	۲۷/۱	۲۱/۶	۲۴/۷۶	۲۹/۵	۱۰-۴۰	۲-۸۰
Rb	۸/۵	1۳/۶۷	1۵/۸	1۰/۴	1۲/۸۲	1۴/۲	1۲/۹	1۴/۵	1۶/۳	۴۰-۱۲۰	۲-۵۰
Sb	۰/۰۷	۰/۰۹	0/۱۴	0/۰۴	0/۰۸	0/۱۴	0/۰۹	0/۱	0/۱۳	۲-۱۱	0/۵-۲/۵
Se	۰/۴	0/۶۱۱	0/۸	۰/۴	0/۰۱	0/۶	۰/۴	0/۵۷۱	0/۹	-	0/۲-۱۰
Sc	۲/۶	۳/۳	۳/۸	۲/۷	۳/۱۲	۳/۸	۲/۶	۲/۸۲	۳/۲	۷-۲۰	۱-۱۰
Sr	۳۵	۵۶/۶	۹۳	۳۵/۵	۶۳/۸۲	۹۸/۸	۵۱/۴	۵۶/۱	۶۱/۱	۱۰۰-۳۰۰	۱۵-۵۰۰
Th	۱/۶	۲/۴۵	۲/۹	۲/۳	۲/۶۲	۳/۱	۲/۴	۲/۷۵	۳	۴-۱۱	۱-۱۰
U	۰/۴	0/۴۸	0/۶	۰/۴	0/۴۸	0/۵	۰/۴	0/۴۵	0/۶	۴-۲۵	0/۵-۱۰
V	۱۲	1۵/۵۵	۱۸	۱۴	1۶/۷۷	۲۱	۱۵	1۸/۵۷	۲۸	1۰۰-۴۰۰	۲-۱۰۰
Zn	۲۸/۹	۴۷/۱۳	۷۶/۱	۲۸/۳	۳۸/۸۵	۴۸/۹	۳۳/۵	۴۶/۳۸	۶۷/۸	۶۰-۳۰۰	۵-۳۰۰
pH	۳/۲۴	6/۳۸۱	7/۵۶	6/۶۱	7/۲۲۲	7/۹	۳/۴۷	6/۱۶۲	7/۴۶	-	-
SO_4^{2-}	۳۶/۸	6۲/۰۳	۸۳/۳	۳۵/۲	۸۸/۸۸	۲۳۸	۳۲/۷	۷۳/۶۸	۱۰۰	-	-
FeS_2	۰/۹۲	0/۹۹	1/۰۷	۱	1/۱۳	1/۲۱	0/۸۹	1/۱۷۹	1/۳۱	-	-

F، E و D، منیزیم با میانگین غلظت $0/39$ ، $0/39$ و $0/39$ درصد به ترتیب در پروفیل‌های D، E و F پتاسیم با میانگین غلظت $14/0$ درصد در هر سه پروفیل D، E و F سدیم با میانگین غلظت $0/04$ ، $0/03$ و $0/03$ درصد به ترتیب در پروفیل‌های D، E و F. عناصر جزئی موجود در نمونه‌های دپوی باطله به صورت گرافیکی با مقادیر شیل سیاه^۱ و میانگین ذغال‌های جهان^۲ مقایسه شده است (شکل ۶-۱). عناصر جزئی موجود در نمونه‌های دپو به ترتیب غلظت عبارتند از منگنز (Mn)، باریم (Ba)، استرانسیم (Sr)، روی (Zn)، مس (Cu)، سرب (Pb)، نیکل (Ni)، وانادیم (V)، روبیدیم (Rb)، کروم (Cr)، کبات (Co)، آرسنیک (As)، اسکاندیم (Sc)، توریم (Th)، بریلیم (Be)، اورانیوم (U)، کادمیم (Cd) و آنتیموان (Sb) (شکل ۶-۱). میانگین عنصر سرب به ترتیب در پروفیل‌های D، E و F، $24/85$ و $24/76$ (ppm)، میانگین عنصر منگنز به ترتیب در پروفیل‌های D، E و F، $246/22$ و $22/47$ (ppm)، میانگین عنصر مس به ترتیب در پروفیل‌های D، E و F، $37/8$ ، $40/73$ و $180/77$ (ppm)، میانگین عنصر سرب به ترتیب $10/00$ (ppm) و مس 35 (ppm)، در نسبت به حداقل مقادیر سرب $44/6$ (ppm) شیل سیاه غنی‌شدگی نشان می‌دهند و غلظت سایر عناصر کمتر از حداقل مقادیر عناصر جزئی در شیل سیاه می‌باشد (شکل ۶-۱، الف). میانگین تمام عناصر جزئی موجود در ترکیب شیمیایی نمونه‌های دپو، کمتر از حداکثر میانگین ذغال‌های جهان بوده و هیچ یک از عناصر غنی‌شدگی ندارند (شکل ۶-۱، ب). میانگین عنصر آنتیموان به ترتیب در پروفیل‌های D، E و F، $0/09$ ، $0/08$ و $0/08$ (ppm) و کمتر از حداقل مقدار ذغال‌های جهان $0/05$ (ppm) می‌باشد. میانگین عنصر کادمیم به ترتیب در پروفیل‌های D، E و F، $0/15$ ، $0/12$ و $0/10$ (ppm) و میانگین عنصر اورانیوم به ترتیب در پروفیل‌های D، E و F، $0/48$ ، $0/48$ و $0/45$ (ppm) که برابر با حداقل مقدار Cd ($0/01$) و U ($0/05$) در میانگین ذغال‌های جهان می‌باشند. تقریباً همه عناصر جزئی دپوی باطله در بازه حداقل تا حداکثر میانگین ذغال‌های جهان پراکنده‌اند در صورتی که تقریباً همه عناصر دپوی باطله کمتر از حداقل عناصر شیل سیاه می‌باشند که می‌توان نتیجه گرفت سهم ذغال در دپوی باطله در مقایسه با شیل‌های

¹ Black shale² World coal average



شكل ۱-۶. مقایسه عناصر جزئی نمونه‌های دپوی باطله، (الف) با عناصر شیل سیاه و (ب) میانگین ذغال‌های جهان.

سیاه بیشتر است (شکل ۱-۶ الف و ب). عناصر جزئی در سه نمونه از خاک‌های اطراف دپوی باطله DU1، DU2 و WED با میانگین عناصر در پروفیل‌های D، E و F مقایسه شد (شکل ۱-۶، ب). همه عناصر جزئی، به جز سه عنصر Cu، Rb و Pb در نمونه‌های خاک اطراف محل دپو نسبت به میانگین غلظت عناصر در پروفیل‌های D، E و F غنی‌شدگی نشان می‌دهند. شستشوی سطح دمپ در اثر بارش‌های جوی و جاری شدن روان‌آب‌های^۱ حاصل در اطراف دمپ دلیل این غنی‌شدگی می‌باشد. در بسیاری از مطالعات، از ارتباط (همبستگی) بین برخی عناصر جزئی با میزان گوگرد کل، حدس زده می‌شود که این عناصر نزدیکی و خویشاوندی^۲ با گوگرد (پیریت) دارند. از طرفی همبستگی مثبت بین عناصر جزئی موجود در نمونه‌های ذغال با درصد وزنی خاکستر خشک بیانگر حضور عناصر جزئی در فاز غیرآلی می‌باشد (گوردا، ۲۰۰۸). مشابهت در پتانسیل یونی از جمله مهم‌ترین عوامل مؤثر در ایجاد همبستگی بین عناصر است، هر چه پتانسیل یونی دو عنصر به هم نزدیک‌تر باشد رفتار آنها نیز بیشتر مشابه یکدیگر خواهد بود. پتانسیل یونی عموماً برای فلزات تعریف شده (یون‌های با بار مثبت) و در بررسی عناصری مانند As، Sb، Se کاربرد چندانی ندارد. همبستگی مثبت فلزات با نافلزات و نافلزات با نافلزات را می‌توان به تمایل آنها نسبت به تشکیل ترکیبات یونی (مانند ZnS، PbS و ...) و یا ترکیبات کووالانسی (مانند Sb₂S₃ و یا SeS₂) مرتبط دانست (اتکینز^۳، ۱۹۹۳). در مطالعه حاضر با محاسبه مقادیر همبستگی بین عناصر جزئی در ۲۵ نمونه برداشت شده در سه پروفیل D، E و F مقایسه آنها با مطالعات مشابه صورت گرفته، منشا پیریتی برخی از عناصر مشخص شد که نتایج آن در زیر آورده شده است (جدول ۲-۶).

۱-۳-۶- گروه اول (عناصر اصلی خطرناک برای محیط زیست)

همبستگی مثبت آرسنیک با گوگرد کل ($r=0.632$)، همبستگی مثبت قوی بین As و Fe ($r=0.578$)، همبستگی مثبت قوی بین Fe و S ($r=0.602$)، هر سه در سطح اعتماد ۹۹٪ ($p < 0.01$)، احتمالاً به

¹ Runoff

² Affinity

³ Atkins

جدول ۶-۲. مقادیر همبستگی محاسبه شده برای ۲۵ عنصر جزئی و اصلی حاصل از آنالیز ICP-MS در ۲۵ نمونه برداشت شده از سه پروفیل D، E و F در دپوی باطله کارخانه ذغالشویی انجیرتنگه.

	Al	Ca	Fe	K	Mg	Na	P	S	As	Ba	Cd	Ce	Co	Cu	Hg	La	Mn	Mo	Ni	Pb	Sb	Se	Sr	Zn
Al	1																							
Ca	-0/15	1																						
Fe	0/5*	-0/05	1																					
K	0/75**	0/14	0/43*	1																				
Mg	0/45*	0.../8**	0/3	0/5*	1																			
Na	-0/09	0/88**	-0/26	0/13	0/5*	1																		
P	0/01	0/11	-0/07	-0/1	-0/25	-0/13	1																	
S	-0/01	0/43*	0/6**	0/13	0/39	0/18	-0/05	1																
As	0/01	0/12	0/5**	0/12	0/06	-0/28	0/02	0/62**	1															
Ba	-0/32	0/72**	-0/3	-0/3	0/31	0/58**	0/16	0/22	-0/02	1														
Cd	0/29	-0/23	0/29	0/16	0/1	-0/12	-0/03	0/04	0/001	-0/4*	1													
Ce	0/31	0/41*	-0/1	0/33	0/29	0/38	0/41*	-0/22	-0/23	0/45*	-0/28	1												
Co	0/46*	0/19	0/49*	0/4*	0/56**	0/04	-0/25	0/37	0/51**	-0/01	0/06	0/02	1											
Cu	0/37	-0/4*	0/5*	0/23	-0/05	-0/19	0/03	0/32	-0/5**	0/4*	-0/36	0/41*	1											
Hg	0/12	-0/06	0/7**	0/14	-0/07	-0/31	0/1	0/66**	0/71**	-0/34	0/3	0/4*	0/23	0/31	1									
La	0/21	0/37	-0/21	0/25	0/18	0/29	0/46*	-0/28	-0/2	0/45*	-0/33	0/96**	0/09	-0/32	-0/4*	1								
Mn	0/8**	0/02	0/7**	0/8**	0/31	-0/18	0/05	0/29	0/37	-0/4*	0/41*	-0/08	0/4*	0/41*	0/55**	-0/11	1							
Mo	0/07	0/24	0/42*	0/26	0/3	-0/1	-0/04	0/61**	0/76**	0/17	-0/09	-0/13	0/45*	0/2	0/42*	-0/14	0/27	1						
Ni	0/65**	0/06	0/6**	0/5**	0/57**	-0/06	-0/25	0/38	0/56**	-0/19	0/21	-0/02	0/9**	0/54**	0/36	-0/06	0/55**	0/49*	1					
Pb	0/52**	-0/22	0/5**	0/4*	0/17	-0/19	-0/09	0/25	0/16	-0/4*	0/7**	-0/22	0/11	0/41*	0/51**	-0/33	0/61**	0/22	0/32	1				
Sb	-0/26	0/54**	0/25	-0/1	0/44*	0/21	-0/06	0/56**	0/46*	0/32	-0/15	-0/14	0/49*	-0/1	0/24	-0/12	0/02	0/43*	0/33	-0/21	1			
Se	0/29	0/09	0/5**	0/4*	0/2	-0/13	0/19	0/46*	0/42*	-0/08	0/4*	-0/11	0/12	0/32	0/58**	-0/15	0/61**	0/54**	0/34	0/66**	0/05	1		
Sr	-0/15	0/51**	-0/2	-0/05	0/2	0/47*	0/52**	0/12	-0/01	0/73**	-0/16	0/54**	0/03	-0/2	-0/24	0/56**	-0/26	0/09	-0/08	-0/3	0/2	0/09	1	
Zn	0/54**	-0/18	0/5**	0/41*	0/26	-0/14	-0/16	0/13	0/05	-0/5**	0/83**	-0/25	0/21	0/52**	0/43*	-0/33	0/69**	-0/07	0/43*	0/73**	-0/17	0/49*	-0/3	1

* اعتبار همبستگی در سطح اعتماد ۹۹%.

** اعتبار همبستگی در سطح اعتماد ۹۵%.

علت همراهی آرسنیک با پیریت است (فینکلمن، ۱۹۹۴؛ گورDAL، ۲۰۰۸؛ ریبیرو، ۲۰۱۰).

کادمیم اکثراً همراه با پیریت و اسفالریت در ذغال یافت می‌شود (سواین، ۱۹۹۰؛ فینکلمن، ۱۹۹۴).

همبستگی مثبت بین Cd و Zn با سطح اعتماد ۹۹٪ ($p < 0.01$)، ممکن است در تأیید همراهی

کادمیم به فرم کانی با اسفالریت باشد (ریبیرو، ۲۰۱۰).

همبستگی Hg با گوگرد کل ($r = 0.662$)، Hg با As ($r = 0.711$)، Hg با Se ($r = 0.583$)، هر سه با

سطح اعتماد ۹۹٪ ($p < 0.01$)، احتمالاً همراهی جیوه با فاز سولفیدی (پیریت) را بیان می‌دارد

(گورDAL، ۲۰۰۸). جیوه در اکثر ذغال‌ها با سولفید (پیریت) و سلنید (SeS_2) و نیز HgS همراه

است. از طرفی، علاوه بر جیوه فلزی، اجزاء آلی-فلزی^۱ جیوه در ذغال نیز با کانی‌سازی جیوه همراه

می‌باشند (گودرزی، ۲۰۰۲؛ گورDAL، ۲۰۰۸).

عنصر سلنیم تمایل زیاد به ترکیب شدن با نافلزاتی مانند S (SeS_2) و Sb (Sb_2Se) دارد که ایجاد

ترکیبات نامحلول می‌نماید (اتکینز، ۱۹۹۳). سلنیم به صورت کانی‌های سولفیدی و عمدهاً پیریت در

ذغال رخ می‌دهد (سواین، ۱۹۹۰؛ گورDAL، ۲۰۰۸). همبستگی مثبت بین Se و S ($r = 0.469$) با سطح

اعتماد ۹۵٪ ($p < 0.05$)، همبستگی مثبت بین Fe و Se ($r = 0.527$) با سطح اعتماد ۹۹٪ ($p < 0.01$)،

همبستگی کم بین Se و Sb ($r = 0.05$) نشان از احتمال وجود سلنیم به شکل کانی به صورت SeS_2 یا

همراهی با پیریت دارد.

۶-۳-۲- گروه دوم (عناصر فرعی خطرناک برای محیط زیست)

ニکل همراه با هر دو حالت آلی و غیرآلی در ذغال (فینکلمن^۳، ۱۹۹۹) و همچنین با سولفیدها گزارش

شده است (گودرزی، ۲۰۰۲). همبستگی مثبت و قوی بین Ni و As ($r = 0.564$)، بین Ni و Co

و بین Ni و Cu ($r = 0.548$) هر سه با سطح اعتماد ۹۹٪ ($p < 0.01$)، همبستگی مثبت Ni و

Zn ($r = 0.9$) با سطح اعتماد ۹۵٪ ($p < 0.05$) احتمالاً منشاً سولفیدی نیکل در ذغال‌های دپوی

¹ Organometallic compounds

² GürDAL

³ Finkelman

باطله را مشخص می‌کند (ریبیرو، ۲۰۱۰).

مولیبدن در ذغال به هر دو صورت آلی و سولفیدی گزارش شده است (گودرزی، ۲۰۰۲؛ گوردا، ۲۰۰۸). همبستگی مثبت Ni و Mo ($r=0.495$) با سطح اعتماد٪ ۹۵٪ ($p < 0.05$)، همبستگی مثبت بین Mo و گوگرد کل ($r=0.614$) با سطح اعتماد٪ ۹۹٪ ($p < 0.01$)، می‌تواند دلیلی بر حضور مولیبدن به صورت سولفیدی باشد.

مس نیز عمدتاً با پیریت و کالکوپیریت در ذغال بروز می‌نماید (سواین، ۱۹۹۰؛ فینکلمن، ۱۹۹۵؛ گوردا، ۲۰۰۸؛ ریبیرو، ۲۰۱۰). سرب عمدتاً به فرم سولفید و یا همراه با کانی‌های سولفیدی در ذغال یافت می‌شود (فینکلمن، ۱۹۹۴)، در حالی که در ذغال‌های رتبه پایین^۱ سرب ممکن است به صورت آلی موجود باشد (سواین، ۱۹۹۰). همبستگی مثبت بین Pb و Hg ($r=0.519$) با سطح اعتماد٪ ۹۹٪ ($p < 0.05$)، همبستگی مثبت بین Cu و Pb ($r=0.417$) با سطح اعتماد٪ ۹۵٪ ($p < 0.05$)، ممکن است دلایلی بر حضور مس و سرب با بخش سولفیدی ذغال (احتمالاً پیریت) در نمونه‌های دپو باطله باشد.

روی عمدتاً با پیریت و اسفالریت در ذغال همراه است (فینکلمن، ۱۹۹۵؛ گوردا، ۲۰۰۸؛ ریبیرو، ۲۰۱۰). همبستگی مثبت بین Zn و Cd، بین Zn و Ni ($r=0.432$) با سطح اعتماد٪ ۹۵٪ ($p < 0.05$)، Zn و Cu ($r=0.524$) با سطح اعتماد٪ ۹۵٪ ($p < 0.01$)، Zn و Hg ($r=0.439$) با سطح اعتماد٪ ۹۹٪ ($p < 0.01$)، Pb و Zn ($r=0.732$) با سطح اعتماد٪ ۹۹٪ ($p < 0.01$)، احتمالاً روی در فاز سولفیدی مثبت و قوی Zn و Pb ($r=0.732$) با سطح اعتماد٪ ۹۹٪ ($p < 0.05$)، همبستگی مثبت و قوی Zn و Pb ($r=0.732$) با سطح اعتماد٪ ۹۹٪ ($p < 0.01$)، احتمالاً حضور روی در فاز سولفیدی را تأیید می‌نماید.

۶-۳-۳- گروه سوم (عناصر با حداقل خطر برای محیط زیست)

باریم عموماً به فرم غیر آلی و به شکل کانی باریت (BaSO_4) یا سایر کانی‌های باریم‌دار در ذغال یافت می‌شود (فینکلمن، ۱۹۹۵). همبستگی مثبت بین Ba و Sr ($r=0.733$)، Ba و Ca ($r=0.727$)، با سطح اعتماد٪ ۹۹٪ ($p < 0.01$) می‌تواند دلایلی بر حضور باریم همراه کانی‌های کربناته باشد.

¹ Lower rank

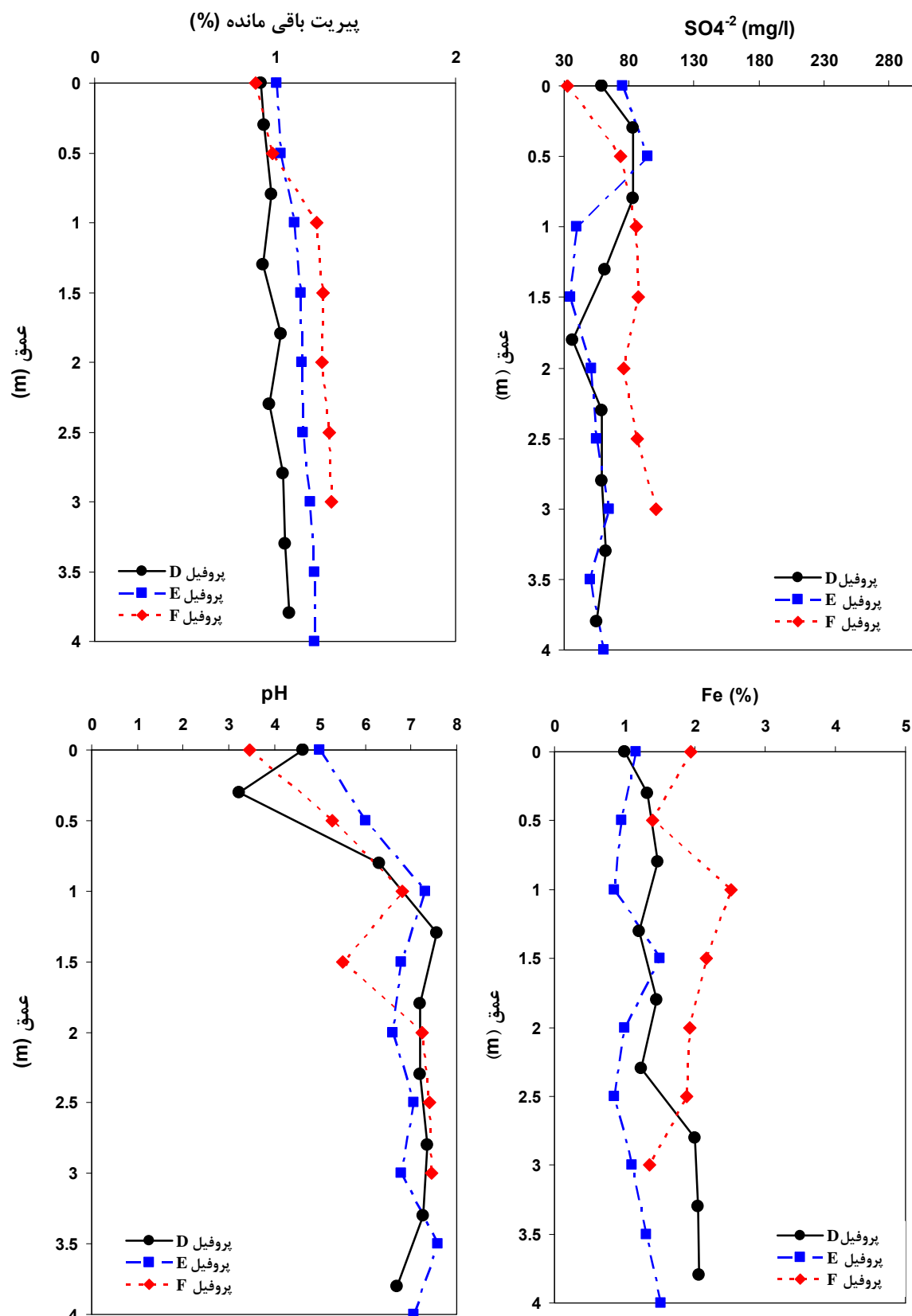
آنتمیوان ممکن است به صورت محلول جامد^۱ در پیریت یافت شود (فینکلمن، ۱۹۹۴). همبستگی مثبت بین Sb و گوگرد کل ($r=0.561$) با سطح اعتماد ۹۹٪ (p<0.01)، همبستگی مثبت بین Sb و As ($r=0.461$) با سطح اعتماد ۹۵٪ (p<0.05) دلیل همراهی آنتیموان با پیریت می‌باشد.

۶-۴- شناسایی زون اکسید شده^۲ روی دپوی باطله

تغییرات مقادیر سولفات و میزان پیریت باقی‌مانده در نمونه‌های عمقی برداشت شده از پروفیل‌های D، E و F ملاکی برای شناسایی زون اکسید شده از غیراکسیده در دپوی باطله می‌باشد (شکل ۲-۶). همچنین تصاویر مقاطع صیقلی تهیه شده از نمونه‌های عمقی پروفیل‌های E و F روی دپوی باطله در شکل ۳-۶ قابل مشاهده است. در پروفیل D بیشترین غلظت سولفات در نقطه D3 و در عمق ۸۰ سانتیمتری با غلظت $mg/L = 83/3$ می‌باشد و با افزایش عمق از میزان سولفات کاسته می‌شود. همچنین میزان محتوای پیریت باقی‌مانده در پروفیل D از کمترین مقدار خود در سطح زمین (%) $= 0.921$ (D1) به صورت خطی تا عمق ۸۰ سانتیمتر (D3) افزایش و به میزان 0.978 درصد می‌رسد. از این رو به نظر می‌رسد نفوذ اکسیژن و زون اکسید شده در پروفیل D تا عمق ۸۰ سانتیمتری از سطح باطله می‌باشد. احتمالاً حضور سولفات‌های آهن باقی‌مانده در فاز جامد (کانی‌های سولفات‌آبدار) به عنوان محصولات اکسایش پیریت، موجب کاهش مقادیر pH در نقاط D1، D2 و D3 شده است و کمترین مقدار pH $3/24$ در نقطه D2 می‌باشد (شکل ۲-۶). در پروفیل E بیشترین غلظت سولفات در نقطه E2 و در عمق ۵۰ سانتیمتری با غلظت $mg/L = 93/92$ می‌باشد و با افزایش عمق از میزان سولفات کاسته می‌شود. مقادیر pH در پروفیل E، از سطح تا عمق ۱ متری روند افزایشی داشته و به مقدار $7/31$ می‌رسد، سپس تا انتهای دپو روند تقریباً ثابتی دارد. کمترین مقادیر pH در پروفیل E، در نقاط E1 و E2 و به ترتیب ۵ و ۶ می‌باشد (شکل ۲-۶). همچنین میزان محتوای پیریت باقی‌مانده در پروفیل E از کمترین مقدار خود در سطح زمین (%) $= 1/00.6$ (D1) به صورت خطی تا عمق ۵۰ سانتیمتر (E2) افزایش و به میزان $1/032$ درصد می‌رسد. از این رو به نظر می‌رسد نفوذ

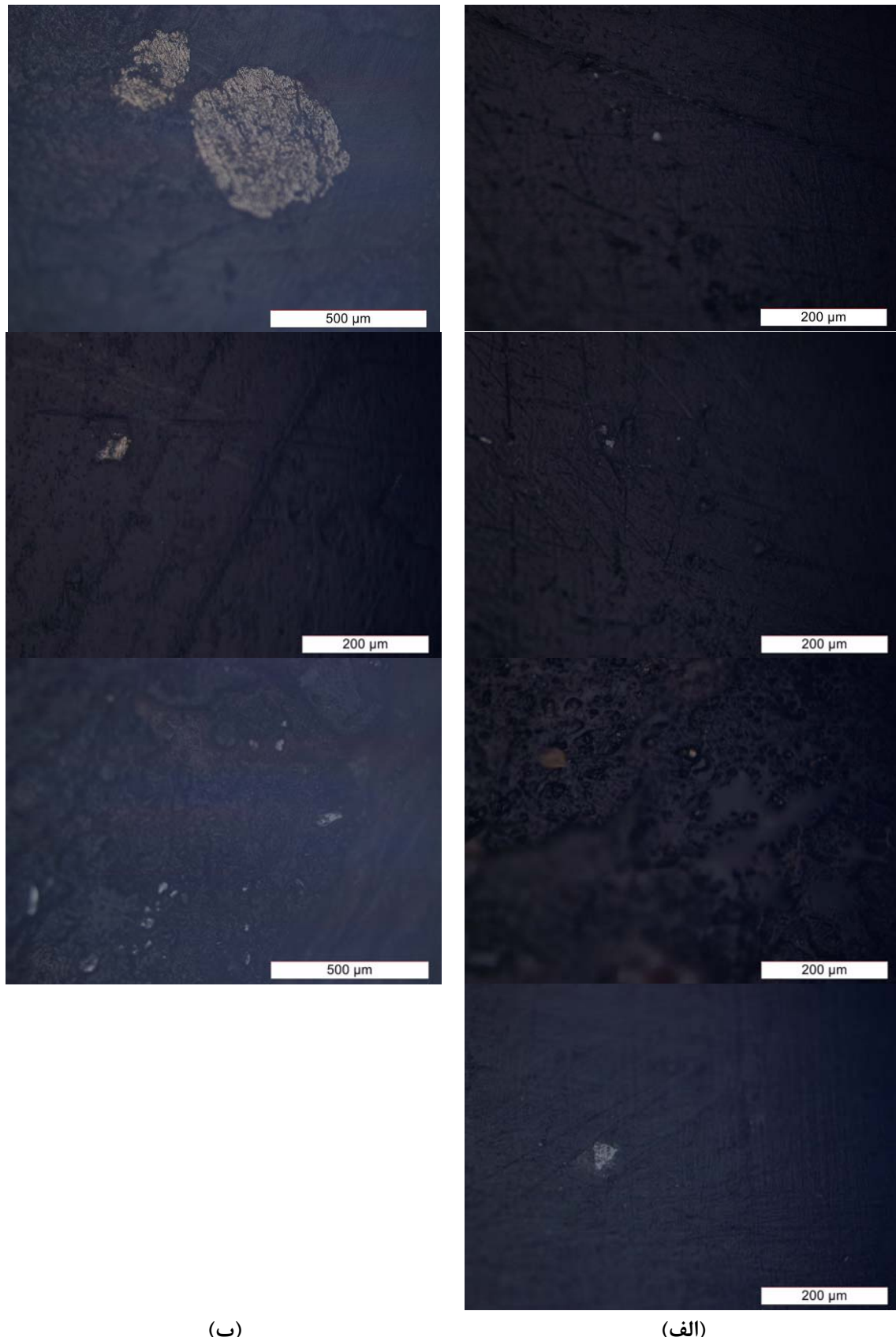
¹ Solid solution

² Oxidized Zone



شکل ۶-۲. بررسی روند تغییرات عمقی پیروزیت باقیمانده، سولفات، pH و آهن در پروفیل‌های D، E و F در دپوی باطله.

اکسیژن و زون اکسید شده در پروفیل E تا عمق ۵۰ سانتیمتری از سطح باطله باشد. در پروفیل F، غلظت سولفات از $32/79 \text{ mg/L}$ در نقطه F1 تا بیشترین مقدار $100/95 \text{ mg/L}$ در عمق ۳ متری و در نقطه F7 روند افزایشی نشان می‌دهد. رفتار سولفات در پروفیل F را می‌توان به این صورت توجیه کرد که سولفات فوق العاده انحلال پذیر و متحرک است از این رو با انحلال کانی‌های ثانویه در اعمق کم سولفات تولیدی در نتیجه اکسایش پیریت به فاز محلول تبدیل و به تدریج توسط نفوذ آب حاصل از بارش‌های جوی به اعمق منتقل می‌شود. نفوذپذیری نیز عامل بسیار مهمی است که به نظر می‌رسد در پروفیل F قطرات آب باران به خوبی جریان می‌یابند. از این رو تغییرات میزان پیریت باقیمانده در پروفیل F می‌تواند در شناسایی زون اکسید شده ما را یاری نماید. پیریت باقیمانده از $0/895$ درصد در سطح تا عمق $۰/۵$ متری و مقدار $۰/۹۸۷$ درصد روند افزایشی ملایمی نشان داده ولی از عمق ۱ متر تا عمق ۳ متر به وضوح روند تقریباً ثابتی دارد (شکل ۶-۲). به نظر می‌رسد که زون اکسید شده در پروفیل F از سطح تا عمق ۵۰ سانتیمتر باشد. در پروفیل F کمترین مقادیر pH در سطح دپوی باطله و به میزان $۳/۴۷$ می‌باشد. غلظت آهن نسبت به عمق در پروفیل D از سطح تا عمق $۲/۸$ متری روند افزایشی داشته و به مقدار ۲ درصد می‌رسد، پس از این عمق غلظت آهن به مقدار ثابتی می‌رسد. همچنین در پروفیل E بیشترین غلظت آهن در عمق $۱/۵$ متری و به میزان $۱/۵$ درصد است. بیشترین مقادیر آهن در پروفیل F در عمق ۱ متری و به میزان $۲/۵۲$ درصد می‌باشد (شکل ۶-۲). افزایش غلظت آهن در این اعماق و با فاصله کمی از زون‌های هوازده ممکن است در نتیجه آزاد شدن آهن ناشی از اکسایش پیریت، در زون‌های اکسید شده باشد.



شکل ۳-۶. تصاویر میکروسکوپ نوری از حضور پیریت در (الف) پروفیل عمقی E، از بالا به پایین به ترتیب E1، E2، E3 و E4، (ب) پروفیل عمقی F، از بالا به پایین به ترتیب F1، F2، F3، F4، در دپوی باطله کارخانه.

۶-۵-۱- انواع مدل‌ها^۱

مدل‌ها به عنوان یک ابزار مناسب در پیش‌بینی بسیاری از پیامدهای زیست محیطی حائز اهمیت بسیار می‌باشند. یک مدل، الگو و نشان‌دهنده روابط بین متغیرها و پاسخ در یک سیستم واقعی است. هدف اصلی مدل‌سازی افزایش درک و بینش بین پارامترهای موثر در فرآیندهایی است که در داخل یک سیستم واقعی در حال وقوع می‌باشد. از دیگر مزایای مدل حاکم بر یک فرآیند در پیش‌بینی رفتار سیستم در آینده است.

۶-۵-۲- مدل‌های مفهومی^۲

این مدل‌ها به صورت کیفی فرآیندهای داخل یک سیستم واقعی را تشریح می‌کنند. مدل‌های مفهومی می‌توانند در مرحله بعد در ارائه مدل‌های ریاضی برای فرآیند مورد بررسی مورد استفاده قرار گیرند.

۶-۵-۳- مدل فیزیکی

این مدل‌ها جهت درک صحیح و شبیه‌سازی مشکلات در مطالعات هیدروژئولوژی و محیط زیست به فراوانی استفاده شده‌اند. در این نوع مدل یک نمونه کوچک واقعی از سیستم هیدروژئولوژیکی ساخته شده و پدیده‌های موردنظر از نزدیک مورد مطالعه قرار می‌گیرند. مشکل اساسی این مدل‌ها هزینه بالا و ناتوانی در شبیه‌سازی مشکلات پیچیده می‌باشند.

۶-۵-۴- مدل ریاضی

مدل‌های ریاضی بر اساس مدل‌های مفهومی، رفتار سیستم را به طور کمی مورد بررسی قرار می‌دهند. یک مدل ریاضی شامل یکسری معادلات دیفرانسیل پاره‌ای^۳ می‌باشد که برای توجیه رفتار فرآیند بیان می‌گردد. این معادلات در صورت امکان به صورت تحلیلی یا عددی با استفاده از یک الگوریتم مناسب یا با استفاده از نرم افزارهای کامپیوتری با روش‌های عددی برای یک متغیر انتخابی که سیستم مورد مطالعه را تعریف می‌کند، حل می‌شوند. قابلیت اعتماد به پیش‌بینی‌ها و نتایج مدل ریاضی بستگی به

¹ Type of models² Conceptual models³ Partial differential equations

این موضوع دارد که مدل ریاضی به چه میزان با وضعیت واقعی مطابقت دارد (دولتی و همکاران، ۱۳۸۴).

۶-۵-۴- روشهای عددی^۱

روشهای تحلیلی با استفاده از فرضیات و شرایط مرزی برای حل مسائل انتقال جرم (مدل ریاضی) استفاده می‌شوند ولی اگر انتقال جرم توام با واکنش‌های شیمیایی باشند، (اکثراً در طبیعت به این صورت است) دیگر قادر به حل این مسائل نخواهند بود. در صورتی که روشهای عددی قادر به حل این‌گونه از مسائل می‌باشند. انواع روشهای عددی عبارتند از روش تفاوت‌های محدود^۲، روش اجزاء محدود^۳ و روش حجم‌های محدود^۴. نرم افزارهای کامپیوتربی با استفاده از یک یا چند روش عددی نام برده شده به حل مدل‌های پیچیده ریاضی می‌پردازند.

۶-۶- مدل‌های مفهومی انتقال^۵ اکسیژن در باطله‌ها

حضور اکسیژن بر تولید یون Fe^{+3} به عنوان دیگر عامل اکسیدکننده نیز تاثیرگذار است در نتیجه، نبود اکسیژن کافی باعث متوقف شدن اکسیداسیون پیریت می‌شود. اکسیژن محلول در آب بدون ناخالصی در تعادل با جو، در فشار کلی ۱ اتمسفر در محدوده $7/5 \text{ mg/L}$ در دمای 30°C تا $12/4 \text{ mg/L}$ در دمای 5°C متغیر است (تروسدال^۶ و همکاران، ۱۹۵۵). با وجود انحلال کم اکسیژن در آب، اکسیژن موجود در آب باران یا آب موجود در حفره‌ها به عنوان منبع اکسیژن‌دار برای اکسیداسیون سولفیدی است. این منبع اکسیژن خیلی محدود بوده و با راندمان بالایی تجدید نمی‌شود و از طرفی نرخ نفوذ اکسیژن در زون غیراشباع نسبت به زون اشباع بالاست، زیرا نفوذ اکسیژن در هوا ۱۰۰۰۰ مرتبه بیشتر از نفوذ اکسیژن در آب است (یانفل^۷، ۱۹۹۳). به علت کندی نفوذ اکسیژن در آب و انحلال پذیری پایین اکسیژن در آب، اکسیداسیون پیریت در آب‌های زیرزمینی را کد پایین

¹ Numerical methods

² Finite difference method

³ Finite element method

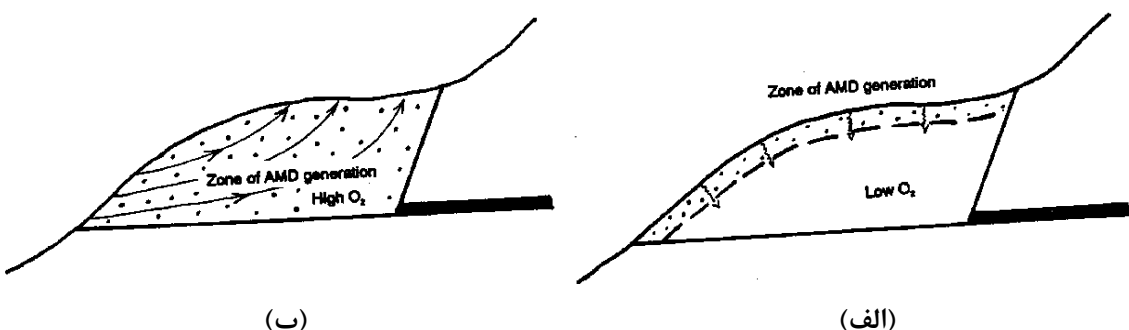
⁴ Finite volume method

⁵ Transport

⁶ Truesdale

⁷ Yanful

است (واتزلاف^۱، ۱۹۹۲). اگر دپوی باطله‌ها در زون غیر اشباع واقع باشد دو فرآیند عمدۀ اکسیژن مورد نیاز برای اکسایش Fe^{+2} یا اکسیداسیون پیریت در مکان‌های انباشت باطله‌های معادن و فراوری را تامین می‌نماید. نفوذ^۲ اولین عامل انتقال اکسیژن است که در آن اکسیژن مولکولی از مناطق با غلظت بالای اکسیژن به مناطق با غلظت پایین‌تر و از طریق فضاهای منفذی درون دپوی باطله‌ها با فرض پر بودن از هوا منتقل می‌شود (گو^۳، ۱۹۹۳؛ شکل ۴-۶، الف).



شکل ۴-۶. مدل مفهومی انتقال اکسیژن در دپو باطله‌های معدنی، الف) در دپوهای فشرده و شیلی با نفوذپذیری کم هوا، نفوذ پدیده غالب در انتقال اکسیژن می‌باشد. ب) در دپوهای با نفوذپذیری بالای هوا، پهن‌رفت پدیده غالب در انتقال اکسیژن است (گو، ۱۹۹۳).

اگر نفوذ فرآیند غالب تامین کننده اکسیژن باشد، بیشترین اکسیداسیون پیریت در قسمت‌های کم عمق و سطحی باطله عموماً در عمق کمتر از ۱ تا ۸ متر از سطح باطله‌ها رخ می‌دهد زیرا میزان اکسیژن در اعماق زیاد دپو به شدت کاهش می‌یابد و در مطالعات بسیاری این کاهش گزارش شده است. از آن جمله در چندین نقطه از دپوی باطله‌های معدنی ذغال میزان اکسیژن از ۲۱٪ حجمی در سطح تا مقداری بسیار کمی در عمق ۸ متری کاهش نشان داد (اریکسون^۴، ۱۹۸۵). همچنین در باطله‌های ذغالی معدنی در آمریکا غلظت اکسیژن از ۲۱٪ حجمی در سطح به ۴٪ حجمی در عمق ۱۰ متری کاهش یافت (کراوتا^۵ و همکاران، ۱۹۹۴b). انتقال اکسیژن در اثر پدیده نفوذ در دپوهای باطله ذغالی توسط مدل‌های کامپیوتری مورد بحث قرار گرفته است (جینز^۱ و همکاران، ۱۹۸۴a,b).

¹ Watzlaf

² Diffusion

³ Guo

⁴ Erickson

⁵ Cravotta

عامل دوم انتقال اکسیژن در نتیجه پدیده پهنه‌رفت^۲ است که جریان هوایی درون توده باطله‌ها در نتیجه پمپاژ بارومتریک یا اختلاف در درجه حرارت منتقل می‌شود (شکل ۶-۴، ب). جریان هوای معمولاً به وسیله گرمایی تولیدی در اثر واکنش گرمایی اکسیداسیون پیریت به بالارانده می‌شود. اگر پهنه‌رفت عامل غالب در انتقال اکسیژن باشد غلظت‌های بالایی از اکسیژن در قسمت‌های عمیق دپوی باطله رخ می‌دهد. غلظت اکسیژن در اعماق ۱۰ تا ۳۵ متری دپوی باطله ذغال در معدنی در آمریکا (Clearfield County, Mine 4) بیش از ۱۸٪ حجمی بود و با شبیه‌سازی کامپیوتوری نشان داده شد که علت بالا بودن غلظت اکسیژن در این اعماق در نتیجه هم‌رفت گرمایی است (گو، ۱۹۹۴a,b و ۱۹۹۳). در حالت کلی پهنه‌رفت در دپوهای باطله که حاوی مقادیر قابل ملاحظه‌ای ماسه سنگ و یا سنگ‌های سخت که فضاهای بین دانه‌ای محسوسی ایجاد می‌کنند، پدیده غالب در انتقال اکسیژن است در مقابل، در دپوهای باطله ناتراوا که از مواد ریز دانه شیلی و سست تشکیل شده‌اند (باطله‌های فرآوری^۳) نفوذ پدیده غالب در انتقال اکسیژن می‌باشد. هنگامی که قابلیت نفوذ‌پذیری در حدود $1 \times 10^{-9} \text{ ms}^{-1}$ باشد، نفوذ مهم‌ترین فرآیند انتقال به شمار می‌آید (شاکلفورد^۴، ۱۹۹۱).

۷-۶- مدل‌های ریاضی نفوذ اکسیژن در باطله‌ها

بر اساس قانون هنری^۵ و قانون گاز، اکسیژن موجود در فضاهای بین دانه‌ای (u) قابلیت تبدیل به فاز مایع (C) طبق رابطه ۱-۶ را دارد (دیویس^۶ و ریچی، ۱۹۸۶).

$$C = \gamma u \quad (1-6)$$

که در آن:

$$\gamma = \text{فاکتور تبدیل بین فاز گاز و مایع اکسیژن است} \quad (\gamma = 0.03).$$

با فرض این نکته که اکسیژن تنها در فاز گاز منتقل می‌شود، معادله ریاضی نفوذ اکسیژن که بیشترین

¹ Jaynes

² Advection

³ Tailing

⁴ Shackelford

⁵ Henry's law

⁶ Davis

انطباق با شرایط محیط دپو را داشته باشد تعریف می‌گردد. اگر غلظت اکسیژن با توجه به زمان تغییر نکرده و شرایط پایا^۱ باشد. مکانیزم نفوذ اکسیژن در حالت یک بعدی با استفاده از قانون اول فیک^۲ به صورت رابطه ۲-۶ بیان می‌شود (البرلینگ^۳ و همکاران، ۱۹۹۴).

$$J_D = -D_e \frac{\partial u}{\partial z} \quad (2-6)$$

که در آن:

J_D = جریان^۴ اکسیژن در فاز گاز،

D_e = ضریب نفوذ موثر (m²/s)،

در این فرمول باطله‌ها به صورت هموزن فرض شده‌اند و به همین دلیل ضریب نفوذ در عمق‌های مختلف ثابت فرض شده است. علامت منفی نشان‌دهنده حرکت اکسیژن از غلظت‌های بیشتر به غلظت‌های کمتر است.

معادله نفوذ اکسیژن در شرایط پایا و با در نظر گرفتن ترم مصرف حجمی اکسیژن به صورت رابطه ۳-۶ ارائه شده است (البرلینگ و همکاران، ۱۹۹۴).

$$D_e \frac{\partial^2 u}{\partial z^2} - S = 0 \quad (3-6)$$

که در آن:

S = عبارت حجمی مصرف اکسیژن در باطله‌ها (mol/m³.s)،

با توجه به اینکه غلظت اکسیژن نسبت به زمان تغییر می‌کند، لذا رابطه (۳-۶) نمی‌تواند بیان کننده تمام شرایط موجود در انتقال اکسیژن در دپوهای باطله باشد.

بنابراین معادله نفوذ اکسیژن در شرایط ناپایا^۱ با استفاده از قانون دوم فیک به صورت رابطه ۴-۶ می‌باشد.

¹ Steady state

² Fick's first law

³ Elberling

⁴ Flux

$$\frac{\partial u}{\partial t} = D_e \frac{\partial^2 u}{\partial z^2} \quad (4-6)$$

که در آن:

$$D_e = \text{ضریب نفوذ موثر (m}^2/\text{s)} \quad (4-6)$$

$$u = \text{غلظت اکسیژن در فضاهای بین دانه‌ای دپو،}$$

$$Z = \text{عمق (m)،}$$

$$t = \text{زمان (s)،}$$

معادله نفوذ اکسیژن در شرایط ناپایا، با در نظر گرفتن عبارت مصرف حجمی اکسیژن در نتیجه اکسیداسیون پیریت و اینکه تخلخل فضاهای هوادار ثابت باشد، در حالت یک بعدی به صورت رابطه ۶-۵ می‌باشد (دولتی ارد hegani و همکاران، ۲۰۱۰).

$$\phi_a \frac{\partial u}{\partial t} = D_e \frac{\partial^2 u}{\partial z^2} - Ku \quad (5-6)$$

که در آن:

$$D_e = \text{ضریب نفوذ موثر (m}^2/\text{s)} \quad (5-6)$$

$$\phi_a = \text{تخلخل هوادار دپو،}$$

$$K = \text{ثابت سینتیک مرتبه اول برای نرخ مصرف اکسیژن (1/s)،}$$

معادله اساسی برای نفوذ اکسیژن در حفرات و فضاهای خالی دمپ باطله با در نظر گرفتن عبارت‌های حجمی مصرف اکسیژن و با فرض اینکه تخلخل هوادار با زمان ثابت است، به شکل رابطه ۶-۶ می‌باشد (دولتی ارد hegani و شفائی تنکابنی، ۱۳۸۹).

$$\phi_a \frac{\partial u}{\partial t} = D_e \frac{\partial^2 u}{\partial z^2} + S_{K_{Py-O_2}} + S_{K_{Fe^{2+}-O_2}} + S_{K_{B-O_2}} \quad (6-6)$$

که در آن:

$$S_{K_{Py-O_2}} = \text{عبارت حجمی مصرف اکسیژن در واکنش با پیریت (mol/m}^3.\text{s)} \quad (6-6)$$

¹ Transient

$$\text{عبارت حجمی مصرف اکسیژن در واکنش با } \text{Fe}^{+2} - O_2 = S_{KFe}^{+2}$$

$$\text{عبارت حجمی مصرف اکسیژن توسط جمعیت باکتری‌ها } = S_{KB-O2}$$

ضریب نفوذ موثر اکسیژن گازی (D_e) تابعی از ضریب نفوذ اکسیژن در هوا (D_o)، تخلخل هوادار (ϕ_a) و پیچاپیچی مسیرهای نفوذ (τ) می‌باشد که در رابطه ۷-۶ قابل مشاهده است (جینز و همکاران، ۱۹۸۴).

$$D_e = \frac{P}{RT\sigma_a} \left(\frac{\phi_a}{\tau} \right) D_o \quad (7-6)$$

که در آن:

$$T = \text{دما،}$$

$$P = \text{فشار اتمسفر،}$$

$$R = \text{ثابت گازی،}$$

تخلخل پر شده از هوا به درجه اشباع (S_r) و تخلخل کل (ϕ_t) بستگی دارد که از رابطه ۸-۶ قابل محاسبه است.

$$\phi_a = \phi_t (1 - S_r) \quad (8-6)$$

۶-۸- شرایط مرزی برای حل مدل انتقال اکسیژن

شرایط مرزی و اولیه زیر در حل مدل‌های ریاضی ارائه شده برای انتقال اکسیژن استفاده می‌شود.

۶-۸-۱- شرط مرزی غلظت ثابت (یا شرط مرزی نوع اول یا دریکله^۱)

این شرط مرزی در ورودی مدل اعمال شده و غلظت اکسیژن در سطح دپو باطله‌های معدنی برابر غلظت مولی اکسیژن در هوا فرض می‌گردد ($atm = ۰/۲۱ mol/m^3$) و به صورت زیر بیان می‌شود.

$$u(0, t) = u_0 \quad (9-6)$$

^۱ Dirichlet boundary

۶-۸-۲- شرط اولیه

این شرط در طول مدل اعمال شده و فرض می‌شود که قبل از مدل‌سازی غلظت اکسیژن در طول پروفیل باطله‌های معدنی صفر است که به صورت رابطه ۶-۱۰ بیان می‌گردد.

$$u(z, 0) = 0 \quad (10-6)$$

۶-۸-۳- شرط مرزی گرادیان غلظت صفر، شرط مرزی نوع دوم یا نیومن^۱

این شرط در قاعده دمپ باطله اعمال شده و به صورت رابطه ۶-۱۱ بیان می‌شود.

$$u(L, t) = 0 \quad (11-6)$$

که در آن، L = طول پروفیل باطله‌ها است.

۶-۹- حل تحلیلی مدل‌های ریاضی نفوذ اکسیژن

با اعمال شرایط مرزی بیان شده در بخش ۶-۸ می‌توان به حل تحلیلی معادلات دیفرانسیل پاره‌ای نفوذ اکسیژن پرداخت. حل تحلیلی معادله نفوذ اکسیژن در شرایط ناپایا بدون در نظر گرفتن عبارت مصرف حجمی اکسیژن (رابطه ۶-۴) در رابطه ۶-۱۲ آمده است (reddi^۲، ۲۰۰۰).

$$u(z, t) = u_0 \operatorname{erfc} \left(\frac{z}{2\sqrt{Dt}} \right) \quad (12-6)$$

که در آن:

erfc = متمم تابع خطأ است.

حل معادله نفوذ اکسیژن در شرایط ناپایا با در نظر گرفتن عبارت مصرف حجمی اکسیژن در نتیجه اکسیداسیون پیریت (رابطه ۶-۵) به صورت رابطه ۶-۱۳ می‌باشد (قز^۳، ۱۹۸۸).

$$u(z, t) = u_0 \left(1 - \operatorname{erf} \left[\frac{z}{2\sqrt{Dt}} \right] \right) e^{-Kt} \quad (13-6)$$

که در آن، erf = تابع خطأ است.

¹ Neumann boundary

² Reddi

³ Ghez

۶-۱۰- مدل مفهومی اکسایش پیریت

انتقال اکسیژن به عنوان عامل محدود کننده نرخ اکسیداسیون سولفید در باطله‌های معدنی ثابت شده است (Ritchie^۱، ۲۰۰۳). میزان مصرف اکسیژن در فرآیند اکسیداسیون کانی‌های سولفیدی به واکنش‌پذیری آن کانی‌های بستگی دارد. بنابراین نفوذ اکسیژن در توده‌های باطله‌های سنگی در مقایسه با باطله‌های فرآوری کارایی کمتری دارد، زیرا باطله‌های فرآوری واکنش‌پذیرترند. به عکس جبهه اکسیداسیون در باطله‌های فرآوری به تناب در اعماق کم (از ۱۰ سانتیمتر تا چندین متر) به خصوص در باطله‌های با سولفید محتوی بالا متوقف می‌شود زیرا اکسیژن به وسیله سولفیدهای واکنش‌پذیر قبل از اینکه بتواند به اعماق بیشتر نفوذ کند مصرف می‌شود. با کنترل نرخ مصرف اکسیژن و نرخ انتقال و تجدید اکسیژن ممکن است در بعضی نقاط حالت پایا برقرار شود (Magdalena^۲، ۲۰۰۵). باطله‌های تولیدی در اثر معدن کاری ذغال به علت حضور مواد آلی فراوان ظرفیت مصرف اکسیژن بالایی دارند که این امر باعث کم شدن اکسیژن در دسترس برای اکسیداسیون سولفیدی می‌شود. علاوه بر نفوذ اکسیژن از طریق فضای بین دانه‌ای، مصرف شدن اکسیژن توسط دانه‌ها بر اساس مدل مغزه انقباضی^۳ مرحله بعدی نفوذ است (Davis^۴ و Ritchie^۵، ۱۹۸۶). این مرحله شامل نفوذ اکسیژن به مغزه اکسید نشده دانه سولفیدی از طریق پوسته اکسیده می‌باشد. اکسیژن از طریق فضای حجیم بین دانه‌ای عبور کرده در داخل فیلم بسیار نازک آب تفکیک می‌شود. سپس بر اساس گرادیان غلظت اکسیژن بین سطح دانه پیریت و مغزه واکنش نداده، اکسیژن از میان سطح اکسید شده که اطراف مغزه غیراکسیده را فراگرفته به دانه پیریت نفوذ می‌کند (قانون اول فیک). با پیشرفت واکنش اکسیداسیون پیریت شعاع مغزه واکنش نداده کاهش و ضخامت بخش اکسید شده ذره افزایش می‌باید (Wunderly^۵ و همکاران، ۱۹۹۶). شکل ۶-۵ فرآیند دو مرحله‌ای اکسیداسیون پیریت در باطله‌های آب‌گیری شده را شرح می‌دهد. مدل مغزه انقباضی به منظور شبیه‌سازی پیشرفت اکسیداسیون موجود

¹ Ritchie

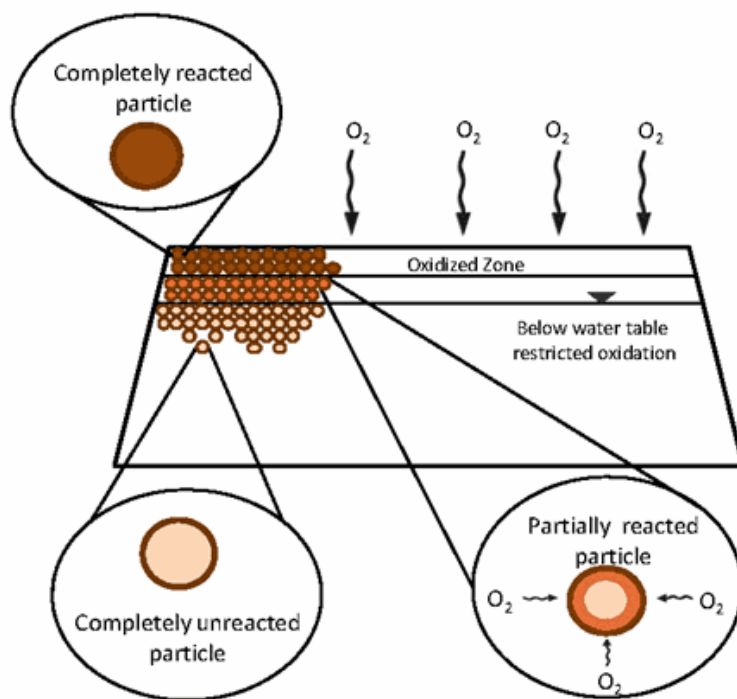
² Magdalena

³ Shrinking core model

⁴ Davis

⁵ Wunderly

در باطله‌های فرآوری معدنی با موفقیت در مطالعات بسیاری استفاده شده است (جینز و همکاران، ۱۹۸۶؛ دیویس و ریچی، ۱۹۹۶؛ واندرلی و همکاران، ۱۹۹۶؛ دولتی اردежانی و همکاران، ۲۰۰۸ و ۲۰۱۰).



شکل ۶-۵. مدل مفهومی فرآیند نفوذ و مدل مغزه انقباضی اکسیداسیون پیریت در باطله‌های آب‌گیری شده (واندرلی و همکاران، ۱۹۹۶).

۶-۱۱- مدل ریاضی اکسایش پیریت

تعريف مدل ریاضی اکسایش پیریت باطله‌ها با استفاده از مدل مغزه انقباضی باید فرضیات زیر را در نظر گرفت (جینز و همکاران، ۱۹۸۶؛ دیویس و ریچی، ۱۹۸۶؛ دولتی اردежانی و شفائی، ۱۳۸۹):

- ذرات حاوی پیریت کروی شکل هستند.
- تمامی ذرات هم اندازه و توسط فیلم نازکی از آب احاطه شده‌اند.
- پیریت به صورت یکنواخت در ذرات حاوی آن پخش شده است.

▪ فرآیند اکسایش پیریت در ذرات باطله توسط دو عامل سینتیک واکنش سطحی^۱ و نفوذ ماده

اکسنده به داخل ذرات^۲ کنترل می‌گردد.

با توجه به فرضیات اشاره شده و اگر اکسیژن تنها عامل اکسنده پیریت باشد، مدل مغزه انقباضی برای واکنش سینتیکی مرتبه اول اکسیداسیون پیریت به شکل رابطه ۱۴-۶ ساده شده است (البرلینگ و همکاران، ۱۹۹۴).

$$\frac{dC}{dt} = \frac{4}{15} \frac{du}{dt} = -KSu \quad (14-6)$$

در رابطه ۱۴-۶ به ازای هر مرحله زمانی مساحت سطح پیریت کاهش می‌یابد که مساحت سطح هر ذره بعد از هر مرحله زمانی t از رابطه ۱۵-۶ محاسبه می‌شود (البرلینگ و همکاران، ۱۹۹۴).

$$S_t = S_{t-1} - K \Delta t / \rho \quad (15-6)$$

که در روابط ۱۴-۶ و ۱۵-۶:

$=$ نرخ اکسایش پیریت dC/dt

$=$ غلظت اکسیژن در فاز گاز u

$=$ ثابت سینتیک مرتبه اول برای واکنش سطحی مصرف پیریت K

$=$ مساحت سطح ذره حاوی پیریت به حجم ذره در گام زمانی t S_t

$=$ مساحت سطح ذره حاوی پیریت به حجم ذره در گام زمانی $t-1$ S_{t-1}

$=$ چگالی مولی پیریت ρ

$=$ گام زمانی Δt

مدل ریاضی مغزه انقباضی برای اکسایش پیریت تنها در حضور اکسیژن (رابطه ۱۶-۶) و در حضور اکسیژن و یون Fe^{+3} به عنوان ماده اکسیدکننده (رابطه ۱۷-۶) به صورت زیر است (جینز و همکاران، ۱۹۸۴a,b).

¹ Surface reaction kinetics

² Oxidant diffusion

$$\frac{dX}{dt} = \frac{-3X^{\frac{2}{3}}}{6\tau_D X^{\frac{1}{3}} \left(1 - X^{\frac{1}{3}}\right) + \tau_C} \quad (16-6)$$

۹

$$\frac{\partial X}{\partial t} = \frac{-3X^{\frac{2}{3}}}{6\tau_{D[O_2]} X^{\frac{1}{3}} \left(1 - X^{\frac{1}{3}}\right) + \tau_{C[O_2]}} + \frac{-3X^{\frac{2}{3}}}{6\tau_{D[Fe^{3+}]} X^{\frac{1}{3}} \left(1 - X^{\frac{1}{3}}\right) + \tau_{C[Fe^{3+}]}} \quad (17-6)$$

که در این روابط:

 X =بخش پیریت باقیمانده در داخل ذره (Kg/Kg)

τ_D =کل زمان مورد نیاز برای اکسایش کامل پیریت در داخل یک ذره، در صورتی که فرآیند اکسایش فقط توسط نفوذ ماده اکسیدکننده به داخل ذره حاوی پیریت کنترل شود.

τ_C =کل زمان مورد نیاز برای اکسایش کامل پیریت در داخل یک ذره، در صورتی که فرآیند اکسایش فقط توسط سینتیک واکنش سطحی کنترل شود.

 t =زمان τ_D و τ_C را از روابط (18-6) و (19-6) می‌توان محاسبه نمود.

$$\tau_D = \frac{\rho_{Py} R^2}{6b D_{e[Ox]} C_{[Ox]}} \quad (18-6)$$

$$\tau_C = \frac{\rho_{Py} R}{b K_{[Ox]} \alpha_{Py}^{rock} \lambda C_{[Ox]}} \quad (19-6)$$

که در آن‌ها:

 ρ_{Py} =دانسیته پیریت در داخل ذرات (mol/m³) R =شعاع ذرات حاوی پیریت (m) b =نسبت استوکیومتری مصرف پیریت به مصرف ماده اکسیدکننده (mol/mol) $D_{e[Ox]}$ =ضریب نفوذ موثر ماده اکسید کننده در هاله اکسید شده ذره (m²/s)

$K_{[Ox]}$ = ثابت سینتیک مرتبه اول برای واکنش سطحی (m/s)

a_{py}^{rock} = سطح پیریت به واحد حجم ذرات باطله (m⁻¹)

λ = ضخامتی از ذره که در آن واکنش اکسایش پیریت رخ می‌دهد (m)

$C_{[Ox]}$ = غلظت ماده اکسیدکننده در فیلم آب اطراف ذرات حاوی پیریت (mol/m³)

۱۲-۶- شرایط مرزی برای حل مدل اکسایش پیریت

برای مدل اکسایش پیریت تنها یک شرط اولیه وجود دارد.

این شرط در طول مدل اعمال شده و فرض می‌شود که در صد پیریت اولیه موجود در باطله‌ها قبل از مدل‌سازی در طول پروفیل باطله‌های معدنی ثابت است که به صورت رابطه ۶-۲۰ بیان می‌شود.

$$C(z, 0) = C_i \quad (20-6)$$

که در آن:

C_i = غلظت اولیه پیریت در طول پروفیل باطله‌ها قبل از آغاز فرآیند اکسیداسیون است.

۱۳-۶- مدل‌سازی نفوذ اکسیژن و اکسایش پیریت در دپوی باطله‌های کارخانه

۱-۱۳-۶- ابزار مدل‌سازی

فینیکس^۱ نرم افزار چند منظوره دینامیک سیالات محاسباتی^۲ است که برای شبیه سازی جریان سیال، انتقال حرارت و انتقال جرم به کار برده می‌شود (چم^۳، ۲۰۰۷؛ اسپالدینگ^۴، ۱۹۸۱).

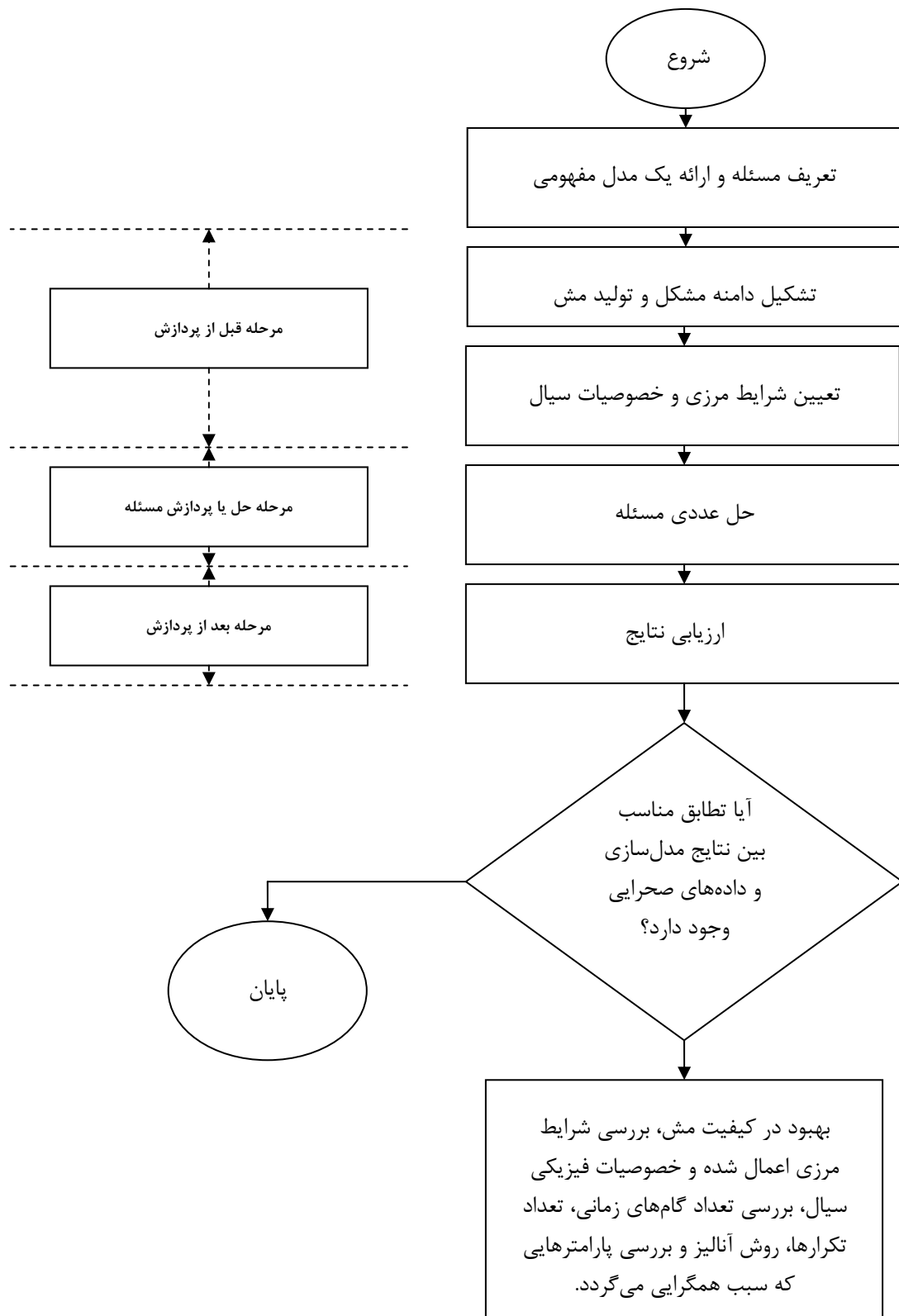
شکل ۶-۶ مراحل اصلی حل مسئله با استفاده از نرم افزارهای دینامیک سیالات محاسباتی (CFD) و از آن جمله فینیکس را نشان می‌دهد. نرم افزار فینیکس برای حل معادلات ریاضی نفوذ اکسیژن و اکسایش پیریت در دمپهای باطله با موفقیت استفاده شده است (دولتی ارد hegani و همکاران، ۲۰۰۴، ۲۰۱۰ و ۲۰۰۸). معادله دیفرانسیل جزئی که توسط این نرم‌افزار به روش عددی حجم‌های محدود

¹ PHOENICS

² Computational fluid dynamics (CFD)

³ CHAM

⁴ Spalding



شکل ۶-۶. فلوچارت انجام مراحل اصلی در آنالیزهای دینامیک سیالات محاسباتی (دولتی و همکاران، ۲۰۰۴).

حل می‌شود به صورت رابطه ۲۱-۶ است (دولتی و همکاران، ۱۳۸۹).

$$\frac{\partial}{\partial t}(\rho\phi) + \frac{\partial}{\partial x_j} \left(\rho u_j \phi - \Gamma_\phi \frac{\partial \phi}{\partial x_j} \right) = S_\phi \quad (21-6)$$

که در آن:

ϕ = متغیری که سیستم مورد نظر را تعریف می‌کند.

ρ = مشخصه فینیکس برای دانسیته که در اکثر شبیه‌سازی‌ها آن را معادل یک در نظر می‌گیرند.

x_j = مولفه سرعت در جهت x_j

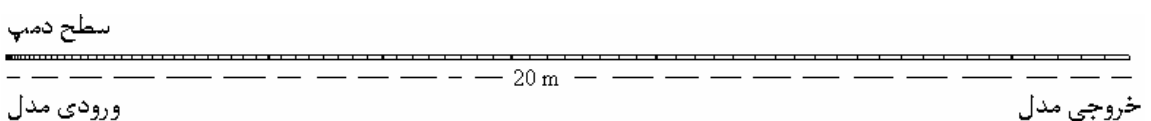
Γ_ϕ = ضریب نفوذ (یا پراکندگی) برای متغیر ϕ

S_ϕ = نرخ تولید یا مصرف متغیر ϕ

t = زمان

۲-۱۳-۶- نتایج مدل‌سازی

برای اجرای شبیه‌سازی یک‌بعدی، پروفیلی از باطله به عمق ۲۰ متر انتخاب و به ۸۰ عدد حجم کنترلی با اندازه‌های متفاوت تقسیم شد. مدل انتخابی در امتداد محور Z مختصات دکارتی قرار دارد (شکل ۷-۶). سایر پارامترهای ورودی مدل در جدول ۳-۶ آورده شده است.



شکل ۷-۶. مدل یک‌بعدی پروفیل باطله‌ها.

با در نظر گرفتن کلیه پارامترهای مدل (جدول ۳-۶)، مدل‌سازی تابع زمان با انتخاب طول مدت زمان شبیه‌سازی ۲۲ سال، ۲۶۴ گام زمانی و تعداد ۵۰۰ تکرار حل شد.

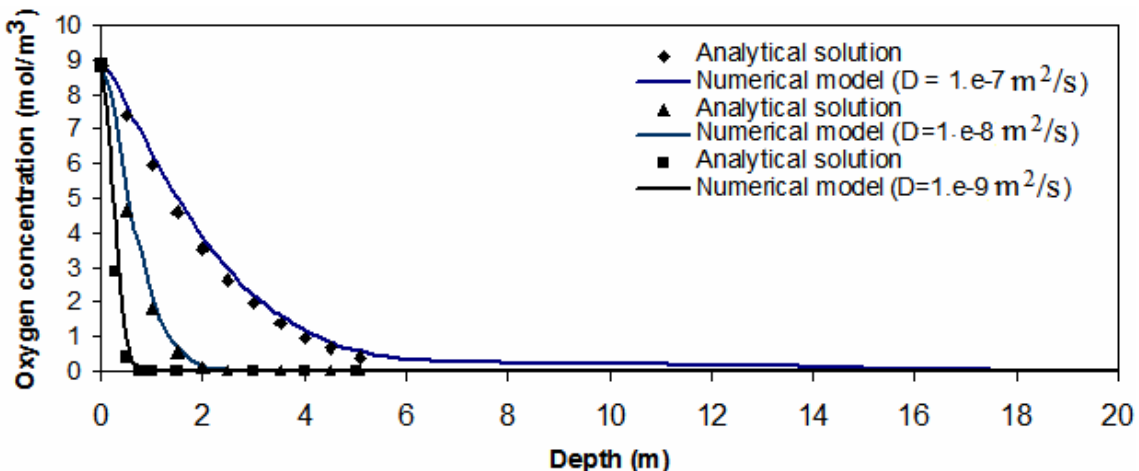
جدول ۶-۳. پارامترهای ورودی مدل.

پارامتر	طول مدل (m)	مقدار	مرجع
اندازه هر المان حجمی (m)	۲۰	متغیر با نسبت فشردگی ۱/۷	
تعداد المان حجمی	۸۰	مدت زمان شبیه‌سازی (year)	۲۲ سال
تعداد گام‌های زمانی	۲۶۴	تعداد تکرارها	۵۰۰
نوع شبیه‌سازی (بستگی زمانی مدل)	(1×10^{-9} – $2/3 \times 10^{-9}$)	ضریب نفوذ موثر اکسیژن (m^2/s)	نایابا
میزان پیریت اولیه (%)	(۱/۰۷–۱/۳۵)	چگالی مولی پیریت داخل ذرات (mol/m^3)	(جینز و همکاران، ۱۹۸۴a)
مساحت سطح پیریت به واحد حجم باطله (1/m)	۵۰۰–۱۲۰۰	قطر ذرات حاوی پیریت (m)	(البرلینگ و همکاران، ۱۹۹۴)
ثابت سینتیک واکنش سطحی مصرف اکسیژن ($mol/m^2 s$)	$2/21 \times 10^{-9}$	ثابت سینتیک واکنش سطحی مصرف پیریت ($mol/m^2 s$)	(جینز و همکاران، ۱۹۸۴a)
تخلخل باطله‌ها	۰/۲۵	بارندگی متوسط سالیانه (mm/year)	(جینز و همکاران، ۱۹۸۴a)

۶-۳-۳- واسنجی^۱ مدل نفوذ اکسیژن

معادله دیفرانسیل حاکم بر نفوذ اکسیژن به داخل دمپ (رابطه ۶-۵) با اعمال شرایط مرزی بخش ۶-۸ برای مدل ارائه شده (شکل ۷-۶)، توسط نرمافزار فینیکس به صورت عددی و تحلیلی (معادله ۶-۶) حل شد. برای کالیبره کردن مدل انتقال اکسیژن، از سه ضریب نفوذ مؤثر مختلف 1×10^{-8} ، 1×10^{-9} و 1×10^{-7} متر مربع بر ثانیه استفاده شد. تغییرات غلظت اکسیژن در امتداد پروفیل انتخابی برای مدت زمان ۱ سال در شکل ۸-۶ نشان داده شده است. در این شکل بین غلظت اکسیژن مدل‌سازی شده به کمک روش عددی حجم‌های محدود (خطوط) و غلظت اکسیژن محاسبه شده با فرمول تحلیلی (نقاط) انطباق مناسبی مشاهده می‌گردد.

^۱ Calibration



شکل ۸-۶. مقایسه نتایج مدل‌سازی عددی (خطوط) و تحلیلی (نقاط) برای بررسی تغییرات غلظت اکسیژن نسبت به عمق دمپ و تابعی از ضریب نفوذ موثر، به ازای زمان ۱ سال.

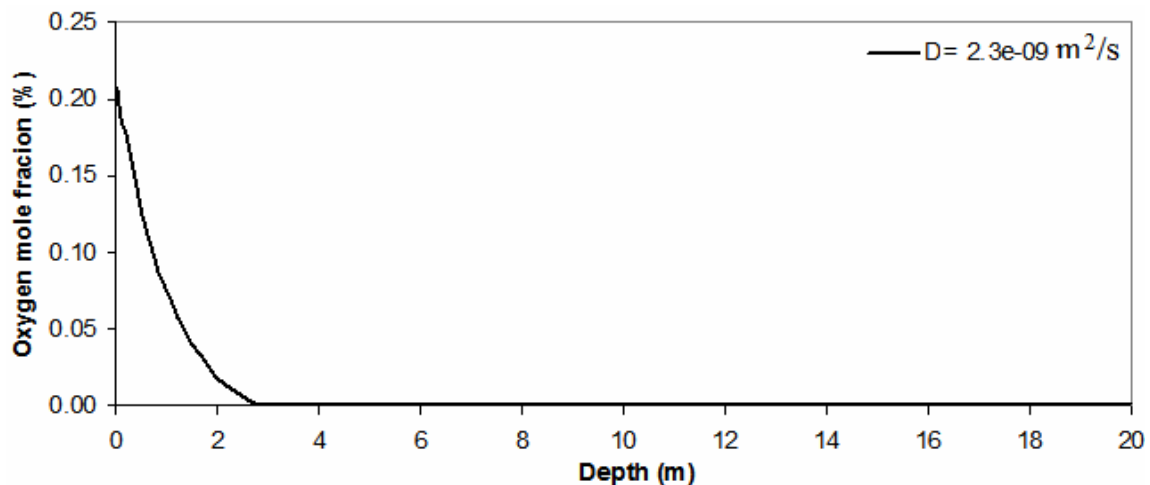
تغییر غلظت اکسیژن نسبت به عمق مشخصاً به ضریب نفوذ موثر اکسیژن (D_e) وابسته است. به ازای مقادیر ضریب نفوذ موثر کوچکتر از 1×10^{-8} متر مربع بر ثانیه، اکسیژن با عمق دمپ کاهش خطی نشان داد. در این صورت، هر دو روش عددی و تحلیلی نشان دادند که اکسیژن بیش از ۲ متر در دمپ نفوذ نخواهد کرد. با بزرگ‌تر شدن ضریب نفوذ مؤثر به 1×10^{-7} متر مربع بر ثانیه، اکسیژن تا اعمق بیشتری در پروفیل انتخابی نفوذ نمود (شکل ۸-۶).

۴-۱۳-۶- پیش‌بینی‌های مدل

شرایط مناسب برای فعالیت باکتری‌های تیوباسیلوس فروکسیدان در باطله‌های ذغالی و در نتیجه اکسیداسیون پیریت به وسیله یون‌های Fe^{+3} در محدوده $\text{pH} = ۳/۵ - ۲/۵$ می‌باشد (مالوف^۱ و پراتر، ۱۹۶۱). در دپوی باطله کارخانه ذغال‌شویی انجیرتنگه - زیرآب، میانگین مقادیر pH در پروفیل‌های D، E و F به ترتیب $۱۳/۱۳$ ، $۷/۲۲$ ، و $۶/۱۶$ می‌باشد، بنابراین شرایط محیطی برای رشد و تکثیر این باکتری‌ها مناسب نیست. احتمالاً حضور کانی‌های کربناته در محل انباست باطله‌ها سبب بالا رفتن مقادیر pH در نمونه‌های عمقی پروفیل‌های D، E و F شده است. بدون درنظر گرفتن نقش باکتری‌های تیوباسیلوس فروکسیدان و در نتیجه آهن سه‌ظرفیتی در اکسایش پیریت، مدل‌های

^۱ Malouf

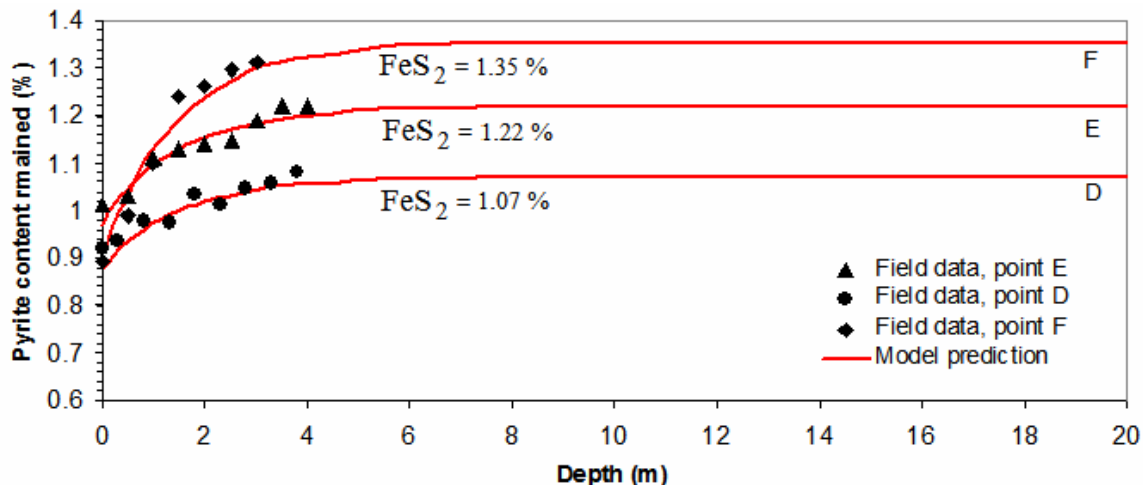
ریاضی اکسایش پیریت توسط مدل مغزه انقباضی (معادله ۶-۱۶) و نفوذ اکسیژن (معادله ۶-۶) بدون درنظر گرفتن عبارت مصرف حجمی اکسیژن در نتیجه فعالیت باکتری‌ها (S_{KB-O2}), به طور همزمان به روش عددی حجم‌های محدود توسط نرم افزار فینیکس حل شدند. برای حل عددی مدل اکسایش پیریت از شرط اولیه ارائه شده توسط رابطه ۶-۲۰ استفاده شد. این شرط درصد اولیه پیریت در باطله‌ها بوده و در سراسر طول پروفیل باطله‌ها (مدل) اعمال گردید. شکل‌های ۶-۹ و ۶-۱۰ پیش‌بینی مدل را به ترتیب برای غلظت اکسیژن و مقدار پیریت باقی‌مانده در ذرات باطله‌ها نسبت به عمق و مدت زمان ۲۲ سال و ضریب نفوذ موثر $2/3 \times 10^{-9}$ (بین 1×10^{-9} تا 3×10^{-9}) متر مربع بر ثانیه نشان می‌دهد. در این شبیه‌سازی، سطح پیریت به حجم باطله بین ۵۰۰ تا ۱۲۰۰ بر واحد طول تغییر داده شد.



شکل ۶-۶. تغییرات غلظت اکسیژن نسبت به عمق دمپ برای مدت زمان شبیه‌سازی ۲۲ سال و ضریب نفوذ موثر برابر با $2/3 \times 10^{-9}$ متر مربع بر ثانیه.

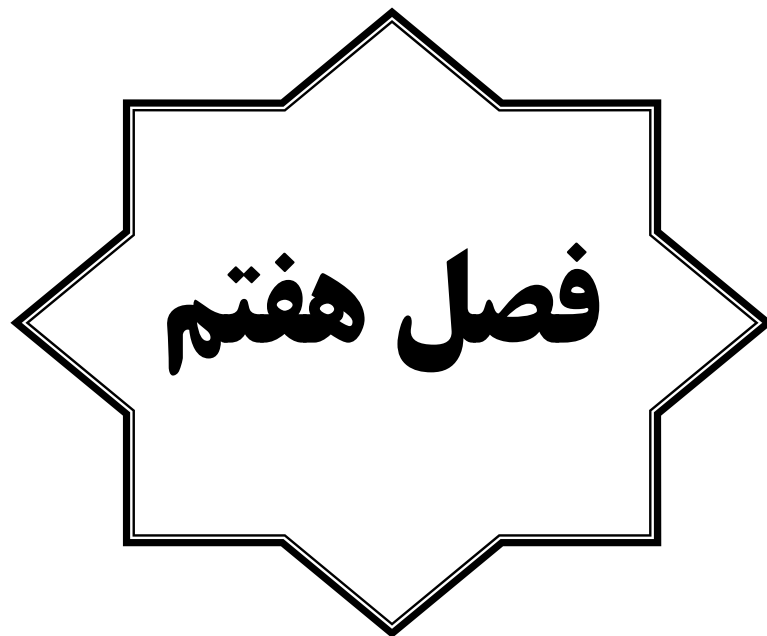
همان‌گونه که شکل ۶-۶ نشان می‌دهد، اکسیژن به صورت خطی تا عمق ۱ متر کاهش پیدا کرد. پائین‌تر از این عمق، غلظت اکسیژن تدریجیًّا کاهش پیدا کرد، به‌طوری‌که در عمق تقریبی ۲/۷ متر مقدار اکسیژن به صفر رسید. نتایج مدل عددی (خط) برای پیریت باقی‌مانده با داده‌های صحرائی (نقاط) در شکل ۶-۱۰ مقایسه شده است. پس از کالیبراسیون مدل با داده‌های صحرائی تا عمق

تقریبی ۴ متر، از آن برای پیش‌بینی غلظت پیریت باقی‌مانده در اعمق بیشتر در باطله‌های ذغال استفاده شد.



شکل ۱۰-۶. پیش‌بینی مدل برای مقدار پیریت باقی‌مانده در ذرات باطله نسبت به عمق دمپ در سه نقطه متفاوت D، E و F روی آن. در این شکل مقایسه‌ای بین پیش‌بینی مدل و داده‌های صحرائی صورت گرفته است (مدت زمان شبیه‌سازی ۲۲ سال، ضریب نفوذ موثر اکسیژن (D_e) برابر با $2/3 \times 10^{-9} \text{ m}^2/\text{s}$ متر مربع بر ثانیه و مقدار پیریت اولیه بین ۷/۰ تا ۳/۵ درصد).

بر اساس نتایج مدل و داده‌های صحرائی نرخ اکسایش پیریت در اعمق کم دمپ تا عمق تقریبی ۱ متر شدیداً کاهش یافت زیرا از سطح دپو تا عمق ۱ متر غلظت اکسیژن بطور قابل ملاحظه‌ای کاهش نشان داد. به دلیل حضور کم اکسیژن در اعمق دپو تا عمق تقریبی ۳ متر، نرخ اکسایش پیریت تدریجاً کاهش یافته و در اعمق بیشتر از ۳ متر، اکسایش پیریت تقریباً متوقف می‌شود.



نتیجه‌گیری و پیشنهادها

۱-۷ - مقدمه

کارخانجات فرآوری یا شستشوی ذغال با داشتن سدهای باطله، مکان‌های انباشت حجم بسیار زیاد باطله و پساب‌های تولیدی کارخانه از مناطق دارای پتانسیل تولید آلودگی‌های زیستمحیطی بهشمار می‌آیند. در کارخانجات فرآوری ذغال با توجه به حجم قابل توجه باطله‌های ذغال‌شویی غالباً انباشت آن‌ها به طور سیستماتیک و در مکانی با طراحی و پیش‌بینی‌های قبلی صورت نمی‌گیرد، بلکه در نزدیک‌ترین نقاط ممکن نسبت به کارخانه باطله‌ها انباشت می‌شوند تا هزینه‌های دپوکردن از نظر اقتصادی قابل توجیه باشد. دمپ‌های باطله کم‌عیار ذغال حاصل از شستشو، علاوه بر اشغال زمین‌های وسیع به دلیل دارا بودن کانی پیریت، مشکلات زیستمحیطی عمده‌ای را به همراه خواهند داشت. با توجه به وزن مخصوص بالای پیریت (5900 kg/m^3)، اکثر ذرات ریز حاوی پیریت به وسیله روش‌های ثقلی مانند جیگ^۱ جدا شده و با باطله‌های جیگ همراه می‌شوند. کانی پیریت در معرض اکسیژن هوا و رطوبت محیط اکسید شده و پساب اسیدی حاوی غلظت‌های بالای آهن، فلزات سنگین، سولفات و pH پایین را تولید می‌نمایند. قدمت و حجم باطله‌های انباشتشده و شرایط اقلیمی منطقه از عواملی هستند که بر میزان خطرات زیستمحیطی احتمالی دپوی باطله تاثیرگذارند. هر چه قدمت دپوی باطله بیشتر باشد اکسیژن بیشتری به اعمق دپو نفوذ می‌کند و اکسایش پیریت در باطله‌ها و میزان محصولات تولیدی حاصل از اکسایش بیشتر می‌باشد. از طرفی میزان بارش‌های جوی بیشتر موجب انتقال حجم بیشتری از محصولات اکسایش پیریت به خاک و آبهای سطحی یا زیرزمینی می‌شود. از این رو مطالعه نحوه اکسایش پیریت، تولید آلودگی و آلاینده‌های احتمالی محیط‌زیست و نحوه انتقال آن‌ها، شناسایی زون‌های آلوده برای اجرای طرح‌های زیستمحیطی و کنترلی از اهمیت فوق العاده‌ای برخوردار است. به منظور بررسی مشکلات زیستمحیطی کارخانه ذغال‌شویی انجیرتنگه-زیرآب و تعیین مناطق آلوده مراحل زیر پیگیری شد:

الف- مشاهدات صحراوی در محدوده کارخانه ذغال‌شویی انجیرتنگه-زیرآب برای شناسایی مناطق با

¹ Jig

احتمال آلودگی بالا و متأثر از فرآیند ذغالشویی انجام شد.

ب- نمونه برداری از مناطق با احتمال آلودگی بالا در دو فاز مایع و جامد انجام شد.

نمونه برداری در فاز آبی از محیط‌های زیر انجام شد:

- آب رودخانه دلیلیم که در مجاورت کارخانه جاری است، از بالادست تا پایین‌دست کارخانه،

- آب‌های حوضچه‌های آب فرآیندی، سد باطله و حوضچه تهنشینی در انتهای دیوار حائل،

- شیرابه دپوی باطله و زهاب‌های سطحی جاری در اطراف دپو،

- یک چشمۀ در خارج از محدوده کارخانه و در مقابل ساختمان اداری شرکت البرز مرکزی.

نمونه برداری در فاز جامد در محیط‌های زیر انجام شد:

- نمونه برداری‌های عمقی روی دپوی باطله در سه نقطه D، E و F با حفر پروفیل‌های عمودی

- از سطح تا قاعده دپو،

- خاک اطراف دپوی باطله در سه نقطه از پای دمپ و در مجاورت حوضچه تهنشینی،

- از رسوب رودخانه دلیلیم در همان مکان نمونه‌های آب، ده نمونه برداشت شد.

ج- نمونه‌های آب و خاک با روش‌هایی که در ادامه بیان می‌شود، آنالیز شدند:

- غلظت کاتیون‌ها و آنیون‌های عمدۀ pH، هدایت الکتریکی، کل جامدات محلول و سختی کل

- برای نمونه‌های آب توسط آزمایشگاه تجزیه پارک و علم و فناوری استان سمنان تعیین شد.

- نمونه‌های آب برای تعیین غلظت عناصر جزئی و فلزات سنگین محلول به آزمایشگاه ACME

- کانادا ارسال شد.

- نمونه‌های جامد عمقی روی دپو و خاک‌های اطراف دپو برای تعیین غلظت عناصر سنگین به

- آزمایشگاه ACME کانادا ارسال شد.

- نمونه‌های جامد عمقی روی دپوی باطله برای تعیین میزان پیریت باقی‌مانده با استفاده از

- استاندارد ASTM و روش جذب اتمی آنالیز شدند. مراحل خردایش، آماده‌سازی و آزمایش

- نمونه‌های باطله در دانشگاه صنعتی شاهرود انجام شد.

▪ پیریت موجود در باطله‌های ذغالی به صورت کیفی با تهیه مقاطع صیقلی و مشاهدات

میکروسکوپی بررسی شد.

▪ غلظت سولفات و مقادیر pH گل اشباع برای نمونه‌های جامد عمقی روی دپوی باطله توسط

پارک علم و فن آوری استان سمنان تعیین شد.

۲-۷- اثر کارخانه ذغالشویی انجیرتنگه زیرآب بر محیط‌های آبی منطقه

تیپ آب‌های منطقه و توزیع و انتقال آنیون‌ها و کاتیون‌های اصلی با استفاده از دیاگرام‌های پایپر، استیف، شولر، چادها و گیبس بررسی شد. خاصیت اسیدی یا قلیایی خالص در نمونه‌های آبی منطقه محاسبه گردید. رابطه بین پارامترهای فیزیکی-شیمیایی، غلظت کاتیون‌ها و آنیون‌های عمده و سایر عناصر آنالیزشده در نمونه‌های آبی منطقه با یکدیگر و بر اساس ماتریس همبستگس پیرسون محاسبه شد. با استفاده از مدل‌سازی ژئوشیمیایی بر اساس موازنۀ ترمودینامیکی، کانی‌های ثانویه احتمالی که در محیط‌های آبی منطقه تشکیل خواهد شد، پیش‌بینی شد. در نمونه‌های آب رودخانه، بیشترین مقدار pH، ۸/۱۸ در نمونه W5 و کمترین مقدار pH، ۷/۹۱ در نمونه W7 است، بنابراین تمام نمونه‌های رودخانه pH نرمال تا قلیایی با مقدار میانگین ۸/۰۸ دارند. در زهاب‌ها pH در محدوده بین ۷/۸۵-۷/۱۶ متغیر است که در مجموع نرمال تا قلیایی است. بیشترین مقادیر هدایت الکتریکی در بین زهاب‌ها، بیشترین مقادیر هدایت الکتریکی (۱۷۳۰ $\mu\text{S}/\text{cm}$)، کل جامدات محلول (560 mg/L) و سولفات ($393/6 \text{ mg/L}$) در بین نمونه‌های رودخانه، در نمونه W9 مشاهده شد. نمونه W9 در نزدیکی محل ورود شیرابه دمپ به رودخانه است. در بین زهاب‌ها، بیشترین مقادیر هدایت الکتریکی (1037 mg/L)، غلظت سولفات ($788/16 \text{ mg/L}$), یون کلرید ($60/35 \text{ mg/L}$) و بیکربنات ($433/1 \text{ mg/L}$) در نمونه شیرابه دپو (Leach) مشاهده شد که پس از ریختن به حوضچه ته‌نشینی، وارد رودخانه می‌شود. مقادیر pH در نمونه‌های حوضچه‌ها، در محدوده نرمال تا قلیایی قرار دارد و بیشترین مقدار pH، ۷/۸۳ در نمونه I و کمترین مقدار pH، ۷/۲ در نمونه B است. بیشترین مقادیر هدایت الکتریکی ($2690 \text{ } \mu\text{S}/\text{cm}$), کل جامدات محلول (1613 mg/L), سولفات ($2366/4 \text{ mg/L}$),

یون کلرید ($46/15 \text{ mg/L}$) و بیکربنات ($51/85 \text{ mg/L}$) در نمونه حوضچه C مشاهده شد. بر اساس نمودارهای پایپر، استیف و شولر اکثر نمونه‌های رودخانه دارای تیپ $\text{Ca}-\text{HCO}_3$ می‌باشند. در بین نمونه‌های رودخانه در محل ورود زهاب دپو به رودخانه (W8، W9 و W11) سولفات آنیون غالب است. تمامی نمونه‌های حوضچه‌ها دارای تیپ $\text{Ca}-\text{SO}_4$ می‌باشند. در زهاب‌ها نمونه‌های H2 و H3 تیپ $\text{Ca}-\text{HCO}_3$ و نمونه‌های H1 و Leach $\text{Ca}-\text{SO}_4$ دارند. اختلاط سولفات، حاصل از اکسایش پیریت در نمونه‌های آبی باعث می‌شود تا سولفات آنیون غالب در نمونه‌ها باشد. بر اساس نمودار چادها نمونه‌های SPR، H2 و H3 در محدوده آب‌های تغذیه‌ای و سایر نمونه‌های منطقه در محدوده تبادل یونی معکوس قرار می‌گیرند. با توجه به نمودار گیبس برهم‌کنش سنگ‌ها و آب مهم‌ترین عامل موثر بر کیفیت سیستم‌های آبی (حوضچه‌ها، زهاب‌ها، رودخانه و چشمه) می‌باشد. میانگین غلظت سولفات و منیزیم در منطقه بالاتر از استانداردهای آب آشامیدنی ایران و جهان می‌باشند. تمام نمونه‌های حوضچه‌ها به جز حوضچه P0 از کمترین مقدار سولفات در حوضچه J ($\text{SO}_4^{2-} = 2064 \text{ mg/L}$) تا بیشترین مقدار در حوضچه C ($\text{SO}_4^{2-} = 2366 \text{ mg/L}$) اثر شدیدی ممکن است بر تاسیسات بتُنی کارخانه داشته باشند. تمامی نمونه‌های منطقه قلیایی خالص می‌باشند. در بین نمونه‌های رودخانه، نمونه W7 با مقدار $196/1 \text{ mgCaCO}_3/\text{L}$ بیشترین خاصیت قلیایی و نمونه W9 در محل ورود زهاب دپوی باطله به رودخانه با مقدار $1/57 \text{ mgCaCO}_3/\text{L}$ بیشترین خاصیت اسیدی را نشان دادند. در بین زهاب‌ها، نمونه Leach بیشترین خاصیت قلیایی $3/07 \text{ mgCaCO}_3/\text{L}$ و اسیدی $2/23/8 \text{ mgCaCO}_3/\text{L}$ را نشان داد و در نمونه‌های حوضچه‌ها، P0 بیشترین خاصیت قلیایی $1/92 \text{ mgCaCO}_3/\text{L}$ را دارد. ترتیب میانگین غلظت برخی عناصر و فلزات سنگین در نمونه‌ها به صورت زیر است: در نمونه‌های رودخانه، $\text{Mn} > \text{Zn} > \text{Cu} > \text{Pb} > \text{Ni} > \text{As} > \text{Co} > \text{Fe} > \text{Al}$ ، در نمونه‌های زهاب، $\text{Mn} > \text{Fe} > \text{Al} > \text{Cu} > \text{Zn} > \text{Pb} > \text{As} > \text{Ni} > \text{Co} > \text{Fe} > \text{Al}$ ، و در نمونه‌های حوضچه‌ها، $\text{Mn} > \text{Al} > \text{Fe} > \text{Zn} > \text{Cu} > \text{Ni} > \text{Co} > \text{Pb} > \text{As}$. بر اساس نمودار فیکلین همه نمونه‌های آبی کارخانه ذغال‌شویی در محدوده نزدیک به خنثی-کم فلز قرار دارند. در بین

نمونه‌ها، دو نمونه Leach و H₂ از زهاب‌ها بیشترین میزان فلزات محلول را داشته و هر دو به رودخانه وارد می‌شوند. مقادیر شاخص آلدگی فلز سنگین (HPI) برای نمونه‌های آب منطقه بر اساس غلظت فلزات سنگین Ni, Cu, Zn, Pb, Mn, Fe, Al در آب آشامیدنی محاسبه شد که به ترتیب نمونه‌های Leach با W1 (HPI=۲۸/۱۷) و W2 (HPI=۵/۸۴) در بین نمونه‌های رودخانه، نمونه‌های با P0 (HPI=۲۲/۰۱) و H3 (HPI=۵۵/۹۴) در بین زهاب‌ها و نمونه‌های B با (HPI=۸/۰۲) در بین حوضچه‌ها به ترتیب بیشترین و کمترین مقدار شاخص آلدگی فلز سنگین را دارند. مقادیر شاخص برای تمام نمونه‌ها کمتر از حد آلدگی (HPI=۱۰۰) می‌باشد و نمونه شیرابه دمپ (Leach) بالاترین مقدار آلدگی در بین تمام نمونه‌های آبی را داراست. با توجه به حداکثر غلظت مجاز فلزات سنگین Ni, Cu, Zn, Pb و Mn در استاندارد آب آشامیدنی ایران، به ترتیب نمونه‌های W9 (HEI=۰/۸۸) در بین نمونه‌های رودخانه، Leach (HEI=۴/۷۸) در بین زهاب‌ها و نمونه‌های B (HEI=۲/۰۴) در بین حوضچه‌ها بیشترین شاخص سنجش فلز سنگین (HEI) را دارند. درجه آلدگی نمونه‌های آب منطقه نسبت به عناصر Ba, As, Sb, Se, Mo و V محاسبه و نمونه‌های W9 (C_d=۰/۶۳) در بین نمونه‌های رودخانه، H1 (C_d=۰/۷۹) در بین زهاب‌ها، نمونه I (C_d=۱/۳۷) در بین نمونه‌های حوضچه‌ها بیشترین درجه آلدگی را دارند. بر اساس طبقه‌بندی ارائه شده تنها نمونه I از حوضچه‌ها آلدگی متوسط نسبت به عناصر Ba, As, Sb, Se, Mo و V داشته و سایر نمونه‌ها آلدگی پایین دارند. مقادیر همبستگی منفی بین pH با EC, SO₄⁻², Na, Zn, Cu, Mn, Co و فلزات Fe و Cu با مقدار ۰/۵۹، ۰/۵۶، ۰/۰۵ و ۰/۰۶ در تمام ۲۱ نمونه آب مشاهده شد. همبستگی مثبت بین فلزات Fe و Cu در تمام نمونه‌های آب حاصل شد. کانی گوئیت در همه نمونه‌های رودخانه، زهاب و حوضچه‌ها ۰/۹۸ در ترتیب ۰/۰۳، ۰/۰۴ و ۰/۰۳ در این نمونه‌ها بوده و احتمالاً کانی ثانویه فری‌هیدریت در این نمونه‌ها به ترتیب ۰/۳۴، ۰/۰۳، ۰/۰۲۱، ۰/۰۱۳ و ۰/۰۶۴ بود.

تشکیل می‌شود. رسوب و لجن قرمز-پرتفالی رنگ مشاهده شده در منطقه احتمالاً ناشی از حضور کانی‌های آهن دار از جمله فری‌هیدریت و گوئتیت می‌باشد.

۳-۷- اثر کارخانه ذغال‌شویی انجیرتنگه زیرآب بر رسوبات منطقه

توزیع غلظت عناصر و فلزات سنگین نسبت به فواصل نمونه‌برداری در رسوبات رودخانه بررسی شد. تغییرات غلظت عناصر در رسوبات نسبت به زمینه محلی رودخانه و جهانی با استفاده از شاخص‌های ژئوشیمیایی ارزیابی شد. نمونه رسوب مربوط به محل تلاقی شیرابه دپوی باطله و آب رودخانه (S8) نسبت به عناصر As, Cu, Cr, Hg, Ni, Se و Zn غنی شده است. در کل میزان آلودگی فلزی در نمونه‌های رسوب رودخانه خیلی بالا نبود.

۴-۷- اکسایش پیریت در دپوی باطله کارخانه ذغال‌شویی انجیرتنگه زیرآب

برای تعیین ارتباط بین عناصر جزئی موجود در دپوی باطله ذغال‌شویی با محتوای پیریتی و فاز سولفیدی، همبستگی بین عناصر جزئی آنالیز شده در تمام نمونه‌های عمقی و سولفور کل بررسی شد. عناصر با بررسی تغییرات غلظت سولفات، میزان پیریت باقی‌مانده و pH نسبت به عمق دپو، عمق تقریبی زون اکسید شده از سطح دپو تعیین شد. ضخامت تقریبی زون اکسید شده دپوی باطله ذغال در هر سه پروفیل D, E و F حدوداً ۱ متر برآورد گردید. همچنین در این پایان‌نامه مدلی ریاضی برای توجیه فرآیند اکسایش پیریت، نفوذ اکسیژن و تولید آلودگی ارائه شد. مدل قادر است تا اکسایش پیریت و تولید آلودگی در آینده را پیش‌بینی نماید. با استفاده از نرم افزار فینیکس، مدل مغزه انقباضی اکسایش پیریت به‌طور همزمان با مدل نفوذ اکسیژن حل شد. نتایج حاصل از پیش‌بینی مدل ریاضی تطابق بسیار خوبی با مقادیر پیریت باقی‌مانده حاصل از آنالیز داده‌های صحرایی نشان داد.

۵-۷- پیشنهادها

۱-۵-۱- راهکارهای پیش از دپوی باطله‌ها

- بازیابی کارخانه ذغال‌شویی انجیرتنگه ۶۰ درصد می‌باشد و ۴۰ درصد از خوراک ورودی به کارخانه به باطله‌های کم‌عیار ذغال تبدیل می‌شود که باید در محلی دپو شود. بنابراین با

حجم باطله بسیار زیادی در سال‌های آینده مواجه هستیم. با ایجاد تغییرات در فلوشیت کارخانه و بروزرسانی دستگاه‌ها می‌توان میزان بازیابی ذغال را افزایش و میزان باطله را کاهش داد.

پیریت، پیروتیت یا سایر سولفیدهای فلزی را به وسیله روش‌های نقلی یا مغناطیسی^۱ از سایر مواد باطله جدا نموده و برای جلوگیری از اکسایش، آنها را به صورت جداگانه تحت شرایط اشباع یا غیراشباع دپو نمود.

۷-۵-۲- انتخاب محل مناسب برای انباشت باطله‌ها

بهترین راهکار، انتخاب مکانی جدید با زیرسازی مناسب و رعایت تکنیک‌های روز طراحی برای دپوی باطله‌ها می‌باشد. امروزه می‌توان با لحاظ نمودن تمهیدات زیست محیطی مانند فاصله تا مراکز جمعیتی، منابع آب سطحی و زیرزمینی، پوشش‌های جنگلی و هزینه‌ای مانند حداقل نمودن هزینه‌های حمل و نقل، بر اساس روش‌های تحقیق در عملیات و نیز نرم افزار GIS مناسب‌ترین مکان دپوی باطله را مشخص نمود.

۷-۵-۳- راهکارهای بازدارنده تولید آلودگی بر روی دپوی باطله‌های حاضر

پوشش‌های پلاستیکی که مانع از نفوذ اکسیژن و ریزش‌های جوی به درون دپوی باطله شود. آهک‌پاشی سطح دپوی باطله که از روش‌های معمول خنثی‌سازی زهاب‌های اسیدی می‌باشد که با توجه به حجم باطله‌ها از لحاظ اقتصادی توجیه پذیر است.

۷-۵-۴- تصفیه پساب‌های کارخانه ذغال‌شویی

راهکار دیگر حذف سولفات و منگنز به عنوان مهم‌ترین آلاینده‌های تولیدی دپوی باطله کارخانه ذغال‌شویی انجیر تنگه- زیرآب با استفاده از سیستم‌های تصفیه‌ای می‌باشد.

با استفاده از یک سیستم مجزای غیرهوازی غیرفعال می‌توان منگنز را تحت شرایط قلیایی حذف نمود (دولتی ارده‌جانی و همکاران، ۱۳۸۴).

^۱ Magnetic separation

▪ استفاده از حوضچه‌های تهنشینی قبل از ورود پساب‌ها و زهاب‌های خروجی به رودخانه

می‌تواند روش مفیدی باشد.

بحث در رابطه با سیستم‌های تصفیه‌ای نیازمند تحقیقات گسترده‌تری می‌باشد که از فرصت پایان‌نامه حاضر خارج است.

▪ ۷-۵-۵- مطالعات بیشتر در محل دپوی باطله

برای بررسی تمامی جوانب و خطرات زیست محیطی احتمالی دپوی باطله کارخانه انجام مطالعات بیشتر در آینده به شرح زیر ضروری است:

▪ به حداقل رساندن خطای ناشی از نمونه‌برداری از طریق استفاده از دستگاه اوگر برای

نمونه‌برداری عمقی روی دپوی باطله.

▪ نمونه‌برداری‌های بیشتر از سایر قسمت‌های دپوی باطله.

▪ کمی‌کردن مقادیر غلظت اکسیژن و دی‌اکسیدکربن در نمونه‌های عمقی دپوی باطله.

▪ بررسی نقش احتمالی باکتری‌های تسریع کننده اکسایش پیریت در دپوی باطله.

▪ انجام آزمایشات استاتیکی برای پیش‌بینی میزان تولید اسید توسط دپوی باطله کارخانه.

▪ بررسی و مطالعات بیشتر در بالادست رودخانه دلیل به منظور شناسایی نقاط آلوده کننده

احتمالی رودخانه مانند ورود زهاب‌های اسیدی ناشی از معادن متروک و یا فعال ذغال در

بالادست رودخانه.

▪ نمونه‌برداری از آب‌های زیرزمینی مناطق اطراف کارخانه و به خصوص در مناطق مسکونی

پایین‌دست کارخانه.

▪ استفاده از برداشت‌های ژئوفیزیکی (مانند ژئوکتریک) و مدل‌سازی داده‌های حاصل برای

به‌نقشه درآوردن پراکندگی و توسعه آلودگی تولیدی دپوی باطله در آب‌های زیرزمینی.

مراجعة

آقاباتی، ع. (۱۳۸۳)، "زمین‌شناسی ایران"، سازمان زمین‌شناسی ایران و اکتشاف معدنی ایران، ص ۲۰۴، ۲۳۴، ۲۳۷، ۲۳۸.

اصانلو، م. (۱۳۷۸)، "مهندسی ذغال سنگ"، انتشارات ناقوس، چاپ اول، ۳۲۰ ص.

جدیری شکری، ب. (۱۳۸۵)، پایان نامه کارشناسی ارشد، "تلقیق مدل‌سازی ریاضی و مطالعات ژئوفیزیکی زیست محیطی مواد حاصل از شستشوی کارخانه ذغال‌شویی البرز شرقی"، دانشکده معدن، دانشگاه صنعتی شهرود، ص ۲۳۰.

دفتر فنی اکتشاف شرکت ذغال‌سنگ البرز مرکزی، (۱۳۶۸)، "گزارش وضعیت زمین‌شناسی معدن کارمزد"، شرکت ذغال‌سنگ البرز مرکزی.

دفتر فنی اکتشاف شرکت ذغال‌سنگ البرز مرکزی، (۱۳۷۲)، "گزارش اکتشاف منطقه زیرآب-کارمزد"، شرکت ذغال‌سنگ البرز مرکزی.

دولتی اردنه‌جانی، ف؛ شفائی تنکابنی، س. ض؛ میر حبیبی، ع. ض. و بدیعی، خ. (۱۳۸۴)، "بیوتکنولوژی، ژئوشیمی زیست محیطی و مدیریت پساب‌ها: جلد اول - پساب‌های معدنی"، پژوهشکده صنایع رنگ ایران، چاپ دانشگاه صنعتی شهرود، ۲۴۸ ص.

دولتی اردنه‌جانی، ف؛ شفائی تنکابنی، س. ض؛ ۱۳۸۹، "مدل‌سازی زمین‌زیست‌محیطی"، چاپ دانشگاه صنعتی شهرود، ۲۹۹ ص.

رضایی، بهرام. "تکنولوژی ذغال‌شویی"، (۱۳۸۱)، انتشارات دانشگاه صنعتی امیرکبیر.

زارع، م. دولتی اردنه جانی، ف. مرادزاده، ع. سلیمانی، ا. (۱۳۸۷)، "شبیه‌سازی و آنالیز حساسیت پارامترهای مؤثر در اکسیداسیون پیریت باطله‌های جیگ ذغال‌شویی البرز شرقی.

شاه حسینی، م. طالبی، ک. (۱۳۸۶)، "تأثیر توغل و حفاری در ایجاد آلودگی‌های زیست‌محیطی"، پژوهشگاه کارشناسی مهندسی معدن، گرایش اکتشاف، دانشگاه صنعتی شهرود.

شرکت آب منطقه‌ای استان مازندران، (۱۳۸۵)، "مطالعات نیمه تفصیلی منابع آبی استان مازندران".

علیجان، بهلول، (۱۳۸۲)، "گزارش موقعیت جغرافیایی معدن کارمزد"، شرکت ذغال‌سنگ البرز مرکزی.

قلی‌پور، م. مظاہری، س. ا. رقیمی، م. شمعانیان، غ. تابستان ۱۳۸۸، بررسی اثرهای زیست‌محیطی زهاب اسیدی معدن در باطله‌های کارخانه ذغال‌شویی زیرآب، استان مازندران. مجله بلورشناسی و کانی‌شناسی ایران، سال هفدهم، شماره ۲، از صفحه ۱۷۳ تا ۱۸۶.

قلی‌پور، م. مظاہری، س. ا. رقیمی، م. شمعانیان، غ. پاییز ۱۳۸۹. نقش زهاب اسیدی معدن در تشکیل کانی‌های زیست‌محیطی در معدن ذغال‌سنگ کارمزد، البرز مرکزی، استان مازندران. مجله بلورشناسی و کانی‌شناسی ایران، سال هجدهم، شماره ۳، از صفحه ۴۴۷ تا ۴۶۲.

مر، ف. شرفی، ا. (۱۳۸۳)، "اصول ژئوشیمی"، انتشارات دانشگاه شیراز.

مر، ف. اسماعیلی، ک. بهروز، م. پیروزنا، ن. (۱۳۸۸)، ارزیابی اثرات زیست محیطی کانسار سونگون بر رسوبات رودخانه‌های منطقه، سومین کنفرانس مهندسی معدن ایران، یزد.

موسسه استاندارد و تحقیقات صنعتی ایران، استاندارد ملی ایران شماره ۱۰۵۳، تجدید نظر پنجم، سال ۱۳۸۸ ویژگی‌های فیزیکی و شیمیایی آب آشامیدنی.

نعمتی، علیرضا، (۱۳۷۹)، "گزارش روش‌های تعیین پلاستومتری"، شرکت ذغالسنگ البرز مرکزی.

نعمتی، علیرضا، (۱۳۸۰)، "گزارش عملکرد کارخانه ذغالشویی زیرآب"، شرکت ذغالسنگ البرز مرکزی.

نعمتی، علیرضا، (۱۳۸۳)، "بررسی عملکرد کارخانه ذغالشویی زیرآب"، شرکت ذغالسنگ البرز مرکزی.

هادیان، علی اصغر، (۱۳۸۰)، "جغرافیای استان مازندران".

یزدی، م.، (۱۳۸۲)، "ذغالسنگ (از منشاء تا اثرات زیست محیطی)", جهاد دانشگاهی، ص ۵، ۱۳۱، ۱۵۹، ۱۵۵.

Abbasi SA, Abbasi N, Soni R (1998) **Metals in the environment**, 1st edn. Mital Publications, New Delhi, p 225.

Adam K, Kourtis A, Gazea B, Kontopoulos A (1997) Evaluation of static tests used to predict the potential for acid drainage generation at sulfide mine sites. **Trans Inst Min Metal A**, 106:1-8.

Adomako, D. Nyarko B. J. B, Dampare S. B, Serfor-Armah Y, Osae S, Fianko J. R, Akaho E. H. K, (2008). Determination of toxic elements in waters and sediments from River Subin in the Ashanti Region of Ghana, **Environ Monit Assess**, 141:165–175.

Adriano, D.C., (1986) **Trace elements in the terrestrial environment**, Springer-Verlag, N.Y., 533 p.

Agricola, (1556). **De Re Metallica**. Translated by H.C. Hoover and L.H. Hoover, 1950. Dover Publications, New York, NY.

Akabzaa, T, M. Jamieson, H, E. Jorgenson, Niels. Nymæ, K. (2009). The Combined Impact of Mine Drainage in the Ankobra River Basin, SW Ghana, **Mine Water Environ**, 28: 50-64.

Alpers, C.N., D.W. Blowes, D.K. Nordstrom, and J.L. Jambor, 1994. **Secondary minerals and acid mine-water chemistry**. In: Environmental geochemistry of sulfide mine-wastes, ed. by D.W. Blowes, and J.L. Jambor, Short Course Handbook, v. 22, Mineralogical Association of Canada, pp. 247-270.

American Public Health Association, 1980. **Standard methods for the examination of water and wastewater (15th)**. Washington, D.C., American Public Health Association, pp. 2-30 to 2-34.

American Society for Testing Methods, (1994) **Standard test methods for acidity or alkalinity of water**. 1994 Annual Book of ASTM Standards, v. 11.01, Method D1067-92, pp. 257-263.

Atkins, P.W., (1993). **The elements of physical chemistry**, oxford univrsity press.

Backman, B. Bodíš, D. Lahermo, P. Rapant, S. Tarvainen, T. (1998), Application of a groundwater contamination index in Finland and Slovakia, **Environmental Geology**, 36.

Badr, N. B. E. El-Fiky, A. A. Mostafa, Alaa R. Al-Mur, B. A. (2009). Metal pollution records in core sediments of some Red Sea coastal areas, **Kingdom of Saudi Arabia Environ Monit Assess** 155:509–526.

Balistrieri LS, Box SE, Bookstrom AA (2002) A geoenvironmental model for polymetallic vein deposits: a case study in the Coeur D'Alene Mining District and comparisons with drainage from mineralized deposits in the Colorado Mineral Belt and Humboldt Basin, New Nevada. In: Seal RR, Foley Nk (Eds) Progress on geoenvironmental models for selected mineral deposit types. USGS OFR 02-195, Washington DC, p 176-195

Balls, P.W., Hull, S., Miller, B.S., Pirie, J.M., Proctor, W., (1997). Trace metal in Scottish Estuarine and coastal sediments. **Marine Pollution Bulletin**, 34: 42–50.

Bealy, M., 1980. **Concrete Pipe Handbook**, American Concrete Pipe Association. Chapter 6, pp. 1-21.

Bhuiyan, M.A.H, Islamc, M.A, Dampared, S. B, Parvezb, L. Suzukia, Sh. (2010). Evaluation of hazardous metal pollution in irrigation and drinking water systems in the vicinity of a coal mine area of northwestern Bangladesh. **Journal of Hazardous Materials**. 179: 1065–1077.

Blowes, D.W. and J.L. Jambor, (eds.), (1994). **The environmental geochemistry of sulfide mine wastes**. Short Course Handbook, v. 22, Mineralogical association of Canada, Nepean, Ont., 438 p.

Blowes, D.W., Ptacek, C.J., and J. Jurjovec, (2003). Mill Tailings: **Hydrogeology and Geochemistry**. In: J.L. Jambor, D.W. Blowes and A.I.M. Ritchie (Eds.), Environmental Aspects of Mine Wastes, Short Course Series Vol. 31, Mineralogical Association of Canada.

Booth C.A, Spears D.A, Krause P, Cox A.G, (1999). “The determination of low level trace elements in coals by laser ablation inductively coupled plasma-mass spectrometry” **J. of. Fuel**, 78, pp 1665– 1670.

British Columbia Acid Mine Drainage Task Force (BCAMDTF), (1989). **Draft Acid Rock Drainage Technical Guide – Volume 1**. Prepared by Steffen Robertson and Kirsten (SRK), Vancouver, BC.

Broughton, L.M., and A.M. Robertson, (1992). Acid Rock Drainage from Mines - Where We Are Now. IMM Minerals, Metals and Environment Conference, February 4-6, Manchester, UK.

Bushell A.J, Williamson J, (1995) “**Trace element distribution and association in UK coals**. In: Pajares, J.A., Tascon, J.M.D. (Eds.)” Proceedings of the 8th International Conference Coal Science 1, Coal Science and Technology, vol. 24. Elsevier, pp 167– 174.

Cathles LM, Apps JA (1975) A model of the dump leaching process that incorporates oxygen balance, heat balance and air convection. **Metall Trans B** 6B:617–624.

Chapman, B.M., Jones, D.R., Jung, R.F., (1983). Processes controlling metal ion attenuation in acid mine drainage streams. **Geochimica et Cosmochimica Acta**, 47:1957–1973.

Chavarie, C., D. Karamenev, F. Godard, A. Garnier, and G. Andre, (1993). Comparison of kinetics of ferrous iron oxidation by three different strains of *Thiobacillus ferrooxidans*. **Geomicrobiology Journal**, v. 11, pp. 57-63.

Chadha, D. K. (1999) “A proposed new diagram for geochemical classification of natural water and interpretation of chemical data,” **Hydrogeology Journal**, Vol. 7, pp. 431– 439.

CHAM (2007). The PHOENICS On-Line Information System,

http://www.cham.co.uk/phoenics/d_polis/polis.htm

Cherry, D.S. Currie, R.J. D.J. H.A, Souek, G.C. Trent, Latimer, (2001). An integrative assessment of a watershed impacted by abandoned mined land discharges, **Environ. Pollut.** 111: 377–388.

Christophoridis, C. Dedepsidis, D. Fytianos, K. (2009). Occurrence and distribution of selected heavy metals in the surface sediments of Thermaikos Gulf, N. Greece. **Assessment using pollution indicators**

Collin, M., Rasmussen, A., (1988). Gas diffusivity models for unsaturated porous media. **Soil Sci. Soc. Am. J.** 52: 1559–1565.

Covelli, S., Fontolan, G., (1997). Application of normalization procedure in determining regional geochemical baseline. **Environmental Geochemistry**, 30: 34–45.

Cravotta, C. A. III, K. B. C. Brady, and R.L. Beam, (1990). **Effectiveness of the addition of alkaline materials at surface mines in preventing or abating acid mine drainage**: Part 1. Theoretical considerations. In: Proceedings: 1990 Mining and Reclamation Conference and Exhibition, Charleston, WV, pp. 221-225.

Cravotta, C.A., III, K.B.C. Brady, L.C. Gustafson-Minnich, and M.R. DiMatteo, (1994a). Geochemical and geohydrological characteristics of bedrock and mine spoil from two methods of mining at a reclaimed surface coal mine in Clarion County, PA, USA. U.S. **Bureau of Mines Special Publication SP-06B**, pp. 242-249.

Cravotta III, C.A., (1994). Secondary iron-sulfate minerals as sources of sulfate and acidity. In: Alpers, C.N., Blowes, D.W. (Eds.), Environmental Geochemistry of Sulfide Oxidation, **American Chemical Society Symposium Series**, pp. 550: 345–364.

Cravotta, C.A., III, D.L. Dugas, K.B.C. Brady, and T.E. Kovalchuk, (1994b). Effects of selective handling of pyritic, acid-forming materials on the geochemistry of pore gas and groundwater at a reclaimed surface coal mine in Clarion County, PA, USA. U.S. **Bur. of Mines Special Publication SP-06A**, v. 1, pp. 365-374.

Daia Sh, Houc X, Rena D, Yuegang T, (2003) “Surface analysis of pyrite in the No. 9 coal seam, Wuda Coalfield, Inner Mongolia, China, using high resolution time-of-flight secondary ion mass-spectrometry” **J. of. Coal Geology**, 55, pp 139– 150.

Davis, G.B., and A.I.M. Ritchie, (1986). A model of oxidation in pyritic mine wastes, 1. Equations and approximate solution. **Applied Mathematical Modelling**, 10:314-322.

Davis, Alan, (1981). **Sulfur in coal: Earth and Mineral Sciences**, Pennsylvania State University, University Park, v. 51, no. 2, pp. 13-21.

Din, Z.B., (1992). Use of aluminium to normalize heavy-metal data from estuarine and coastal sediments of Straits of Melaka. **Marine Pollution Bulletin**, 24: 484–491.

Dinelli, E. Lucchini, F. Fabbri, M. Cortecci, G. (2001) Metal distribution and environmental problems to sulfide oxidation in the Libiola copper mine area, (Ligurian Apennines, Italy). **Geochemical Exploration** 74: 141-152.

Doulati Ardejani F, Singh RN, Baafi EY (2004) Use of PHOENICS for solving one-dimensional mine pollution problems. **PHOENICS J: Comput Fluid Dyn Appl**, 16:1–23

Doulati Ardejani F, Jodieri Shokri B, Moradzadeh A, Soleimani E, Ansari Jafari M (2008) A combined mathematical-geophysical model for prediction of pyrite oxidation and pollutant leaching associated with a coal washing waste dump. **Int J Environ Sci Technol (IJEST)**, 5(4):517–526

Doulati Ardejani F, Jodieri Shokri B, Bagheri M, Soleimani E (2010) Investigation of pyrite oxidation and acid mine drainage characterization associated with Razi active coal mine and coal washing waste dumps in the Azad shahr–Ramian region, northeast Iran. **Environ Earth Sci**, 61:1547–1560.

Edet, A.E. , Offiong, O.E, (2002). Evaluation of water quality pollution indices for heavy metal contamination monitoring.Astudy case from Akpabuyo-Odukpani area, Lower Cross River Basin(southeastern Nigeria), **GeoJournal**, 57: 295-304.

Elberling B, Nicholson RV, Scharer JM (1994) A combined kineticand diffusion model for pyrite oxidation in tailings: a change in controls with time. **J Hydrol**, 157(1):47–60

Equeenuddin, Sk. Md. Tripathy, Sahoo, S. P.K. Panigrahi, M.K. (2010), Hydrogeochemical characteristics of acid mine drainage and water pollution at Makum Coalfield, **India Journal of Geochemical Exploration**, 105: 75–82.

Erickson PM, Kleinmann RLP, Posluszny ET, Leonard-Mayer PJ (1982) Hydrogeochemistry of a large mine pool. Proceedings of the First International Mine Water Congress of the International Mine Water Association (IMWA), Budapest, Hungary, 19–24 April, pp 27–42.

Erickson, P.M., (1985). Oxygen content of unsaturated coal mine waste, control of acid mine drainage. In: Proceedings of a technology transfer seminar. U.S. Bureau of Mines Information Circular 9027, pp. 19–24.

Finkelman. R.B. (1994) “Modes of occurrence of potentially hazardous elements in coal: levels of confidence” **J. of. Fuel Processing Technology**, 39, pp 21– 34.

Finkelman, R.B., (1995). **Modes of occurrence of environmentally-sensitive trace elements of coal**. In: Swaine, D.J., Goodarzi, F. (Eds.), Environmental aspects of trace elements of coal. Kluwer Academic Publishers, Netherlands, pp. 24–50.

Freeze RA, Cherry JA (1979) **Ground water**. Prentice-Hall, New Jersey, pp 238-302.

Fredlund, D.G., Rahardjo, R., (1993). **Soil Mechanics for Unsaturated Soils**. John Wiley and Sons, Inc., New York.

Garbarino, J. R., Antweiler, R. C., Brinton, T. I., Roth, D. A., & Taylor, H. E. (1995). Concentration and transport data for selected dissolved inorganic constituents and dissolved organic carbon in water collected from the Mississippi River and some of its tributaries, July 1991–May 1992. **U.S. Geological Survey Open-File Report** (pp. 95–149).

Garcia, C, A, B. Passos, E, D, A. Hora Alves, G, D, P. (2010). Assessment of trace metals pollution in estuarine sediments using SEM-AVS and ERM–ERL predictions. **Environ Monit Assess**.

Gerke HH, Molson JW, Frind EO (2001) Modelling the impact of physical and chemical heterogeneity on solute leaching in pyritic overburden mine spoils. **Ecol Eng**, 17:91–101

Ghez R (1988) **A primer of diffusion problems**. Wiley, New York.

Giri, S. Singh, G. Gupta, S.K. Jha, V.N. Tripathi, R.M. (2010) An Evaluation Of Metal Contamination In Surface And Groundwater Around A Proposed Uranium Mining Site, Jharkhand, India. **J.Mine. Water. Environ.** 29: 225-234.

Gibbs, R. J. (1970) “Mechanisms controlling world water chemistry,” **Science**, Vol. 17, pp. 1088–1090.

Gladfelter WL, Dickerhoof DW (1976) Use of atomic absorption spectrometry for iron determinations in coals. **Fuel**, 55(4):360–361.

Goodarzi F, (2002) “Mineralogy, elemental composition and modes of occurrence of elements in Canadian feed-coals” **J. of. Fuel**, 81, pp 1199– 1213.

Goodarzi, F., Sanei, H., Stasiuk, L.D., Bagheri-Sadeghi, H., Reyes, J., (2005). A preliminary study of mineralogy and geochemistry of four coal samples from northern Iran. **International Journal of Coal Geology.**, 35-50.

Gongalves, E.P.R, Soares, H. M.V.M. (1994). Seasonal variations of heavy metals in sediments mosses from the Cfivado river basin (Portugal) and aquatic. **The Science of the Total Environment**, 142: 143-156.

Gould, W.D., and A. Kapoor, (2003). **The Microbiology of Acid Mine Drainage**. In: J.L. Jambor, D.W. Blowes and A.I.M. Ritchie (Eds.), Environmental Aspects of Mine Wastes, Short Course Series Vol. 31, Mineralogical Association of Canada, 203-226.

Gürdal, G. (2008) Geochemistry of trace elements in Çan coal (Miocene), Çanakkale, Turkey **International Journal of Coal Geology**, 74: 28–40.

Guo, W., (1993). Numerical simulation of coupled heat transfer and gas flow in porous media with applications to acid mine drainage. University Park, The Pennsylvania State University, Ph.D. thesis, 269 p.

Guo, W., R.R. Parizek, and A.W. Rose, (1994a). The role of thermal convection in resupplying O₂ to strip mine spoil. **Soil Science**, v. 158, pp. 47-53.

Guo, W. and R.R. Parizek, (1994b). Field research on thermal anomalies indicating sulfide oxidation reactions in mine spoil. In: Alpers, C.N. and Blowes, D.W., eds. Environmental geochemistry of sulfide oxidation. Washington, D.C., **American Chemical Society Symposium Series** 550, pp. 645-657.

Hajizadeh Namaghi , H. Karami,G. Saadat , S. (2010), A study on chemical properties of groundwater and soil in ophiolitic rocks in Firuzabad, east of Shahrood, Iran: with emphasis to heavy metal contamination. **Environ Monit Assess**.

Hakanson, L. (1980) An Ecological Risk Index for Aquatic Pollution Control a Sedimentological Approach, J. Water. Res. Vol. 14: pp975-1001.

Hakkou, R. Benzaazoua, M. Bussiere, B. (2008) Acid mine drainage at the abandoned Kettara mine (Morocco): 1. Environmental Characterization. **Mine Water Environ**, 27: 145-159.

Han, Y.M., Du, P.X., Cao, J.J., Posmentier, E.S., (2006). Multivariate analysis of heavy metal contamination in urban dusts of Xi'an, Central China. **The Science of the Total Environment** 355:176–186.

Hedin RS, Nairn RW, Kleinmann RLP. (1994) Passive treatment of coal mine drainage. US Bureau of Mines IC 9389, Pittsburgh, PA, USA, p38.

Heikkinen, P, M. Raisanen, M, L. Johnson, R, K. (2009), Geochemical Characterization of Seepage and Drainage Water Quality from Two Sulphide Mine Tailings Impoundments: Acid Mine Drainage versus Neutral Mine Drainage. **Mine Water Environ**, 28: 30-49.

Hongyi, N. Wenjing, D. Qunhe, W. Xingeng, C. (2009). Potential toxic risk of heavy metals from sediment of the Pearl River in South China. **Journal of Environmental Sciences**, 21: 1053–1058.

Horowitz, A.J., Elrick, K.A. (1987). The relation of streamsediment surface area, grain size and composition to trace element chemistry. **Applied Geochemistry**, 2: 437–451.

Hounslow, A.W. (1995). **Water quality data, analysis and interpretation**, Lewis Publishers, CRC Press, U.S.A, 397p.

Hou X. Ren D. Mao H. Lei J. Jin K. Chu P. Reich F. Wayne D. (1995). “Application of imaging TOF-SIMS to the study of some coal macerals”. **J. of. Coal Geology**, 27, pp 23– 32.

Huggins, F.E. (2002) “Overview of analytical methods for inorganic constituents in coal” **J. of. Coal Geology**, 50, pp 169– 214.

Hurst, S., Schneider, P., Meinrath, G., (2002). Remediating 700 years of mining in saxony: a heritage from ore mining. **Mine Water Environ**. 21: 3– 6.

Jambor, J.L., (1994). Mineralogy of sulfide-rich tailings and their oxidation products (Chapter 3). In: Jambor, J.L., Blowes, D.W. (Eds.), Short Course Handbook on Environmental Geochemistry of Sulfide Mine Wastes. **Mineralogical Association of Canada**, pp. 59–102.

Jambor, J.L., (2003). Mine-Waste Mineralogy and Mineralogical Perspectives of Acid-Base Accounting. In: J.L. Jambor, D.W. Blowes and A.I.M. Ritchie (Eds.), Environmental Aspects of Mine Wastes, Short Course Series Vol. 31, **Mineralogical Association of Canada**, 117-146.

Jamieson, H.E., Robinson, C., Alpers, C.N., McCleskey, R.B., Nordstrom, D.K., Peterson, R.C., (2005). Major and trace element composition of copiapite-group minerals and coexisting water from the Richmond mine, Iron Mountain, California. **Chemical Geology**, 215: 433–452.

- Jaynes, D.B., H.B. Pionke, and A.S. Rogowski, (1984a). Acid mine drainage from reclaimed coal strip mines--2. Simulation results of model. **Water Resources Research**, v. 20, no. 2, pp. 243-250.
- Jaynes, D.B., A.S. Rogowski, and H.B. Pionke, (1984b). Acid mine drainage from reclaimed coal strip mines--1. Model description. **Water Resources Research**, v. 20, no. 2, pp. 233-242.
- Johnson FM (1998) The genetic effects of environmental lead. **Mutat Res**, 410:123–140.
- Johnson, R.H., Blowes, D.W., Robertson, W.D., Jambor, J.L., (2000). The hydrogeochemistry of the Nickel Rim mine tailings impoundment, Sudbury, Ontario. **J. Contam. Hydrol.** 41: 49–80.
- Karageorgis, A.P., Sioulas, A.I., Anagnostou, C.L., (2002). Use of surface sediments in Pagassitikos Gulf, Greece, to detect anthropogenic influence. **Geo-Marine Letters**, 21: 200–211.
- Kehew, A.E., 2001, **Applied Chemical Hydrogeology**. Prentice-Hall, Inc., 368p.
- Kim JY, Chon HT (2001) Pollution of a water course impacted by acid mine drainage in the Imgok creek of the Gangreung coal field, Korea. **Appl Geochem**, 16:1387–1396.
- Kim, H., Benson, C.H., (2004). Contributions of advective and diffusive oxygen transport through multilayer composite caps over mine waste. **J. Contam. Hydrol.** 71: 193– 218.
- Kirby CS, Cravotta CAIII (2005), Net alkalinity and net acidity2: practical considerations. **Appl Geochem**, 20: 1941-1964.
- Kleinmann, R.L.P., D.A. Crerar, and R.R. Pacelli, (1981). Biogeochemistry of acid mine drainage and a method to control acid formation. **Mining Engineering**, v. 33, pp. 300-303
- Lasheen MR, El-Kholy G, Sharaby CM, Elsherif IY, El-Wakeel ST (2008) Assessment of selected metals in some water treatment plants and household tap water in Greater Cairo, Egypt. **Manage Environ Qual**, 19:367–376.
- Langmuir, Donald, (1997), **Aqueous environmental geochemistry**: Upper Saddle River, New Jersey, Prentice Hall, 600 p.
- Lasier PJ, Winger PV, Bogenrieder KJ (2000) Toxicity of manganese to *Ceriodaphnia dubia* and *Hyalella azteca*. **Arch Environ Contam Toxicol** 38:298-304.
- Lawrence RW, Wang Y. (1997) Determination of neutralization potential in the prediction of acid rock drainage. In: Proceedings of 4th international conf on acid rock drainage, vol 1, Vancouver, Canada, pp 451-464.
- Lee, B., Zhu, L.M., Tang, J.W., Zhang, F.F., Zhang, Y., (2009). Seasonal variations in elemental composition of aerosols in Xiamen, China. **Geochemical Journal**, 43: 423–440.
- Lee JS, Chon HT (2006) Hydrogeochemical characteristics of acid mine drainage in the vicinity of an abandoned mine, Daduk Creek, Korea. **J Geochem Explor**, 88:37–40.
- Lefebvre R, Gelinas PJ (1995) Numerical modelling of AMD production in waste rock dumps. In: Proceedings of the conference on mining and the environment, Sudbury, Ontario, pp 869–878.
- Lefebvre, R., Hockley, D., Smolensky, J., Lamontagne, A., (2001b). Multiphase transfer processes in waste rock piles producing acid mine drainage: 2. Applications of numerical simulation. **J. Contam. Hydrol.** 52: 165– 186.
- Loska, K. Wiechula, D. (2003). Application of principal component analysis of source of heavy metal contamination in surface sediments from the Rybnik Reservoir, **Chemosphere**, 57: 723–733.

Loring, D.H., (1991). Normalization of heavy-metal data from estuarine and coastal sediments. **ICES Journal of Marine Sciences**, 48:101–115.

Lynch, J.A., E.S. Corbett, and J.W. Grimm, (1990). Atmospheric deposition in Pennsylvania--A critical assessment. University Park, The Pennsylvania State University, Environmental Resources Research Institute, Conference Proceedings, 182 p.

Malouf EE, Prater JD (1961) Role of bacteria in the alteration of sulfide minerals. **J Met**, 13(5):353–356.

Magdalena .G, (2005), Quantification of mineral weathering rates in sulfide mine tailings under water saturated conditions, A dissertation for the degree of Doctor of Philosophy in Biogeochemistry, Department of Geology and Geochemistry, Stockholm University, SE-10691 Stockholm, Sweden

Mbonimpa, M., Aubertin, M., Aachib, M., Bussie`re, B., (2003). Diffusion and consumption of oxygen in unsaturated cover materials. **Can. Geotech. J.** 40 (5): 916– 932.

McCave, I.N. (1984). Size spectra and aggregation of suspended particles in the deep ocean. **Deep Sea Research**, 31: 329–352.

Miller JR, Hudson-Edwards KA, Lechler PJ, Preston D, Macklin MG (2004) Heavy metal contamination of water, soil and produce within riverine communities of the Río Pilcomayo basin, Bolivia. **Sci Total Environ**, 320:189–209.

Mitchell., P. (2000). **Prediction, prevention, control, and treatment of Acid Rock Drainage** In: Environmental Policy in Mining Corporate Strategy and Planning for Closure, Warhurst A and Noronha. L. (Eds.), Lewies publishers, Chapter 7, p.p.117-144.

Mills, A.L., (1999). **The Role of Bacteria in Environmental Geochemistry**. In: G.S. Plumlee and M.J. Logsdon (Eds.), The Environmental Geochemistry of Mineral Deposits, Part A: Processes, Techniques and Health Issues, Reviews in Economic Geology Vol. 6A, Society of Economic Geologists, Inc., 125-132.

Miller SD, Jeffry JJ, Wong JWC (1991) Use and misuse of the acid-base account for AMD prediction. In: Proceedings of the 2nd international conf on the abatement of acidic drainage, Montreal, Canada, **vol 3**, CANMET, Ottawa, pp 489-506.

Mohan, S.V. Nithila, P. Reddy, S.J. (1996) Estimation of heavy metal in drinking water and development of heavy metal pollution index, **J. Environ. Sci. Health A**, 31: 283-289.

Morrison, J.L., S.D. Atkinson, and B.E. Sheetz, (1990). Delineation of potential manganese sources in the coal overburdens of western Pennsylvania. In: Proceedings of the 1990 Mining and Reclamation Conference and Exhibition, Charleston, West Virginia, April 23-26, 1990: Morgantown, W.V., West Virginia University, v. 1, pp. 249-256.

Morillo, J. Usero, J. Gracia, I. (2002). Partitioning of metals in sediments from the Odiel River (Spain). **Environment International**, 28: 263– 271.

Müller, G., (1979). Schwermetalle in den sedimenten des Rheins-Veränderungen seit 1971. **Umschan**, 79: 778–783.

Müller, G., (1981). Die Schwermetallbelastung der sedimente des Neckars und seiner Nebenflusse: eine Bestandsaufnahme. **Chemical Zeitung**, 105: 157–164.

Nocete, F., Álex, E., Nieto, J.M., Sáez, R., and M.R. Bayona, (2005). An archaeological approach to regional environmental pollution in the south-western Iberian Peninsula related to Third millennium BC mining and metallurgy. **Journal of Archaeological Science**, 32:1566-1576.

Nordstrom, D.K., (1982). Aqueous pyrite oxidation and the consequent formation of secondary iron minerals, Kittrick, J.A., Fanning, D.S. and Hossner, L.R., eds. Acid sulfate weathering. **Soil Science Society of America**, pp. 37-63.

Nordstrom, D.K., and C.N. Alpers, (1999). **Geochemistry of Acid Mine Waters**. In: G.S. Plumlee and M.J. Logsdon (Eds.), The Environmental Geochemistry of Mineral Deposits, Part A: Processes, Techniques and Health Issues, Reviews in Economic Geology Vol. 6A, Society of Economic Geologists, Inc., 133-160.

Nordstrom, D.K., (2003). **Effects of Microbiological and Geochemical Interactions in Mine Drainage**. In: J.L. Jambor, D.W. Blowes and A.I.M. Ritchie (Eds.), Environmental Aspects of Mine Wastes, Short Course Series Vol. 31, Mineralogical Association of Canada, 227-238.

Office of Water U.S. Environmental Protection Agency (EPA), (2009), “2009 Edition of the Drinking Water Standards and Health Advisories”, EPA 822-R-09-011, Washington, USA.

Palmer, A.C., Tuncal, E., Dennen, O.K., Coburn, C.T., Finkelman, R.B., 2004. Characterization of Turkish coals: a nationwide perspective. **International Journal of Coal Geology**, 60:85–115.

Parkhurst, D. L. and Appelo C.A.J. (1999) User's guide to PHREEQC (version 2)- A computer program for Speciation, Batch-Reaction, One-Dimensional Transport and Inverse geochemical calculations, Water-Resources Investigations Report 99-4259.

Pekey, H. Karakas, D. Ayberk, S. Tolun, L. Bakoglu, M. (2004). Ecological risk assessment using trace elements from surface sediments of İzmit Bay (Northeastern Marmara Sea) Turkey. **Marine Pollution Bulletin**, 48: 946–953.

Perkins E.H, Nesbitt H.W, Gunter W.D, St-Arnaud L.C and Mycroft J.R. (1995). Critical review of geochemical processes and geochemical models adaptable for prediction of acidic drainage from waster rock, MEND program report 1.42.1, Mine environment neutral drainage program (MEND), Canada.

Peters, N.E. and J.E. Bonelli, (1982). Chemical composition of bulk precipitation in the north-central and northeastern United States, December 1980 through February 1981. **U.S. Geological Survey Circular** 874, 63 p.

Pickhardt W, (1989). “Trace elements in minerals of German bituminous coals”. **J. of Coal Geology**, 14, pp 137–153.

Piper AM (1944) A graphic procedure in the geochemical interpretation of water analyses. **Am Geophys Union Trans**, 25:914-923.

Plumlee, G.S., Smith, K.S., Montour, M.R., Ficklin, W.H., Mosier, E.L., (1999). **Geologic controls on the composition of natural waters and mine waters draining diverse mineral-deposit types**. In: Filipek, L.H., Plumlee, G.S. (Eds.), The environmental geochemistry of mineral deposits, part B: case studies and research topics: Society of Economic Geologists, Reviews in Economic Geology, vol. 6B, pp. 373–432.

Plumlee, G.S., (1999). **The Environmental Geology of Mineral Deposits**. In: G.S. Plumlee and M.J. Logsdon (Eds.), The Environmental Geochemistry of Mineral Deposits, Part A: Processes, Techniques and Health Issues, Reviews in Economic Geology Vol. 6A, Society of Economic Geologists, Inc., 71-116

Prasad B. Bose J. M. (2001) Evaluation of the heavy metal pollution index for surface and spring water near a limestone mining area of the lower Himalayas, **Environmental Geology**, 41: 183-188.

Prasad B. Sangita K. (2008). Heavy Metal Pollution Index of Ground Water of an Abandoned Open Cast Mine Filled with Fly Ash: a Case Study. **Environ Mine Water**, 27: 265-267.

Reddi LN, Inyang HI (2000) **Geoenvironmental engineering, principles and applications**. Marcel Dekker, New York.

Ritchie, A.I.M., (2003). **Oxidation and gas transport in piles of sulfidic material** (Chapter 4). In: Jambor, J.L., Blowes, D.W., Ritchie, A.I.M. (Eds.), Environmental Aspects of Mine Wastes, Short Course, vol. 31. Mineralogical Association of Canada, pp. 73–94.

Rivail Da Silva, M., Lamotte, M., Donard, O.F.X., Soriano-Sierra, E.J., Robert, M., (1996). Metal contamination in surface sediments of mangroves, lagoons and Southern Bay in Florianopolis Island. **Environmental Technology**, 17: 1035–1046.

Ribeiro, J. Ferreira da Silva, E. Li, Z. Ward, C. Flores, D. (2010) Petrographic, mineralogical and geochemical characterization of the Serrinha coal waste pile (Douro Coalfield, Portugal) and the potential environmental impacts on soil, sediments and surface waters **International Journal of Coal Geology**, 83: 456–466.

Rose AW, Means B, Shah PJ (2003) **Methods for passive removal of manganese from acid mine drainage**. In Proceeding of West Virginia surface mine drainage task force symposium, <http://wvtaskforce.com/procceding/2003.cfm>, Accessed 1 Aug 2007.

Rudnick, R.L. Gao, S. (2003). **The composition of the Continental Crust**. pp 1-64. In R. L. Rudnick (Ed.).

Ruiz, F., (2001). Trace metals in estuarine sediments from the southwestern Spanish coast. **Marine Pollution Bulletin**, 42 (6):482–490.

Salomons, W., Förstner, U., (1984). **Metals in the Hydrocycle**. Springer- Verlag, Berlin, Heidelberg, New York, Tokyo.

Salmon S. (2001). Case Study: Modelling of acid mine drainage (AMD). Land and Water Resources Engineering and Environmental Dynamics: Chemical Processes.

Sarkar , S. Bhushan Ghosh, P. Sil, A. K. Saha, T. (2010) Heavy metal pollution assessment through comparison of different indices in sewage-fed fishery pond sediments at East Kolkata Wetland, India. **Environ Earth Sci**.

Schneider, P., Osenbrueck, K., Neitzel, P.L., Nindel, K., (2002). In-situ mitigation of effluents from acid waste rock dumps using reactive surface barriers – a feasibility study. **Mine Water Environ**. 21: 36– 44.

Shackelford, C.D., (1991). Laboratory diffusion testing for waste disposal: a review. **Journal of Contaminant Hydrology**, 7:177– 217.

Shevchenko, V., Lisitzin, A., Vinogradova, A., Stein, R., (2003). Heavy metals in aerosols over the seas of the Russian Arctic. **The Science of the Total Environment**, 306: 11–25.

Shumilin, E.N., Carriquiry, J.D., Camacho-Ibar, V.F., Sapozhnikov, D.S., Kalmykov, S., Sanchez, A., Aguniga-Garcia, S., Sapozhnikov, Y.A., (2002). Spatial and vertical distributions of elements in sediments of the Colorado river Delta and Upper Gulf of California. **Marine Chemistry**, 79: 113–131.

Singh RN, Doulati Ardejani F (2004) Finite volume discretisation for solving acid mine drainage problems. **Arch Min Sci**, 49(4):531–556.

Singh A. K, Mondal G.C, Singh, P.K, Singh S, Singh T. B, Tewary B. K, (2005). Hydrochemistry of reservoirs of Damodar River basin, India: weathering processes and water quality assessment. **Environ Geol** 48: 1014–1028.

Singer, P.C. and Stumm, Werner, (1970). Acidic mine drainage--the rate-determining step. **Science**, v. 167, pp. 1121-1123.

Sinex, S.A., Wright, D.A., (1988). Distribution of trace metals in the sediments and biota of Chesapeake Bay. **Marine Pollution Bulletin**, 19: 425–431.

- Smith, K.S., Plumlee, G.S., and Ficklin, W.H., (1994), Predicting water contamination from metal mines and mining waste: Notes, Workshop No. 2, International Land Reclamation and Mine Drainage Conference and Third International Conference on the Abatement of Acidic Drainage: U.S. Geological Survey Open-File Report 94-264, 112 p.
- Smith, L., and R. Beckie, (2003). **Hydrologic and Geochemical Transport Processes in Mine Waste Rocks**. In: J.L. Jambor, D.W. Blowes and A.I.M. Ritchie (Eds.), Environmental Aspects of Mine Wastes, Short Course Series Vol. 31, Mineralogical Association of Canada, 51-72.
- Song, D., Qin, Y., Zhang, J., Wang, W., Zheng, C.H., 2007. Concentration and distribution of trace elements in some coals from Northern China. **International Journal of Coal Geology**, 69: 179-191.
- Spalding, D. B., (1981). A general purpose computer program for multi-dimensional one- and two-phase flow. **Math. Comput. Simulat.**, 23 (3): 267-276.
- Spears D.A, Caswell S.A, (1986). "Mineral matter in coals: cleat minerals and their origin in some coals from the English Midlands". **J. of. Coal Geology**, 6, pp 107– 125.
- Spears D.A, Martinez-Tarazona, M.R, (1993). "Geochemical and mineralogical characteristics of a power station feed-coal, Eggborough, England" **J. of. Coal Geology**, 22, pp 1– 19.
- Sracek, O., Choquette, M., Gelinas, P., Lefebvre, R., Nicholson, R.V., (2004). Geochemical characterization of acid mine drainage from a waste rock pile, Mine Doyon, Quebec, Canada. **J. Contam. Hydrol.** 69: 45– 71.
- Stasiuk, V., Bagheri-sadeghi, H., Goodarzi, F., (2003). Petrology rank and liquid petroleum potential of Jurassic coals from the Central Alborz Region, Northern Iran. Proceeding of 12th International conference on Coal Sciences, 2nd-6th, Cairns, Australia. Paper 12P18, pp. 10.
- Stiff, H.A., (1951). The interpretation of chemical water analyses by means of patterns, **Journal of Petroleum Technology**, v. 3, n. 10, secs. 1-3.
- Stumm, W. and Morgan, J.J. (1981). **Aquatic Chemistry**, First Edition. John Wiley & Sons, New York, NY.
- Stumm, W., and J.J. Morgan, (1996). **Aquatic Chemistry**, Third Edition. John Wiley & Sons, New York, NY.
- Summers, J.K., Wade, T.L., Engle, V.D., Malaeb, Z.A., (1996). Normalization of metal concentrations in estuarine sediments from the Gulf of Mexico. **Estuaries**, 19: 581–594.
- Suthar, S. Nema, K, A. Chabukdhara, M. Gupta, S, K. (2009). Assessment of metals in water and sediments of Hindon River, India: Impact of industrial and urban discharges. **Journal of Hazardous Materials**, 171:1088–1095.
- Swancar A, Hutchinson CB (1992) Chemical and isotopic composition and potential for contamination of water in the Upper Floridan aquifer, west-central Florida. US Geol Surv Open-File Rep 92-47.
- Swaine, D.J., (1990). **Trace Elements in Coal**. Butterworth, London. 278 pp.
- Swaine, D.J., Goodarzi, F. (Eds.), (1995). **Environmental aspect of trace elements in coal**. Kluwer Academic Publishers, the Netherlands. 312 pp.
- Szefer, P., Szefer, K., Glasby, G.P., Pempkowiak, J., Kalisz, R., (1996). Heavy metal pollution in surficial sediments from the southern Baltic Sea off Poland. **Journal of Environmental Science and Health A**, 31 (10): 2723–2754.
- Tabaksblat, L.S. (2002) Specific features in the formation of minewater microelement composition during ore mining, **Water Res.** 29: 333–345.

Taylor, S.R., McLennan, S.M. (1995). The geochemical evolution of the continental crust. **Reviews in Geophysics**, 33: 241–265.

Todd DK (1959) **Groundwater hydrology**. Wiley, New York, p 336.

Tomlinson, D. L Wilson, J. G. Harris, C. R. Jeffrey, D. W. (1980), Problems in the assessment of heavy-metal levels in estuaries and the formation of a pollution index **Helgolander Meeresunters**. 33: 566-575.

Truesdale, G.A., A.L. Downing, and G.F. Lowden, (1955). The solubility of oxygen in pure water and sea water. **Journal of Applied Chemistry**, v. 5, pp. 53-62.

Truesdell, A.H., and Jones, B.F., (1974) WATEQ, A computer program for calculating chemical equilibria of natural waters: **Journal of Research, U.S. Geological Survey**, v. 2, p. 233-274.

Turekian KK, Wedepohl DH (1961) Distribution of the elements in some major units of the earth crust. **But Geol Soc Amer** 72:175–192.

U.S. Environmental Protection Agency, 1979. **Methods for chemical analysis of water and wastes**. Cincinnati, Ohio, U.S. Environmental Protection Agency.

U.S. Environmental Protection Agency (US-EPA), (1990) Clean Air Act Amendments. www.epa.gov/air/caa/.

Wagner Nicola. J. and Hlatshwayo Bafana.. (2005) “The occurrence of potentially hazardous trace elements in five Highveld coals, South Africa” **J. of. Coal Geology**, 63, pp 228– 246.

Walter AL, Frind EO, Blowes DW, Ptacek CJ, Molson JW (1994a) Modelling of multicomponent reactive transport in groundwater, 1: model development and evaluation. **Water Resour Res**, 30(11):3137–3148

Walter AL, Frind EO, Blowes DW, Ptacek CJ, Molson JW (1994b) Modelling of multicomponent reactive transport in groundwater, 2: metal mobility in aquifers impacted by acidic mine tailings discharge. **Water Resour Res**, 30(11):3149–3158

Watzlaf, G.R., (1992). **Pyrite oxidation in saturated and unsaturated coal waste**. In: Proceedings of the 1992 National Meeting of the American Society for Surface Mining and Reclamation, pp. 191-203.

Wiese Jr., R.G., Powell, M.A., Fyfe, W.S., (1987). Spontaneous formation of hydrated iron sulfates on laboratory samples of pyrite- and marcasite-bearing coals. **Chemical Geology**, 63: 29–38.

Williams, R.E. (1975). **Waste production and disposal in mining, milling, and Metallurgical industries**, Miller-Freeman Publishing Company, San Francisco, California, 489p.

World Health Organization (WHO), (2008), **Guidelines for Drinking Water Quality, Second addendum**. Vol. 1, Recommendations. –3rd ed., ISBN 978 92 4 154760 4.

Wolkersdorfer, C., (2008). **Water Management at Abandoned Flooded Underground Mines—Fundamentals, Tracer Tests, Modelling, Water Treatment**. Springer, Heidelberg, Germany.

Wunderly, M.D., Blowes, D.W., Frind, E.O., and C.J. Ptacek, (1996). Sulfide Mineral Oxidation and Subsequent Reactive Transport of Oxidation Products in Mine Tailings Impoundments: A Numerical Model. **Water Resources Research**, 32(10):3173-3187.

Yanful, E.K., (1993). Oxygen diffusion through soil covers on sulfidic mine tailings. **Journal of Geotechnical Engineering**, 119:1207-1228.

Yazdi, M., Shirvani, A.E., (2004). Geochemical properties of coals in the Lushan coal field of Iran. **International Journal of Coal Geology**, 73-79.

Zhang, J., Liu, C.L., (2002). Riverine composition and estuarine geochemistry of particulate metals in China-weathering features, anthropogenic impact and chemical fluxes. **Estuarine, Coastal and Shelf Science**, 54: 1051–1070.

Zhang, W. Feng, H. Chang, J. Qu , J. Xie , H. Yu, L. (2009). Heavy metal contamination in surface sediments of Yangtze River intertidal zone: An assessment from different indexes, **Environmental Pollution**, 157: 1533–1543.

Zhao, F. Cong, Zh. Sun, H. Ren, D. (2007) The geochemistry of rare earth elements (REE) in acid mine drainage from the Sitai coal mine, Shanxi Province, North China. **International coal geology** 70: 184-192.

Zodrow E.L, Goodarzi, F, (1993) “Environmental implications of elements associated with pyrite concentrates from coal in the Sydney Coalfield (Upper Carboniferous), Nova Scotia, Canada” **J. of. Energy Sources**, 15, pp 639– 652.

Zodrow, E.L., (2005). Colliery and surface hazards through coal-pyrite oxidation (Pennsylvanian Sydney Coalfield, Nova Scotia, Canada). **International Journal of Coal Geology**, 64: 145–155.

Zonta, R. Zaggia, L. Argrse, E. (1994). Heavy metal and grain size distribution in estuarine shallow water sediments of the Cona Marsh (Venice Lagoon, Italy), **Sci. Total Environ**,15: 19–28.

Zhu, L. Xu,, J. Wang, F. Lee, B. (2010). An assessment of selected heavy metal contamination in the surface sediments from the South China Sea before 1998, **Journal of Geochemical Exploration**. Article in press.

http://www.gardguide.com/index.php/Chapter_2#2.4.2_The_Global_and_Geochemical_Sulphur_Cycle

http://en.wikipedia.org/wiki/File:Rio_tinto_river_CarolStoker_NASA_Ames_Research_Center.jpg

www.water-research.net

www.yubanet.com